



# BioCoherence Brukermanual

Version 2025-03-20

# Generell innholdsfortegnelse

## INNLEDNING

1. En kort historie om BioCoherence.....	3
2. Bygge broer.....	5

## 3. BRUK AV BIOCOHERENCE

3.1. Moduler oversikt.....	13
<i>En detaljert innholdsfortegnelse finnes i begynnelsen av dette kapitlet.</i>	
3.2. Detaljert manual for hver modul.....	34
<i>En detaljert innholdsfortegnelse kan finnes i begynnelsen av dette kapitlet.</i>	

## 4. TILLEGG

4.1. Ofte stilte spørsmål .....	77
4.2. Medisinske studier og litteratur .....	81
4.3. Bibliografi .....	93

# En kort historie om BioCoherence

Det er sommer 2024 og den første offentlige versjonen av BioCoherence er om å bli lansert. Hvordan kom vi hit, med denne programvaren ut av hodet mitt, som til nå har over 1400 proprietære biomarkører, 40 skjermers skanning analyse av et elektrokardiogram og tester med live biofeedback, samt et ombalanseringsmodul?

La's se tilbake på to konvergerende veier.

Vår første kontakt med energivurderings- og behandlingsapparater går tilbake til 2011. Christine og jeg var gift og hadde 3 barn. Det året, vår andre datter Isis, som fremdeles hadde glutenintoleranse den gangen, skulle begynne på ungdomsskole. Mens vi fremdeles bodde i Sournia, en liten landsby i Pyreneene (i sør Frankrike), let vi etter en løsning slik at hun kunne ha lunsj på skolen. Jeg skal skåne deg for detaljene, men da vi kom til spesialisten, sa han til oss at den eneste løsningen var en koloskopi. Og at den uansett ikke kunne kurere henne. Så vi begynte å se etter en annen løsning. En venn peket oss i retning av en merkelig fyr som jobbet i en liten landsby, og denne merkelige fyren gjorde en fullstendig undersøkelse og reharmonisering i én økt; ikke bare hadde han identifisert alle problemene på en time, men hun ble kurert en måned senere.

Christine og jeg så på hverandre og innså at det var noe galt med medisin. Hvorfor hadde ikke sykehuset kunnet tilby oss denne løsningen? Hvorfor var det tilsynelatende så konfidensielt? Men fremfor alt, hva var dette tingen?

På slutten av 2011, opprettet vi en ideell organisasjon med denne praktikerens for å prøve å studere og validere disse praksisene, deretter et omsorgssenter, deretter et andre. Vi kom til slutt i kontakt med produsenten av dette utstyret for å distribuere det i Frankrike, på slutten av 2012. Vi møtte andre, og endte opp med å etablere solid distribusjon, et nettverk av praktikere, og en skole.

But for meg, en forsker, ingeniør, programvaredesigner, musiker, forfatter og fremfor alt kompulsiv skaper, kunne jeg ikke stoppe ved en kommersiell eller administrativ rolle. Jeg hadde allerede etablert flere selskaper, for hvilke jeg alltid hadde programmert hele datasystemet. Faktisk, begynte jeg å lage programvare da jeg var rundt 10, og solgte min første rundt 15. Jeg studerte deretter vitenskap og gikk til lydteknisk skole, før jeg opprettet et nettbyrå med Christine i 1996, og deretter flere oppstartsselskaper. Når jeg kom tilbake til omsorgsapparatene vi distribuerer, var jeg som designer ivrig etter å bidra til dette innovative drivet i utformingen av disse undersøkelses- og omsorgssystemene, som jeg har erfart mye og forstår godt.

Denne første veien, er dermed vitenskap, IT og virksomhet, og deres anvendelser til helsevesenet.

But dette er ikke den eneste veien som har ført til BioCoherence i dag.

Da jeg var 11 eller 12 år gammel, hadde jeg en pasjon for magi — eller rettere sagt, trylleri. Jeg kunne tilbringe hele dagen i parisisk magibutikker, møte alle kundene (showbusiness profesjonelle). — Merk, jeg laget og solgte en triks til en butikk, som jeg anslår at jeg var 13 år gammel ... — Og det's hvor jeg møtte Pierre, en tryllekunstner som jobbet over hele verden. Vi ble gode venner. Og Pierre hadde gjort "ut av kroppen", eller "astral reise", siden han var barn, som fascinerte meg. Jeg'd aldri hørt om det. Han ga meg noen bøker om emnet og snakket om det som noe helt naturlig for ham, men vi mistet kontakt etter en tid.

Siden da virket det naturlig for meg at en mye større verden eksisterte bak sløret av tilsynelatende. Men hvordan, i Paris, i en hypermaterialistisk tid, i en familie som visste ingenting om det, kunne jeg dykke inn i dette spørsmålet?

Etterhvert som årene gikk, forble det et privilegert og fascinerende diskusjonstema, en kilde til nysgjerrighet, men ingenting mer. Vi prøvde meditasjon som tenåringer og deretter som voksne, uten mye suksess. Så begynte livet å ta form i her og nå, med alle sine krav.

Tilbake til 2011, et avgjørende år, en sammenkomst av veier. Da Isis begynte sin bedring, ble vi henvist til en familielege i Perpignan. Han ser ting annerledes. Selvfølgelig, la's gå. Jeg snakker med ham om alt og ingenting, og emnet meditasjon kommer opp igjen; jeg forteller ham at jeg hadde prøvd å gå ut av kroppen uten mye suksess. Han svarer at han kjenner en teknikk basert på lyder med ulike frekvenser i ørene, uten å vite mye mer om det. Men lyd snakket til meg... og jeg søkte og oppdaget binaurale slag. Og fra da av, fremgang, så vanskelig til da, økte kraftig. Innen et par måneder, universet utvidet, både innover og utover. Siden det avgjørende året, har alt blitt omorganisert rundt oss.

Jeg begynte en serie med intervjuer for et filmprosjekt, *In Reality*<sup>1</sup>. Jeg møtte og filmet rundt førti fascinerende mennesker. Jeg endte opp med å starte et fransk forlag for å oversette bøkene deres, og har publisert noen tjue verk til dags dato.

Christine, for sin del og mye til sin overraskelse, ble klarsynt. Det er en god en. Åh, og det samme gjelder datteren min. Som en god vitenskapsmann gjør jeg uansett noen valideringsprotokoller. Det ser alt sammen veldig ekte ut, ok, la oss innrømme det. Det året, etter 7 år med kvasi-autarkisk familieliv i fjellet (vi hadde forlatt Paris i 2004 for å bygge huset Christine hadde designet selv), kom Disneyland med stor styrke. Og verden blir mye bredere. Huset fylles opp med vesener, hver mer fantastisk enn den forrige. Sprøtt, men anekdote etter anekdote, blir det umulig å ikke tro på denne nye virkeligheten.

1. <https://inreality.video>

Dette er de to veiene som møtes; på den ene siden, energi vurdering og helbredende enheter og programvare, med sine fantastiske muligheter men ulike begrensninger og frustrasjoner; på den andre siden, meditasjon, indre personlig utvikling, utvidelsen av verdens grenser, og den enorme kraften i å ta makt over seg selv og bevissthet om ens eget ansvar.

Så, i 2017, drev jeg en første allianse av de to, og startet et meditasjonsapp-prosjekt, ment som en plattform for skapere; for komplisert, aldri ferdig. I 2018, opprettet jeg en app for å generere binaurale beats og andre lyder for å følge meditasjoner; for komplisert, aldri ferdig. Jeg begynner å se et gjentakende mønster. Dette er ikke min første for-komplisert, aldri-ferdig-applikasjon. OK, la oss skrive om hele greia, og forenkla det: Ah, seier! I 2021 vil vi presentere vår skole med sin første, mindre kompliserte og -hurra! - ferdige app: 33, guidede meditasjoner, basert på Christines første 2 bøker.

En detalj gjenstår: Jeg ønsker å tilby mer. Jeg ønsker å få et pålitelig målesystem for å velge og, hvorfor ikke, tilpasse meditasjoner. En detalj, som jeg sa, som til slutt tok meg 3 år. I 2022 kan jeg presentere vår årlige Masterclass med et første verktøy basert på måling av et elektrokardiogram. I 2023, etter mer enn ett års arbeid, ble grensesnittet prydet med tallrike visualiseringer og nye skjermer ble laget. Ytterligere 6 måneder med forskning og vi kommer, i april 2024, med en programvare som tørster etter interaksjoner...

For å komme til denne første versjonen, valgte jeg drastisk (og smertefullt, som du kan forestille deg) ideene som skulle implementeres. Men, i de nesten 40 årene jeg har vært kreativ, har jeg endelig innsett at det ikke er noe poeng i å skape for skapelsens skyld; du må skape for å dele. Og for å gjøre dette, måtte jeg bruke mye mer tid enn jeg hadde trodd for å gjøre denne programvaren lett å forstå. Jeg har klart det, selv om jeg fortsatt er frustrert over alt som ikke eksisterer ennå. Du kan stole på meg for å fortsette å inkorporere og dele ideer og verktøy, og jeg vil sørge for at de alltid er vakre, enkle og intuitive for deg.

Médréric Degoy, designer av BioCoherence programvaren.

# Bygge broer

BioCoherence er designet rundt en rekke nøkkelkonsepter. Det er viktig å ha en generell forståelse av dem, da de veileder den underliggende logikken.

Vår oppgave er å bygge broer mellom domener som ofte er ukoblede. Disse inkluderer: kybernetikk; systemteori; energi, entropi og negentropi; emergens; heuristikk; synkronisitet; ergodisitet; ressurs-teori; kaskadeteori; embryogenese; prologiteori; resonansprinsippet; koherensprinsippet; skala-bølger; temporale krystaller; forholdet mellom kropp og sinn; forholdet mellom materie-energi-informasjon; fysisk entropi og informasjonsentropi; det ubevisste og arketyperne.

Med mindre annet er angitt, er sitater fra Wikipedia.

## Kybernetikk

*"den generelle vitenskapen om regulering og kommunikasjon i naturlige og kunstige systemer."*

"Kybernetikk er studiet av informasjonsmekanismer i komplekse systemer. Konturene av denne forskningen dreier seg om nøkkelkonseptet tilbakemelding, eller *teleologisk mekanisme*. Deres mål var å gi en samlet visjon av de nyfødte feltene (mellom 1942 og 1953) av automatisk kontroll, elektronikk og matematisk informasjonsteori, som en "helhetlig teori om kontroll og kommunikasjon, både i dyret og i maskinen".

Formaliserte av Norbert Wiener, er kybernetikk opprinnelsen til, blant annet, de systemiske terapiene fra Palo Alto-skolen, og de biologiske teoriene om selvorganisering."

Interessante notater:

- "I 1894 knyttet Ludwig Boltzmann sammen entropi og informasjon, og bemerket at entropi er knyttet til informasjon som vi ikke har tilgang til."
- "Fysiologi ga ham også mange elementer. For eksempel prinsippet om homeostase, fremhevet av Claude Bernard."
- "Kybernetikk er også en fortsettelse av fenomenologi, i den grad den auskultaterer fenomener for å gripe deres autonomi og spesifisitet, særlig gjennom form, og så går videre til en annen type analyse: modellering, mekanikk..."
- "Tilbakemelding er fremhevet av denne tilnærmingen, da det er essensielt for å designe en selvregulerende logikk. Tilbakemeldingsløkker dukker dermed opp, sirkulære mekanismer som fremhever systemer."
- uttrykket "emergens" vil snart bli brukt til å betegne ikke bare nye former, men også nye egenskaper og prosesser som fremkommer under den spontane reorganiseringen av et system. Denne typen fenomen involverer noen ganger, mer enn en reorganisering av systemet, en organisering på et høyere kompleksitetsnivå."
- "I andre ordens kybernetikk inkluderer observatøren seg selv i det observerte systemet."

Kybernetikk er roten til økologi, psykoanalyse, informasjonsvitenskap, systemikk, kognitiv vitenskap, kunstig intelligens, internett...

## Bruk av BioCoherence

I hele programvaren på alle nivåer, fra det dypeste (den aller eksistensen av datamaskinen; operativsystemet; og Internett) til det mest overfladiske (systemisk logikk, nivå 1, 2 og 3 analyse og fremveksten av nye egenskaper, sammenkoblingen av alle elementer, beregninger av koblinger og resonanser).

Tilbakemeldingsprinsippet er kjernen i programvaren, spesielt i biofeedback-målinger.

Interessant nok fokuserer kybernetikk på restriksjoner og begrensninger i et system. Dette gir en indikasjon på mulige valg. Men prinsippet om ekvivalens fastslår at det er mulig å nå et mål via mange forskjellige stier.

## Systemteori

"Systemteori er en måte å definere, studere eller forklare enhver type fenomen, som først og fremst består i å betraktes dette fenomenet som et system: et komplekst sett av interaksjoner, ofte mellom delsystemer, alt innenfor et større system. Det skiller seg fra tradisjonelle tilnærminger, som fokuserer på å dele opp et system i deler uten å vurdere funksjonen og aktiviteten til helheten, det vil si det overordnede systemet selv.

Systemtenkning favoriserer en global, makroskopisk, helhetlig eller syntetisk tilnærming; den observerer og studerer et system fra forskjellige perspektiver og på forskjellige nivåer av organisering; og fremfor alt tar den hensyn til de ulike interaksjonene som eksisterer mellom delene av systemet.

Som gradvis oppstod i midten av det 20. århundre, ble systemikk bygget i opposisjon til den kartesiske analytiske tradisjonen og andre former for reduksjonisme, som hadde en tendens til å dele helheten opp i uavhengige deler og viste sine begrensninger i forståelsen av virkeligheten."

Interessante notater:

- "Det essensielle konseptet her er utvilsomt regulering, slik det er definert gjennom begrepet tilbakemeldingsløyfe" "Interaksjon (eller gjensidig forhold) refererer til ideen om ikke-lineær årsakssammenheng. Dette konseptet er essensielt for å forstå ko-evolusjon og symbiose i biologi. En spesiell form for interaksjon er retroaksjon (eller tilbakemelding), studiet av hvilken som er sentralt i arbeidet til kybernetikk."
- "Totalitet. Hvis et system først og fremst er et sett av elementer, kan det ikke reduseres til dette. Som ordtaket sier, er helheten mer enn summen av delene
- "Organisering er det sentrale konseptet for å forstå hva et system er. Organisering er arrangementet av en helhet i henhold til deling av elementene i hierarkiske nivåer. Avhengig av sin grad av organisering, vil en totalitet ikke ha de samme egenskapene. Vi kommer således til ideen om at **egenskapene til en totalitet avhenger mindre av naturen og antallet elementer den inneholder enn av forholdene som etableres mellom dem**: "et åpent system er et system som, gjennom sine utvekslinger av materie, energi og informasjon, manifesterer kapasiteten til å selvorganisere
- Som åpne systemer er levende vesener i stand til å skape negentropi-sløyfer (dvs. å redusere entropi, skape en høyere orden).
- Når det gjelder "det dynamiske systemet", er den første ideen som kjennetegner dette feltet at, bak den tilsynelatende uorden, ligger en orden som er mer kompleks enn den synlige orden. Den andre ideen er at denne ordenen oppstår gjennom selvorganisering og fremveksten av nye egenskaper og karakteristikk som tidligere var fraværende."

## Applikasjon i BioCoherence

- fremheving av koblinger mellom elementer som er, om ikke mer, viktige enn evalueringen av selve elementene.

## Emergens

"Emergens er et filosofisk konsept som grovt kan oppsummeres med ordtaket: "helheten er mer enn summen av dens deler". Det står i kontrast til reduksjonisme så vel som dualistiske doktriner (dualisme eller vitalisme).

En egenskap kan kvalifiseres som "emergent" hvis den "faller ut" fra mer grunnleggende egenskaper, samtidig som den forblir "ny" eller "uavkortet" til dem. Dermed bemerker John Stuart Mill at egenskapene til vann ikke kan reduseres til de av hydrogen eller oksygen."

Interessante punkter:

- "Vi snakker noen ganger om 'samtidig emergens' i konteksten av forhold mellom mikro- og makronivåer i et system. I dette tilfellet innebærer emergens en konseptuell irreduksibilitet: emergente egenskaper og lover er systemiske trekk ved komplekse systemer styrt av lover som ikke kan reduseres til de som kvalifiserer forholdene mellom komponenter i mindre skala."

## Bruk i BioCoherence

- logikken av fremvekst: analysen utføres i flere trinn, der hvert trinn avdekker egenskaper på høyere nivå som ikke eksisterer på lavere nivå. I det siste trinnet blir ressurser funnet.

## Energ

"Energi er et begrep relatert til handling, kraft og varighet: gjennomføringen av en handling krever opprettholdelse av en viss kraft i tilstrekkelig lang tid, for å overvinne tregheten og motstanden som motsetter seg denne endringen."

## Bruk i BioCoherence

Energien til en biomarkør måles på forskjellige måter avhengig av typen biomarkør; plassert i en minimum/maksimum skala spesifikk for hver biomarkør, blir det den vertikale aksens av blomsten.

## Entropi

- For fysikere er entropi agitasjon, uorden.
- For informasjonsteori er entropi et mål på den mulige rå mengden av forskjellige typer informasjon.
- For datavitenskap er det grovt sett rekkevidden av mulig informasjon, størrelsen på rommet.

Vi kan oppsummere begrepet entropi som proporsjonalt med uordenen i et system; dens motsats, negentropi, er derfor proporsjonal med graden av orden i et system.

### Anvendelse i BioCoherence

Vi måler variasjonen på forskjellige nivåer av biomarkører for å utlede en agitasjonsfaktor, som vil utgjøre den horisontale akselen til blomsten.

## Ressurstheori

Utviklet av Christine Degoy, postulerer ressurstheorien at det i hvert levende system finnes perfekt utførte deler som nærer andre deler. I et systemlogikk er disse ressursdelene, aktivt knyttet til andre delsystemer i nød.

Christine har identifisert ressurser på alle nivåer: organisk, psykologisk, energetisk og ikke-fysisk (dvs. sammensatt av materie som interagerer med det overordnede systemet, men ikke underlagt de samme fysiske lover som vanlig materie).

### Anvendelse i BioCoherence

Som det høyeste nivået av fremvoksne elementer, gjør identifikasjon av ressurser oss i stand til å bygge en sammenhengende plan for prioriteringene som skal adresseres, ved å bruke dem til å optimalisere det overordnede systemet.

## Kaskadeteori

Følgende i fotsporene til Paul Schmidts prinsipp om å lete etter de originale årsakene til sykdom, og senere utviklet av Philippe Matza, er kaskadeteori en del av en systemisk logikk. Den postulerer at et lidende organ eller system er en del av en kjede av årsakssammenhenger og energiske interrelasjoner, og at denne kjeden må spores tilbake for effektiv terapi.

### Anvendelse i BioCoherence

Ved å identifisere koblinger og koherente systemer, muliggjør BioCoherence at vi kan rekonstruere komplette årsakskjeder og handle ved kilden til forstyrrelser. Men vi utvider konseptet med årsakskjeder til flere kjeder, og til det faktum at et system hvis elementer er i koherens vil trenge samtidig intervensjon på alle nivåer for å bærekraftig gjenvinne balansen i sine elementer.

## Embryogenese

"Under dannelsen av embryoet organiseres cellene i distinkte cellelag: det ytre laget kalles ektoderm, mens det indre laget kalles endoderm. Det mellomliggende laget danner et vev kalt mesoderm. Hos pattedyr har hvert lag en annen skjebne: endodermen produserer fordøyelseskanaalen og dens tilknyttede kjertler (bukspyttkjertel); mesodermen produserer muskler, skjelett og blodårer;

ektodermen produserer epidermis og nervesystemet"

### Bruk i BioCoherence

Vi postulerer at disse elementene forblir knyttet i den voksne organismen gjennom spesielle resonanser, og vi tar hensyn til 8 leger utviklet av Christine Degoy som består av elementer knyttet gjennom deres embryoniske opprinnelse. Disse relasjonene integreres deretter i en tolkning av resultatene.

## Prologiteori

Utdrag fra *Prologie, gjenoppdage meningen med livet*, av Christine Degoy:

"Det er en enhetlig tilnærming til både omsorg og oppfyllelse. Integrativ og tverrgående i naturen, kan den beskrives som systemisk, orientert mot resonansen av alle komponentene i personen som så mange tilgjengelige ressurser brakt inn i synergi."

Prology tilbyr et komplett paradigmeskifte, som integrerer kroppen som et kraftig verktøy for oppfyllelse, selv midt i sykdom. Dens sterke prinsipper er basert på livsprosjektet kombinert med systemteori-tilnærmingen, illustrert av følgende tese: **"Hvert menneske er et system med et prosjekt, og alt som utgjør det er designet for å oppnå dette målet."**

Prology gjør det mulig for oss å kartlegge den menneskelige kroppen i forhold til personlig prosjektstøtte, og å oppdage en tidsmessig organisering av successive nivåer i veksten av modenhet og mestring av ens liv.

Kartlegging på grunnlag av embryologi, kombinert med de tre søylene i menneskelig natur - vilje, kjærlighet og visdom - gir opphav til en ny forståelse av sykdom. Faktisk ser prologisk dekodning sykdom som en transformasjon av systemet, ikke en feil. Når et menneskes materie-energi-informasjonsystem trenger forbedring for å fortsette fremover, utnytter han eller hun enhver evolusjonær mulighet til å endre og utvikle ferdigheter og atferd, behov og ønsker, samt visjoner om livet og verden rundt seg.

Hvert organ spiller en rolle i oppfyllelsen av individets livsprosjekt, og oppdaterer seg selv med varierende grad av diskresjon, avhengig av omfanget av transformasjonen som kreves for å utvikle seg.

Målene med en prologisk tilnærming er å gjenopprette balanse, energi og komfort, samtidig som man respekterer ens livsprosjekt, for å oppnå helhetlig oppfyllelse.

## Applikasjon i BioCoherence

Programvaren muliggjør en fullstendig vurdering og identifisering av problemene og transformasjonene som skjer i resonans med livsprosjektet. Dette er en positiv lesning basert på hensikt og energifrigjøring, i motsetning til biologisk avkodning, som er basert på konflikt og hindring.

## Prinsippet om resonans

"Resonans er et fenomen der visse fysiske systemer (elektriske, mekaniske osv.) er sensitive for visse frekvenser. Et resonant system kan akkumulere energi, hvis det påføres i periodisk form, og nær en frekvens kjent som 'resonansfrekvensen'."

## Applikasjon i BioCoherence

Under lydmeditasjoner vil lyder eller sekvenser av lyder sendt ut på bestemte frekvenser energisere spesifikke organiske eller mentale strukturer.

## Prinsippet om koherens

"Koherens i fysikk er settet av korrelasjons-egenskaper til et bølgesystem. Vi kan snakke om koherens mellom 2 bølger, mellom verdiene til den samme bølgen på to forskjellige tidspunkter (temporal koherens) eller mellom verdiene til den samme bølgen på to forskjellige steder (spatial koherens). Eksempler på koherente stråler: laserlys"

## Binaurale rytmer

"En binaural rytme er en tilsynelatende lyd som oppfattes i hjernen som et resultat av en spesifikk fysisk stimulans. Denne effekten ble oppdaget i 1839 av Heinrich Wilhelm Dove.

Hjernen produserer et fenomen som oppfattes som lavfrekvente pulser av lydvolume, når to lyder med litt forskjellige frekvenser presenteres uavhengig for hvert av subjektets ører. Hvis forskjellen mellom de to frekvensene er 4 hertz, vil subjektet høre 4 rytmer per sekund."

## Bruk i BioCoherence

Under lydmeditasjoner integreres spesifikke binaurale rytmer i henhold til prioriteringene som skal adresseres. Disse trener hjernen på spesifikke frekvenser i alfa, beta, gamma eller theta-områdene.

## Skaler bølger

Marc Henry<sup>1</sup> forklarer at "det finnes en femte dimensjon av skala, uavhengig av de tre romlige dimensjonene og den tidsmessige dimensjonen. Denne nye dimensjonen gjør det mulig å bestemme skalaen som det observerte eller målte spatio-temporale fenomenet opererer på. Men, hvis det er en ny dimensjon, må det nødvendigvis være bølger som kan spre seg i den. Disse er, selvsagt, våre skaler bølger. Deres rolle er å sikre koherens mellom de forskjellige skalaene av beskrivelse og manifestasjon av det samme fysiske objektet. Disse skaler bølgene vises ikke i akademiske avhandlinger om kvante- eller relativistisk fysikk. De er imidlertid veldig kjente for oss. Alt vi må gjøre er å akseptere spørsmålet om hvordan et individ er i stand til å gjenkjenne de forskjellige delene som utgjør ham. Takket være skaler bølger kan det samme individet føle sin enhet, uansett hvilken skala han bruker for å beskrive seg selv".

Skaler bølger ble teoretisert av Joël Sternheimer, som satte dem i praktisk bruk med Proteodies.

## Tidlige krystaller

"En tidlig krystall er en periodisk struktur i tid og rom. Ideen om en slik struktur ble foreslått av Frank Wilczek i 2012. Ifølge ham er det mulig å forestille seg en struktur bestående av en gruppe partikler som beveger seg og periodisk returnerer til sin opprinnelige tilstand, som ville danne en "tidlig krystall". Uttrykket er myntet fra det som observeres i en "klassisk" krystall, hvis atomstruktur viser et gjentakende mønster i forskjellige retninger i rommet. I en tidlig krystall, derimot, gjentas mønsteret periodisk i tid, som en oscillator. Bare en ekstern periodisk eksitasjon kan få en tidlig krystall til å vises, **absorberende energi.**"

## Bruk i BioCoherence

Når forbindelsene mellom elementene er identifisert, kan gjentakende mønstre identifiseres. Ideen er at disse mønstrene (som kan være sekvenser av tanker, bevegelser, smerter, ulike dysfunksjoner...) danner strukturer som konstant absorberer energi fra det generelle systemet for å opprettholde sin bevegelse. Programmets algoritmer kan finne spesifikke nodale punkter for å bryte repetisjonen.

## Forholdet mellom sinn og kropp

"Begrepet forekomst ble introdusert i feltet filosofi om sinn på 1960-tallet av Donald Davidson, for å forene de tilsynelatende motstridende ideene om systematisk avhengighet og uavhengighet mellom sinn og kropp. Når en egenskap av type B (f.eks. mental) oppstår på en egenskap av type A (f.eks. fysisk), er enhver endring av type B likestilt med en endring av type A. Dermed, når det er en forekomst, kan det ikke være en forskjell av en type uten en forskjell av en annen type på et annet beskrivelsesnivå. Det er derfor et samvariasjonsforhold mellom disse to nivåene."

"Ifølge Simon Blackburn mangler den samtidige fysiske oppfatningen av naturen kvalitative egenskaper som farge, smerte og alt annet som utgjør den kvalitative aspekten av vår erfaring med verden."

"Noen panpsykistiske filosofer, som Galen Strawson, argumenterer fra dette perspektivet at alle fysiske objekter faktisk er mentale egenskaper som er analoge med egenskapene til levd erfaring."

## Forholdet mellom materie-energi-informasjons betydning; fysisk, energisk, informasjon og betydning entropi

For å gå tilbake til "det kvalitative aspektet av vår opplevelse av verden", la oss se på materie:

- materie består av både bølger og partikler. Den kan beskrives som materiell (partikler) eller energisk (bølger). I virkeligheten snakker vi om selvstendige stasjonære bølger som skaper sitt eget magnetiske felt, som en gitarstreng brettet innover. På denne måten skaper de ...

1. <https://marchenry.org/2014/09/15/ondes-dechelle/>

- energi, som er lagret eller sirkulerer. Den kan utveksles, men er i seg selv verken negativ eller positiv: den representerer bare en utveksling av energipotensial i den ene retningen eller den andre. Imidlertid bærer den ...
- informasjon, som er kodet på energi eller materie, og representerer symbolene for ...
- mening, som til slutt er det eneste som betyr noe for oss som bevisste vesener.

Dette setter begrepet 'entropi tilbake i perspektiv. På nivået av materie er entropi agitasjon, eller energipotensial. På nivået av informasjon er entropi den mulige mengden informasjon som overføres på mediet (energi eller materie). Men på det ultimate nivået av mening er entropi mengden av signifikant informasjon som faktisk kan overføres.

For eksempel: forestill deg en knapp som utløser en atomvåpen. På informasjonsnivå er et enkelt bit informasjon nok til å utløse bomben. På nivået av materie og energi er effekten gigantisk men lokalisert. Og når det gjelder betydning, avhenger det av målet: en by (gigantisk effekt i rom og tid), eller en testtunnel (effekt begrenset til resultatet av eksperimentet)? På denne måten kan mengdene av entropi være radikalt forskjellige på disse forskjellige nivåene, for den samme handlingen.

## Synkronisitet

"Noen ganger tenker vi at universet sender oss tegn når tilsynelatende utrolige tilfeldigheter skjer. Men for Jung er dette synkronisitet, som vi kan definere som samtidigheten av forskjellige hendelser knyttet sammen av en mening som ikke er tilfeldighet. Med andre ord kan denne enestående vitenskapen oppsummeres som den tidsmessige sammenfallet av en serie hendelser (to eller flere) som, selv om de er knyttet, ikke er kausalt forbundet. Imidlertid er det en innholdsmessig kobling

"Ifølge Jung, når vi snakker om synkronisitet, refererer vi til foreningen av indre og ytre hendelser. Slik finner individet som opplever disse hendelsene mening i deres forening. Jung etablerte synkronisitet eller l'occurrence som en søken etter gjenkjennbare mønstre."

## Anvendelse i BioCoherence

Mønster gjenkjenning er en integrert del av vår måte å forstå verden på. Synkronisitet forstås som fremkomsten av mening gjennom konfrontasjonen av a priori urelaterte hendelser. Det er denne forbindelsen gjennom mening, gjennom betydning, som fremhever meningen med informasjon. Dette fremvoksende forholdet blir fremhevet ved beregningen av koblinger mellom biomarkører. I ekstreme tilfeller indikerer sammenhengende systemer ekvivalenter av synkronisitet, dvs. fremkomsten av høyere nivå betydning.

## Generell semantikk

"Generell semantikk foreslår en ikke-aristotelisk form for tenkning for alle, som først ble utviklet av Alfred Korzybski.

Generell semantikk søker å utvide rammen for klassisk semantikk (studiet av betydningen av ordforrådsstermer og endringene de kan gjennomgå). Korzybski's mål var å konseptualisere en logikk som også svarte til nivået av vitenskapelig utvikling i hans tid, og som gjorde det mulig for oss å løse menneskelige problemer mer effektivt enn med de tidligere logikkene til Aristoteles og Descartes, og av aristotelisk og newtonsk fysikk. Disse logikkene, konseptualisert fra antikken til det 17. århundre, anså ikke lenger Korzybski som effektive for å beskrive og håndtere problemene spesifikke for oppdagelsene i hans århundre. Korzybski anvendte det på psykiatri, Henri Laborit på biologi (teori om handlingshemming) og aggressologi (studiet av reaksjonene til levende organismer under forhold med aggresjon).

I Science and Sanity forklarer Korzybski at han ser en korrespondanse mellom denne ikke-aristoteliske logikken og to vitenskapelige revolusjoner på 1900-tallet, kvantefysikk og relativitetsteorien<sup>1</sup>. Han påpeker at den første omkaster de vanlige kategoriene for fornuft, mens den andre introduserer "ikke-newtonsk" fysikk og "ikke-euklidisk"<sup>2</sup> geometri. Som den siste, skal "nei" av ikke-aristotelisk ikke forstås som en negasjon, men som en generalisering og overvinning av aristotelisk logikk, samtidig som den inkluderer sistnevnte, og ordet "generell" forstått i samme forstand som generell relativitet<sup>3</sup>. Ved å dra en parallell med kvantefysikk, hevder Korzybski at observatøren er en integrert del av representasjonen av virkeligheten, og at dette må tas hensyn til i generell semantikk".

## Bruk i BioCoherence

Alt har mening. Dette er det ultimate nivået av abstraksjon i materie-energi-informasjon-mening kjeden. Dette er hva algoritmene utviklet for BioCoherence søker å fremheve.

## Heuristikk

"Heuristikk er "kunsten å oppfinne, av å gjøre oppdagelser" ved å løse problemer basert på ufullstendig kunnskap. Denne typen analyse fører til akseptable løsninger på kort tid. Disse kan avvike fra den optimale løsningen. For Daniel Kahneman er det en prosedyre som hjelper til med å finne tilstrekkelige, om enn ofte ufullkomne, svar på vanskelige spørsmål."

## Bruk i BioCoherence

Heuristikk er "disciplinen for å finne regler". Her igjen er det et spørsmål om å gjenkjenne mønstre, og å fremheve forbindelser gjør at vi kan se på den generelle organisasjonen fremfor den spesifikke tilstanden til et enkelt element i systemet.

## Ergodisitet

"Ergodisitet eksisterer hvis flere forskjellige og separate statistiske analyser av samme emne gir et tilstrekkelig sammenlignbart resultat. Teorien har gjennomgått mange utviklinger i nært forhold til teorien om dynamiske systemer og kaosteori".

## Anvendelse i BioCoherence

Mønster gjenkjenning er en integrert del av analysen, styrket av nylige fremskritt innen dyp læring og nevrale nettverk.

## Beregningsmessig irreducibilitet

"Beregningsmessig irreducibilitet er en av hovedideene foreslått av Stephen Wolfram i hans bok *A New Kind of Science* (2002).

Mange fysiske systemer er så komplekse at de ikke kan måles effektivt. Selv de enkleste programmene viser et bredt spekter av oppførsel. Følgelig kan ingen modell forutsi, ved kun å bruke initialbetingelser, nøyaktig hva som vil skje i et gitt fysisk system før et eksperiment blir utført. På grunn av dette problemet med irreducibilitet i det formelle språket til datavitenskap, kaller Wolfram denne manglende evnen til å "forkorte" et system (eller "program"), eller å beskrive atferden på en enkel måte, for "beregningmessig irreducibilitet". Denne ideen demonstrerer at det finnes tilfeller der teoriens prediksjoner er praktisk talt umulige. Wolfram hevder at mange fenomener vanligvis er beregningsmessig irreducible.

Beregningsmessig irreducibilitet forklarer de observerte begrensningene i eksisterende mainstream vitenskap. I tilfeller av beregningsmessig irreducibilitet kan kun observasjon og eksperiment brukes."

## Applikasjon i BioCoherence

Dette konseptet forklarer for eksempel hvorfor livet utfolder seg som det gjør. La oss si at vi lever i en simulering, som om vi var karakterer i et videospill: hvorfor skulle vi bry oss om alle erfaringene vi har? Hvorfor ikke hoppe rett til konklusjonen? Fordi, ifølge dette prinsippet, er det umulig å hoppe til konklusjonen: vi er forpliktet til å gå gjennom alle stadiene av hendelsen for å kjenne dens epilog. Du må "spille spillet", fordi ingen kan si hvordan det vil ende uten å ha spilt det i sin helhet.

Etter min mening forklarer dette de fleste av de komplekse spørsmålene som reises av mystikk og eksistensielle spørsmål. La oss si metempsykose (reinkarnasjon) er sant. Så hvorfor Karma? ganske enkelt fordi det er viktig å beregne alle mulige alternativer, og det beste systemet for å beregne disse alternativene er et som er klar over alternativene. Fra dette synspunktet er Karma ikke et verktøy for hevn, men for tverrgående kunnskap om de mulige konsekvensene, umulige å forutsi, av en gitt hendelse. Livet presenterer oss deretter for lignende situasjoner, men fra et annet synspunkt, og det er opp til oss å bevisst gå gjennom stadiene og observere resultatene. I denne visjonen finnes det ikke noe slikt som skjebne eller en unngåelig hendelse; den eneste realiteten er beslutningene vi tar i møte med hendelsene vi blir presentert for, men utfallet er umulig å forutsi før vi har tatt våre beslutninger. I virkeligheten er livene våre helt i våre egne hender.

## Bruk i BioCoherence

Guidede meditasjoner påkaller forskjellige arketyper for å bringe det ubevisste og bevisste i aksjon for problemløsning og indre selvutvikling.

## Ægte hjertekoherens

Dan Winter definerer ekte hjertekoherens ved utseendet av en toppkaskade i "harmoni"-delen av analysen (dvs. en 2. ordens FFT). En FFT eller Fourier-transformasjon brukes til å trekke ut frekvenser fra et signal. En 2. ordens FFT trekker ut de musikalsk harmoniske frekvensene. Denne matematiske operasjonen gjør det mulig for oss å oppdage at et klart flertall av frekvensene som er til stede i et elektrokardiogram er harmoniske med hverandre; han kaller dette "ekte hjertekoherens".

Denne toppen i "harmoni"-delen kan finnes ved flere frekvenser, og det har blitt identifisert frekvensbånd for denne toppen som tilsvarer grunnleggende følelser på tidspunktet for opptak.

## Fraktalitet, komprimering og fasekonjugering

"et uendelig antall tilstander er maksimalt komprimert når forholdet mellom frekvenser er en potens av den gyldne ratioen."([gsjournal](#)<sup>2</sup>)

Komprimering defineres her som den maksimale tillegg av frekvenser (som dermed har konstruktive - konjugerte - faser mellom dem), oppnådd hvis frekvensene er multipler av d'or-tallet mellom dem.

Fraktalitet refererer til det faktum at lignende strukturer kan finnes på forskjellige skalaer.

## Elfie målinger

Dan Winter har igjen teoretisert en grunnleggende ligning for optimal energi "implosjon"; denne ligningen forutsier mange av de resonante frekvensene som finnes i universet. Jeg har kalt den tilsvarende mengden "Elfie" til ære for, på den ene siden, Alvene (og spesielt elvish arkitektur) og, på den andre siden, selve ekvitasjonen:  $n \text{ Elfie} = L_p \times \Phi^n$ , dvs. Planck-lengden (den minste målbare lengden i universet) multiplisert n ganger med den gyldne ratioen.

På denne måten er Elfie-skalaen ikke bare proporsjonal med antallet Elfies, men inkluderer også verdier gitt for hele Elfies. Disse heltallsverdiene inkluderer mange kjente mengder, som lengde, tid og frekvens. Se [Elfie.link](#)<sup>3</sup> for mer informasjon.

2. <https://www.gsjournal.net/Science-Journals/Research-Papers-Quantum-Theory/Particle-Physics/Download/4543>

3. <https://elfie.link>

# 3.1.

## Moduloversikt

- BioCoherence **Scan** er et komplett analysemodul fra et rått elektrokardiogram til flere titalls kart, grafer og klare måter å beregne og tolke biomarkører.
- BioCoherence **Test** er en åpen måte å vurdere elementlister fra den live utviklingen av pulsen (biofeedback).
- BioCoherence **Balance** gjør det mulig å identifisere ressurser og velge prioriteringer, og lage PDF-rapporter og tilpassede meditasjoner basert på det.

## Contenido

<b>1.</b>	<b>Skann: biomarkører og teknisk analyse .....</b>	<b>15</b>
1.1.	Tidsgrafmodul .....	15
1.2.	Biomarkør modul.....	15
<b>2.</b>	<b>Skann: organ kart.....</b>	<b>17</b>
2.1.	Merkbare årsaker: energi .....	17
2.2.	Merkbare årsaker: entropi.....	17
2.3.	Merkelige systemer: koherens .....	18
2.4.	Hjerne .....	18
2.5.	Kardiovaskulært system .....	19
2.6.	Fordøyelsessystemet.....	19
2.7.	Membraner.....	19
2.8.	Virvler.....	20
2.9.	Nervesystem .....	20
2.10.	Tenner.....	20
2.11.	Bevegelsessystem .....	21
2.12.	Respiratorisk system.....	21
2.13.	Kvinnelige kjønnsorganer.....	21
2.14.	Hannlig kjønnsorganer .....	22
<b>3.</b>	<b>Skann: TCM meridianer, punkter og oppskrifter .....</b>	<b>23</b>
3.1.	Blæremeridian med lenker.....	23
3.2.	Meridianer etter energi, med vanlige relaterte problemer .....	23
3.3.	TCM Poeng .....	24
3.4.	TCM Oppskrifter, av koherens .....	24
<b>4.</b>	<b>Skann: Energimodulene .....</b>	<b>25</b>
4.1.	Ayurveda: Doshæer og sub-doshæer.....	25
4.2.	Energikart: chakraer, plan, klokke og momentum .....	25
4.3.	Energikilder: mikrokosmos .....	25
<b>5.</b>	<b>Skann: Tankemodulen .....</b>	<b>27</b>
5.1.	Skyggemodulen .....	27
5.2.	Skygge: kjører.....	27
5.3.	Åndemodulen.....	28
<b>6.</b>	<b>Balansmodulene .....</b>	<b>29</b>
6.1.	Ressurser.....	29
6.2.	Prioriteringer.....	29
6.3.	PDF Rapport.....	30
6.4.	Balanse: den tilpassede meditasjonen.....	30
<b>7.</b>	<b>testsmodulene .....</b>	<b>31</b>
7.1.	En test liste etter en live evaluering .....	31
7.2.	En test liste.....	31
7.3.	Testlister .....	31
7.4.	test: biofeedback live evaluering .....	32
7.5.	tester: rediger .....	32
<b>8.</b>	<b>Forstå modulene.....</b>	<b>33</b>

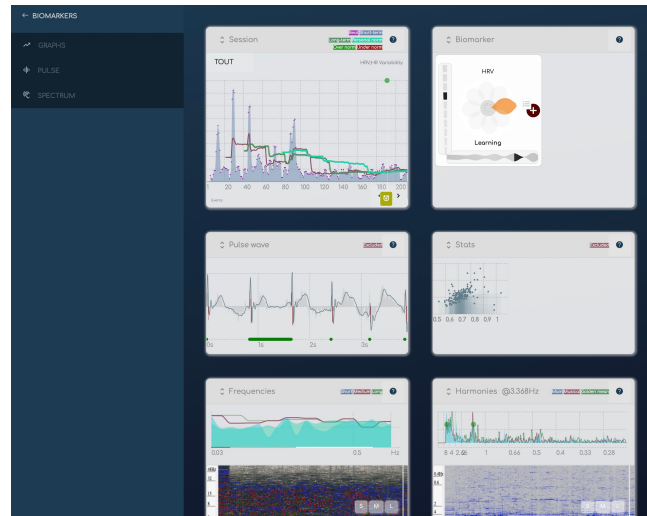
# 1. Skann: biomarkører og teknisk analyse

*Å arbeide med ECG-pulsen, biomarkører og spekteret.*

BioCoherence bygger sine biomarkører utelukkende gjennom matematiske operasjoner på den rå registrerte ECG pulsen.

- I denne modulen, kan du tilgang til den rå registreringen, deaktivere slag hvis det var målefeil (appen deaktiverer automatisk slag basert på en automatisk kvalitetsdeteksjonsalgoritme) og jobbe med temporale hendelser.

## 1.1. Tidsgrafmodul



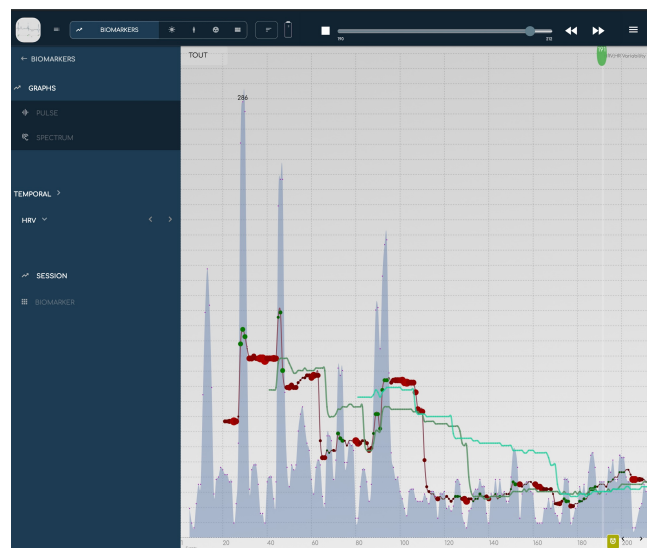
*Se hvordan en biomarkør utvikler seg over tid og øker.*

BioCoherence arbeider med biomarkører på en veldig dynamisk måte, vurderer deres utvikling over flere tidsrammer og sammenligner dem på tvers av tidsrammer.

- På denne grafen vises hver biomarkør på slag-nivå, sammenlignet med de kortvarige, mellomlange og langvarige glidende gjennomsnittene.
- Du kan bevege deg inne i opptaket med den øverste rullefeltet (trykk på Play knappen for å vise det; trykk på Stop knappen for å sammenligne på tvers av økter). Du kan også klikke i grafen for å flytte den nåværende markeringen.
- Du kan endre zoom skalaen med den øverste-venstre områdevelgeren.
- Du kan arbeide med hendelser på denne modulen: hendelsene vises på bunnen av grafen. For å opprette eller redigere en hendelse, klikk på knappen på bunnen av grafen.

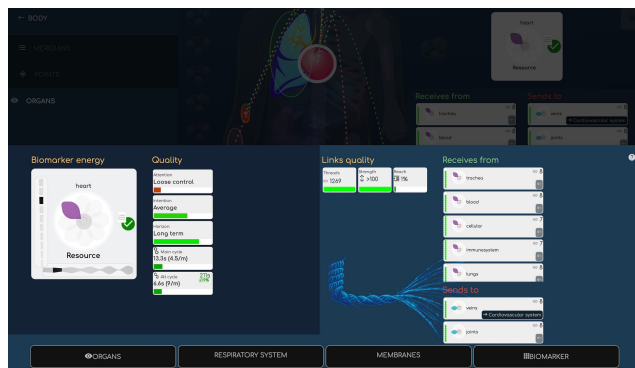
## 1.2. Biomarkør modul

*En dyp dykk inn i et biomarkør's vide informasjon.*



Hver biomarkør er bare ett klikk borte fra Biomarkørpanelet, som viser på en kompakt og praktisk måte alt som er å vite om dynamikken til den.

- Hovedinformasjonen er biomarkøren **blomst**, som lar deg vurdere hovedkvaliteten umiddelbart. Blomsten er et kompositt av hovedenergien og hovedentropien (eller agitasjon). Det er 9 forskjellige kronblader, og hver er følt med et enkelt ord for å forstå hovedkvaliteten.
- Dynamiske kvaliteter vises i den 2. kolonnen. **Oppmerksomhet, intensjon og horisont** er informasjon om dens langtidsgenerasjon.
- Hovedsyklusen og alt syklusen vises også i denne kolonnen. Dette er hovedrespirasjonen til biomarkøren. Syklusen vises i varighet (sekunder) og periode (per minutt). Hvis syklusen matcher en integer Elfie verdi<sup>1</sup>, som indikerer en resonans med god energimplosjon, er lenken til Elfie-tabellen markert.
- **Lenker** panelet viser forhold til andre biomarkører (her, andre organer). Lenkekvalitet er et kompositt av hovedsnorene (tråder er et antall av alle lenker, styrken på deres soliditet, og Rekkevidde indikerer hvor mange biomarkører i familien er koblet til denne). Mottar fra, og sender til, lister de andre biomarkørene. Et klikk på den åpner deres informasjonsside.
- På bunnen, lar Kartene og Graf-knappene for direkte tilgang til de relevante sidene.



1. <https://elfie.link>

## 2. Skann: organ kart

*Dutzener med eksklusive, vakkert tegnede kroppskart har blitt designet for BioCoherence slik at navigasjon og lenker blir enkle å se og forstå.*

Med nær 500 biomarkører dedikert til organsystemer, organer eller organpartier, følte vi at vi måtte kartlegge alt for å gi mening til det.

- A dusin vakre utformede kart for en generell oversikt eller zoomer inn i Tenner, Virvler, Nerver, Hjerne...
- En av de kjernefunksjonene til BioCoherence er den 3.ordens informasjonen **Lenker mellom biomarkører**. Hvert kart fremhever vakker lenkene mellom organene på kartet, eller lenker med ett klikk til organer på andre kart.
- De visuelle lenkene og de to kolonnene lar deg umiddelbart vurdere de energetiske forholdene til andre organer (mottar fra, eller sender til)
- Velgeren til venstre oppfører alle organer på dette kartet, sammen med deres biomarkørvurdering.



### Åpning av modulen

Ved å klikke på "Kropp" og deretter "organer", åpnes modulen med en generell oversikt over kroppen, inkludert et utvalg av de viktigste biomarkørene: hovedorganer, hovedhormoner, hoveddeler av bevegelsessystemet, blod, celler.

Hvis du klikker på et organ, eller velger det fra menyliste, er det omgitt av en hvit halo, og de hovedlenkene med de andre organene på denne skjermen vises (de er sirklet i rødt hvis de mottar energi fra det valgte organet, og i grønt hvis de sender energi til det).

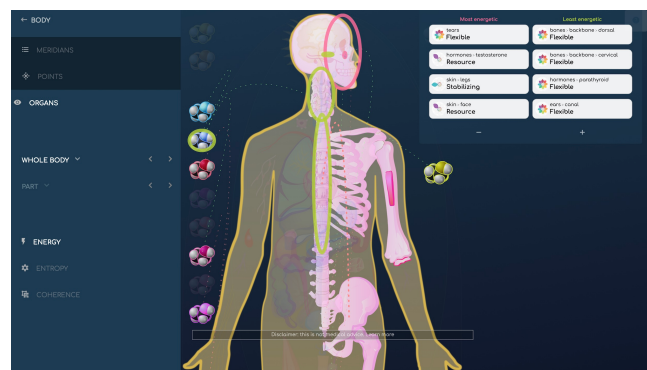
Hvis det finnes lenker til organer som er detaljert på andre kroppskart, blir de identifisert med navnet til det kartet på en svart bakgrunn; klikk på det for å åpne det detaljerte kartet.

### 2.1. Merkbare årsaker: energi

*Umiddelbart fremhever de mest og minst energiske delene*

Hvert kropps kart har et Energi, Entropi og Koherens undermeny, under kartmenyen og delmenyen.

- **Energi** modulen viser de minste og mest energi elementene i dette kartet, sammen med deres relasjonslenker. Du kan endre antallet elementer ved å klikke på + og - knappene under listen, og klikke på et biomarkør for å vise informasjonen dens.



### 2.2. Merkbare årsaker: entropi

*Umiddelbart utpeker de mest urolige og de mest statiske delene*

Hver kroppskart har et Energi, Entropi og Koherens undermeny, nedenfor kartmenyen og deler meny.

- Entropi modulen viser de mest agiterte og mest statiske elementene i dette kartet, sammen med deres relasjonslenker. Du kan endre antallet elementer ved å klikke på + og - knappene under listen, og klikke på noen biomarkør for å vise dens informasjon.



## 2.3. Merkelige systemer: koherens

*Umiddelbart fremhever de systemene som resonerer mest sammen.*

Hver kroppskart har et Energ, Entropi og Koherens undermeny, under kart meny og deler meny.

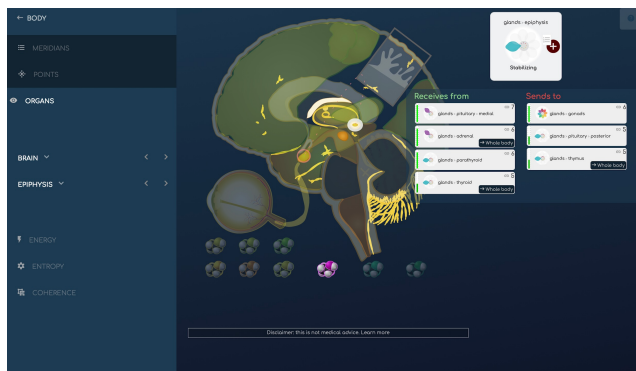
- Koherens modulen viser de systemene som er mest i fase sammen, som resonerer sammen, sammen med deres relasjonslenker. Du kan klikke på hvilken som helst biomarkør for å vise dens informasjon.



## 2.4. Hjerne

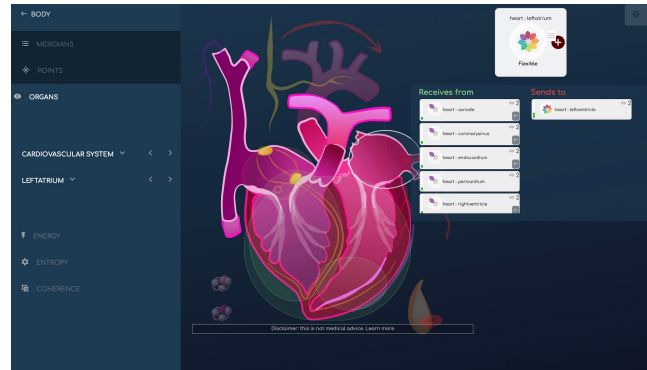
Koblingene mellom hjernens komponenter, og hormonene knyttet til dem, er grafisk fremhevet her; det er også mulig å vise de mest bemerkelsesverdige fra et energisk synspunkt, de mer eller mindre agiterte, og de som er i koherens

Vi har også lagt til øynene og deres komponenter til dette kartet.



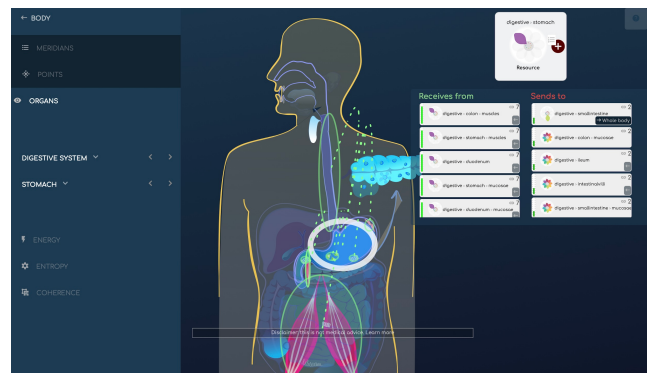
## 2.5. Kardiovaskulært system

Lenkene mellom elementene i det kardiovaskulære systemet er grafisk fremhevet her; det er også mulig å vise de mest bemerkelsesverdige fra et energetisk synspunkt, de mest eller minst urolige, og de som er i koherens. Den anatomiske tavlen for det kardiovaskulære systemet inkluderer hjertet og alle dets detaljer, blodsystemet (årer, arterier... inkludert sirkulasjon og sympatisk kontroll av blodtrykk), blod (plasma, hemoglobin) og hormoner (adrenalin og noradrenalin).



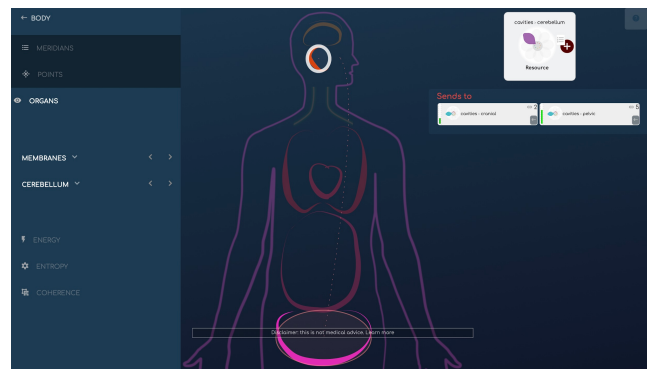
## 2.6. Fordøyelsessystemet

Koblingene mellom elementene i fordøyelsessystemet, fra munn til endetarm, er grafisk fremhevet her; det er også mulig å vise de mest bemerkelsesverdige fra et energisk synspunkt, de mest eller minst agiterte, og de som er i koherens.



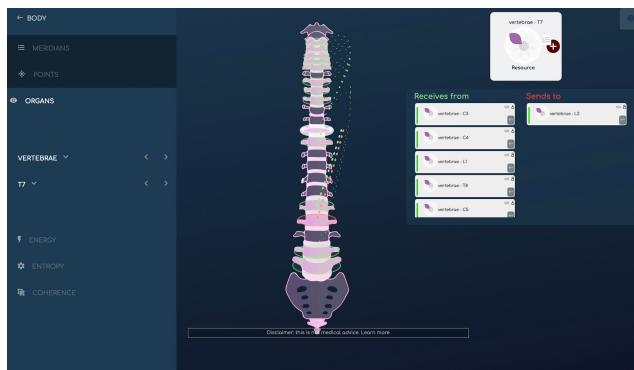
## 2.7. Membraner

Den anatomiske utformingen av membranene er litt uvanlig; vi ønsket å fremheve resonanslenkene mellom disse store hulrommene. De er faktisk en viktig del av den samlet balansen fra et holistisk synspunkt, som vanligvis blir lite tatt hensyn til. De gir et semi-globalt lesingsnivå og er også viktige fra et prologisk tolkningssynspunkt.



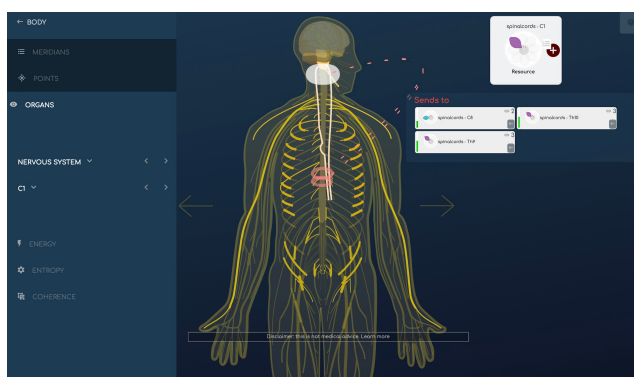
## 2.8. Virvler

Lenkene mellom virvler er grafisk fremhevet her; det er også mulig å vise de som er mest bemerkelsesverdige fra et energetisk synspunkt, de som er mer eller mindre agiterte, og de som er koherente.



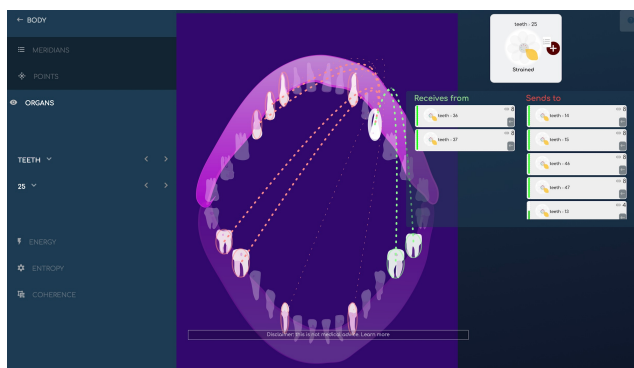
## 2.9. Nervesystem

Lenkene mellom elementene i nervesystemet er grafisk fremhevet her; det er også mulig å vise de mest bemerkelsesverdige fra et energetisk synspunkt, de mer eller mindre agiterte, og de som er i koherens. Nervesystemet inkluderer hjernen og detaljer om hjernen, nervene og detaljer om visse nerver, og nervene knyttet til ryggmargen.



## 2.10. Tenner

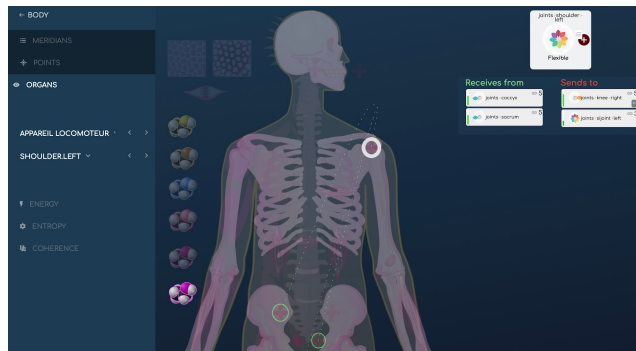
Lenkene mellom tenner og tannkjøtt er grafisk fremhevet her; det er også mulig å vise de mest energisk signifikante tennene, de som er mer eller mindre agiterte, og de som er i koherens.



## 2.11. Bevegelsessystem

Lenkene mellom elementene i muskel- og skjelettsystemet (bein, muskler, men også hormoner og noen organer) er grafisk fremhevet her; det er også mulig å vise det mest bemerkelsesverdige fra et energetisk synspunkt, de mest eller minst agiterte, og de som er i koherens

Valgene gjort på hver anatomisk plate er utformet for å fremheve relevante forhold mellom elementene. På denne skjermen, i tillegg til deler av ryggraden, beinmarg, skjelett, brusk, muskler, fascia og kalsiummetabolisme, har vi lagt til interessante hormoner og organer som parathyroid, hdh eller noradrenalin, hår, hud og tenner.



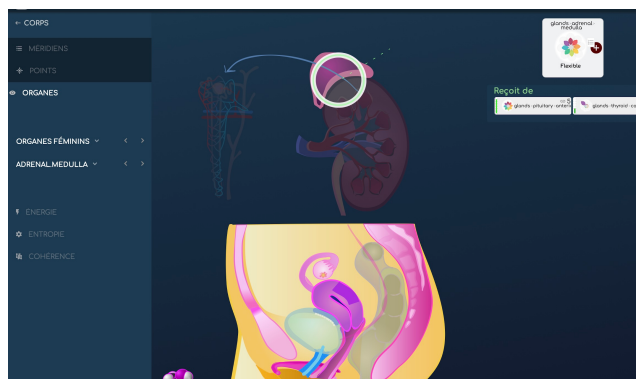
## 2.12. Respiratorisk system

Lenkene mellom elementene i luftveissystemet er grafisk fremhevet her; det er også mulig å vise de mest bemerkelsesverdige fra et energetisk synspunkt, de mer eller mindre agiterte, og de i koherens. På denne skjermen finner vi også de frontale bihulene, de auditive kanalene, og hjertet.



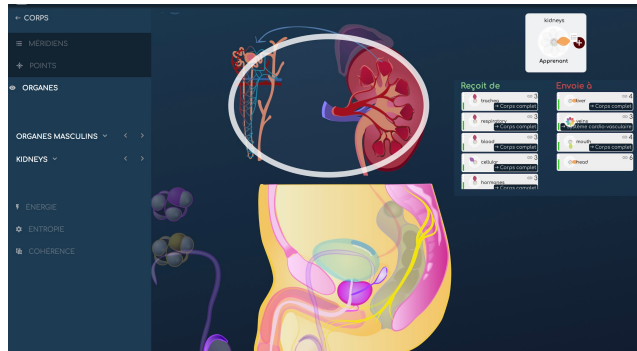
## 2.13. Kvinnelige kjønnsorganer

Lenkene mellom elementene i den kvinnelige genitalia og relaterte organer (nyrer, blære, korsbein, binyrene, og relaterte hormoner som pregnenolon...) er grafisk fremhevet her; det er også mulig å vise de mest bemerkelsesverdige fra et energetisk synspunkt, de som er mer eller mindre agiterte, og de som er i koherens.



## 2.14. Hannlig kjønnsorganer

Lenkene mellom elementene i det mannlige kjønnsorganet og relaterte organer (nyrer, blære, korsben, binyrene, og relaterte hormoner som testosteron, dhea, hgh...) er grafisk fremhevet her; det er også mulig å vise det mest bemerkelsesverdige fra et energetisk synspunkt, de mer eller mindre agiterte, og de i koherens.



## 3. Skann: TCM meridianer, punkter og oppskrifter

*Meridianer, akupunkturpunkter, TCM-opskrifter*

Masters of the energetic evaluation since 5000 years, the Traditional Chinese Medicine is extensively used and dramatically extended in BioCoherence.

- **Meridianer** vises i 12 eller 20 deler. De hoved energi kanalene i kroppen, grafen viser deres koblinger og kartet, deres veier.
- **Akupunkturpunkter** er dynamisk animasjon på kartet. Mer enn 350 punkter er beregnet av vår eksklusive algoritme.
- **Oppskrifter** er tradisjonelle måter å adresse energetiske problemer, den TCM måten. Vi har dramatiske utvidet dette prinsippet for å beregne energien, entropi og koherens til hundrevis av oppskrifter for å vurdere deres nytte i den nåværende evalueringen, og dermed indikere deres mulige behov - en form for vurdering som kan hjelpe til å diagnostisere problemer.



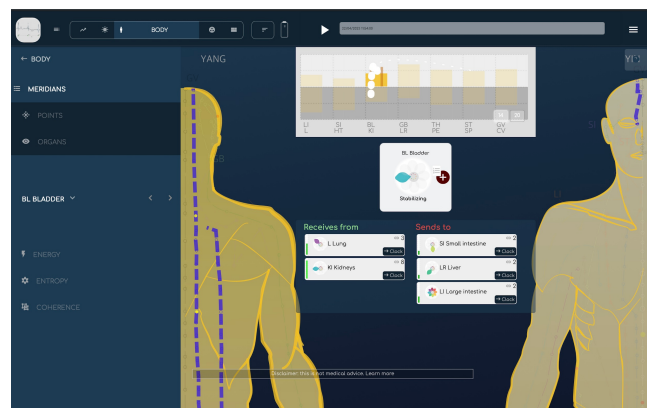
### 3.1. Blæremeridian med lenker

*Klikk på en meridian for å få informasjon.*

Når du klikker på en meridian, vil grafen vise dens relasjoner med andre meridianer, biomarkøren vil vise dens hovedkvalitet, og koblingene til andre meridianer (mottar fra, eller sender til) vil bli vist.

### 3.2. Meridianer etter energi, med vanlige relaterte problemer

*Identifiser de energetiske beste og verste, i ett klikk*



Energimengden viser direkte de mest energiske og minst energiske meridianene, som kan hjelpe med å identifisere problemer.

- Når du klikker på en meridian, vises ytterligere konklusjoner som er relatert til den nåværende energiske tilstanden til meridianen, og de mulige tilstandene når de er assosiert med tilstanden til andre meridianer, i henhold til TCM-kunnskap.

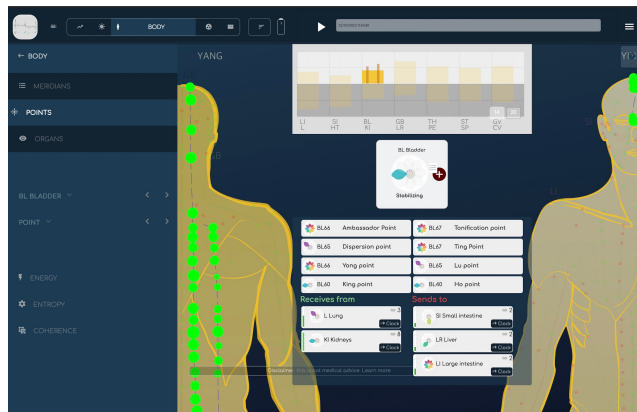


### 3.3. TCM Poeng

*Mer enn 350 punkter beregnes*

The **Points** modulen viser TCM akupunkturpunkter.

- Klikk på en meridian for å vise alle punkter i denne meridianen, sammen med tradisjonell informasjon om viktige punkter i meridianen.
- Klikk på et punkt for å se biomarkøren dens.

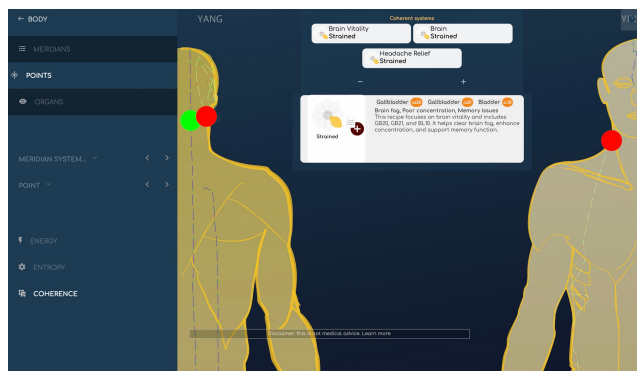


### 3.4. TCM Oppskrifter, av koherens

*Koherens er en måte å se oppskrifter som er helt i fase.*

Vi reverserte ingeniørarbeidet med akupunkturoppskrifterne for å gjøre det til et vurderingsverktøy.

- Ved å klikke på **Koherens**, oppskrifter hvis punkter er helt i fase sammen (det betyr, punktene resonerer sammen og beveger seg sammen som et enkelt punkt) vises. Klikk på en oppskrift for å se punktene på kartet og få veibeskrivelser. Når den legges til prioritert, vil oppskriften bli brukt i Balancedelen for å hjelpe til å rebalansere effektene.



## 4. Skann: Energimodulene

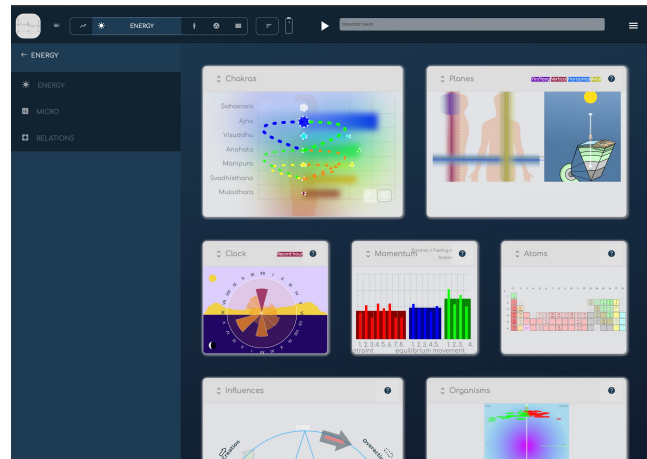
*Alt du trenger for å vurdere på det energiske nivået*

Disse grafene lar deg se informasjon som chakraer, klokke, planer, momentum, atomer, påvirkninger og organismer.

### 4.1. Ayurveda: Doshaer og sub-doshaer

*Den ayurvediske vurderingen av kroppens energi.*

Ayurvediske praktikere vet hvordan de skal jobbe med den energetiske grunnkonstitusjonen til kroppen. De tre hovedkonstitusjonene er Vata, Pitta og Kapha, hver med 5 under-doshas. I en BioCoherence-analyse kan du se hver dosha og under-dosha bevege seg når du flytter tidsmarkøren, fordi alle disse systemene er dynamiske. Måten de beveger seg på er en del av vår vurdering.

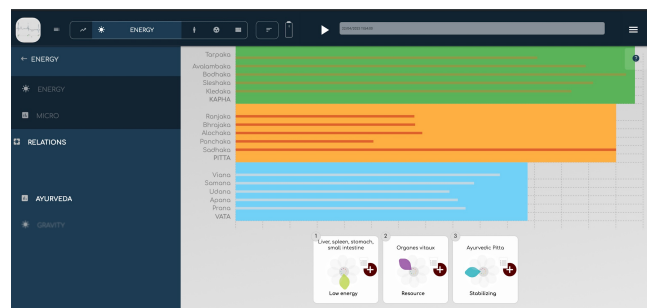


### 4.2. Energikart: chakraer, plan, klokke og momentum

*De hoved energetiske motorene i kroppen*

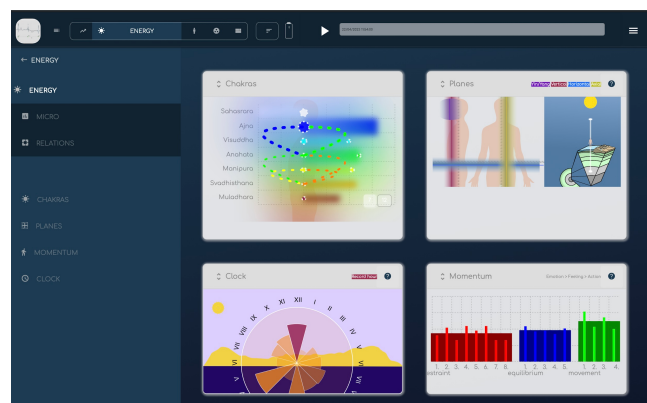
Disse 4 grafene gir en korrekt energisk evaluering av de hovedfunksjonene til kroppen.

- **Chakraer** kan vise de 7 eller 12 chakraene, deres globale aura, og forholdene mellom dem.
- **Planer** fremhever de hovedenergetiske likevektene til kroppen: de horisontale, vertikale og aksiale planene vises, sammen med lenken til det dype jordfeltet og det himmelske feltet.
- **Klokke** viser forholdet mellom meridianene og deres hovedfunksjoneringstimer, sammen med registreringstiden, for å vurdere den korrekte tidsjusteringen.
- **Momentum** er en graf vi lagde for å vise de 3 hovedinertiene og deres komponenter: de som hemmer, de som likevektet og de som hjelper til bevegelse.



### 4.3. Energikilder: mikrokosmos

*Veldig liten, men veldig nyttig*



Disse 3 grafene viser mikroelementene som kan påvirke det globale systemet.

- **Atomer** viser det periodiske systemet og resonansene mellom elementene.
- **Påvirkninger** er TCM 5 elementers stjerne, med deres respektive konstruktive eller destruktive påvirkninger beregnet og uthevet gjennom piler.
- **Organismer** er evalueringen av 200 eksterne organismer (virus, bakterier, sopp og parasitter) og deres respektive koblinger.

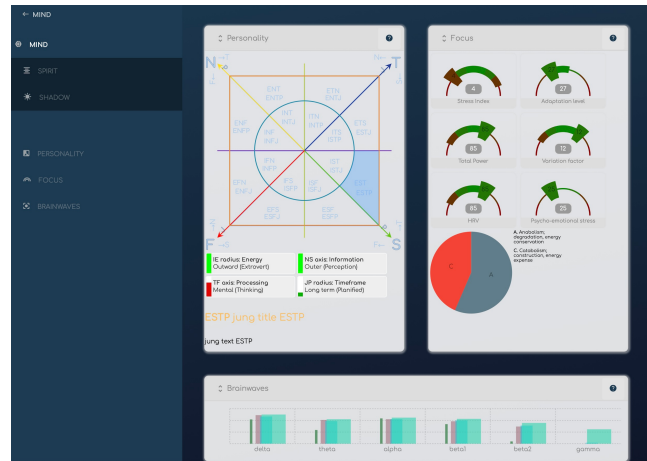


## 5. Skann: Tankemodulen

*Sinn, Ånd og Skygge er fokus for denne modulen.*

Med mer enn 300 biomarkører dedikert til ting som skjer i tankene våre, har Mind modulen som mål å organisere lesningene på en praktisk måte.

- **Mind** tar for seg personlighet, fokus og hjernebølger.
- **Personlighet** rekonstruerer Jung personlighetstype (senere populærgjort som Myers Briggs eller MBTI). For denne skjermen har vi laget en unik, ny logisk visualisering basert på 4 akser vi oppdaget i personlighetsevalueringen.
- **Fokus** grupperer tradisjonelle HRV akademiske indikatorer samt en konstruktiv/destruktiv balansevisualisator.
- **Hjernebølger?** Ja, vår sensor kan lese opptil 64Hz hele kroppens elektrisitet, ikke bare hjertets. Vi designede en algoritme for å ekstrahere de spesifikke informasjonene til hjernebølgene for å få en forståelse av de mest aktive fokusstatusene til sinnet.



### 5.1. Skyggemodulen

*Følelser, sår og drifter*

Skyggen, eller det underbevisste, er en integrert del av vår atferd.

- **Følelser** hentes fra hovedrytmer i EKG.
- **Sår** relaterer seg til TCM-påvirkninger. De 5 sårene (eller 8 sår som det opprinnelig var designet) har hatt en populær bruk i 30 år. I BioCoherence utvider vi deres betydning ved å legge til deres respektive konstruktive eller destruktive relasjoner.
- **Drev** er en helt ny måte å organisere følelser på en meningsfull måte.



### 5.2. Skygge: kjører

*En ny måte å organisere følelser på.*

**Drives** er en helt ny måte å organisere følelser på en meningsfull måte i 28 grupper av motsetninger, pent ordnet i 3 hovedgrupper (ME Inne, ME Ute og ANDRE), hver med 3 undergrupper (Følelse, Kjensle, Handling).

- **ME Inne** tar for seg følelsene som angår min indre funksjonering.
- **ME Ute** tar for seg de følelsene som relaterer min indre virksomhet til det som skjer rundt meg.
- **ANDRE** tar for seg følelsene som relaterer til andre mennesker rundt meg.
- **Følelse** er roten til deres opprinnelse.
- **Kjensle** er hvordan jeg tolker dem.
- **Handling** er hva jeg gjør med dem.

Ved å bruke meditasjonsteknikker som den observerende sinnet, kan man bedre forstå artikuleringen og implikasjonene av oppståtte følelser.

Resonanslenkene mellom følelser, som vises når du klikker på grafen, kan også hjelpe til å forstå hva som skjer.



## 5.3. Åndemodulen

### Musikk og skala justering

Ånden er den delen av oss som overskrider rom og tid.

- **Musikk** er en avlesning av hovedfrekvensene i EKG kombinert med mye musikkteori. Skala og hovedakkorder beregnes på kort sikt (en takt), middels sikt (2 takter), lang sikt (3 takter) og svært lang sikt (4 takter). Disse brukes deretter når man bygger den tilpassede meditasjonen, for å ta deg musikalsk fra der du er, til der du kan gå.
- **Justering** er basert på Dan Winters ligning og Elfie heltallsverdier<sup>2</sup>.
- I Justering, **Fokusert koherens** er, som Dan sier, den "Ekte Hjerterkoherensen": den beregner mengden fokus gjennom cepstrum (andre ordens FFT) eller, i enkle termer, den beregner hvor mye de globale frekvensene funnet i EKG er **musikalsk** i harmoni og i fase sammen.
- I Justering, **Ekte Hjerterkoherens** beregner det samme, men for frekvenser som er multipler av den gyldne middelverdi mellom dem.
- 
- I Justering, **Innebygd implosjon %** viser delen av frekvensene som er nær heltalls Elfie-verdier, og indikerer dermed mengden energi som for øyeblikket er innebygd i den beste energiimplosjonssyklus.



2. <https://elfie.link>

## 6. Balansmodulene

*Prioriteringer, ressurser, rapporter og veiledede meditasjoner.*

Balance er en samling verktøy for å hjelpe deg med å oppnå maksimal kvalitet.

- **Prioriteringer** er hva som trenger oppmerksomhet nå.
- **Ressurser** er hva du kan pålitelig bygge på.
- **Rapport** er et PDF-dokument for alle viktige deler av analysen.
- **Balanse** er genereringen av veiledede meditasjoner, frekvenser, binaurale slag og re-evalueringer, alt optimalisert i sanntid via biofeedback.

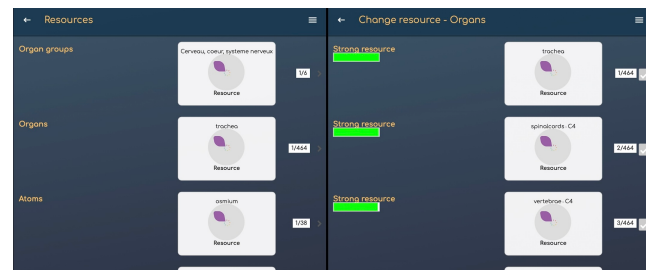
### 6.1. Ressurser



*Kraften til ressurser: de er allerede dine og de er allerede tilgjengelige for å hjelpe*

Ressurser er de hovedpilarene, de hovedenergikildene for denne innspillingen. Balance-modulen er for det mest bygget på ressurser for å velge relevante frekvenser, binaurale slag og lydveiledningsstemmer for å bygge opp energi før man starter arbeidet med prioriteringer.

- Ressurser blir automatisk identifisert, men kan endres hvis nødvendig. For å endre en ressurs, klikk på den og velg en annen av de viktigste ressursene for denne kategorien.

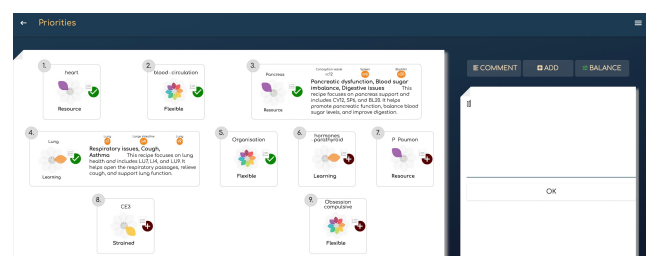


### 6.2. Prioriteringer

*Hva trenger oppmerksomhet.*

Prioriteringer er biomarkører som trenger oppmerksomhet. De beregnes automatisk etter en optakning, men det er helt opp til brukeren å legge til eller fjerne prioriteringer.

- Prioriteringer kan legges til eller fjernes fra enhver biomarkør blomst, i hvilken som helst side, eller i Prioriteringer modulen. Bare klikk på knappen!
- Under prioriteringer, **Kommentar** knappen lar brukeren legge til valgfri tekst.



- **Legg til** knappen viser en liste over relevante tilleggsprioriteringer å velge mellom, hvis nødvendig, fra Organer, Akupunktur meridianer, Meridian punkter, TCM Oppskrifter, Chakraer, Drifter, Momentum...

## 6.3. PDF Rapport

*1-klikk eksport av alle viktige opplysninger som en PDF*

PDF-rapporten kan skrives ut, lagres eller sendes med ett klikk. Den inneholder:

- Klientinformasjon
- Opptaksinformasjon
- Annotasjoner
- Deler og økter
- Ressurser og prioriteringer
- Hovedmeridianer (energi, entropi, koherens)
- Hovedorganer (energi, entropi, koherens)
- Hoved MTC-opskrifter (energi, entropi, koherens)

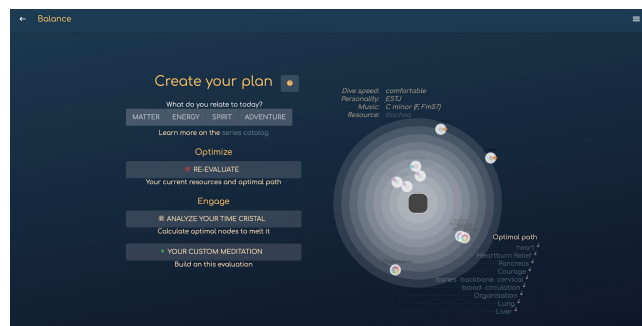
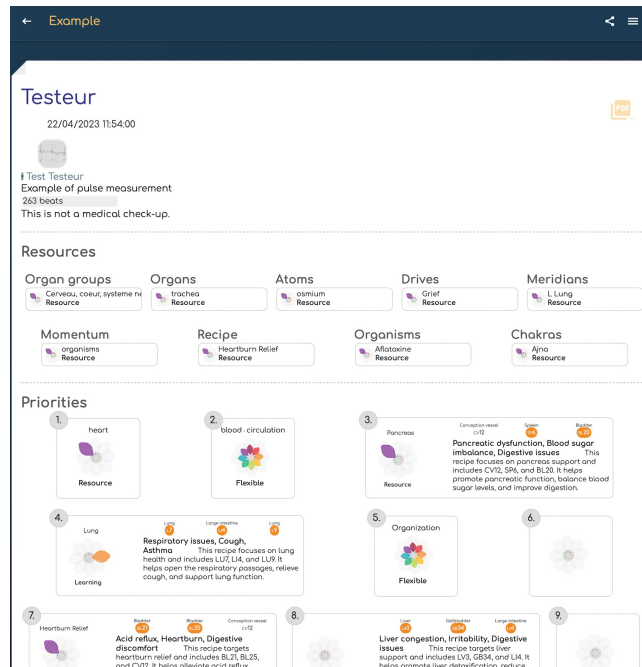
Den kan tilpasses av Pro.

## 6.4. Balanse: den tilpassede meditasjonen

*Nå er det på tide å ta affære.*

Balanse er et hele modul for å lage tilpassede meditasjoner.

- Brukeren kan velge en stil han relaterer til, som vil plukke kort fra forskjellige veiledede meditasjonsserier.
- Det er anbefalt å vurdere på nytt hver dag, før en ny meditasjon: alle biomarkører vil utvikle seg og meditasjonen vil bli beregnet deretter.
- De hovedparametrene (dykkhastighet, personlighet, musikk, ressurser) beregnes fra de hovedtrekkene til de beregnede biomarkørene. Musikken genereres fra den nåværende melodien og akkordene til brukeren, til den ønskede tilstanden, i en harmonisk progresjon.
- Prioriteringene vises som planeter som sirkler rundt brukeren, lengre og lengre borte fordi det's slik meditasjonen vil nærme seg dem, lengre og lengre inn i dyp rom.
- Et tilleggsværktøy er **tid Cristal smelter** som vil bli beregnet rundt heltalls tid-Elfie verdier og minne brukeren på riktige tidspunkter om beslutningene og arbeidet i prosess. Tenk på det som mikro-meditasjoner, 5 til 30 sekunder for seg selv på spesifikke tidspunkter. Målet er å oppløse tid Cristal av vaner og omprogrammere hele systemet på 21 dager.

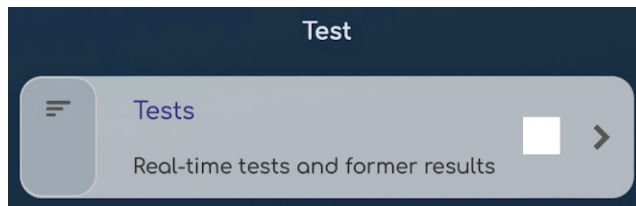


## 7. testsmodulene

*Bruke biofeedback for å få sanntidsvurdering av enhver informasjon*

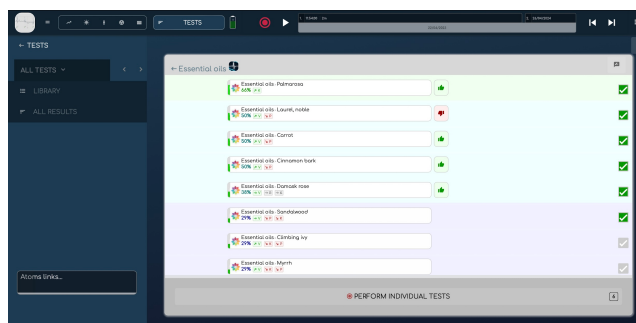
**Tester** er en unik måte å vurdere enhver type informasjon.

- Ved å bruke biofeedback i sanntid, er tester individuelle vurderinger av kompatibilitet.
- Tester er laget av lister over elementer. Hvert element kan være forhåndsregnet fra et skanningsresultat, og testet live mot kroppens reaksjon på dens informasjon.



### 7.1. En test liste etter en live evaluering

Etter den live evalueringen, kan du se de 2 informasjonene som vises på listen: den automatiske pre-evalueringen (hvis noe), basert på biomarkørens behov og den oppgitte effekten av hvert listeelement; og biofeedback-responsen, en tommel opp eller ned, basert på den somatiske svaret til organismen under testen.

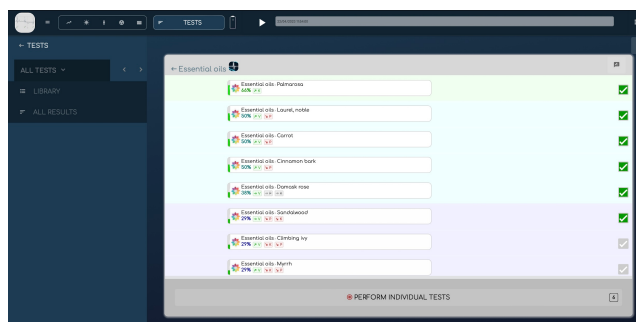


### 7.2. En test liste

En test består av en liste over elementer som skal evaluere og ordnes.

### 7.3. Testlister

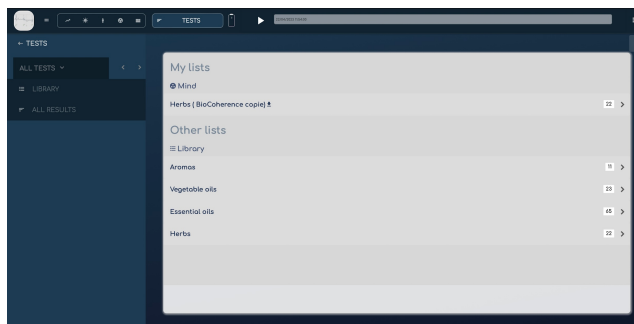
*Søking, redigering, deling og valg av tester*



Tests er en åpen plattform der skapere kan lage og dele sine lister. Du kan søke etter nøkkelord, skaper eller testtype, duplisere eksisterende tester for å bygge din egen, og vise alle testede resultater for den nåværende rapporten med ett klikk.

## 7.4. test: biofeedback live evaluering

Når du lanserer en test, blir informasjonen sendt til brukeren og det somatiske svaret blir evaluert.



## 7.5. tester: rediger

Enhver pro kan lage tester for seg selv eller for å dele senere. For hvert element i testlisten, kan man angi handlingen på biomarkører for automatisk vurdering, eller legge til hva som helst av informasjon for biofeedbackvurdering.



## 8. Forstå modulene

*Skanningsresultater vises under denne modulen.*

Sjekk de forskjellige Scan kapitlene for å få mer detaljer.

Understand	
	<b>Biomarkers</b> <span style="float: right;">9 &gt;</span>
	Evolution charts, events, pulse wave
	<b>Energy</b>  <span style="float: right;">10 &gt;</span>
	Chakras, planes, clock, influences, atoms, doshas...
	<b>Body</b>  <span style="float: right;">13 &gt;</span>
	Organs, meridians, points
	<b>Mind</b>  <span style="float: right;">14 &gt;</span>
	Psychology, mind, spirit, shadow, conscioussness
	<b>Progress</b> <span style="float: right;">&gt;</span>
	Evolution and events

# 3.2.

## Detaljert guide

Denne håndboken dekker alle aspekter av applikasjonen, og hvert kapittel er illustrert med skjermbilder og videoer for å hjelpe deg å forstå hvordan du best kan bruke den.

For å tilgang til videoene og forumet etter kapittel, gå til [biocoherence.net/tutorials](https://biocoherence.net/tutorials)



## Contenido

<b>9.</b>	<b>Introduksjon</b> .....	<b>37</b>
9.1.	Oversikt over programvaregrensesnittet.....	37
9.2.	Åpne en rapport.....	38
9.3.	Opptak med sensor.....	39
9.4.	Kunde håndtering.....	40
9.5.	Flere-dels rapport.....	41
<b>10.</b>	<b>Forstå: Biomarkører</b> .....	<b>42</b>
10.1.	Biomarkører i detalj.....	42
10.2.	Pulsbølge redigering og verifisering (rå opptak).....	44
10.3.	Overvåking av biomarkør endringer gjennom øktenes forløp.....	44
10.4.	Frekvens og Harmonisk Analyse.....	44
10.5.	Den kausale kjeden.....	45
10.6.	Forekomst.....	48
10.7.	Polygraph.....	48
<b>11.</b>	<b>Forstå: Energi</b> .....	<b>49</b>
11.1.	Atomer.....	49
11.2.	Ayurvedisk Energi Vurdering.....	49
11.3.	Chakra Visualisering.....	50
11.4.	Påvirkninger.....	50
11.5.	Momentum.....	51
<b>12.</b>	<b>Forstå: Kropp</b> .....	<b>53</b>
12.1.	TCM meridianer.....	53
12.2.	Organ kart.....	54
12.3.	Akupunkturpunkter.....	55
<b>13.</b>	<b>Forstå: Sinn</b> .....	<b>57</b>
13.1.	Justering.....	57
13.2.	Hjernebølger.....	57
13.3.	Drev.....	58
13.4.	Følelser.....	60
13.5.	Fokus.....	60
13.6.	Musikk.....	61
13.7.	De 2016 personlighetstypene.....	61
13.8.	De 5 sårene.....	63
<b>14.</b>	<b>Test</b> .....	<b>64</b>
14.1.	Testlister.....	64
<b>15.</b>	<b>AI i BioCoherence</b> .....	<b>67</b>
15.1.	AI Hjelpere.....	67
<b>16.</b>	<b>Balanse</b> .....	<b>69</b>
16.1.	Prioriteringer.....	69
16.2.	Ressurser.....	70
16.3.	PDF-rapport.....	71
16.4.	Balanse: Meditasjoner, lyder og verktøy.....	72
16.5.	Harmonisk Forsterkning.....	75

## 9. Introduksjon

*Generell presentasjon av denne guiden*

I denne introduksjonen, skal vi se på hvordan man åpner en eksisterende rapport, importerer et EKG fra Health, eller lager en ny rapport ved å registrere med Sensor. Vi'll også ta en kikk på applikasjonens innledende konsepter.

### 9.1. Oversikt over programvaregrensesnittet

*Grensesnitt på datamaskin, nettbrett eller smarttelefon; fora, kontekstspesifik håndboks tilgang og kontekstspesifik hjelpeforespørsler.*

Når du åpner en rapport etter innspilling, finnes det flere grensesnittelementer for å hjelpe deg med å navigere og analysere dataene effektivt.

Øverst i grensesnittet finner du en meny som gir tilgang til de ulike delene av rapporten. En navigasjonslinje lar deg flytte rundt innen innspillingen. Hovedmenyen er delt opp i flere seksjoner. For å gå tilbake til oppsummeringen, klikk bare på knappen som er tilgjengelig.

Hovedseksjonene omfatter :

- **Skanninganalyse:** Denne seksjonen viser ulike skjermbilder, som kropp, energi, biomarkør teknisk analyse, sinnsanalyse, og utviklinger gjennom innspillingene.
- **Tester:** For øeblikket har denne seksjonen bare ett oppføring, men flere alternativer vil bli lagt til. Den inkluderer listetester, frekvenstester og live-tester.
- **Sensorforbindelser:** Ved å klikke på batteriikonet, kan du initiere en Bluetooth-forbindelse til sensorene og starte en innspilling direkte.



[biocoherence.net/n82.92](http://biocoherence.net/n82.92)

Navigasjon i innspillingen kan være øverst på skjermen på en datamaskin eller nederst på en telefon, avhengig av skjermstørrelse. Du kan navigere mellom seksjoner som før økt, etter økt, og se alle handlinger utført for en spesifikk kunde. Grensesnittet lar også slått for slått navigasjon for detaljert sanntidsanalyse.

Rapportlagring inkluderer kundeinformasjon, rapportoverskrift, og muligheten til å lagre rapporten i skyen. Dette gir tilgang fra flere enheter og sikrer data borte fra den lokale datamaskinen. Du kan også endre kunden hvis en innspilling har blitt startet på feil profil.

Den generelle menyen øverst i grensesnittet tilbyr flere alternativer:

- Gå tilbake til hjemmesiden
- Rediger testlister
- Kontaktadministrasjon
- Modifikasjon av kontaktopplysninger og konto
- Endre abonnement
- Oppdater applikasjonsdata
- Bruke Elfie kalkulator

Nyheter og et alternativ for hjelp er tilgjengelig fra alle sider. I tilfelle av et teknisk problem, kan du legge inn "Meninger og forslag", stille et spørsmål, eller sende en supportforespørsel med et skjermbilde.

### Hjelpeforespørsler, fora og nettmanualer

Applikasjonen tilbyr også kontekstsensitiv hjelp og integrerte videoer for hvert element. Når du ser spørsmålsteget symbolet (?), vil det åpne en liten hjelpetekst. Denne teksten kan gi deg tilgang til en video og manuell side direkte. Den vil også gi deg tilgang til et samarbeidsforum. Hvis du ikke har et spesifikt problem men ønsker å gi en kommentar på dette punktet, eller hvis du trenger avklaring mellom praktiskere, kan du åpne dette samarbeidsforumet ved å klikke på spørsmålsteget. Du kan da stille spørsmål eller svare på andre brukeres spørsmål der.

"Varsler & Forslag" funksjonen er tilgjengelig fra enhver side i grensesnittet ditt og lar deg be om hjelp i tilfelle av et teknisk problem. Slik bruke det effektivt:

1. Åpne menyen i øverste høyre hjørne og tilgang til "Varsler og forslag" menyen.
2. skriv spørsmålet eller beskriv problemet ditt i tekstboksen som er tilgjengelig.
3. Systemet vil søke i kunnskapsbasen etter et svar på spørsmålet ditt.
4. Hvis et svar finnes, vil det bli vist direkte på skjermen.
5. Hvis ingen svar finnes, kan du sende en supportforespørsel.

For å sende en supportforespørsel, har du to alternativer:

- **Ta et skjermbilde:** Dette hjelper deg med å forstå bedre hva som skjer på skjermen din. Når du har tatt skjermbildet, kan du bruke verktøyene øverst for å annotere bildet. For eksempel, kan du omringe problemområdet og legge til en forklarende snakkeboble.
- **Skrive en ticket:** Du kan også enkelt skrive en beskrivelse av problemet uten å ta et skjermbilde.

Når du har annotert skjermbildet eller skrevet beskrivelsen din :

- Klikk på "Valider".
- Legg til litt tekst hvis nødvendig for å klargjøre din opprinnelige søknad.
- Send meldingen.

Din forespørsel vil da bli konvertert til en ticket med all nødvendig informasjon slik at supportteamet kan hjelpe deg så godt som mulig. Bruk alltid "Råd og forslag" menyen når du har spesifikke spørsmål eller problemer å løse.

## Følge opp forespørslene dine

Fortatt i "Råd og forslag" menyen, en 3.0 knapp "Spor dine billetter" åpner alle dine nåværende forespørseler, slik at du kan legge til informasjon eller se våre svar.

## Gå tilbake til hjemmesiden

Når du går tilbake til hjemmesiden, vises den siste åpne rapporten for rask tilgang. Grensesnittet inkluderer viktige seksjoner for skanninganalyse, live-testing, skanningskonklusjon, og muligheten til å dele resultater.

Grensesnittet er designet for å tilby flytende navigasjon og omfattende verktøy for å analysere og dele innspillinger.

## 9.2. Åpne en rapport

*Oppdag appen*

### Introduksjon

Velkommen til dette kapitlet dedikert til BioCoherence-applikasjonen, tilgjengelig på smarttelefon og datamaskin. Denne applikasjonen lar deg spore og analysere ulike biomarkører for en bedre balanse mellom sinn og kropp.

### Hjemmeskjerm

Når du åpner applikasjonen, finner du deg selv på hjemmeskjermen. Du har to valg: starte en ny måling eller åpne en eksempel rapport. Vi anbefaler at du begynner med å åpne eksempel rapporten for å bli kjent med grensesnittet. Denne hjemmeskjermen har også en meny som gir en rekke informasjon, som vi vil beskrive i detalj i de følgende seksjonene.

### Eksempelrapport

Når du har åpnet eksempel rapporten, vil du merke at beregningen starter umiddelbart. Dette tar deg til hovedmenyen, som er delt inn i følgende seksjoner:



[biocoherence.net/n82.2](http://biocoherence.net/n82.2)

- Balansering: Prioriteringer, Ressurser
- Rapporter: PDF-rapport, Guidede meditasjoner
- Detaljert analyse: Biomarkører, Energi, Kropp, Sinn, Fremdrift

## Datamaskinapplikasjon

Datamaskinapplikasjonen tilbyr en lignende opplevelse som på en smarttelefon, med mer plass til å navigere. Menyene og seksjonene er identiske, men visningen er optimalisert for større skjermer.

## Navigasjon

Enten du bruker en smarttelefon eller en datamaskin, er et navigasjonsområde tilgjengelig øverst eller nederst på skjermen. Dette lar deg flytte fra en seksjon til en annen, spesielt for å sammenligne før- og ettertrening opptak, eller for å spore daglig fremdrift over en gitt periode. For å gå tilbake eller fremover i opptaket, trykk enkelt på "spill av" og naviger gjennom opptaket.

## Biomarkeranalyse

Når du velger "Biomarkører"-seksjonen, kan du undersøke data som pulsølge. Denne analysen kan variere avhengig av markertype og opptakstid. På datamaskinen er det tilgjengelige ekstra faner som "Tester" og "Fremdrift", som gir en detaljert oversikt over utviklingen av biomarkører i løpet av øktene.

## Konklusjon

Dette kapitlet har gitt en generell oversikt over BioCoherence-applikasjonen. For en grundig forståelse av hver skjerm og funksjon, inviterer vi deg til å konsultere de komplementære videoene.

## 9.3. Opptak med sensor

Flere metoder er tilgjengelige for å lage en ren EKG opptak med BioCoherence. Du kan starte fra hjemmesiden ved å initiere et nytt opptak og klikke på "opptak". Et annet alternativ er å starte fra "fremdrift" siden eller ved å klikke på batteriikonet øverst på skjermen. Disse handlingene vil automatisk koble applikasjonen til Bluetooth-sensoren og starte opptaket.

Under opptak vises en animasjon for å illustrere de forventede resultatene. Imidlertid blir ikke denne animasjonen oppdatert i sanntid med målingene. Dataene vil bli beregnet ved slutten av opptaket. Animasjonen hjelper deg til å bruke den tiden som trengs for å oppnå et godt opptak, ideelt sett minst to minutter.

Tre skyveknapper øverst på skjermen, merket "energi", "aktivitet" og "kobling", fylles opp progressivt. Disse cursorene må være helt fylte for å sikre at informasjonen som samles er tilstrekkelig til å beregne alle de nødvendige variablene. Når disse cursorene når 100%, anses opptaket for å være tilstrekkelig.

For å sikre opptaks kvalitet, plasser en tommel på hver sensor. Hvis signalet ikke har god kvalitet, bruk elektrodegel eller fukt fingrene dine litt. Signal kvalitet evaluert automatisk. For eksempel, hvis du fjerner en finger, stopper opptaket umiddelbart. Hvis du setter fingeren din tilbake, tar gjenoppkobling omtrent et sekund, men du kan måtte recalibrere.

Hvis du ikke påfører tilstrekkelig trykk, flytter eller gjør brå bevegelser, endres skjermen til en rød bakgrunn, som indikerer at dataene ikke blir tatt i betraktning. Enheten vil vente på recalibrering, indisert ved tilbakekomsten av de grønne prikkene og fraværet av den røde bakgrunnen, før den gjenopptar opptaket av data av god kvalitet.

Når cursorene er 100% fulle, klikk på "Stopp". Applikasjonen vil da beregne alle dataene, og du vil kunne konsultere de ulike hovedkapitlene i skanneopptaket.



[biocoherence.net/n82.13](http://biocoherence.net/n82.13)

## 9.4. Kunde håndtering

### Oversikt

BioCoherence Pro lar deg nettverke med et uendelig antall kunder, hver av dem kan knyttes gjennom sin egen applikasjon. Dette kapitlet vil veilede deg gjennom trinnene som er involvert i å administrere og dele informasjon med kundene dine.

### Kundeseleksjon

På alle sider der du må velge en kunde, finnes det en knapp i øverste høyre hjørne for å gjøre denne valget. For å finne en kunde, bare skriv inn navnet hans i søkeområdet. Systemet vil vise de tilsvarende kundene og antallet oppføringer tilgjengelig for hver.



[biocoherence.net/n82.15](http://biocoherence.net/n82.15)

### Registreringsbehandling

Når du har valgt en kunde, vil du se de tilgjengelige oppføringene for den kunden. Oppføringer kan identifiseres ved ulike piktogrammer:

- Et piktogram indikerer at oppføringen er lagret på den lokale datamaskinen.
- Et annet piktogram indikerer at opptaket er i skyen.
- Et tredje piktogram indikerer at kunden har tilgang til dette opptaket.

### Deling av rapporter

Når du åpner en rapport, kan du velge om du ønsker å dele tilgang med kunden. På hjemmesiden, finnes det en knapp som lar deg endre kundens informasjon, som kjønn, e-post og et bilde. Denne informasjonen er avgjørende for visualiseringer spesifikk for kjønnete organer og chakraer.

### Sending invitasjoner

For å sende en invitasjon til en kunde, oppgi deres e-postadresse og klikk på "Send e-post". Du kan også dele invitasjonslenken eller tekst via SMS, WhatsApp eller en annen applikasjon tilgjengelig på enheten din. Meldingen kan sendes på engelsk eller fransk, ved å endre språket med flagget velgeren.

Ved å bruke disse funksjonene, kan du enkelt administrere og dele informasjon med kundene dine på BioCoherence Pro, mens du sikrer effektiv og sikker kommunikasjon.

BioCoherence appen gir omfattende funksjoner for bruker og klientadministrasjon, som lar brukere administrere sine egne profiler og de til klientene deres. Denne seksjonen detaljerer funksjonalitetene som er tilgjengelige for å administrere brukere og klienter innen appen, inkludert å opprette nye kontakter, bytte mellom brukere, og administrere brukerdatabasen.

### Aktuell brukervisning

- **Brukervisning:** Den nåværende brukeren vises øverst på hjemmesiden til appen grensesnittet. Dette kan være deg (den primære brukeren) eller enhver klient eller kontakt.
- **Personvernfunksjon:** Brukere kan sløre alle navn og bilder ved å klikke på sløre ikonet, og sikre personvern når andre kanskje ser skjermen.

### Brukeranalyse

- **Vis analyse:** Klikk på "Åpne analyse" eller "Se alle analyser" vil vise analyser knyttet til den nåværende brukeren kun.
- **Bytte brukere:** For å bytte brukere, klikk på de to pilene ikonet for å få tilgang til brukerens katalog. Den primære brukeren er alltid oppført øverst i denne listen.

### Brukerkatalog

- **Åpne brukerkatalog:** Klikk på de to pilene ikonet for å åpne brukerens katalog.
- **Søke brukere:** Bruk søkeikonet (forstørrelsesglass) nederst på siden for å filtrere brukere ved å oppgi nøkkelord.

- **Opprette nye kontakter:** Få tilgang til kontaktlisten via menyen og klikk "Opprett ny kontakt" for å legge til en ny bruker. Spesifiser kjønn for nøyaktig skjermvisning. Legg til e-posten deres hvis du ønsker å invitere dem eller dele en rapport, eller gi dem tilgang til rapporten i deres app.

## Kontaktadministrasjon

- **Redigere kontakter:** Rediger nåværende kontaktinformasjon, inkludert navn, e-post, og kjønn. Kjønnvalg påvirker skjermvisning, spesielt for kjønnsspesifikke analyser.
- **E-postintegrasjon:** Å legge til en e-post lar direkte sending av PDF rapporter og oppretter en konto på serveren for brukeren.
- **Ytterligere informasjon:** Valgfri felt inkluderer fødselsdato, vekt og personlige notater. Fødselsdato brukes for når det ikke er brukt i beregninger, men vil bli brukt for fremtidige funksjoner som biologisk alder sammenligning.

## Brukerfilbehandling

- **Fil-lagring:** Analyser lagres i brukerens filer. Sørg for at analyser lagres under den korrekte brukeren for å unngå forvirring. Du kan endre brukeren på denne stadiet hvis det var en feil, som å starte en oppføring under en annen bruker.
- **Cloud-opplasting:** Analyser kan lastes opp til skyen for deling. Dette er nødvendig for å dele tilgang med klienter.

## Deling og invitering av brukere

- **Invitere brukere:** Send invitasjoner til brukere via e-post eller tekst, og lar dem tilgang til rapporter og bruke appen.
- **Dele rapporter:** Del PDF rapporter med klienter. Rapporter kan tilpasses ved å velge hvilke seksjoner man vil inkludere.

## Enhetskompatibilitet og oppdateringer

- **Enhetskompatibilitet:** Appen er kompatibel med ulike plattformer, med oppdateringer som jevnlig blir utgitt for å forbedre funksjonalitet.
- **Oppdatere appen:** Brukere bør jevnlig sjekke etter oppdateringer for å sikre seg at de har de nyeste funksjonene og rettelser.

## Ytterligere funksjoner

- **Multi-visning analyse:** Sammenlign flere variabler på tvers av opptak i sanntid. Nyttig for forskning og detaljert analyse. Du kan vise og sammenligne historikken til en gitt kontakt.

## 9.5. Flere-dels rapport

Fors å undersøke detaljene i en rapport, begynn med å åpne den aktuelle rapporten. Klikk på navnet for å åpne den, som vil vise de ulike elementene den inneholder. På toppen av skjermen på en datamaskin, eller på bunnen på en telefon, vises de ulike seksjonene i rapporten. Som standard, er hele opptaket synlig, men du kan velge å vise bare den første eller andre seksjonen, for eksempel.

Seksjonsdetaljer kan tilgås via "Progression" fanen, som også finnes i midten av hjemmesidens grensesnitt. Denne fanen viser utviklingen til de ulike variablene over løpet av opptakene. For eksempel, kan du se opptak som er spredt 5 minutter fra hverandre, 4 minutter 30, eller opptak av ulike lengder, som for eksempel 40 sekunder og 20 sekunder.

Det er også mulig å legge til kommentarer til disse opptakene. Denne funksjonen gjør det mulig å dokumentere begynnelsen og slutten på økter, eller å annotere spesifikke handlinger for å observere utviklingen av markører gjennom løpet av en økt.

De ulike opptakene er direkte tilgjengelige, slik at du kan sammenligne statusen til biomarkører, seksjon for seksjon, og observere endringer i momentum, chakraer, osv. Disse funksjonene tilbyr en detailed, komparativ oversikt over de ulike seksjonene i rapporten.



[biocoherence.net/n82.6](https://biocoherence.net/n82.6)

# 10. Forstå: Biomarkører

## Pulsbølge teknisk analyse

Disse skjermene gjør det mulig med teknisk analyse av pulsølgen, slik som uttrekking av frekvenser og harmonier, redigering av opptakene, direkte analyse av bølgen, biomarkør utviklingsgraf...

## 10.1. Biomarkører i detalj

### Introduksjon

#### Å få tilgang til chakraene

Når en side dedikert til chakraene åpnes, vises de ulike chakraene. Ved å klikke på et spesifikt chakra, vises de tilknyttede biomarkørene til høyre på skjermen.

#### Energi og uro

Den første viktige komponenten er energi, en ressurs vurdert i henhold til dens energigivning nivå og uro. Til venstre på skjermen, visualiseres energi, mens nederst, vises uro. Begge aspektene er representert av 9 forskjellige kronblader, som beskriver tilstanden til energi og uro:

- Her, høy energi og lav uro indikerer en ressurs.

#### Tilleggsinformasjon

Andre informasjonen vises også:

- Oppmerksomhetsnivå
- Intensjonsnivå
- Tidshorisont (kort, medium eller lang sikt)
- Elementets hovedsyklus

#### Evolusjon og Gjennomsnitt

Det er mulig å følge evolusjonen til biomarkørene gjennom en økt, som er delte opp i fire deler. For eksempel, kan du observere en variasjon i energi, med faser av oppgang og nedgang, som lar deg vurdere det generelle gjennomsnittet.

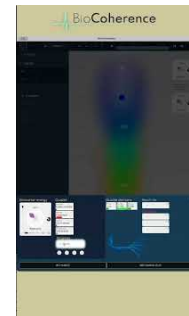
#### Prioriteringer

Hver biomarker side tilbyr over 1,400 forskjellige biomarkører. En knapp lar deg automatisere tillegget av en biomarker til prioriteringene. Ved å klikke på "legg til prioritet", blir denne elementet markert for videre behandling, som meditasjoner eller reharmoniseringsfrekvenser. Prosessen med å legge til og fjerne er bare et enkelt klikk borte.

#### Kvalitet på lenker

Lenker mellom elementene i den samme familien (f.eks. chakraer) blir indisert:

- Nummer av fibre (lenker)
- Resonanspunkter
- Prosentandel av diffusjon (f.eks. 33% av lenkede chakraer)



[biocoherence.net/n82.8](http://biocoherence.net/n82.8)

## Direkte tilgangsknapper

To knapper letter navigasjonen:

- Direkte tilgang til chakraen
- Direkte tilgang til fullskjerm biomarker analyse side

## Hjelp og Informasjon

Et spørsmålsteget er tilgjengelig på hver side, som gir tilleggsinformasjon om kronbladene og meningene til de ulike resonansene og reguleringene.

Kort sagt, dette grensesnittet muliggjør detaljert, personlig forvaltning av biomarkører, som letter analyse og optimalisering av chakraer og andre relaterte elementer.

## Biomarker energi og uro informasjon

### Energi

Den vertikale skalaen til venstre viser den gjennomsnittlige energien til biomarkøren. En lav verdi (til bunnen) indikerer en lav energi biomarker. En høy verdi (til toppen) indikerer en høy energi biomarker. For noen biomarkører (f.eks. akupunkturpunkter, følelser...) kan energien være negativ eller positiv, som indikerer en påvirkning på det generelle likevekten. I dette tilfellet, blir den lave energien indisert i midten av skalaen.

### Uro

Den horisontale skalaen nederst viser den gjennomsnittlige uroen til biomarkøren. En lav verdi (til venstre) indikerer en for det meste statiske biomarker. En høy verdi indikerer en for det meste uroende biomarker.

## Biomarker kronblader

De 8 kronbladene (pluss den åpne blomsten, alle 8 kronbladene i likevekt) indikerer hovedenergien/uro sonen til biomarkøren.

### Statisk

Lav energi, lav uro. Dette er den laveste aktiviteten mulig for en biomarker. Den er vanligvis forbundet med kroniske, langvarige tilstander.

### Lav energi

Lav energi, normal uro. Denne biomarkøren har en lav, men funksjonell aktivitet.

### Spent

Lav energi, høy uro. Dette er et tegn på stress.

### Stabiliserende

Normal energi, lav uro. Denne biomarkøren er en stabil søyle.

### Fleksibel

Normal energi, normal uro. Den åpne blomsten indikerer en optimal funksjonell tilstand.

### Læring

Normal energi, høy uro. Dette indikerer en læringsprosess, vanligvis som reaksjon på noen ekstern informasjon.

### Ressurs

Høy energi, lav uro. Dette er et kjennetegn ved hovedressurser.

### Adaptasjon

Høy energi, normal uro. Dette indikerer en tilpasningsprosess, vanligvis som reaksjon på noen ekstern stimulus.

### Destabilisering

Høy energi, høy uro. Dette indikerer en akutt, vanskelig å løse situasjon.

## Biomarker regulering informasjon

Dette er en ikke-lineær analyse av biomarkøren.

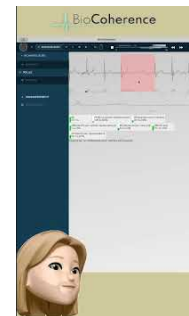
## Oppmerksomhet%

### 10.2. Pulsbølge redigering og verifisering (rå opptak)

I denne seksjonen, vil vi se på hvordan redigere pulsølgen i tilfelle opptaksproblemer, og hvordan sjekke den rå bølgen. For å komme i gang, gå til "biomarkør" seksjonen og velg "pulsbølge". Du'll da være i stand til å se bølgeformen til hvert hjerteslag, punkt for punkt. Denne slag-for-slag visualiseringen er nyttig for å sammenligne og observere utviklingen til hver bølge.

For å gjøre det, klikk bare på den tilsvarende seksjonen. Du kan også aktivere eller deaktivere individuelle slag med et enkelt klikk. Deaktiverte slag vil ikke lenger bli tatt hensyn til i beregningen av blomster eller i grafen.

Til slutt, finner du et sett med tekniske statistikker under pulsølgen, som RR intervall, PR intervall, QRS intervaller og så fremdeles. Disse dataene kan gi verdi informasjon for videre analyse.



[biocoherence.net/n82.9](http://biocoherence.net/n82.9)

### 10.3. Overvåking av biomarkør endringer gjennom øktenes forløp

For å analysere utviklingen av en biomarkør over tid, start med å åpne "Biomarkør" fanen og åpne "Økt", deretter "Dynamikk". Du'll se den fullstendige utviklingen av biomarkøren over tid.

I avspillingsmodus, kan du flytte markøren punkt for punkt for å observere forskjellige deler av utviklingen. På bunnen av skjermen, indikerer merker separasjonene mellom hver del av økten. Du kan justere zoomet for en mer presis analyse, og navigere mellom de forskjellige delene av økten, enten andre, tredje, osv.

Du kan legge til hendelser ved å klikke der du ønsker. For eksempel, hvis du utfører en merkeverdig handling, kan du markere denne hendelsen. Når den er lagt til, er hendelsen synlig som et merke på bunnen av skjermen, og ved å klikke på den, kan du tilgå den igjen. Du kan også flytte hendelsen ved å redigere den, og deretter bekrefte den nye plassen.

Analysen av forholdet mellom det svært korte perspektivet og det korte perspektivet er avgjørende. Noen ganger, er den svært korte kurven over eller under den korte kurven. Når kurven er under, er den markert i rødt, og når den er over, er den markert i grønt. Disse indikasjonene gir viktig informasjon for å vurdere øyeblikkelige trender under testing.

Til slutt, er en syntese av informasjonen tilgjengelig i form av en "blomst" som indikerer energien og agitasjonsnivåene. Denne oppsummeringen kan også analyseres del for del for å observere utviklingen over de forskjellige seksjonene.



[biocoherence.net/n82.16](http://biocoherence.net/n82.16)

### 10.4. Frekvens og Harmonisk Analyse

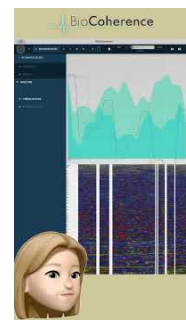
*Takket være en matematisk operasjon kalt FFT, blir bølgen omformet til frekvenser; deretter blir disse frekvensene analysert for å finne deres harmoniske.*

I denne kapitlet, skal vi se på frekvensene og harmoniene beregnet fra bølgeformen. Vi forblir i biomarkørrommet, det vil si i den tekniske listen.

Først, åpne frekvensene. Du vil se en visning mellom 0 og 60 Hz. Øverst i denne visningen, vil du finn de laveste frekvensene, det vil si de svært lave frekvensene under 0.03 Hz, de lave frekvensene, og de høye frekvensene rundt 0.4 Hz. Disse frekvensområdene inneholder generelt svært interessant informasjon.

Vi ser først på frekvensområdet 0-3 Hz, men det's også mulig å finne informasjon om de andre frekvensbåndene.

Deretter, gå videre til Harmonisk seksjon. Denne seksjonen utfører en beregning på frekvensene for å bestemme hvilke som er de sterkeste. Informasjonen som fås her er også relevant for de ulike biomarkørene. Denne tekniske analysen lar deg skanne opptaket og identifisere de dominerende frekvensene. Det er vanskelig å skille relevant informasjon med det nakne øye på disse visningene, men det er en av grunnlagene for hva applikasjonen bruker for å beregne biomarkører...



[biocoherence.net/n82.7](http://biocoherence.net/n82.7)

*FFT (Rask Fourier Transformasjon) er en algoritme som beregner Fourier transformasjonen raskt og effektivt. Den er bredt brukt i signalbehandling, spektral analyse og datakomprimering. Fourier transformasjonen er et matematisk verktøy som dekomponerer en funksjon eller signal til en sum av sinuskurver med ulike frekvenser. Den transformerer et signal fra tidsdomenet til frekvensdomenet.*

## 10.5. Den kausale kjeden

Causal Chain-funksjonen i BioCoherence gir en omfattende måte å analysere sammenhengene mellom forskjellige biomarkører, noe som gjør det mulig for brukerne å identifisere de underliggende årsakene til ubalanser og bestemme de mest effektive intervensjonene. I motsetning til tidligere metoder som bare viste forhold innenfor samme kategori (f.eks. organer knyttet til andre organer), utvider Causal Chain denne analysen til å inkludere alle biomarkørkategorier, som meridianer, chakraer, atomer, patogener og mer. Denne funksjonen gjør det mulig for brukerne å:

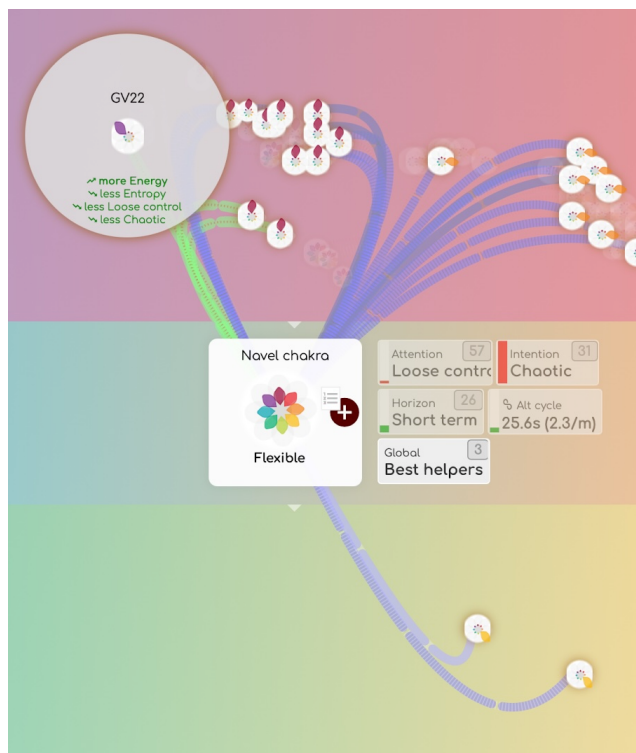
- Identifisere de underliggende årsakene til ubalanser.
- Bestemme hvilke biomarkører som er i resonans med hverandre.
- Finne de beste hjelperne for å gjenopprette balansen.
- Bygge en tilpasset prioritetsliste for harmonisering.

## Tilgang til Causal Chain

For å få tilgang til Causal Chain:

1. Åpne en analyse og naviger til Biomarkører-seksjonen.
2. Velg en biomarkør av interesse (f.eks. et organ, meridian eller drivkraft).
3. Klikk på Causal Chain-undermenyen under Relasjoner-menyen.

Dette vil åpne et nytt grensesnitt som viser alle biomarkører som er i resonans med den valgte biomarkøren.



## Forstå Causal Chain-grensesnittet

Causal Chain-grensesnittet presenterer et nettverkskart av sammenkoblede biomarkører. Nøkelementer inkluderer:

## 1. Sentralt biomarkør

- Biomarkøren du valgte er plassert i sentrum av kartet.
- Alle andre biomarkører som resonerer med den vises rundt den.
- Du kan klikke på hvilken som helst biomarkør rundt for å plassere den i sentrum og beregne på nytt rundt den.

## 2. Resonansbiomarkører

- Kun biomarkører som for tiden er i resonans med den sentrale biomarkøren vises.
- Dessuten kategoriseres de i forskjellige grupper, som organer, meridianer, chakraer, atomer, patogener og mer. Gruppene vises nederst på skjermen. Klikk på et gruppenavn for å vise de relaterte biomarkørene. Hver gruppe kan vise ett eller to tall:
  - alltid, antallet relaterte biomarkører i denne gruppen
  - kun hvis det er, i en hvit sirkel: antallet av store koblinger (beste hjelpere) i denne gruppen.

## 3. Forholdsstyrke

Hver forbindelse mellom biomarkører er fargekodet:

- Store koblinger (hvit, grønn eller blå): Beste hjelpere, med den sterkeste resonansen og mest i stand til å hjelpe (beste forbedringer i energi, agitasjon og kvalitet)
- Grønn: Positiv innflytelse mot den sentrale biomarkøren (f.eks. økende energi, reduserende entropi).
- Blå: Den sentrale biomarkøren sender energi mot den.
- Fine koblinger indikerer spesifikke forhold relatert til oppmerksomhet, intensjon og horisont. Legenden på toppen viser deres betydning.

## 4. Energikartlegging og entropi

- Biomarkørene er plassert på et grafisk kart basert på energinivåer (lav til høy) og agitasjon (entropi) (lav til høy), på samme måte som kronbladene er organisert på blomsten.
- Dette gjør det mulig for brukerne å visuelt vurdere hvilke biomarkører som bidrar til stabilitet eller ubalanse.

## 5. Filtrering og beste hjelpere

Brukere kan filtrere de viste biomarkørene basert på spesifikke kvaliteter:

- Øker oppmerksomheten
- Øker intensjonen
- Øker horisonten
- Justering med hovedsykluser
- Beste hjelpere (biomarkører som gir den mest fordelaktige innflytelsen)

## 6. Navigasjon og historie

- Klikking på hvilken som helst biomarkør vil sentrere den i analysen, noe som gjør det mulig for brukerne å utforske sin egen årsakskjede.
- Et historikkpanel sporer stien av utforskning, noe som gjør det mulig for brukerne å gå tilbake til tidligere biomarkører.
- Brukere kan navigere tilbake til den opprinnelige biomarkøren eller utforske dypere inn i relaterte biomarkører.

# Detallert guide: bruke Causal Chain for analyse

## Trinn 1: Identifiser Rotårsaken

- Start med en biomarkør som vises i prioritetslisten.
- Åpne Causal Chain for å se hvilke biomarkører som påvirker den.

## Trinn 2: Finn de Beste Hjelperne

- Bruk Beste Hjelpere-filteet for å identifisere biomarkører som kan påvirke den sentrale biomarkøren positivt.
- Se etter grønne forbindelser, da disse indikerer de sterkeste fordelaktige forholdene mot den.
- Blå forbindelser kan indikere andre elementer hjulpet av denne biomarkøren og tar energi fra den, og dermed avsløre årsaksmessige forbindelser som kan forklare nåværende tilstander.

## Trinn 3: Bygg en Tilpasset Prioritetsliste

- Klikk på en biomarkør og legg den til prioritetslisten.
- Fortsett å utforske relaterte biomarkører og legg til relevante i listen.
- Dette sikrer at harmoniseringsprosessen adresserer ikke bare symptomet, men også de underliggende årsakene.

## Trinn 4: Bruk Funnene

- Bruk Harmonic Boost-funksjonen for å spille de valgte frekvensene.
- Hvis aktuelt, integrer TCM-punkter, organer, meridianer eller atomer i harmoniseringsprosessen.
- Forbedre Harmonic Boost ved å legge til valgte protokoller på toppen av hver biomarkør.
- Overvåk fremgang over flere økter for å spore forbedringer.

## Eksempel Brukstilfelle

### Scenario: Adresse Lung Ubalanse

1. Velg Lungene fra prioritetslisten.
2. Åpne Causal Chain for å se relaterte biomarkører.
3. Identifiser beste hjelpere: for eksempel Organer: Mage, Lever - Meridianer: Nyre, Blære - Atomer: Tantalum, Osmium - Drivkrefter: Mangel på tillit, Hypersensitivitet
4. Legg til de mest relevante biomarkørene til prioritetslisten.
5. Spill harmoniseringsfrekvensene (Harmonic Boost) og programmer (Personal Guide), og spor fremdrift over tid.

## Fordeler med Causal Chain

- Holistisk Analyse: Gir et komplett bilde av sammenhenger mellom forskjellige biomarkører.
- Personlig Tilnærming: Tilpasser harmonisering til individets unike energetiske tilstand, og lar starte fra et spesielt symptom på klage og finne de relevante årsakskjede-elementene.
- Dypere Innsikter: Hjelper praktikere og brukere med å forstå de underliggende årsakene til ubalanser.
- Effektiv Prioritering: Fokuserer på de mest innflytelsesrike biomarkørene for raskere resultater.

Causal Chain er et kraftig verktøy i BioCoherence som forbedrer evnen til å analysere og adressere ubalanser på et dypere nivå. Ved å kartlegge forholdene mellom biomarkører og identifisere de beste hjelperne, kan brukerne lage svært effektive Harmonic Boost og Personal Guide-programmer skreddersydd til deres spesifikke behov.

## 10.6. Forekomst

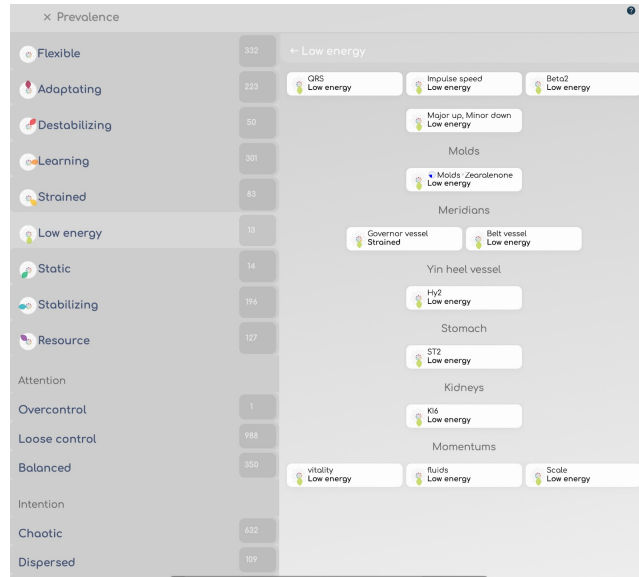
Denne skjermen lar deg se ved et blick alle biomarkører i en spesifikk tilstand:

- etter petal tilstand (fleksibel, tilpassende, lav energi, ressurs...)
- etter kvalitet (oppmerksomhet, intensjon, horisont)

Hovedsiden viser antallet av biomarkører i hver tilstand; klikk på den for å liste de relaterte biomarkørene.

Du kan filtrere biomarkørkategoriene med velgeren i menyen. For eksempel, kan du vise bare organ prevalens, eller punkter i en spesifikk meridian, eller drivere (følelser).

Prevalens kan være nyttig for å få et raskt oversikt ved et blick, og for å se fremgangen gjennom flere re-evalueringer i en journal.



## 10.7. Polygraph

Denne skjermen bruker hovedsakelig akademiske biomarkører.

Den gir en praktisk måte å se på et blick f.eks. VHF, HF, LF og VLF prosentandeler, og en lineær graf med opptil 7 viktige kurver.

Denne kan brukes i sanntid under opptak, da alle skjermene (bare bytt skjerm under et opptak). Alle disse markørene kommer fra den akademiske forskningen på EKG-er. Du kan vise opptil 7 bånd du ønsker, parallelt eller sentrert på den samme linjen.

- I **Bånd** modus, de 7 linjene er: Bpm, HRV, Mayer bølger, VHF, HF, LF og VLF.
- I **Ratio** modus, de 7 linjene er: SDNN (Total kraft), SI (Stressindeks), IC (Indeks for sentralisering), LF/HF (Kraft, vago-sympatetisk interaksjon), LF/VLF (Avslapping), VLF/HF (Stress) og VLF HF (Global aktivitet).
- I **Systemer** modus: CNS, Ortho, Symp, Para, IRSA, Immunitet, HRV.
- I **Brainwaves**: Delta, Theta, Alpha, Beta, Beta1, Beta2, Gamma.

Klikk på en kategori under grafen for å vise disse elementene; klikk på elementene med fargede legender for å vise eller skjule dem. Klikk på Sentrert for å vise alle på den samme baseline. Klikk på blomsten under grafen for å få tilgang til de fullstendige biomarkørdetaljene.



Hvis du gjør forskning med denne grafen, kan det være grunnlaget for nye innsikter eller nye biomarkører. I tillegg, husk at du kan analysere enhver biomarkør i sin tidslinje og med hendelser på biomarkør Dynamikk skjermen.

# 11. Forstå: Energi

Energi-skjermene har grafikk om den biologiske klokken, chakras, impulser, atomer, påvirkninger, ayurveda, mikroorganismer...

## 11.1. Atomer

*Periodisk tabell over elementene*

På Atomer-siden kan du få tilgang til det periodiske systemet for grunnstoffene for å hente informasjon om de forskjellige atomene. Ved å klikke på et atom i dette tabellen, kan du se bindingene det kan ha med andre atomer, dvs. de vanlige resonansene. Denne informasjonen er også synlig nederst på skjermen, men å se den direkte på tabellen er mer intuitivt.

For øyeblikket gir applikasjonen en generell evaluering av resonanser for hvert atom. En fremtidig versjon kan muliggjøre rekonstruksjon av resonanser for hele molekyler, basert på bindingene mellom forskjellige atomer. Denne funksjonen kan være spesielt nyttig som en del av en sjekk-up du gjennomfører, for å se overflødigheter eller mangler i visse elementer, eller for å se, takket være flerpartioptak som kan sammenlignes, om et element stabiliserer seg etter påføring av et produkt eller terapi.



[biocoherence.net/n82.114](http://biocoherence.net/n82.114)

## 11.2. Ayurvedisk Energi Vurdering

*Doshaer og sub-doshaer*

Ayurveda er et tradisjonelt medisinsystem som er forskjellig fra tradisjonell kinesisk medisin, selv om det har noen likheter, spesielt tilsvarende de 12 meridianene i form av 15 sub-doshas. Disse sub-doshas er gruppert i tre hovedpåvirkninger: Kapha, Pitta og Vata.

### De 3 Doshas ifølge Ayurveda

#### 1. Vata

- **Deskripsjon:** Assosiert med luft og etere, Vata styrer bevegelse i kroppen, inkludert blodomløp, respirasjon og nerveimpulser.

#### 2. Pitta

- **Deskripsjon:** Består av ild og vann, Pitta kontrollerer fordøyelse, metabolisme og energiproduksjon.

#### 3. Kapha

- **Deskripsjon:** Består av jord og vann, Kapha er ansvarlig for kroppens struktur, stabilitet og leddsmøring.



[biocoherence.net/n82.98](http://biocoherence.net/n82.98)

### De 15 Sub-Doshas

#### Sub-doshas til Vata

##### 1. Prana Vata

- **Funksjon:** Kontrollerer pust og sinn.

2. **Udana Vata**
  - **Funksjon:** Kontrollerer tale og uttrykk.
3. **Samana Vata**
  - **Funksjon:** Regulerer fordøyelse og assimilering av mat.
4. **Vyana Vata**
  - **Funksjon:** Overvåker omløp og bevegelse av kroppsvæsker.
5. **Apana Vata**
  - **Funksjon:** Regulerer avfallsutskillelse.

## Pitta sub-doshas

6. **Pachaka Pitta**
  - **Funksjon:** Kontrollerer matfordøyelse i magesekken og tarmen.
7. **Ranjaka Pitta**
  - **Funksjon:** Ansvarlig for bloddannelse.
8. **Sadhaka Pitta**
  - **Funksjon:** Påvirker følelser og mentale funksjoner.
9. **Alochaka Pitta**
  - **Funksjon:** Påvirker syn og visuell oppfatning.
10. **Bhrajaka Pitta**
  - **Funksjon:** Regulerer hudhelse.

## Kapha sub-doshas

11. **Kledaka Kapha**
  - **Funksjon:** Smitter og beskytter magesekken.
12. **Avalambaka Kapha**
  - **Funksjon:** Støtter hjerte og lunger.
13. **Bodhaka Kapha**
  - **Funksjon:** Regulerer munn og spyttfunksjoner.
14. **Tarpaka Kapha**
  - **Funksjon:** Smitter hjernen og nervesystemet.
15. **Shleshaka Kapha**
  - **Funksjon:** Smitter ledd.

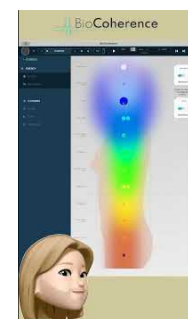
## 11.3. Chakra Visualisering

I denne kapitlet skal vi utforske Energi-fanen, og starter med Chakra-seksjonen. Denne seksjonen lar deg se og interagere med chakra-informasjon i detalj.

Først, kan du velge å vise chakraene ved å klikke på den dedikerte knappen. Du kan vise enten 7 eller 12 chakraer ved å klikke på den lille "12" knappen nederst på skjermen.

Når chakraene er vist, kan du velge et spesifikt chakra ved å klikke på det. Denne handlingen gir deg tilgang til all informasjon om det chakraet, inkludert energikoblinger og tilknyttede akupunkturpunkter. Akupunkturpunktene indikerer chakraets inngangs- og utgangspunkter, og vises på skjermen i varierende størrelser i henhold til deres energipunkt.

I tillegg, chakra auraen vises også, og dens presentasjon varierer i henhold til den generelle energien til det valgte chakraet. På denne måten kan du få en nøyaktig visuell representasjon av energistatusen til hvert chakra.



[biocoherence.net/n82.14](https://biocoherence.net/n82.14)

## 11.4. Påvirkninger

De 5 elementene : Tre, Ild, Jord, Metall, Vann

Et annet viktig energikonsept er det om påvirkninger. Denne skjermen, kalt "påvirkninger", visualiserer forholdene mellom de fem elementene, som vurdert av Tradisjonell kinesisk medisin (TCM). Disse forholdene kan være av skapelse, destruksjon, angrep eller overoppheting.

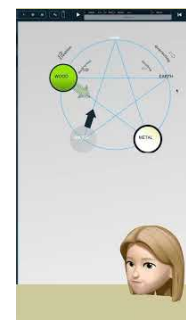
For eksempel, kan tre påvirke metall ved å utøve trykk på det, mens vann kan veie ned ild. På den andre siden, hjelper tre til å skape ild. Disse forholdene er utledet i henhold til TCM regler og meridianvurdering.

De 5 elementene i Tradisjonell kinesisk medisin (TCM) er :

1. **Tre**: assosiert med leveren og galleblæren.
2. **Id**: assosiert med hjertet og tynntarmen.
3. **Jord**: assosiert med spleen og mage.
4. **Metall**: assosiert med lungene og tykktarmen.
5. **Vann**: assosiert med nyrene og blæren.

De hovedforholdene mellom disse elementene er :

- **Skapelsesyklus (Sheng)**: Tre > Ild > Jord > Metall > Vann > Tre.
- **Kontrollsyklus (Ke)**: Tre > Jord > Vann > Ild > Metall > Tre.



[biocoherence.net/n82.116](http://biocoherence.net/n82.116)

## 11.5. Momentum

*begrensninger, balanser og bevegelser*

I denne seksjonen vil vi se på momentum i konteksten av energihåndtering. For å få tilgang til denne funksjonen, gå til "Energi"-menyen og klikk på "Bevegelser". Her vil du oppdage omtrent tyve tilgjengelige momenter, klassifisert i tre hovedkategorier: begrensninger, balanse og bevegelser.

### Momentumprinsippet

Kroppene våre er konstant i bevegelse; bevegelse er liv. Men vi er sammensatt av en mengde elementer, noen av dem er en del av oss, noen av dem er eksterne begrensninger, og noen av dem ønsker å gå imot den generelle interessen. Vi har delt impulsene inn i 3 kategorier: de som bremser oss, de som balanserer oss og de som driver oss.

#### 1. Begrensninger

Begrensninger er elementer som setter bremsene på bevegelse. Disse inkluderer:

- Geopatisk stress (klikk på et hvilket som helst element i grafen for mer informasjon).
- Geopatisk stråling.
- Geopatisk vann: vannårer, brudd, osv. som induserer underjordiske elektriske strømmer.
- Harmfulle energier.
- Tungmetaller.
- Patogener.
- Miasmer.
- Toksiner.



[biocoherence.net/n82.97](http://biocoherence.net/n82.97)

## 2. Balanse

Balanse-delen dekker aspektene som hjelper til med å opprettholde stabilitet. Den inkluderer:

- Emosjonell balanse.
- Energibalanse.
- Søvnkvalitet.
- Terrain (generell kroppsbalanse).
- Vertikal balanse.

## 3. Bevegelser

Bevegelse omfatter faktorene som gir deg dynamikk. De viktigste elementene er:

- Kropper.
- Vitalitet.
- Blood trykk.
- Fluids.

Du kan også observere generell bevegelse og sammenligne den i henhold til de forskjellige stadiene og seksjonene av opptaket ditt.

Et interessant punkt å merke seg er forholdet mellom disse elementene. For eksempel er her kropper knyttet til emosjonell balanse, og blodtrykket mottar og sender informasjon til forskjellige steder, noe som kan gi verdifulle innsikter i den generelle kvaliteten på analysen.

Ved å kombinere denne informasjonen kan du bedre forstå og håndtere de forskjellige aspektene av energien og drivkraften din.

# 12. Forstå: Kropp

*Bruk Navigasjons- og Evalueringsmetoder i Kroppsskjermene*

Kroppsskjermene inkluderer 3 hovedtyper av analyser: TCM meridianer, akupunkturpunkter med tilknyttede TCM oppskrifter, og organer.

## 12.1. TCM meridianer

*14 eller 20 meridianer, koblinger og relaterte symptomer*

"Kropp" seksjonen av applikasjonen tilbyr tre hovedark med informasjon: meridianer, akupunkturpunkter og organer. Dette kapitlet vil fokusere på navigering og evaluering av meridianene.

### 1. Meridianvisning:

- Applikasjonen lar deg velge mellom 14 eller 20 meridianer.
- I 20 meridianer modus, vises ekstraordinære meridianer i tillegg til standardmeridianer.
- I 14 meridianer modus, vises de hoved 12 i tillegg til de to karene: governor og conception.

### 2. Navigering og visualisering:

- Du kan klikke øverst på skjermen for å vise en meridians bane og dens hovedkarakteristikker.
- Klikking på blomsterikonet viser tillegg informasjon.
- Klikk for å navigere mellom meridianer, visualisere koblingene mellom dem.
- Utviklingen av meridianene kan følges gjennom de forskjellige delene av økten.
- Bruk menyen til venstre eller øverst for å navigere på telefonen din.

### 3. Meridianvurdering:

- Klikking på listen over meridianer viser deres vurdering.
- Submenyen tilbyr tre kriterier: energi, entropi og koherens.
- Logikken til disse kriteriene gjelder for alle kjerne sider.

### 4. Evalueringskriterier:

- **Energi**
  - Visning i to kolonner: de mest energiske meridianene og de minste energiske.
  - Mulighet for å vise flere eller færre meridianer per klikk.
  - Ytterligere informasjon basert på nåværende energistatus og Tradisjonell kinesisk medisin (TCM) symptomer.
  - Kryssreferanse informasjon med andre meridianer for mer presise detaljer.
- **Entropi**
  - Viser de mest opprørte og statiske meridianene.
  - Gir mulige symptomer forbundet med hver tilstand.
- **Koherens**
  - Viser meridianer som resonerer sammen.
  - Meridianer i koherens danner et system som resonerer i samme rytme.

### 5. Bruk av informasjon:

- Logikken energi-entropi-koherens brukes for å klassifisere de hovedelementene i en vurdering.
- Disse elementene hjelper til å forstå funksjonen til personen som blir vurdert.

Ved å følge disse instruksjonene, vil du kunne navigere i applikasjonen effektivt og bruke vurderingskriteriene for å få detaljert informasjon om meridianene, deres energistatus, entropi og koherens.



[biocoherence.net/n82.96](http://biocoherence.net/n82.96)

## Om meridianer i TCM:

I Tradisjonell kinesisk medisin (TCM), meridianer er energikanaler gjennom hvilke Qi (livsenergi) flyter. Det er 12 hovedmeridianer, og 8 ekstraordinære meridianer, inkludert 2 regulerende meridianer. Disse er beskrevet nedenfor:

### 12 Hovedmeridianer :

1. **Plass (LU)**: Regulerer pust og immunsystemet.
2. **STor tarm (LI)**: Fjerner fast avfall og regulerer tarmfunksjoner.
3. **mage (ST)**: Fordøyer mat og absorberer næringsstoffer.
4. **Spleen/Pancreas (SP)**: Transformasjon og transport av næringsstoffer, energistøtte.
5. **hjerte (HT)**: Styrer blod og blodkar, kontrollerer sinnet.
6. **Små tarm (SI)**: Separasjon av rene og ureine stoffer, absorpsjon av næringsstoffer.
7. **Bladder (BL)**: Fjerner flytende avfall, regulerer kroppsvæsker.
8. **Nyre (KI)**: Lagrer livsviktig essens, regulerer vann, kontrollerer bein og ører.
9. **Mester for hjertet (PC)**: Beskytter hjertet, regulerer følelser og blodomløp.
10. **Triple Warmer (TE eller SJ)**: Regulerer de tre varmerne (øvre, midtre og nedre), kontrollerer sirkulasjonen av energi og væsker.
11. **Blagdalle (GB)**: Lagrer og skiller bile, hjelper med beslutningstaking.
12. **Lever (LV)**: Lagrer blod, regulerer Qi flyt, støtter sener og muskler.

### 8 Ekstraordinære meridianer :

1. **Conception Vessel (Ren Mai)**: Regulerer Yin meridianer, kontrollerer reproduksjon.
2. **Governor Vessel (Du Mai)**: Regulerer Yang meridianer, kontrollerer sentralnervesystemet.
3. **Penetrating Vessel (Chong Mai)**: Regulerer blod og hovedmeridian energi.
4. **Belt Vessel (Dai Mai)**: Omkranser vertikale meridianer, regulerer kjønn og mage.
5. **Yin Junction Vessel (Yin Qiao Mai)**: Regulerer Yin-Yang balanse, kontrollerer søvn og våkenhet.
6. **Yang Junction Vessel (Yang Qiao Mai)**: Regulerer Yin-Yang balanse, påvirker lemmer bevegelser.
7. **Yin Link Vessel (Yin Wei Mai)**: regulerer Yin meridianer, påvirker følelser.
8. **Yang Link Vessel (Yang Wei Mai)**: Regulerer Yang meridianer, påvirker kroppens forsvar.

### 2 Regulerende meridianer :

1. **Conception vessel (Ren Mai)**: Allerede nevnt blant de ekstraordinære meridianene.
2. **Governor vessel (Du Mai)**: Allerede nevnt blant de ekstraordinære meridianene.

Disse meridianene

## 12.2. Organ kart

*Mer enn 10 detaljerte organ diagrammer og lenker*

I denne seksjonen, vil vi utforske funksjonaliteten til organer i vår kroppsvurderingsapplikasjon. Når du får tilgang til organer-kategorien, vil du først bli presentert med en fullstendig kroppsvisualisering. Du kan gå inn i den generelle vurderingen ved å klikke på et spesifikt organ for å se dens forhold til andre deler av kroppen. For eksempel, er de fremhevede organene de som er av interesse. Ved å klikke på hjertet, vil du se det forholdet til ulike organer, og disse forholdene er også synlige på kartet.



[biocoherence.net/n82.95](https://biocoherence.net/n82.95)

### 12.3. Akupunkturpunkter

*Vurder over 350 akupunkturpunkter og relevansen av hundrevis av TCM oppskrifter*

#### Utforskning av punkter og meridianer

Når du utforsker kroppen i programvaren, har du tilgang til meridianer, punkter og organer. Ved å klikke på en spesifikk meridian, endres visningen for å vise detaljer om punktene på hver meridian, i stedet for hele meridianene. Denne funksjonen muliggjør presis evaluering av hvert punkt.



[biocoherence.net/n82.94](https://biocoherence.net/n82.94)

#### Valg og informasjon om punkter

Du kan klikke på hvert punkt for å få detaljert informasjon om det bestemte punktet. Det er også mulig å velge en meridian og se statusen for hver av punktene dens. Ved å bytte meridianer, kan du se de forskjellige punktene og deres plasseringer på et kart, som er spesielt nyttig for effektiv navigering.

#### Navigering og sporing av meridianer

Du kan navigere meridianer ved å klikke på meridianens tittel i velgeren øverst på skjermen. Du kan også se utviklingen til punktene gjennom sesjonene. Denne funksjonen er uvurderlig for å spore utviklingen til spesifikke punkter over tid.

#### Meridian-spesifikk informasjon

Når du velger en meridian, får du tilgang til forskjellig informasjon enn den som er tilgjengelig i meridian-fanen. Her finner du de åtte hovedpunktene, som ambassadørpunktet, fordeling, sprut og elv, som er essensielle i tradisjonell kinesisk medisin (TCM). Informasjon om meridianens strømforsyning og tilkoblinger er også tilgjengelig.

#### Visning av punkter på kartet

Når du klikker på et punkt, vises dennes presise plassering på kartet. Menyen til venstre tilbyr alternativer som energi, entropi og koherens. Ved å velge energi, viser visningen de mest energetiske og minst energetiske punktene i lilla og gul, henholdsvis.

#### TCM Oppskrift Logikk

Programmet bruker en TCM oppskrift logikk, som kombinerer flere punkter for å korrigere et symptom. For eksempel, hvis visse punkter resonerer sammen og er for svake eller for sterke, kan dette indikere en ubalanse. TCM oppskrifter, utviklet over tusenvis av år, blir brukt for å behandle spesifikke symptomer som magesyre. I denne applikasjonen, har vi brukt en invertert logikk. Vi antok at hvis visse punkter resonerer sammen og har energileveler som er for lave eller for høye, kan dette gi oss verdifulle innsikter. For eksempel, høyt energetiske eller svært lav-energi punkter, eller punkter som er for urolige eller for statiske, kan signalisere en ubalanse i det koherente systemet som normalt brukes for å behandle tilstander som magesyre eller pyrose. Ta tilfelle der tre spesifikke punkter på en individ er svært statiske. Dette kan indisere at oppskriften eller behandlingen knyttet til disse punktene er nødvendig for den personen. Denne tilnærmingen kan gi deg tilleggsdeider for diagnose.

## **Bruk av oppskrifter**

Oppskrifter kan brukes gjennom akupunktur eller ved å bruke lyd eller elektriske frekvenser under balanseringsfasen. Koherente systemer, hvor punkter resonerer sammen, er spesielt relevante for nøyaktig diagnose. Synkroniseringen av punkter suggererer en økt relevans av TCM behandlinger for personen som blir analysert.

## **Konklusjon**

Dette kapitlet har detaljert bruken av punkter og meridianer i TCM programvare, som forklarer hvordan man navigerer, velger og tolker informasjon for nøyaktig diagnose og effektiv behandling.

# 13. Forstå: Sinn

*Sind, ånd og skygge*

Disse skjermene er dedikert til de mentale, åndelige og ubevisste delene av analysen. De inkluderer personlighet, musikalsk harmony, følelser, justering, sår og motorer.

## 13.1. Justering

*Justering og Koherens i Elfie Bølge Håndtering*

Justering er en essensiell komponent i sinnet, spesielt når man arbeider med Elfie bølger. Justering manifesterer seg i ulike skalaer av disse bølgene, og forståelsen av dem kan fasiliteres gjennom bruken av visualiseringsverktøy. For eksempel, kan hjertekoherens blir representert visuelt, og tilbyr et perspektiv på en individs energi tilstand.

I grensesnittet, tre skyveknapper nederst lar parametere bli visualisert, mens øverst, en visualisering av implosjons spiralen blir vist. Elfie bølge skalaen, som illustrert av verdiene 205, 206, og 214, indikerer det nåværende skalenivået. For detaljert informasjon om en spesifikk verdi, slik som 214 Elfie, klikk bare for detaljer om dens karakteristikk og implikasjoner.

Visualiseringen av spiralen lar deg følge energibane gjennom ulike skalaer. Ved å bevege seg nedover spiralen og observere verdiene på hver nivå, er det mulig å forstå hvordan energi utvikler seg over tid. Dette er spesielt relevant i utvidede opptak, hvor utvikling på ulike skalaer kan studeres.

En kritisk aspekt av denne analysen er rettet koherens, spesielt hjertekoherens, som måler i hvilken grad et individs energi er synkronisert med elfie verdier. Disse verdiene betraktes som de mest kompatible for energi-overføring på alle skalaer. Skyveknapper spiller en viktig rolle i justering av disse parametrene for å oppnå optimal koherens.

Avslutningsvis, justering og koherens i Elfie bølge håndtering er komplekse men fundamentale konsepter for forståelse av energi på ulike skalaer. Visualiseringsverktøy og skyveknapper tilbyr uvurderlig hjelp til navigering og optimalisering av disse parametrene, som bidrar til bedre energihåndtering og overføring.

Mer informasjon på <https://elfie.link> eller i "Elfie" menyen i programvaren.



[biocoherence.net/n82.103](https://biocoherence.net/n82.103)

## 13.2. Hjernebølger

*Analyse av generell hjernebølgeaktivitet*

I denne seksjonen vil vi se på den siste fanen i "Mental"-grensesnittet, som omhandler hjernebølger. Denne funksjonen er fortsatt i eksperimentell fase. Det er dristig å si at vi kan lese hjernebølger i et EKG, så det lar deg undersøke analysemålingene i EKG som tilsvarer de ulike hjernebølgene og observere deres utvikling over tid. Tross alt måler enheten vår den elektriske aktiviteten i hele kroppen, men hjernebølger er på et 100x mindre kraftig nivå enn EKG, så det er fortsatt en eksperimentell algoritme.

Visningen av hjernebølger er dynamisk. Når du er i avspillingsmodus, vil du legge merke til en multibåndvisning. Logikken bak denne visningen er at jo bredere båndet er, desto lengre periode av tid representerer det. Omvendt indikerer et tynnere bånd en kortere periode av tid.

Her er en forklaring på de forskjellige båndene:

- Det korteste båndet tilsvarer svært kortsiktige målinger, målt på nivået av hjerteslag eller noen få slag.
- Etter hvert som båndene blir bredere, representerer de stadig lengre perioder med tid.

Det er viktig å merke seg at kortsiktige elementer beveger seg veldig raskt, mens langsiktige elementer viser langsommere variasjoner.

Når du klikker på et bånd, vises en evaluering nederst på skjermen med en representasjon av blomsten du kjenner. Du kan bruke denne vurderingen til å legge til elementer direkte til prioritierungslisten din, noe som gjør det enklere å spore og analysere hjernebølgene dine.



[biocoherence.net/n82.105](https://biocoherence.net/n82.105)

## For å finne ut mer

Hjernebølger er delt inn i flere kategorier, hver knyttet til forskjellige mentale tilstander og nivåer av årvåkenhet:

1. **Delta-bølger (0.5-4 Hz):** Knyttet til dyp søvn og regenerering.
2. **Theta-bølger (4-8 Hz):** Knyttet til dyp avslapning, meditasjon og lett søvnfase.
3. **Alpha-bølger (8-12 Hz):** Korrigeret med en tilstand av rolig avslapning og våken meditasjon.
4. **Beta-bølger (12-30 Hz):** Knyttet til konsentrasjon, årvåkenhet og kognitiv aktivitet.
5. **Gamma-bølger (30-100 Hz):** Knyttet til høye kognitive prosesser, som læring og hukommelse.

Dessuten fluktuerer disse bølgene i henhold til individets aktiviteter og mentale tilstander.

## 13.3. Drev

*51 følelser, følelser og handlinger ansikt-til-ansikt, i 3 hovedgrupper og 3 undergrupper for hver.*

## Forstå motorene i sinnet og det ubevisste sinne

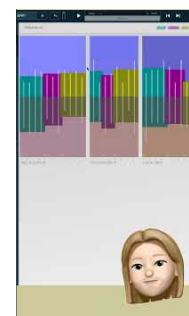
Det siste elementet i sinne og den ubevisste delen av skanningen angår motorene. Driverne består av omtrent seksti følelser, som kan være konstruktive eller destruktive. Disse følelsene er klassifisert i tre kategorier: den **indre selv**, den **ydre selv** og **andre**.

### 1. Kategorier av følelser:

- **Indre selv:** Inkluderer alle følelser relatert til vår indre verden.
- **Ydre selv:** Inkluderer alle følelser relatert til vår ydre verden.
- **Andre:** Inkluderer alle følelser relatert til våre interaksjoner med andre.

### 2. Struktur av følelser:

- Hver kategori av følelser er delt opp i tre underdivisioner: følelse, følelse og handling.
- **Følelse:** Grunnlaget for all realisering, den genererer deretter en følelse.
- **Følelse:** Stammer fra følelse og fører til handling.
- **Handling:** Det endelige resultatet av følelse-følelse prosessen.



[biocoherence.net/n82.104](https://biocoherence.net/n82.104)

### 3. Horizontal organisering:

- Følelser er også klassifisert horisontalt: øverst er konstruktive følelser og nederst, destruktive følelser.
- For eksempel, depresjon er motsetning til å gi slipp, helseangst til meditativ tilstand, hjertesorg til glede, og selv-sabotasje til tilfredshet.

### 4. Interkoneksjoner:

- Følelser kan være interkonektet på forskjellige steder. For eksempel, ro er motsatt tvangsmessig besettelse, refleksjon motsatt hardhet, og så videre.
- Disse interkoneksjonene gir viktig informasjon for meditasjon og selvforståelse.

### 5. Kustomisering:

- Det's mulig å velge spesifikke følelser å jobbe med. For eksempel, hvis organisasjonen er i en lav-energi tilstand, kan du bestemme deg for å styrke den.
- Du kan legge til spesifikke elementer, som den høye-energibeslutningen, til din personlige arbeidsliste.

Kort sagt, forståelse og organisering av disse emosjonelle driverne muliggjør bedre håndtering av våre følelser og handlinger, og fasiliterer mer balansert og bevisst personlig utvikling.

## For å finne ut mer

Følelser og følelser er interne responser på eksterne og interne stimuli.

- Den indre selv omfatter selvbevissthet, personlige tanker og følelser.
- Den ydre selv angår bildet vi projiserer til andre og adferden vi viser i samfunnet.
- Den andre selv angår måten vi reagerer på alt det utenforliggende verden presenterer for oss.

Interaksjoner med andre påvirker disse to dimensjonene gjennom emosjonelle utvekslinger og sosialt tilbakemelding. Følelser som glede, sorg, raseri og frykt former våre opplevelser og handlinger, som igjen påvirker vår oppfatning av oss selv og andre. En bedre forståelse av disse dynamikker kan forbedre emosjonell intelligens og interpersonlige relasjoner.

Her er en detaljert beskrivelse av hver følelse:

1. **Agilitet:** Evnen til å tilpasse seg raskt og effektivt til forandring.
2. **Helseangst:** Overdreven bekymring for egen helse eller andre sin helse.
3. **Beneficence:** Holdning av vennlighet og medfølelse mot andre.
4. **Hjertesorg:** Dyp følelse av sorg og emosjonell smerte etter et tap eller skuffelse.
5. **Ro:** En tilstand av tranquillitet og indre ro.
6. **Karakter:** Evnen til å tiltrekke, skjarmere og påvirke andre.
7. **Konsentrasjon:** Evnen til å opprettholde oppmerksomhet på en spesifikk oppgave eller mål.
8. **Selvtillit:** En følelse av sikkerhet og trygghet i egen kapasitet eller andre sin.
9. **Refleksjon:** Omsorg og respekt for følelser og behov til andre.
10. **Mot:** Evnen til å konfrontere frykt, smerte, fare eller usikkerhet.
11. **Beslutning:** Evnen til å ta valg med beslutsomhet og beslutsomhet.
12. **Depresjon:** En langvarig tilstand av sorg, fortvilelse og tap av interesse for livet.
13. **Vilje:** Beslutsomhet til å forfølge mål til tross for hindringer.
14. **Eufori:** Intens følelse av lykke og spenning.
15. **Elokvens:** Evnen til å uttrykke seg klart og effektivt.
16. **Emosjonell ustabilitet:** Overdreven og uforutsigbar variabilitet av følelser.
17. **Empati:** Evnen til å forstå og dele følelser til andre.
18. **Uregelmessig humør:** Hyppige og uforutsigbare humørforandringer.
19. **Utmatning:** Følelse av ekstrem tretthet, både fysisk og emosjonelt.
20. **Sorg:** Intens emosjonell smerte, vanligvis på grunn av tap.
21. **Ærlighet:** Kvalitet av å være åpen og ærlige.
22. **Håp:** Positiv forventning om en bedre fremtid.
23. **Fortvilelse:** Total tap av håp og tillit til fremtiden.
24. **Hyperemosjonell:** Overdreven emosjonell reaksjon på stimuli.

## 13.4. Følelser

*sorg, sikkerhet, kjærlighet, sannhet, fred, velvære og tilfredshet*

Kapitlet om det ubevisste er delt inn i tre hovedområder: emosjoner, sår og motorer. Vi begynner med emosjoner.

På denne siden kan du vurdere syv hovedemosjoner: sorg, sikkerhet, kjærlighet, sannhet, fred, velvære og tilfredshet. Du kan også følge deres utvikling. Ved å klikke på stolpene, kan du visualisere biomarkøren i sin blomstform, som viser dens indre dynamikk og forbindelsene mellom disse emosjonene. Her igjen, representerer grafen vurderingen på ulike horisonter, med de bredeste stolpene som er de for langtidsperioden, og de tynneste stolpene som er de for korttidsperioden.

Denne analysen er teknisk veldig forskjellig, og basert på ulike data, fra den som finnes i Drives. Det er derfor interessant å sammenligne dem.

1. **Sorg:** En følelse av nød eller melankoli forårsaket av tap, feil eller skuffelse. Det manifesterer seg ofte som gråt, mangel på energi og tilbaketrekning.
2. **Sikkerhet:** En følelse av beskyttelse og fravær av fare. Det skaper tillit og ro, som lar oss føle oss trygge fra fysiske eller emosjonelle trusler.
3. **Kjærlighet:** Dyp følelse av affeksjon og tilknytning til en person, et dyr eller en aktivitet. Det oversettes til ømme gester, positive tanker og et ønske om nærhet.
4. **Sannhet:** En følelse av oppriktighet og autenticitet. Sannhet gir klarhet og gjennomsiktighet til forhold og situasjoner, og unngår forvirring og bedrag.
5. **Peace:** En tilstand av tranquility og indre harmoni. Fred manifesterer seg i fraværet av konflikt, stress og angst, og fremmer avslapning og generelt velvære.
6. **Velvære:** En generell følelse av helse, komfort og fysisk og mentalt tilfredshet. Det omfatter aspekter som helse, emosjonell balanse og personlig oppfyllelse.
7. **Tilfredshet:** Følelse av tilfredshet og glede som følger av oppfyllelsen av ønsker, behov eller mål. Det gir en følelse av oppfyllelse og prestasjon.



[biocoherence.net/n82.115](https://biocoherence.net/n82.115)

## 13.5. Fokus

*Stress indeks, HRV...*

I denne seksjonen vil vi utforske Fokus-skjermen, som gir en mengde informasjon avgjørende for avansert elektrokardiogramanalyse. Denne informasjonen brukes vanligvis i akademiske og forskningskontekster, og inkluderer ulike vitenskapelige markører.

1. **Stressindeks:** Denne indeksen ble utviklet av den russiske forskeren Bevski. Den måler kroppens stressnivåer ved hjelp av spesifikke parametere.
2. **Tilpasningsnivå:** En annen indeks utviklet i Russland, den vurderer kroppens evne til å tilpasse seg forskjellige stimuli og forhold.
3. **Total kraft, variasjonsfaktor og hjertevariabilitet:** Disse markørene er godt kjent innen kardiologi og brukes til å måle ulike aspekter av hjertefunksjon og stressrespons.
4. **Psyko-emosjonelt stress:** Denne indikatoren vurderer den emosjonelle og psykologiske påvirkningen på det kardiovaskulære systemet.



[biocoherence.net/n82.100](https://biocoherence.net/n82.100)

Dataene som tilbys av Fokus-skjermen kan vises som markører for rask visualisering. Alternativt kan de presenteres i form av notater, blomster og kvalitet, noe som muliggjør en mer detaljert analyse.

Fokus-skjermen inkluderer også informasjon om kvaliteten på oppmerksomhet, intensjon og horisontkontroller. Disse indikatorene gir ytterligere informasjon om brukerens mentale og emosjonelle tilstand.

Et interessant aspekt ved denne skjermen er forholdet mellom konstruksjon (katabolisme) og destruksjon (anabolisme). Katabolisme representerer energiforbruk, mens anabolisme tilsvarer energibevaring. Dette forholdet er dynamisk og kan variere under registreringen, noe som reflekterer den generelle respirasjonen til levende systemer. Vennligst husk at vi er et systemisk vesen, og destruksjon er en del av den generelle bevegelsen av kompresjon-ekspansjon, destruksjon-gjenoppbygging, separasjon-gjenforening, kompleksifisering-forenkling. En sunn kompleks organisme bør konstant oscillere mellom disse tilstandene.

Det er avgjørende å observere disse dynamiske variasjonene, da de indikerer utviklingen av forholdet mellom konstruksjon og destruksjon. Tillegget av denne evolusjonære faktoren gir en bedre forståelse av respirasjonen til biologiske systemer.

Til slutt presenterer Fokus-skjermen to blomster, som representerer anabolisme og katabolisme, for å gi visuell informasjon om disse prosessene. Disse dataene kan analyseres seksjon for seksjon eller over hele registreringen, og gir en komplett oversikt over brukerens fysiologiske og psykologiske tilstand.

## 13.6. Musikk

### *Musikalsk Analyse og Justering*

I denne seksjonen, vil vi se på den andre delen av tankekonseptet, som inkluderer sinnet, ånden og det ubevisste. Vi'll fokusere hovedsakelig på sinnet, og spesielt på elementene av musikk og justering.

### **Musikk i opptak**

Når vi analyserer sinnet, begynner vi med å identifisere de musikale elementene som er til stede i opptaket. Målet er å finne relevante musikale korrespondanser. Du har to alternativer: visualisere alle de musikale elementene eller spille dem tilbake for å observere deres utvikling over tid.

Tynne stenger representerer kortvarige elementer, mens bredere stenger indikerer langvarige elementer. En annen interessant målemetode er det generelle nivået av musikal harmoni i opptaket. Etter rundt hundre slag, kan vi begynne å identifisere spesifikke kort-, medium-, langvarige og svært langvarige musikale akkorder.



[biocoherence.net/n82.102](http://biocoherence.net/n82.102)

### **Musikal justering og tilpasning**

Musikal justering innebærer å tilpasse skalaene og akkordtypene for å tilpasse de målene som meditasjonen har. For eksempel, hvis de nåværende akkordene er moll 7 akkorder og vi ønsker å gå videre til dur akkorder, vil denne overgangen bli gjort gradvis gjennom meditasjonen. På samme måte, hvis vi're sikter mot en viss frekvens som ikke er til stede, vil vi bygge musikk som gradvis utvikler seg mot den målfrekvensen.

Ideen er å ta deltakere i deres nåværende musikale tilstand og lede dem inn i en dypere tilstand av meditasjon ved å bruke melodiene som er til stede i deres kropp. Denne tilnærmingen fasiliterer inngangen til meditasjon ved direkte å snakke det musikale språket til deltakerne.

I korthet, musikal analyse og justering muliggjør personalisering av veiledet meditasjon, noe som gjør opplevelsen mer tilgjengelig og effektiv for hver enkelt individ.

## 13.7. De 2016 personlighetstypene

### *Jungs typer, også kjent som MBTI eller Myers-Briggs, i et helt nytt kart*

## Vurdering av personlighet i henhold til Jungs typer

I denne seksjonen, skal vi utforske "Ånd" fanen for å få en generell oversikt over personlighet i henhold til Jungs typer. Personlighet blir analysert gjennom fire hovedaksler.

### Personlighetsaksler

Jungs typer blir beregnet ved bruk av fire aksler, som vi har plassert på et logisk diagram for første gang:

1. **NS (Sansning/Intuisjon)**: Denne aksen bestemmer hvordan en person bearbeider informasjon.
2. **FT (Tanker/Følelser)**: Denne aksen vurderer måten en person bearbeider informasjon, med fokus på sinnet eller tankene.
3. **IE (Introversjon/Ekstroversjon)**: Denne aksen måler energi, og indikerer om en person er utadvendt (ekstroversjon).
4. **JP (Dømming/Persepsjon)**: Denne aksen handler om tid, og indikerer om en person er korttidsorientert (spontanitet).

Hver akse er delt inn i segmenter, som muliggjør detaljert vurdering. For eksempel, på IE-aksen, kan en person vurderes som ekstrovert eller introvert.

### Jung typer og vurdering

Jung typer, som ENTP, ENTJ, ESTJ, ESTP, osv., blir bestemt i henhold til posisjon på disse fire aksler. For eksempel, kan en vurdering avsløre en dominant ESTJ type.

### Personlighetstype dynamikk

I motsetning til en statisk spørreskjema-vurdering, denne metoden lar oss observere en persons ubevisste, dynamiske respons. Når vi navigerer mellom aksene, kan vi se at vurderingene beveger seg, noe som indikerer at personlighetstypene er dynamiske. Dette betyr at individet kan oscillere mellom ulike nabo-typer avhengig av situasjonen.

Denne ikke-statistiske tilnærmingen til Jungs typer åpner opp interessante perspektiver for forståelsen av atferd og personligheter.

## Personlighetstyper i detalj

Jungs personlighetstyper er basert på fire hovedpsykologiske funksjoner: tenkning, følelser, sansning og intuisjon, kombinert med holdningene til ekstroversjon og introversjon. Dette resulterer i åtte personlighetstyper:

1. **Ekstrovert tenkning**: Logisk, objektiv, faktabasert.
2. **Introvert tenkning**: Reflekterende, analytisk, uavhengig.
3. **Ekstrovert følelser**: Sosial, varm, orientert mot sosiale verdier.
4. **Introvert følelser**: Reservert, dyp, styrt av egne verdier.
5. **Ekstrovert følelser**: Praktisk, realistisk, konkret-orientert.
6. **Introvert følelser**: Kreativ, følsom, orientert mot subjektiv opplevelse.
7. **Ekstrovert intuisjon**: Innovativ, mulighetsorientert, fremtidsrettet.
8. **Introvert intuisjon**: Visjonær, introspektiv, innsiktsdrevet.

Her's en kort beskrivelse av de 16 Myers-Briggs Type Indicator (MBTI) personlighetstypene:

1. **ISTJ (Inspektør)** - Pålitelige, organiserte, realistiske og praktiske.
2. **ISFJ (Beskytter)** - Dedikert, omsorgsfull, lojal og detaljert.
3. **INFJ (Rådgiver)** - Idealistisk, empatisk, persepsiv og inspirerende.
4. **INTJ (Arkitekt)** - Strategisk, uavhengig, analytisk og bestemt.
5. **ISTP (Håndverker)** - Praktisk, observant, tilpassningsdyktig og logisk.
6. **ISFP (Kunstner)** - Følsom, reservert, spontan og harmonisk.
7. **INFP (Idealist)** - Kreativ, lidenskapelig, altruistisk og introspektiv.
8. **INTP (Logiker)** - Innovativ, nysgjerrig, objektiv og uavhengig.
9. **ESTP (Entreprenør)** - Energisk, direkte, pragmatisk og sosial.
10. **ESFP (Tolk)** - Entusiastisk, spontan, varm og underholdende.
11. **ENFP (Inspirator)** - Fantasi, sosial, energisk og visjonær.
12. **ENTP (Innovatør)** - Genial, energisk, ressurssterk og intellektuell.



[biocoherence.net/n82.101](http://biocoherence.net/n82.101)

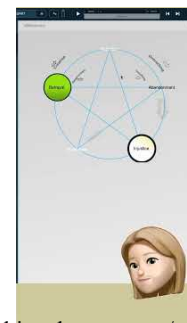
13. **ESTJ (Veileder)** - Organiserende, praktisk, realistisk og besluttsende.
14. **ESFJ (Konsulent)** - Vennlig, samvittighetsfull, samarbeidsvillig og sosial.
15. **ENFJ (Lærer)** - Karismatisk, altruistisk, empatisk og motiverende.
16. **ENTJ (Kommandant)** - Visjonær, bestemt, strategisk og effektiv.

## 13.8. De 5 sårene

*Overgivelse, avvisning, ydmykelse, svik, urettferdighet*

Det menneskelige ubevisste er i stor grad påvirket av psykiske sår. Blant disse, finnes fem hovedsår: avvisning, forlatelse, forræderi, ydmykelse og urett. Disse fem sårene er avledet fra en innledende modell med åtte sår. De interagerer på en lignende måte som de fem elementene i tradisjonell kinesisk medisin, og skaper et komplekst nettverk av gjensidige påvirkninger.

Å forstå hvilke sår som for tiden er aktive i oss kan gi verdifulle innsikter. Ved å observere hvordan avvisning, forræderi eller urett nærer hverandre, kan vi få dynamiske innsikter i vår psykiske tilstand. Denne forståelsen kan være en nøkkel til større selvinnsikt og selvforbedring.



[biocoherence.net/n82.113](http://biocoherence.net/n82.113)

### Opprinnelse til de 5 sårene

John Pierrakos, psykoterapeut og medgründer av Instituttet for Bioenergetisk Analyse i 1956, tok opp Wilhelm Reichs arbeid om eksistensielle sår (eller narcissistiske sår) og definerte åtte: forlatelse, avvisning, ydmykelse, forræderi, urett, inntrengning, maktløshet, usikkerhet.

Lise Bourbeau tilpasset senere og forenklet teorien til fem emosjonelle sår som forhindrer oss i å være oss selv. Ifølge henne, er disse sårene ved roten til mange emosjonelle problemer og dysfunksjonelle atferdsmønstre. De oppstår i barndommen, ofte mellom fødsel og sju års alder, men fortsetter å påvirke våre voksenliv hvis de forblir uhelbredet.

1. Såret av avvisning: Dette såret blir vanligvis dannet veldig tidlig, noen ganger til og med før fødselen, og er ofte knyttet til en følelse av å ikke være ønsket. Personer med dette såret føler seg uvurderlige for kjærlighet og unngår situasjoner hvor de kan bli avvist. De har vanskeligheter med å heve seg og ta sin plass.
2. Forlatelsessåret: Dette fremkommer når et barn føler seg forlatt eller uten støtte fra de som står nær ham eller henne. Personer påvirket av dette såret har en intens frykt for ensomhet, og søker konstant oppmerksomhet og godkjenning fra andre. De kan bli emosjonelt avhengige.
3. Ydmykelsessåret: Dette utvikles når et barn føler seg nedvurdert eller kritisert av foreldre eller nære for sin atferd eller handlinger. Individuer med dette såret har tendens til å føle skam og mangle verdighet. De kan også ydmyke seg for å forhindre andre i å gjøre det.
4. Såret av forræderi: Dette såret oppstår når et barn føler seg forrådt av noen han eller hun stolte på, ofte en forelder som ikke holder løfter. Personer med dette såret har vansker med å stole på andre og søker å kontrollere alt. De kan bli sjalu eller besittende.
5. Urettsåret: Dette blir dannet når et barn føler seg urettferdig behandlet, ofte av overdrevent autoritære eller kritisere foreldre. Personer påvirket av dette såret strever etter perfektjon, og kan bli rigide og intolerante. De har ofte vansker med å uttrykke følelsene sine.

Lise Bourbeau forklarer at disse sårene påvirker vår atferd og måten vi oppfatter verden på. For å helbrede, er det vesentlig å gjenkjenne disse sårene, forstå deres opprinnelse og arbeide med å overvinne dem.

# 14. Test

*Dette modulet er dedikert til live biofeedback testing og evalueringen av testlister fra eksisterende opptak.*

Testmodulen muliggjør at du kan utføre alle former for live tester, hvis resultat blir evaluert i henhold til den øyeblikkelige variasjonen til visse biomarkører; og til å forhåndsevaluere hvilken som helst liste over tester i henhold til verdiene til visse biomarkører i den nåværende skanningen

## Liste forhåndsevaluering

Du kan opprette nye lister eller bruke eksisterende lister som er opprettet av andre brukere. Når du åpner en liste, vil alle dets elementer bli prioritert i forhold til den nåværende åpne rapporten. Du kan deretter krysse av hvilke av disse du ønsker å teste live

## Live testing

Først etter at elementene er valgt, gjør live testing at du kan vise dem til kunden og måle biofeedback-responsen til hans system ved å bruke sensoren. Resultatet blir klassifisert i tre mulige responser: styrker systemet; svekkes systemet; eller nøytral  
Det finnes også et uendelig åpent testalternativ, som lar deg teste hvilken som helst terapeutisk tilnærming direkte på klienten eller på deg selv, og måle resultatet live ved å bruke biofeedback.

## 14.1. Testlister

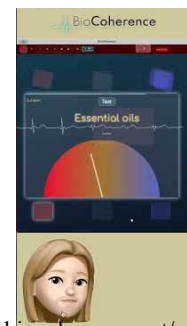
*Testing med lister i BioCoherence*

## Administrere og redigere lister i applikasjonen din

Når du jobber med lister, har du søkefunksjonalitet for nøkkelord rett ved hånden. Selv om antallet lister for når er begrenset, er det designet for å utvikle seg til hundrevis eller til og med tusenvis av lister. Dette vil gjøre det mulig for deg å redigere og administrere dine egne tester.

## Testredigeringsmodus

1. **Tilgang til redigeringsmodus:** Hvis du er på en test som tilhører deg, vil det dukke opp en liten blyant ved siden av testen. Klikk på den for å gå inn i redigeringsmodus.
2. **Redigering av elementer:** Når du er i redigeringsmodus, kan du klikke på hvert element for å endre teksten og de tilknyttede handlingene. For eksempel, kan du definere handlinger for kategorier som Ayurveda, organer, Vata, Vita, osv.
3. **Definere handlinger:** Klikk på kategorier som VPK for å spesifisere effekter, som å øke eller redusere visse elementer (f.eks. aminosyrer, blære, blod, hjerne, øyne).



[biocoherence.net/n82.112](http://biocoherence.net/n82.112)

## Automatisk evaluering

Automatisk vurdering er basert på samsvaret mellom brukernes elementnivåer og handlingene definert i testene. Dette gjør det mulig å rangere elementene på listen i henhold til de forventede resultatene.

## Andre verktøy

1. **Legg til og importer:** Du kan legge til nye verktøy eller importere en liste ved å lime inn elementer linje for linje.
2. **Slett liste:** Et alternativ er tilgjengelig for å slette en liste helt.
3. **2D logisk kart:** Snart vil du kunne plassere elementer på et to-dimensjonalt bilde, som gjør det enklere å visualisere og organisere tester.

## Generelle listeegenskaper

Øverst i grensesnittet, kan du endre de generelle egenskapene:

- Listekategori
- Synlighet (offentlig eller privat)
- Tilgang (gratis eller betalt)

Betalte lister kan gjøres offentlige slik at andre brukere kan få tilgang til dem mot et honorar, enten på en engangsbasis eller via et månedlig abonnement. Dette lar deg dele din kunnskap og få betalt for det.

## Administrere uavhengige lister

Hvis du jobber med en liste du ikke eier, kan du duplisere den. Duplisering lar deg lage en redigerbar kopi hvor du kan endre tittelen, beskrivelsen og handlingene.

## Tilgang til lister

Fra den generelle menyen, tilgjengelig på høyre side av skjermen, kan du navigere til "Mine lister" for å redigere dine eksisterende lister eller opprette nye. Denne funksjonen er tilgjengelig fra alle skjermer, inkludert hjemmeskjermen.

Ved å følge disse instruksjonene, vil du være i stand til å administrere dine lister og tester effektivt, mens du drar nytte av de forskjellige redigerings- og organiseringsalternativene som tilbydes av applikasjonen.

## Introduksjon til listebasert testing

Listebasert testing i BioCoherence er et helt åpent system, som lar brukere velge eksisterende lister, opprette nye lister, eller duplisere eksisterende lister for å dele med andre brukere.

## Hva er en liste?

En testliste er en samling av oppføringer, for eksempel aromatiske urter eller essensielle oljer. Når en liste åpnes i en rapport med en tilgjengelig post, blir hver oppføring evaluert og prioritert. Prosentandeler indikerer kompatibiliteten til oppføringene med posten, som spenner fra 0% til 100%.

## Fargekoder

- **Green:** Veldig relevant, høy kompatibilitet (f.eks. 85%)
- **Oppgitte farger:** Ulike graderinger av kompatibilitet (f.eks. 40% for en intermediær serie)
- **Violet:** Lav kompatibilitet (20-30%)
- **Gray:** Nøytral eller nær-null kompatibilitet (rundt 0%)
- **Red:** Inkompatibilitet eller negativ respons

## Live test

Etter en forhåndsvurdering, består den andre delen av en live test. Her er trinnene du må følge:

1. **Velg elementer:** Velg elementene som skal testes individuelt.
2. **Koble til sensor:** Koble sensoren for kalibrering.
3. **Kjør tester:** Tester kjøres én etter én, og sender visuell, lyd-eller annen informasjon til personen som blir testet.
4. **Observasjon:** Personen må se eller høre den informasjonen som blir testet for en nøyaktig vurdering.
5. **Evaluering:** Systemet klassifiserer kroppens reaksjoner i henhold til den presenterte informasjonen.

## Resultater visning

På slutten av testen, blir resultatene vises på nytt og klassifiseres som følger:

- **Suksessfull test:** God kropp respons
- **Gjennomsnittlig test:** Blandet respons
- **Ikke konkluderende test:** Negativ eller inkonsekvent respons

## Betydningen av presentert informasjon

Det er avgjørende å presentere så mye informasjon som mulig om de testede elementene (f.eks. bilder, detaljer om systemene som de essensielle oljene virker på) for å oppnå et intuitivt og målbart svar fra kroppen via biofeedbacksystemet.

## Integrasjon av resultater i rapporten

Testresultater vises i rapporten, som bare viser elementer med gode eller gjennomsnittlige reaksjoner, og utelukker de som blir avvist. Rapporten inkluderer :

- **Kompatibilitetsprosent:** Beregning basert på innledende skanning
- **Unconscious kropp respons:** Målt når informasjonen blir presentert

## Frem

# 15. AI i BioCoherence

BioCoherence bruker de nyeste banebrytende teknologiene innen kunstig intelligens (KI) for å legge til rette for forståelse, bruk og analyse på en sømløs og fullstendig integrert måte.

- **KI Hjelpere** kan forklare, analysere, teste og handle på prioriteringer. Mer enn 30 spesialiserte assistenter kan motta biomarkørverdier og åpne en enkel chat med brukeren eller Pro.
- Fra Proer, er **opprettelsen av listeelementer** akselerert takket være hjelp til å skrive meditasjonsdeler, automatisk identifisering av handlinger, produkt ingredienssøk....
- BioCoherence integrerer tusener av eksklusive algoritmer knyttet til BioFeedback og biomarkører, noen av dem har blitt oppnådd med hjelp av dyp læring og kunstig intelligens.

## 15.1. AI Hjelpere

En av de mest spennende utviklingene i BioCoherence er introduksjonen av AI Hjelpere. Disse AI-drevne assistentene er designet for å hjelpe brukere med å navigere den store mengden informasjon innen appen, noe som gjør det enklere å forstå og utnytte dataene fra deres biofeedback-scanninger.

AI Hjelperne i BioCoherence er designet for å forbedre brukeropplevelsen ved å gi skreddersydd veiledning, forklaringer, og programskaping basert på brukerdataba. Disse AI-modulene reduserer læringskurven for nye brukere og tilbyr profesjonelle en måte å strømlinjeforme klientinteraksjoner. AI Hjelpere kan operere i to forskjellige moduser avhengig av konteksten for deres bruk:

1. Uten en Opptak: Brukere kan chatte med AI for å lage et grunnleggende program basert på deres behov. Fra Hjemmesiden: Brukere kan samhandle med AI for generell veiledning uten å koble til spesifikke biomarkører.
2. Med et Åpent Opptak: AI Hjelpere analyserer brukerens biomarkører og gir innsikt eller anbefalinger basert på de opptatte dataene.



## Nøkkelfunksjoner

AI Hjelperne fungerer som en virtuell klinikk, med spesialiserte assistenter som fungerer som sykepleiere og støttemedarbeidere for både generelle brukere og profesjonelle utøvere. Disse AI assistentene kan:

- Lese og tolke biomarkører fra dine scanninger og scanningene til klientene dine.
- Vise spesifikke biomarkører og tolke deres verdier.
- Spille harmoniske forsterkninger for å hjelpe til med å balansere energien din.
- Modifisere prioriteringene dine basert på helseopplysningene dine og diskusjonen.
- Legge til elementer til listen over harmoniske forsterkninger for skreddersydd helbredelse.
- Be# og analysere nye tester i sanntid.
- Gi forklaringer og råd for ulike biomarkører og testresultater.
- Redirigere klienter til profesjonelle konsultasjoner når det er nødvendig.

Dette betyr at brukere kan samhandle med AI for å få dypere innsikt i deres helse, stille spørsmål om deres resultater, og til og med motta anbefalinger for handlingsbare innsikter, meditasjon, urtemedisiner, og mer:

- **Skreddersydd Hjelp:** Hver AI Hjelper specialiserer seg i et spesifikt domene, som naturoppdagelse, tradisjonell kinesisk medisin (TCM), essensielle oljer, eller meditasjon. Det finnes for øeblikket mer enn 25 AI Hjelpere. De mottar et kuratert delsett av biomarkører som er relevante for deres ekspertise, spesifikke utformede forespørselene, spesifikke kunnskap og opplæring, spesifikke lister og listeelementer, spesifikke tilleggsopplysninger og spesifikke ferdigheter.
- **Grunnleggende Programskaping:** Brukere kan lage skreddersyde programmer ved å diskutere deres behov med AI. Disse programmene lagres i "Grunnleggende Programmer" seksjonen og kan startes umiddelbart.
- **Språkstøtte:** AI Hjelpere støtter flere språk, slik at brukere kan samhandle på sitt nativespråk. Systemet er designert for å håndtere flerspråklige forespørsler effektivt.

- Kan tilpasses tilgang: Profesjonelle kan kontrollere hvilke AI Hjelpere som er tilgjengelige for klientene deres og hvilke data de kan ha tilgang til. Dette sikrer at AI opererer innen rammene som er satt av profesjonelle.

AI er designet for å anerkjenne sine begrensninger, slik at brukere oppmuntres til å søke profesjonell veiledning når det er nødvendig.

## AI Hjelpere for Profesjonelle

For utøvere, tjener AI Hjelpere som intelligente assistenter som kan:

- Hjelp til å forklare komplekse biomarkører til klienter.
- Suggestere tilleggsprøver basert på klientdata.
- Anbefale meditasjonsteknikker eller urtemedisiner.
- Lettere forklaringsprosessen ved å gi valgte AI Hjelpere til klienten med evner til å forklare men ikke modifisere Pro's beslutninger.

Når en Pro jobber med en klients journal, mottar AI Hjelperen klientdataene og fungerer som Pro's assistent.

## Å tilgang AI Hjelpere

AI Hjelpere kan tilgås fra:

- Hjemmesiden: For generell veiledning eller opprettelse av Grunnleggende Programmer.
- Et Åpent Opptak: For å analysere og forklare spesifikke biomarkører, for å gi detaljerte innsikter til analysen.

## Brukstilfeller for AI Hjelper

Oppretting av et Grunnleggende Program:

- Navigere til AI Hjelpere-seksjonen fra hjemmesiden.
- Velg en AI Hjelper (f.eks., Søvtrener, Meditasjonsguide).
- Engasjere seg i en samtale for å beskrive dine behov (f.eks., "Jeg føler meg stresset og trenger hjelp til å slappe av").
- AI vil generere et skreddersydd grunnleggende program og lagre det i din "Grunnleggende Programmer" seksjon.

Forklaring av Biomarkører:

- Åpne et opptak og navigere til AI Hjelpere-seksjonen, under "Konklusjoner".
- Velg en AI Hjelper som er relevant for de biomarkørene du ønsker å utforske (f.eks., TCM Utøver for meridianer).
- AI vil gi detaljerte forklaringer og anbefalinger basert på biomarkørene dine beregnet i opptaket.

Eksempel: Skreddersydd Te eller Essensielle Olje Blandinger. Bruk Urtemedisineren eller Essensielle Olje Ekspert AI Hjelper. AI vil analysere de relevante biomarkørene og foreslå en skreddersydd teblending eller oppskrift på essensielle oljer.

## Begrensninger for AI Hjelper

- AI Hjelpere kan ikke modifisere opptak eller analyseresultater. De er designet for å forklare og gi veiledning basert på eksisterende data.
- Det innledende settet av biomarkører som blir gitt til hver AI Hjelper er begrenset til deres fagområde. Imidlertid, kan AI be om tilleggsbiomarkører under samtalen hvis det er nødvendig.

## Avanserte Funksjoner

Sammendrag og Rapportintegrasjon:

- På slutten av en samtale, genererer AI Hjelperen et sammendrag av diskusjonen.
- Profesjonelle kan velge å inkludere dette sammendraget i klientens PDF-rapport for fremtidig referanse.

Tilbakemeldinger og Vurderinger:

- Etter hver interaksjon, kan brukere vurdere nyttheten til AI Hjelperens nytteverdi og

# 16. Balanse

*Ressurser og prioriteringer; rapporterings-, meditasjonsgenerering og frekvenser.*

Disse skjermene tillater selvidentifikasjon og modifisering av ressurser og prioriteringer, generering av en PDF rapport, og opprettelse av omfordelingsverktøy som veiledede meditasjoner, spesifikke frekvenser...

## 16.1. Prioriteringer

*Definer de nøkkelkomponentene som skal behandles etter analysen*

Balanseringsseksjonen behandler handlinger som skal tas når analysen er komplett og målene er klare, eller når enheten er til å stole på for å bestemme krav automatisk.

### Prioriteringer

**Definisjon og Formål:** Prioriteringer er elementene som er identifisert av appen som trenger oppmerksomhet eller intervensjon. Dette er områdene hvor brukers helse kan bli kompromittert og krever støtte fra de identifiserte ressursene (se neste kapittel om ressurser).

**Utvelgelsesprosess:** Appen velger automatisk prioriteringer basert på en algoritme som evaluerer ulike biomarkører. Brukere kan utforske tilleggsprioriteringer innenfor hver kategori og legge dem til etter behov, enten ved å klikke på "utforsk" for å få en forhåndsvalg av interessante biomarkører, eller ved å bla gjennom alle skjermene og velge interessante prioriteringer.

**Kategorier:** Som ressursene, er prioriteringer kategorisert i ulike grupper, inkludert organer, følelser, og energetiske punkter. Brukere kan utforske disse kategoriene for å identifisere tilleggsområder for fokus.

**Tilpasning:** Brukere kan legge til eller fjerne prioriteringer fra listen, som gir en tilpasset tilnærming til deres helse reise. Det anbefales å holde antallet av prioriteringer håndterbart (15-20) for å opprettholde fokus og effektivitet.

### Kjør gjenberegninger for å optimalisere systemet.

For å starte prioriterings- og ressursberegningene, klikk på det passende ikonet i øverste høyre hjørne av hjemmeskjermen. Start med å identifisere ressursene, som vil gjøre systemet i stand til automatisk å reidentifisere alle nødvendige ressurser. Deretter, identifiser prioriteringer ved å klikke på den tilsvarende alternativet, som automatisk vil legge til de prioriteringene som er identifisert av systemet. Du kan også klikke på "legg til" og "auto identifisere prioriteringer" i Prioriteringer-skjermen; det vil bare legge til nye prioriteringer til din nåværende utvalg, ikke fjerne dem.

Waveform analyse er et kritisk skritt i logisk utvikling. Du kan beregne biomarkører, koblinger, prioriteringer og identifisere ressurser i henhold til dine behov. Hvis du møter problemer med å få tilgang til en fullstendig rapport, kan du alltid beregne den på nytt.

### Vise og modifisere prioriteringer

I prioriteringsseksjonen, viser systemet alt som er identifisert som relevant. Du kan modifisere disse prioriteringene ved å slette dem eller legge til nye. For å legge til en prioritet, klikk på "Legg til" og velg elementene av interesse fra de ulike kategoriene som tilbys, slik som organer, meridianpunkter eller TCM (Tradisjonell kinesisk medisin) oppskrifter.



[biocoherence.net/n82.107](http://biocoherence.net/n82.107)

Du kan også rydde opp i listen over prioriteringer ved å slette de som ikke lenger er nødvendige. Prioritetsredigering bruker det samme grensesnittet på alle systemets sider, men her grupperes alle prioriteringene du har definert.

Endelig, kan du legge til kommentarer til prioriteringene. Disse kommentarene vil bli integrert i den endelige rapporten, og gir tilleggs kontekst for hver identifisert prioritet.

Du kan legge til eller fjerne prioritetsartikler fra hvilken som helst side, ved å klikke på ikonet til høyre for den relevante blomsten. Hvis dette ikonet er grønt, er biomarkøren til stede i prioriteringene; hvis det er rødt, er det ikke.

## 16.2. Ressurser

*Søylene som skal harmoniseres solidt*

Før vi utforsker ressurser, vil Christine Degoy dele noen innsikter om forskningen sin, da dette er et nøkkelfokus:

*"Vi har utviklet en kultur--et nytt tankesett--om å engasjere seg med problematiske systemer. Ti år med terapiarbeid og forskning med klienter avdekket først en koherens innen hver individ. Denne naturlige resonansen er avgjørende da den hjelper med å utforske hele spekteret av problemer. Det's den enkleste måten å etablere dype interne forbindelser, som fremmer en positiv kontagion som enhancer koherens i systemet. Denne tilnærmingen gir individer muligheten til å helbrede og vokse internt, med respekt for kroppens naturlige orden. Vi kaller dette 'veien til ressursene,' en åpen dør til muligheter. Ressurser er de mest koherente og kraftfulle delene av vårt væren, som ligner en superkraft vi've utviklet gjennom livene våre. Konseptet med livsressurser vil til slutt bli en del av vårt livsoppdrag modul. Selv et enkelt organ, meridian, akupunkturpunkt, chakra, følelse, osv. kan være en kraftig ressurs, som bidrar til en glad kontagion som justerer vårt liv og kropp.*

*" -- Christine Degoy*



[biocoherence.net/n82.108](http://biocoherence.net/n82.108)

Etter å ha sett på prioriteringer - de avgjørende elementene som må adressert for en person til enhver tid - skal vi gå videre til ressurser. Ressurser, representert ved et lite billetikon med en stjerne, er de "stjerne" elementene i kroppen. De er de som er overfylt med energi, er ekstremt stabile og som kroppen kan stole på for å distribuere energi til prioriteringer gjennom hele helingsprosessen.

I appen, har vi utviklet en sofistikert algoritme for å beregne en ressurspoengsum for hver biomarkør. Denne poengsummen identifiserer de mest energetiske og stabile elementene, og fremhever prioriteringer for forbedring. Den vurderer ulike faktorer, som et elements stabilitet, energi, og tilkobling, som resulterer i ressursiden du ser nå.

En detaljert forståelse av ressursene og prioriteringene i BioCoherence appen gir brukerne en klar vei til å utnytte deres iboende styrker og adresse områder av behov for forbedret helse og velvære.

Ressurser blir automatisk identifisert etter en opptakelse, takket være en algoritme utviklet for å ta hensyn til alle tilgjengelige elementer. Imidlertid, det er mulig å modifisere disse ressursene manuelt hvis nødvendig. For eksempel, når man tilgår organseksjonen, hvis neurotransmittere blir identifisert som den hovedressursen, er det mulig å klikke på dem for å se et valg av andre sterke ressurser.

De tilgjengelige ressursene i denne familien blir deretter rangert i omvendt rekkefølge av viktighet, fra de sterkeste til de svakeste. Hvis du foretrekker å arbeide med en annen ressurs, for eksempel tungen i stedet for neurotransmittere, eller trakea, eller cellekjerner til neuroner, klikk bare på den ønskede ressursen for å velge den. For bedre forståelse av hva hver ressurs tilsvarer, kan du klikke på blomsterikonet for å se forbindelsene og gjøre et mer informasjonsrikt valg.

Disse ressursene vil deretter bli brukt i de ulike fasene av reharmonisering.

### En kort presentasjon av Ressurser

*Vår tilnærming innfører et paradigmeskifte for å adresse problematiske systemer. Først oppdaget gjennom terapeutiske praksiser, denne metoden fremhever koherensen innen et individ. Denne naturlige resonansen mellom terapi og personlig koherens tjenestegjør som et grunnlag for å adressere bredere problemer. Tilnærmingen fremmer interne tilkoblinger, som fører til en 'glad kontagion' som forsterker personlig helbredelse og myndiggjøring uten eksterne protokoller. Denne metodikken, som kalles 'veien til ressursene,' respekterer komplekse systemer og fremmer synergi.*

*Ressurser blir identifisert som de mest koherente og kraftfulle aspektene av kroppen, tilsvarende med iboende superkrefter. For å utvide forståelsen av ens personlige reise, fremtidige oppdateringer vil inkludere livsoppdrag, som er en utvidelse av Christines forskning.*

*Et spesifikt organ, for eksempel, kan være en betydelig ressurs, som potensielt kan diffundere kraft og koherens gjennom kroppen. Appen anvender en avansert algoritme for å beregne en ressurspoengsum for hver biomarkør, som identifiserer optimale ressurser og prioriteringer. Algoritmen vurderer energi, stabilitet, og tilkobling, og tar hensyn til styrken eller svakheten til disse forbindelsene, som resulterer i en omfattende ressurside.*

## Ressurser og Prioriteter i BioCoherence

### Oversikt

BioCoherence appen gir en omfattende analyse av brukerens fysiologiske og energetiske tilstand gjennom en detaljert skanning. Ved fullføring av den første skanningen, blir brukerne presentert med to kritiske komponenter: Ressurser og Prioriteter. Disse elementene er avgjørende for å tolke skannerresultatene og veilede brukeren mot optimal helse og velvære.

### Ressurser

**Definisjon og Formål:** Ressurser i BioCoherence appen henviser til de mest koherente, stabile, og energetisk kraftfulle elementene innen brukerens kropp. Disse elementene blir identifisert som brukerens iboende styrker eller "superkrefter" som kan utnyttes for å støtte helbredelse og balanse.

**Beregning:** Appen benytter en sofistikert algoritme for å bestemme ressurspoengsummen for hver biomarkør. Denne poengsummen vurderer faktorer som energivåer, stabilitet, og tilkobling med andre elementer. De høyest scorende elementene blir identifisert som ressurser.

**Kategorier:** Ressurser blir kategorisert i ti grupper, inkludert:

- Organ Grupper (f.eks. Ayurveda-baserte grupper)
- Individuelle Organer
- Atomer
- Meridianer
- Momentum (dynamiske stater)
- Drives (følelser)
- Organismer (symbiotiske eller parasitære)
- TCM Punkter
- Ayurvediske Subdoshas

## 16.3. PDF-rapport

*Generer, eksporter PDF, skriv ut og del resultater*

### Kapittel: Generere og håndtere rapporter med Balance

Den tredje nøkkelfunksjonen til Balance er generering av rapporter. Denne funksjonen lar deg lage en PDF-fil som inneholder all informasjonen som er bevart under bruk av applikasjonen.

#### PDF-rapportens innhold

Den genererte PDF-rapporten inkluderer:

- Prosjektseksjoner og varighet
- Skrevne kommentarer
- Identifiserte ressurser



[biocoherence.net/n82.109](https://biocoherence.net/n82.109)

- Prioriteter definert
- Mest energetiske eller minst energetiske organer
- Mest eller minst agiterte organer
- Organer i koherens
- Meridianer
- Tradisjonelle kinesiske medisin (TCM) oppskrifter
- osv.

## Rapporttilpasning

Du kan legge til eller fjerne seksjoner fra rapporten. For å gjøre dette, tilgang seksjonstypene og bruk verktøyene som er tilgjengelige for å tilpasse rapporten til dine behov.

## Rapportdeling og lagring

PDF-rapporten kan deles direkte gjennom flere kanaler:

- **Direkte deling:** Bruk delingsboksen for å sende rapporten via WhatsApp, SMS eller messenger.
- **Lagring:** Klikk på "PDF Fil" for å lagre rapporten. På en datamaskin, kan du lagre den direkte til harddisken din. På en mobil eller nettbrett (iPad), vil den bli lagret i filene dine.
- **skrive ut:** Klikk på "Skriv ut" for å skrive ut rapporten. På en datamaskin, vil dette åpne skriveutdialogboksen. På en mobil, vil skriveutalternativet vises hvis en kompatibel skriver er tilgjengelig på nettverket ditt.

PDF-rapporten bevarer all informasjonen som er angitt, inkludert eventuelle kommentarer som er lagt til i de ulike seksjonene. Denne funksjonen sikrer at all viktig data er sentralisert og enkelt tilgjengelig for fremtidig bruk.

## 16.4. Balanse: Meditasjoner, lyder og verktøy

*veiledning meditasjoner, frekvens generering, og tidskrySTALL løSning. På dette stadiet, blir dette modulet forberedt og vil bli utviklet i løpet av de kommande månedene.*

### Balansering med Personlig Veiledede Meditasjoner

"Balansering" seksjonen er en avgjørende del av metoden vår, dedikert til opprettelse av veiledede meditasjoner eller lydfile som integrerer frekvensene som er nødvendige for hver individ. Prinsippet er basert på en progressiv tilnærming, sammenlignbar med fjerning av et løk: problemene nærmest oss er de enkleste å håndtere, mens de lengre borte krever mer dyptgående behandling. Denne prosessen utføres trinn for trinn, i henhold til en ideell vei definert for å gå gjennom de ulike prioritetelementene i en spesifikk rekkefølge.

### Meditasjonsparametere

1. **Meditasjonshastighet:** Avhengig av parametrene som ble oppdaget under opptak, bestemmes hastigheten som en person går inn i meditasjon.
2. **Personlighetstype:** Denne faktoren påvirker konstruksjonen av meditasjonen.
3. **Musikk:** Akkorder og en generell skala blir identifisert for å starte på personens nivå.

### Utvalgsressurser

Ressurser er designet for å tilknytte de mest kraftfulle elementene i hver kategori. Relevante ressurser blir kalt hver dag for å adressere dagens prioriteter.

### Utvalg av prioriteter

For hver type prioriteter som er valgt, er en serie meditasjoner inkludert. Disse seriene inkluderer forskjellige typer veiledet meditasjon tilpasset forskjellige profiler. Applikasjonen bestemmer deretter de mest passende veiledede meditasjonene å starte med,



[biocoherence.net/n82.110](http://biocoherence.net/n82.110)

etterfulgt av en andre del basert på frekvenser eller stemmer generert i henhold til prioritene som skal adresseres og ressursene som skal benyttes.

## **Opptak og oppfølging**

Når en personlig veiledning har blitt designet, kan den lagres på brukerens konto. Hvis den er laget av en Pro, kan brukere deretter installere BioCoherence-applikasjonen, oppgi e-postadressen sin og få tilgang til sin personlige meditasjon. Det er også mulig å re-evaluere regelmessig før hver meditasjonsøkt via appen. Re-evalueringen ber deg om å registrere sensoren og koble den for en ny vurdering.

## **Progressovervåking**

Progresjonen vises i form av kurver som tilsvarer hver prioritet, noe som gjør det mulig å visualisere fremgang og punkter som fremdeles må adresseres. Andre oppfølgingsmetoder er også tilgjengelige, som første og oppfølgingspørreskjemaer.

## **Plan og varighet**

Når planen er utarbeidet og den personlige meditasjonen er opprettet, er den tilgjengelig på brukerens profil. Brukeren kan bli invitert til å installere applikasjonen via e-post for å starte den veiledede meditasjonen direkte. En fullstendig balanseringsøkt er planlagt til å vare i tre uker.

# En detaljert veiledning: Bruke Harmonisk Boost og Personlig Veiledning i BioCoherence

Harmonisk Boost og Personlig veiledning er to nøkkelfunksjoner i BioCoherence-appen som lar brukere engasjere seg med deres personlige frekvensprogrammer. Disse verktøyene hjelper brukere med å integrere bioaktive frekvenser i deres daglige rutine, som støtter deres energetiske og fysiologiske balanse. Denne seksjonen gir en detaljert veiledning om hvordan man bruker disse funksjonene effektivt, inkludert beste praksiser for forskjellige scenarier.

## 1. Harmonisk Boost

### Hva er Harmonisk Boost?

Harmonisk Boost er et frekvensbasert verktøy som spiller alle valgte prioriteter samtidig. Det er designet for å gi en omfattende, holistisk energetisk harmonisering på en kort periode.

### Hvordan bruke Harmonisk Boost

- Åpne BioCoherence-appen.
  - Naviger til din aktive oppføring (den er i midten av hjemmeskjermen), eller velg en oppføring i listen din.
  - Klikk på Harmonisk Boost for å starte avspilling av frekvensene.
- Avspilling av Harmonisk Boost:
  - Harmonisk Boost spiller alle valgte prioriteter samtidig. Du kan også filtrere etter energi, kropp og sinn; programmer med høy prioritet; programmer med protokoller; osv. Filtrer programmer hvis du ønsker bare en energetisk boost, for eksempel, eller hvis du er i humør for å adressere dine dypere problemer ved å filtrere bare programmer med protokoller.
  - Det kan spilles i bakgrunnen mens du utfører daglig aktiviteter. Volumet kan være svært lavt.
  - Det anbefales å bruke hodetelefoner eller eksterne høyttalere for bedre resonans. Du kan til og med bruke in-ear hodetelefoner i lommen din som vil levere et lite elektromagnetisk felt til kroppen din med de inkluderte bioaktive frekvensene. På den måten trenger du ikke å lytte til frekvensene: det energetiske feltet, kroppen og sinnet ditt vil registrere dem elektromagnetisk.
- Eksportere Harmonisk Boost:
  - Brukere kan eksportere Harmonisk Boost som en MP3-fil for offline bruk.
  - På Mac, iPhone, iPad og Android, kan filen lagres eller deles direkte via SMS, AirDrop, WhatsApp, eller e-post.
  - På Windows, må filen lagres manuelt og deretter deles.
- Beste praksiser:
  - Daglig bruk: Spill Harmonisk Boost en eller to ganger om dagen.
  - Passiv lytting: Det kan spilles med lavt volum i bakgrunnen.
  - Fokuset økter: For dypere effekter, lytt i et stille miljø med minimale distraksjoner.

## 2. Personlig Veiledning

### Hva er Personlig Veiledning?

Personlig Veiledning er en veiledet meditasjon som integrerer personlige frekvenser med stemmeveiledning. Den hjelper brukere med å fokusere på deres energetiske og fysiologiske balanse gjennom strukturerte visualisering og avspenningsteknikker. Målet med denne veiledningen er å integrere fokusert helbredelsesbevissthet i det daglige livet.

### Hvordan bruke Personlig Veiledning

- Åpne BioCoherence-appen.
  - Naviger til din aktive oppføring (det er i midten av hjemmeskjermen), eller velg en oppføring i listen din.
  - Klikk på Personlig Veiledning for å starte økten.
- Tilpasse Personlig Veiledning:
  - Varighet: Juster den ønskede øktlengden med glidebryteren.
  - Dykkehastighet: Hastigheten og intensiteten til avspenningsteknikkene som

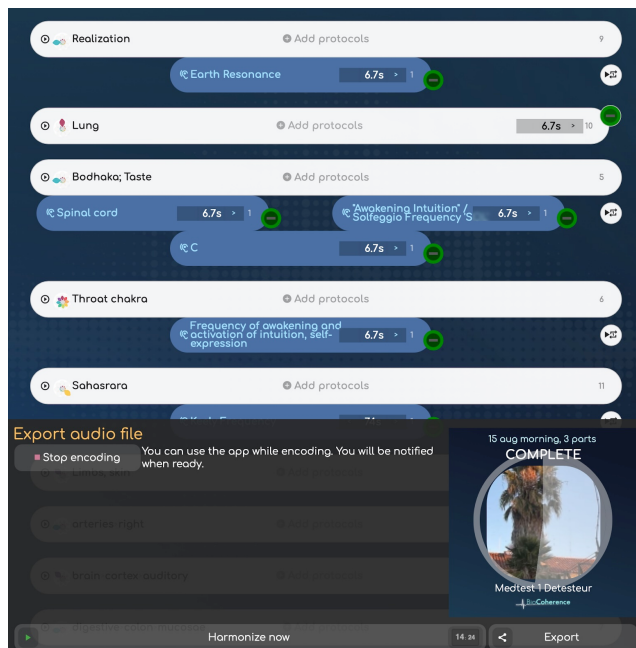
## 16.5. Harmonisk Forsterkning

Harmonic Boost-funksjonen i BioCoherence er designet for å forbedre effektiviteten av meditasjoner og frekvensbasert harmonisering ved å integrere spesifikke **frekvenser** skreddersydd til brukerens behov og spesifikke **protokoller**. Denne funksjonen lar brukerne stimulere og korrigere ulike biomarkører ved å bruke en kombinasjon av forhåndsdefinerte og individualiserte frekvensprogrammer.

### Elementfarger og deres funksjoner

Harmonic Boost-grensesnittet består av forskjellige fargede elementer, hvor hvert element har en distinkt hensikt:

- Hvite elementer: Disse representerer **systemiske harmoniseringer**, knyttet til en spesifikk biomarkør. De er forhåndsberregnede frekvenssett assosiert med spesifikke organer, akupunkturpunkter, belastninger (f.eks. geopatisk stress), eller andre biomarkører. Disse frekvensene er faste og endres ikke basert på individuelle analyseresultater.
- Blå elementer: Disse representerer korrigerende protokoller. De er individualiserte og beregnet lokalt på brukerens enhet. Disse frekvensene velges basert på brukerens spesifikke behov og er designet for å motvirke disharmonier oppdaget i analysen.
  - Mørkeblå elementer: Dette er bioaktive individuelle frekvenser eller samlinger av frekvenser (frekvensspektra), som kan spilles av elektrisk eller akustisk.
  - Lys blå elementer: Dette er binaurale beats, som er designet for å gjøre veldig lave frekvenser hørbare akustisk og trene hjernen til spesifikke endrede bevissthetstilstander. De fungerer ved å spille to litt forskjellige frekvenser i hvert øre, noe som skaper en beatfrekvens i hjernen som justeres med den ønskede terapeutiske effekten.



## Handlingsmodus og funksjonalitet

### Forhåndsberregnede frekvenser

- Alle biomarkør harmoniseringsfrekvenser (hvite elementer) er forhåndsberegnet og lagret både lokalt og i skyen. Dette sikrer jevn avspilling uten å kreve sanntidsberegning, selv på lav-end enheter.
- Den samme forhåndsberegningsprosessen vil bli brukt på blå elementer (som er svært individualiserte) ved behov, direkte på brukerens enhet, og eliminerer problemer og forberdrer ytelsen.

### Sanntidsberegning for individualiserte protokoller

- Når en bruker legger til en protokoll (blå elementer), beregner systemet de nødvendige frekvensene lokalt før avspilling.
- Dette sikrer at frekvensene er skreddersydd til brukerens spesifikke behov mens optimal ytelse opprettholdes.

### Simultan frekvensavspilling

- Harmonic Boost-systemet spiller fire frekvenser på en gang.
- Hvis bare hvite elementer er valgt, spilles fire frekvenser fra biomarkør harmoniseringssettet.
- Hvis både hvite og blå elementer er valgt, balanserer systemet dynamisk avspillingsfrekvensene mellom biomarkør harmonisering og korrigerende frekvenser.

Det faktum at frekvensene spilles sammen tillater en målrettet handling av protokoller, ved å etablere en direkte bro til det valgte

systemet via resonanseffekten og legge til protokollfrekvensene for å oppnå effekten av en målrettet laser som spesifikt retter seg mot protokollen på systemet.

## Binaural Beat-integrasjon

- Når en binaural beat (lys blå element) er inkludert, blandes den med en av biomarkørfrekvensene.
- For eksempel, hvis en geopatisk stressfrekvens er 100 Hz og en binaural beat er 8 Hz, vil systemet spille 100 Hz i det ene øret og 108 Hz i det andre, og skape en 8 Hz beat i hjernen.

## Varighet og timing

- Standard varighet for hver frekvenssyklus er 6,73 sekunder, som er et multiplum av Planck-tid til den gyldne ratio ( $\phi$ ).
- Hvert hvite eller blå program består av flere sykluser, som vanligvis varer mellom 10 og 150 sekunder (med tilbakestillingssykluser på 6,73 sekunder).
- Brukere kan justere varigheten av et program for å gjøre det kortere eller lengre, avhengig av deres behov.
- Det komplette programmet kan eksporteres som én lydfil, og delsett kan eksporteres direkte for å adressere spesifikt energi, kropp, sinn, eller elementene som trenger mest oppmerksomhet, for eksempel.

## Tilpasning og eksport

### Legge til protokoller

- Brukere kan manuelt legge til protokoller for å forbedre effektiviteten av en Harmonic Boost-økt.
- Systemet gir foreslåtte protokoller basert på den valgte biomarkøren, men brukere kan også søke etter ytterligere protokoller. Det er mer enn 2000 inkluderte protokoller, og listen blir jevnlig forbedret med nye studier.

### Eksportere MP3-filer

- Brukere kan eksportere Harmonic Boost-økter som MP3-filer for offline bruk.
- De eksporterte filene inkluderer metadata som albumcover og nøkkelord, noe som gjør dem enkle å organisere i musikkbiblioteker.

## Praktiske anvendelser

- Personlig veiledningsforbedring: Brukere vil høre Harmonic Boost-frekvenser i de personlige veilede meditasjonene for dypere avslapning og helbredelse.
- Målrettet helbredelse: Ved å velge spesifikke biomarkører og korrigerende protokoller, kan brukere lage personlige helbredelsessesjoner.
- Energiboosting: Brukere kan lage og lagre energiboostende frekvenssett for rask tilgang når det er nødvendig.

Harmonic Boost-funksjonen i BioCoherence gir et kraftig verktøy for frekvensbasert harmonisering. Ved å kombinere forhåndsregne biomarkørfrekvenser med individualiserte korrigerende protokoller, kan brukere lage svært effektive og personlige helbredelsessesjoner. Muligheten til å eksportere og spille av disse sesjonene offline forbedrer ytterligere tilgjengeligheten og brukervennligheten.

# Tillegg 1.

## Ofte stilte spørsmål

### Hvordan få hjelp i appen

For å be om hjelp eller sende et forslag fra hvilken som helst side i appen, åpner du bare menyen øverst til høyre og klikker på "Tilbakemelding og ideer". Du kan klikke på "annotere et skjermbilde" for å legge til et skjermbilde av siden du er på, og legge dette annoterte skjermbildet til forespørselen din. Det er mye lettere for oss å hjelpe deg da!

### Hvordan får familiemedlemmer eller kundene mine tilgang til de skreddersydde meditasjonene?

For å få tilgang til de skreddersydde meditasjonene, må de installere appen fra [biocoherence.net/install](https://biocoherence.net/install) eller fra App Store eller Play Store. Du kan invitere dem ved å opprette en konto for dem; vennligst skriv inn e-posten deres i kontoen slik at de mottar en invitasjon med riktig konto. Du kan deretter dele analysen deres med dem ved å legge dem til som kontakt på analysen. Når de logger inn i appen med e-posten du spesifiserte i kontoen du opprettet, vil de finne denne analysen på appens hjemmeside, eller under "Registrerte analyser".

Når de har analysen, kan de lytte til balanseringsmeditasjonen gjennom "Balanse"-seksjonen i BioCoherence-appen, hvor lyden kombinerer muntlig veiledning med frekvenser for optimale resultater.

### BioCoherence Affiliate Program

Velkommen til BioCoherence Affiliate Program! Vi er glade for å ha deg med oss i å dele fordelene med vår banebrytende teknologi med publikum ditt. Vårt program lar deg tjene provisjoner mens du hjelper andre med å oppdage en transformativ tilnærming til helse og velvære.

#### Kom i gang

1. Logg inn på kontoen din: Besøk <https://biocoherence.net/s0.login>.
2. Få tilgang til din affiliate-side: Naviger til <https://biocoherence.net/n119>. Dette er ditt personlige affiliate-hub.

Her finner du alle verktøyene og informasjonen du trenger, inkludert hvordan du:

- Oppretter og administrerer invitasjonskodene dine.
- Sporer provisjonene dine.
- Vokser affiliate-nettverket ditt.

#### Om Affiliate Programmet

Vårt program tilbyr **abonnementsbaserte provisjoner** for direkte salg og en rekke kjøpstyper. Du kan også tjene ekstra insentiver når du henviser nye affiliates til programmet.

#### Abonnementsprovisjoner for Direkte Salg

Når du deler invitasjonskodene dine, tjener du provisjoner på abonnenter og andre kjøp gjort av brukere som registrerer seg med koden din. Programmet er designet for å belønne både deg og kundene dine, og tilbyr fordeler og insentiver for nye brukere som blir med med koden din.

#### Ytterligere Kjøp

Tjen provisjoner på kjøp som rapporter, tester og maskinvare gjennom BioCoherence-plattformen. Disse belønningene lar deg dra nytte av hver transaksjon gjort av brukerne du har henvist.

*Merk:* For varer dekket av **territoriell eksklusivitet**, vil provisjoner og kunderegninger bli behandlet gjennom den lokale eksklusive distributøren. Satsen kan variere avhengig av distributørens retningslinjer. Sjekk [biocoherence.net/distributors](https://biocoherence.net/distributors) for detaljer.

#### Administrer Invitasjonskodene Dine

Fra din affiliate administrasjonsside kan du opprette flere koder for å distribuere over forskjellige kanaler som sosiale medier, videoer og blogger. Dette lar deg spore ytelsen til hver kode og optimalisere innsatsen din.

### Appinstallasjon og første oppstart

- På Windows, Mac eller Linux: Last ned installasjonsfilen på [biocoherence.net/install](https://biocoherence.net/install)<sup>1</sup>.
- På iPad, iPhone eller Android: Vennligst følg instruksjonene på [biocoherence.net/install](https://biocoherence.net/install)<sup>2</sup>; installasjonen skal være bare ett klikk fra App Store.

#### Etter installasjon

Når installasjonen er fullført, kan det fortsatt være problemer.

1. **Kan ikke finne appen?** Den heter "BioCoherence"; På Mac er den i "Programmer". På Windows og Linux, i startmenyen. På iPad, iPhone og Android, er den lagt til Hjem-skjermen, og du kan også finne den med et søk.
2. **Appen starter ikke?** Enten er datamaskinen eller nettbrettet ditt for tregt, eller det er inkompatibiliteter.
3. **Du kan ikke logge inn?** Hvis du har en konto, vennligst klikk på "mistet passord" på innloggingsskjermen. Du vil motta en lenke for å tilbakestille passordet ditt. Hvis du ikke har en, kan du opprette en inne i appen.

1. <https://biocoherence.net/s0.login>

2. <https://biocoherence.net/n119>

3. <https://biocoherence.net/distributors>

4. <https://biocoherence.net/install>

5. <https://biocoherence.net/install>

## Kan BioCoherence bruke Spookys frekvensprotokoller?

Ja, BioCoherence har integrert mange av frekvensprotokollene fra ulike kilder, inkludert Rife-baserte tabeller som brukes av Spooky og andre enheter. I fremtiden har BioCoherence som mål å la Spooky-enheter fungere som emiterere, noe som gjør det mulig å eksportere lyd fra BioCoherence og mate den direkte inn i Spooky. Vi planlegger å være åpne for så mange enheter som mulig og å grensesnitt med dem direkte når de er åpne for det. Uansett tillater lyd eksporten av frekvensprogrammene at frekvensene kan spilles av på et stort utvalg av enheter.

## Kan det kanskje "erstatte" en teknologi som jeg kanskje bruker for øyeblikket?

BioCoherence kan potensielt erstatte eller supplere andre biofeedback- og helseanalyseverktøy avhengig av dine spesifikke behov. Det kan erstatte de fleste enheter, spesielt de som er basert på tilfeldige tallgeneratorer, men kan ikke fullt ut erstatte enheter som har forskjellige dokumenterte virkemåter.

## Hvordan kan jeg få informasjon om de sentrale temaene til en klient når resultatene varierer mellom skanningene?

For å skaffe informasjon om sentrale temaer hos en klient, kan det være nyttig å sammenligne flere skanninger. Se etter konsistente mønstre eller gjentakende problemer på tvers av skanningene for å identifisere sentrale temaer. Mederic nevnte at det er viktig å se etter trender i skanningene for å få en mer omfattende forståelse av klientens sentrale problemer. Resultatene vil vanligvis være svært konsistente på tvers av skanningene, med variasjoner i lenker og relativ energi eller agitasjon av systemer. Disse variasjonene er sunne og indikerer fremgang.

Du kan faktisk sammenligne flere skanninger side om side i applikasjonen for å se hvordan spesifikke biomarkører utvikler seg, for eksempel før og etter at en spesifikk behandling er blitt anvendt.

## Hvordan kan kundene mine få tilgang til rapportene sine utenfor utøverens kontor? Hvordan kan de gjennomgå rapportene sine og få tilgang til meditasjonene?

Kunder kan få tilgang til rapportene og meditasjonene sine gjennom appen. Slik kan praktikere aktivere kundetilgang:

- Legg til kunden som en ny kontakt i appen:
  - Klikk på de to pilene ved siden av profilbildet ditt for å få tilgang til "Kontakter."
  - Opprett en ny kontakt, og sørg for å inkludere kundens e-postadresse.
- Utfør en skanning under kundens profil.
- Del rapporten:
  - Åpne den fullførte rapporten og velg "Del med..." alternativet.
  - Send en invitasjons-e-post til kunden, inkludert en lenke for å laste ned appen sammen med innloggingsdetaljer.

Når kunden logger inn, kan de gjennomgå rapporten sin og få tilgang til meditasjonene direkte i appen. De kan også gjøre fjerntester for deg (lokale tester for dem, med en sensor), og du vil motta resultatene tilbake i programvaren din.

## Hvordan kan familiemedlemmene mine eller kundene mine bruke de tilpassede frekvensene som er generert for dem?

For å dele de tilpassede frekvensene med familiemedlemmer eller klienter, følg disse trinnene:

- Når du ser på frekvensrapporten deres i BioCoherence-appen, eksporter lydfilen av frekvensøkten.
- Du kan deretter dele lydfilen med dem via meldinger, e-post eller andre kommunikasjonsmetoder.

Du kan også invitere klientene eller familiemedlemmene dine til å installere appen og dele analysen med dem. For det kan du opprette en klientkonto med e-posten deres.

## Hvordan er BioCoherence unik?

BioCoherence kombinerer avanserte matematiske algoritmer med EKG-teknologi for å gi detaljerte helseinnsikter. Den skiller seg ut ved å tilby en flernivåanalyse av kroppens elektriske signaler og inkluderer en energi/kropp/sinn-tilnærming, flere grafiske visninger, og koblinger mellom biomarkører. Den inkluderer også biofeedback-tilpassede meditasjoner og frekvenser.

## Hvordan oppdatere appen

Bruk alltid den nyeste oppdateringen, da problemet ditt allerede kan ha blitt løst - eller ideen din allerede implementert!

Avhengig av plattformen du bruker, utføres oppdateringen forskjellig:

### Beta versjon

- Hvis du bruker Beta versjonen med TestFlight: bør du motta en varseling med hver oppdatering. Start TestFlight og klikk på "Oppdater".
- Hvis du har installert beta versjonen for Mac, Windows eller Linux utenfor TestFlight: gå til [biocoherence.net/beta](https://biocoherence.net/beta), last ned installasjonsprogrammet for den nyeste versjonen, og kjør installasjonsprogrammet. Alle dataene dine vil bli bevart.

### Offentlig versjon

- Hvis du har installert den offentlige versjonen for Mac, Windows eller Linux utenfor TestFlight: gå til [biocoherence.net/install](https://biocoherence.net/install), last ned installasjonsprogrammet for den nyeste versjonen, og kjør installasjonsprogrammet. Alle dataene dine vil bli bevart.
- Hvis du bruker den offentlige versjonen fra App Store eller Play Store: åpne App Store eller Play Store og oppdater appen fra siden dens.

## Løse Bluetooth-tilkoblingsproblemer med BioCoherence

Hvis du opplever problemer med Bluetooth-tilkoblingen i BioCoherence, følg disse feilsøkingstrinnene for å sikre en jevn oppsett:

### Generelle retningslinjer

- **Start prosessen først:**
  - Begynn med å starte en opptak eller test i BioCoherence-appen. Mange tilkoblingsproblemer oppstår fra å prøve å koble sensoren for tidlig.
  - Appen er designet for å håndtere tilkoblingsprosessen automatisk når du initierer et opptak eller en test.
- **Unngå systeminnstillinger:**
  - Ikke prøv å koble Bluetooth-sensoren via enhetens systeminnstillinger. La appen håndtere denne prosessen for å unngå forstyrrelser.
- **Sørg for at Bluetooth er aktivert:**
  - **Windows:** Slå på Bluetooth via innstillingspanelet eller Bluetooth-snarveien i nedre høyre oppgavelinje.
  - **Mac:** Aktiver Bluetooth fra menyen øverst til høyre. Sørg for at Bluetooth-rettigheter er gitt til BioCoherence i systeminnstillinger.
  - **iOS/Android:** Aktiver Bluetooth fra enhetens innstillingsmeny, vanligvis plassert nær Wi-Fi-alternativene.
- **Fukt tomlene:**
  - **Viktig:** Sørg for at tomlene dine er tilstrekkelig fuktet med vann eller ledende gel. Dette forbedrer tilkoblingen og sikrer nøyaktige sensoravlesninger.

### Trinn-for-Trinn Feilsøking

#### 1. Aktiver Bluetooth:

- Hvis du står fast på dette trinnet, verifiser at:
  - Enheten din har en aktiv Bluetooth-brikke.
  - Bluetooth er aktivert og fungerer.

#### 2. Slå på sensoren:

- Sensoren slår seg automatisk på når den tas ut av basen. Plasser de fuktete tomlene på sensoren. Den kobles vanligvis til innen 1-2 sekunder. Hvis den ikke gjør det:
  - Klikk *Start Bluetooth på nytt* i appen.
  - Ta av tomlene og prøv å plassere dem tilbake på sensoren.

3. **Tilkoblingsstatus:**
  - Appen gir trinn-for-trinn indikasjoner på Bluetooth-panelet:
    - **Aktiver Bluetooth:** Sørg for at Bluetooth er aktivert.
    - **Slå på sensoren:** Appen er klar for at sensoren skal koble til.
    - **Sensor tilkoblet:** Sensoren er vellykket koblet og klar.
    - **Foreløpige data utvekslet:** Appen har mottatt initial data, som batteristatus og serienummer.
    - **Aktive data:** EKG-data blir mottatt, og opptak eller test begynner.
4. **Håndtere flere enhetstilkoblinger:**
  - Hvis sensoren tidligere har vært parett med flere enheter, deaktiver Bluetooth på ubrukte enheter for å forhindre interferens.

#### Tilleggsnotater

- **Første Autorisasjon:**
  - Når du åpner appen for første gang, gi Bluetooth-tillatelse når du blir bedt om det. Hvis du ved et uhell nekter disse tillatelsene:
    - Juster dem i systeminnstillingene dine.
    - Alternativt, avinstaller og installer appen på nytt for å tilbakestille tillatelsene.
- **Sensor Frakobling:**
  - Hvis sensoren frakobles under bruk, sjekk:
    - Batterinivåer.
    - At tomlene er riktig plassert på sensoren.

Ved å følge disse trinnene og sørge for at tomlene dine er riktig fuktet, kan du løse de fleste Bluetooth-tilkoblingsproblemer og nyte en sømløs opplevelse med BioCoherence. Hvis problemer vedvarer, vurder å ta kontakt med støtte for ytterligere hjelp.

## Hva er prisene for BioCoherence?

BioCoherence tilbyr maksimal fleksibilitet i priser. Du kan starte gratis og deretter velge den planen som passer deg best. Alle våre planer er forklart i fullstendige detaljer på [biocoherence.net/price](https://biocoherence.net/price)<sup>6</sup>

### Gratis plan

Den gratis planen lar deg gjøre ubegrensede opptak og koble til en Pro, samt motta en tilpasset meditasjon. For skanningen kan du åpne noen generelle informasjonssider, men de fleste sidene er uskarpe; du kan kjøpe en rapport for å løse opp. Du kan gjøre opptak med en Apple Watch eller med vår sensor. Du kan også få tilgang til testkatalogen og velge å betale for hvilken som helst test du ønsker.

For å bruke den gratis planen, må du bare [installere appen](#)<sup>7</sup> og opprette en gratis konto.

Hvis du vil gå videre, her er våre betalte planer:

### Betalte planer, for personlig bruk

Vennligst sjekk priser på nettstedet vårt. Prisene går per måned (ingen forpliktelse) til en full livstidslisens, alle oppdateringer inkludert for livet. Vi har også årlige planer med rabatter.

- Me Play lar deg spille ubegrenset med frekvenser og meditasjoner.
- Me Essential lar deg gjøre ubegrensede skanninger og balanseringer (meditasjoner og frekvenser) for opptil 2 kontoer, og gir deg tilgang til essensielle skjermbilder av rapporten og gratis tester. Du kan kjøpe fullstendige rapporter og betalte tester etter eget valg.
- Me Custom lar deg velge 3 alltid-opplåste skjermbilder.
- Me Plus gir deg ubegrensede fullskanninger for opptil 6 personer, redigerbare ressurser og prioriteringer, og tilpasset balansering.

### Betalte planer for profesjonell bruk

- Pro Essential lar deg gjøre ubegrensede skanninger (lokalt eller eksternt) og balanseringer for et ubegrenset antall kunder, og gir deg tilgang til essensielle skjermbilder av rapporten og grunnleggende testoppsett. Du kan kjøpe fullstendige rapporter og betalte tester etter eget valg.
- Pro Custom lar deg velge 3 alltid-opplåste skjermbilder.
- Pro Plus gir deg ubegrensede fullskanninger (lokalt eller eksternt), og alle skjermbilder for et ubegrenset antall kunder, redigerbare ressurser og prioriteringer, tilpasset balansering, og full testoppsett, inkludert monetisering.
- Med fokuserer kun på medisinsk validerte biomarkører i et EKG.

For å få mye mer detaljer om planene, gå til [biocoherence.net/price](https://biocoherence.net/price)<sup>8</sup>

## Hva gjør BioCoherence best?

BioCoherence-programvaren utmerker seg ved å gi en omfattende analyse av kroppens elektriske og magnetiske aktivitet, og gir innsikt i ulike biomarkører og generell helsestatus. Ved å fremheve ressurser, prioriteringer og forbindelser mellom organer, presenterer den kompleks data fra ulike felt på en enkel, grafisk måte for daglig bruk av terapeuter. Den gjør eksklusiv bruk av avanserte matematiske operasjoner for flernivåanalyse, og trekker ut meningsfull data direkte fra kroppens elektriske sensor (elektrokardiogram). Basert på disse identifiserte ressursene og prioriteringene kan den deretter foreslå tilpassede guidede meditasjoner og rebalanseringsprotokoller.

## Hva er BioCoherence IKKE designet for å gjøre?

BioCoherence er ikke ment å diagnostisere spesifikke medisinske tilstander eller erstatte tradisjonell medisinsk rådgivning. Selv om noen biomarkører kommer fra offisiell akademisk medisinsk forskning, er dens primære formål å gi verktøy for rask forståelse og identifisering av årsaker. Den støtter selvhjelp for hjemmebrukere og kobler dem til avanserte terapeuter når det er nødvendig.

## Hva er den beste måten å sikre at skanneprosessen er fullført, med tanke på at analysen bør ta minst 130 sekunder?

Analysen må faktisk ta minst omtrent 130 sekunder for nøyaktige resultater (den trenger minst 128 gyldige hjerteslag). Det er fremdriftslinjer nederst i skanningen som viser den nødvendige varigheten for hver type analyse. Vennligst sørg for at skanningen kjører i hele varigheten, selv om det ser fullført ut når linjene er fylt grønne. Å sikre at hele varigheten av skanningen er fullført er avgjørende for nøyaktigheten av resultatene.

## Hvilken kvalitet har de genererte filene?

Fokuset er på å utvikle høy-kvalitets lydgenerering i appen, inkludert en fullverdig sanntids syntetisator og sekvensiator. Disse verktøyene er allerede tilgjengelige i appen for støy, frekvenser og innspilte guidede meditasjoner. De genererte parametrene er under konstant utvikling. Musikk støtter justering for meditasjoner og samtidige gruppesesjoner.

## Hvilke resultater har blitt målt eller rapportert?

Mens BioCoherence fortsatt er i beta, har det fått veldig positive tilbakemeldinger fra de første testene som validerer dets effektivitet. Vi samler inn variert tilbakemelding for å ytterligere validere og utvide bruken. Kundevurderinger og spesifikke casestudier vil være tilgjengelige når mer data er samlet inn.

BioCoherence inkluderer en måte å samle inn anonymiserte data (med opt-in) for å vitenskapelig validere alle biomarkører og balanseringsmoduser. Disse dataene vil tjene som grunnlag for å publisere vitenskapelige artikler med tilgang til de rå, anonymiserte dataene på forespørsel fra anerkjente institusjoner.

## Et grunnleggende bruk og en avansert bruk?

Nybegynnerbruk: Me Play (automatisk skanning eller test, og automatisk tilpasset biofeedback-forsterkede meditasjoner). Avansert bruk: Pro (40 grafiske sider, lenker, ressurser, og identifikasjon og modifikasjon av prioriteringer, samt Pro-katalogen for bruker-terapeut forbindelser). Fremtidige funksjoner vil også inkludere sammenlignende skanninger og samtidige meditasjoner for flere brukere.

6. <https://biocoherence.net/beta>  
 7. <https://biocoherence.net/install>  
 8. <https://biocoherence.net/price>

### **Hvorfor fortsetter sensoren min å blinke enten blått eller grønt etter at jeg har fullført skanningen?**

Du må sette sensoren tilbake i sensorboksen, som automatisk vil slå den av. Vi har designet sensoren for å være veldig enkel å bruke, så du trenger ikke engang å bekymre deg for å slå den av og på—den gjør dette automatisk. Du kan se at den fortsetter å blinke grønt eller blått i noen sekunder, eller kanskje opptil 1 minutt etter at skanningen er fullført, men deretter vil den slå seg av og vente på at neste skanning skal starte.

### **Hvorfor feiler Bluetooth noen ganger å koble til under en skanning?**

Hvis du opplever problemer med Bluetooth-tilkoblingen under en skanning, kan det være fordi BioCoherence-skanneren er parett med flere enheter. Når dette skjer, kan skanneren prøve å koble seg til en enhet som ikke er i bruk. For å løse dette problemet, sørg for at Bluetooth er helt av på andre enheter som tidligere har vært koblet til BioCoherence-skanneren. Ved å gjøre dette vil skanneren koble seg sømløst til den riktige enheten, slik at skanningen din kan fortsette uten avbrudd. For å unngå problemer er det veldig viktig å starte Bluetooth-tilkoblingsprosessen i appen først ved å starte en ny opptak eller en test, og DERETTER ta tak i sensoren. Ved å legge tomene på sensoren, vil den slå seg på og koble seg automatisk til appen som allerede er i forskningsmodus på dette tidspunktet.

### **Hvilken kontotype kan jeg bruke for å oppdage parasitter?**

Denne funksjonen er reservert for profesjonelle brukere. Informasjonen må tolkes av en profesjonell, og vi har som mål å sikre at den brukes nøyaktig og ansvarlig. Den forblir innenfor rammene av en energivurdering og ikke en direkte observasjon av tilstedeværelsen av en parasitt.



- Noordgraaf A, Silage D. 1973. Electroacupuncture. *IEEE Trans Biomed Eng* 20: 364–366. [Crossref<sup>69</sup>](#) [PubMed<sup>50</sup>](#) [Web of Science<sup>51</sup>](#)
- NIH Consensus Statement. 1997. Acupuncture. Bethesda, MD: NIH. 15: 1–34.
- O'Connor J, Bensky D. 1981. Acupuncture, a comprehensive text (Shanghai College of Traditional Medicine) Seattle: Eastland Press.
- Oschman JL. 1993. A biophysical basis for acupuncture. Proceedings of the First Symposium of the Committee for Acupuncture Research.
- Pomeranz B. 2001. Acupuncture analgesia-basic research. In: G Stux, R Hammerschlag, editors. *Clinical acupuncture-scientific basis*. Berlin: Springer-Verlag.
- Rabischong P, Niboyet JEH, Terral C, Senelar R, Casez R. 1975. Bases experimentales de l'analgésie acupuncturale. *Nouv Presse Med* 4: 2021–2026. [PubMed<sup>52</sup>](#) [Web of Science<sup>53</sup>](#)
- Reishmanis M, Marino AA, Becker RO. 1975. Electrical correlates of acupuncture points. *IEEE Trans Biomed Eng* 22: 533–535. [Crossref<sup>64</sup>](#) [PubMed<sup>55</sup>](#) [Web of Science<sup>56</sup>](#)
- Senelar R. 1979. Les caractéristiques morphologiques des points chinois. In: JEH Niboyet, editor. *Nouveau traité d'acupuncture*. Paris: Maisonneuve.
- Shanghai Medical University, Human Anatomy Department. 1973. A relationship between points of meridians and peripheral nerves: Acupuncture anaesthetic theory study. Shanghai: People's Republic Publishing House.
- Swartz MA, Tschumperlin DJ, Kamm RD, Drazen JM. 2001. Mechanical stress is communicated between different cell types to elicit matrix remodeling. *Proc Natl Acad Sci USA* 98: 6180–6185. [Crossref<sup>57</sup>](#) [PubMed<sup>58</sup>](#) [Web of Science<sup>59</sup>](#)
- Ulett GA, Han S, Han JS. 1998. Electroacupuncture: mechanisms and clinical applications. *Biol Psych* 44: 129–138. [PubMed<sup>60</sup>](#) [Web of Science<sup>61</sup>](#)
- Veith I. 1949. The yellow emperor's classic of internal medicine. Berkeley: University of California Press.
- Yang J. 1601. The golden needle and other odes of traditional acupuncture, 1601. Translated by R Bertschinger. Edinburgh: Churchill Livingstone.
- Quyen Manh Nguyen, Tuan Hoang Nguyen, Lam Van Tran, Tin Thanh Dang, Anh Dinh, Device to Detect Acupuncture Points in the Feet Soles for Massage Treatment, 8th International Conference on the Development of Biomedical Engineering in Vietnam, 10.1007/978-3-030-75506-5\_1, (3-13), (2022). [Crossref<sup>62</sup>](#)
- Yung-Sheng Yen, Han-Yi Cheng, Hung-Ta Lin, Evaluation of Stress on Acupuncture with Nano-Etched and Diamond-Like Carbon (DLC) Coating Surface Modifications, *Journal of Biomaterials and Tissue Engineering*, 10.1166/jbt.2022.2928, 12, 3, (489-493), (2022). [Crossref<sup>63</sup>](#)
- Gregory P. Casey, Anatomical characterization of acupoint large intestine 4, *The Anatomical Record*, 10.1002/ar.24681, 305, 1, (144-155), (2021). [Wiley Online Library<sup>64</sup>](#)
- Ajit B. Pai, Lori V. Shuart, David F. Drake, Integrative Medicine in Rehabilitation, Braddom's Physical Medicine and Rehabilitation, 10.1016/B978-0-323-62539-5.00018-7, (364-373.e3), (2021). [Crossref<sup>65</sup>](#)
- Tongju Li, Bruce Qing Tang, Wei-Bo Zhang, Minyi Zhao, Qingchuan Hu, Andrew Ahn, In Vivo Visualization of the Pericardium Meridian with Fluorescent Dyes, Evidence-Based Complementary and Alternative Medicine, 10.1155/2021/5581227, 2021, (1-10), (2021). [Crossref<sup>66</sup>](#)
- Chao Sun, Changchun Ji, Ying Li, Jiujie Kuang, Jiangtao Wu, A comparison study of photothermal effect between moxibustion therapy and laser irradiation on biological tissue, *International Journal of Thermal Sciences*, 10.1016/j.ijthermalsci.2021.106924, 164, (106924), (2021). [Crossref<sup>67</sup>](#)
- Nikolay Dimitrov, Nikola Tomov, Dimitrinka Atanasova, Stiliyan Iliev, Tatyana Tomova, Dimitar Sivrev, Zoya Goranova, Visible Meridian Phenomena after Acupuncture: A Series of Case Reports, *Journal of Acupuncture and Meridian Studies*, 10.51507/j.jams.2021.14.2.50, 14, 2, (50-57), (2021). [Crossref<sup>68</sup>](#)
- Nasim Bahadorani, Jerry W. Lee, Leslie R. Martin, Implications of Tamarkoz on stress, *ar.10185&key=A1979GN78800013*  
49. <https://onlinelibrary.wiley.com/serve/linkout?suffix=null&dbid=16&doi=10.1002/ar.10185&key=10.1109/TBME.1973.324289>  
50. <https://onlinelibrary.wiley.com/serve/linkout?suffix=null&dbid=8&doi=10.1002/ar.10185&key=4727423>  
51. <https://onlinelibrary.wiley.com/serve/linkout?suffix=null&dbid=128&doi=10.1002/ar.10185&key=A1973Q497200007>  
52. <https://onlinelibrary.wiley.com/serve/linkout?suffix=null&dbid=8&doi=10.1002/ar.10185&key=1178444>  
53. <https://onlinelibrary.wiley.com/serve/linkout?suffix=null&dbid=128&doi=10.1002/ar.10185&key=A1975AP43900003>  
54. <https://onlinelibrary.wiley.com/serve/linkout?suffix=null&dbid=16&doi=10.1002/ar.10185&key=10.1109/TBME.1975.324477>  
55. <https://onlinelibrary.wiley.com/serve/linkout?suffix=null&dbid=8&doi=10.1002/ar.10185&key=1184029>  
56. <https://onlinelibrary.wiley.com/serve/linkout?suffix=null&dbid=128&doi=10.1002/ar.10185&key=A1975AU2000013>  
57. <https://onlinelibrary.wiley.com/serve/linkout?suffix=null&dbid=16&doi=10.1002/ar.10185&key=10.1073/pnas.111133298>  
58. <https://onlinelibrary.wiley.com/serve/linkout?suffix=null&dbid=8&doi=10.1002/ar.10185&key=11353845>  
59. <https://onlinelibrary.wiley.com/serve/linkout?suffix=null&dbid=128&doi=10.1002/ar.10185&key=000168883700045>  
60. <https://onlinelibrary.wiley.com/serve/linkout?suffix=null&dbid=8&doi=10.1002/ar.10185&key=9646895>  
61. <https://onlinelibrary.wiley.com/serve/linkout?suffix=null&dbid=128&doi=10.1002/ar.10185&key=000074292400008>  
62. [https://doi.org/10.1007/978-3-030-75506-5\\_1](https://doi.org/10.1007/978-3-030-75506-5_1)  
63. <https://doi.org/10.1166/jbt.2022.2928>  
64. <https://onlinelibrary.wiley.com/doi/10.1002/ar.24681>  
65. <https://doi.org/10.1016/B978-0-323-62539-5.00018-7>  
66. <https://doi.org/10.1155/2021/5581227>  
67. <https://doi.org/10.1016/j.ijthermalsci.2021.106924>  
68. <https://doi.org/10.51507/j.jams.2021.14.2.50>
- emotion, spirituality and heart rate, *Scientific Reports*, 10.1038/s41598-021-93470-8, 11, 1, (2021). [Crossref<sup>69</sup>](#)
- Maojun Li, Huawen Peng, Binxiu Wei, Qiuxia Deng, Fen Qian, Xin Liu, Jian Wang, Xiaodong Zhu, Effect of acupuncture anesthesia based on nanomaterial sensor on cognitive function after one-lung ventilation thoracotomy, *Materials Express*, 10.1166/mex.2021.2027, 11, 7, (1051-1056), (2021). [Crossref<sup>70</sup>](#)
- Jaliya Kumaratilake, Teghan Lucas, Maciej Henneberg, Possible relationship of upper limb arteries, median and brachial to the twelfth meridian of the human upper limb, *Journal of Anatomy*, 10.1111/joa.13401, 238, 6, (1492-1493), (2021). [Wiley Online Library<sup>71</sup>](#)
- Yong Ming Li, Three hand yin meridians in ancient Chinese medicine were established initially based on arterial structures, *Journal of Anatomy*, 10.1111/joa.13400, 238, 6, (1494-1496), (2021). [Wiley Online Library<sup>72</sup>](#)
- Yi Zhang, Interpretation of acupoint location in traditional Chinese medicine teaching: Implications for acupuncture in research and clinical practice, *The Anatomical Record*, 10.1002/ar.24618, 304, 11, (2372-2380), (2021). [Wiley Online Library<sup>73</sup>](#)
- Sanghun Lee, Prospects for the Development of Acupuncture Treatment Led by the Use of Ultrasound Imaging Devices, *Journal of Korean Medical Society of Soft Tissue*, 10.54461/JKMS.2021.5.1.8, 5, 1, (8-11), (2021). [Crossref<sup>74</sup>](#)
- Xiao Ye, Yu-lan Ren, Yun-hui Chen, Ji Chen, Xiao-jiao Tang, Zong-ming Zhang, A “4D” systemic view on meridian essence: Substantial, functional, chronological and cultural attributes, *Journal of Integrative Medicine*, 10.1016/j.joim.2021.11.006, (2021). [Crossref<sup>75</sup>](#)
- Berna Dincer, Demet İnangil, Gökhan İnangil, Nefise Bahçecik, Elif Yıldırım Ayaz, Ali Arslanoğlu, Miraç Vural Keskinler, Ayşe Kabuk, Gamze Özkan, The effect of acupressure on sleep quality of older people: A systematic review and meta-analysis of randomized controlled trials, *EXPLORE*, 10.1016/j.explore.2021.11.010, (2021). [Crossref<sup>76</sup>](#)
- Marianna de Melo Salemi, Vanessa Maria da Silva Alves Gomes, Laylla Marjorye Reboças Bezerra, Thania Maion de Souza Melo, Geisa Guimarães de Alencar, Iracema Hermes Pires de Melo Montenegro, Alessandra Paula de Melo Calado, Eduardo José Nepomuceno Montenegro, Gisela Rocha de Siqueira, Effect of Dry Cupping Therapy on Pain and Functional Disability in Persistent Non-Specific Low Back Pain: A Randomized Controlled Clinical Trial, *Journal of Acupuncture and Meridian Studies*, 10.51507/j.jams.2021.14.6.219, 14, 6, (219-230), (2021). [Crossref<sup>77</sup>](#)
- Luis Carlos Matos, Jorge Pereira Machado, Fernando Jorge Monteiro, Henry Johannes Greten, Understanding Traditional Chinese Medicine Therapeutics: An Overview of the Basics and Clinical Applications, *Healthcare*, 10.3390/healthcare9030257, 9, 3, (257), (2021). [Crossref<sup>78</sup>](#)
- Jingwen Cui, Wanrong Song, Yipeng Jin, Huihao Xu, Kai Fan, Degui Lin, Zhihui Hao, Jiahao Lin, Research Progress on the Mechanism of the Acupuncture Regulating Neuro-Endocrine-Immune Network System, *Veterinary Sciences*, 10.3390/vetsci8080149, 8, 8, (149), (2021). [Crossref<sup>79</sup>](#)
- Íñigo Ongay de Felipe, The Universality of Science and Traditional Chinese Medicine, *Science & Education*, 10.1007/s11191-021-00249-4, (2021). [Crossref<sup>80</sup>](#)
- Ningcen Li, Yi Guo, Yanan Gong, Yue Zhang, Wen Fan, Kaifang Yao, Zhihan Chen, Baomin Dou, Xiaowei Lin, Bo Chen, Zelin Chen, Zhifang Xu, Zhongxi Lyu, The Anti-Inflammatory Actions and Mechanisms of Acupuncture from Acupoint to Target Organs via Neuro-Immune Regulation, *Journal of Inflammation Research*, 10.2147/JIR.S341581, Volume 14, (7191-7224), (2021). [Crossref<sup>81</sup>](#)
- 戴云 冯, Bridging Medicine East and West—Pursuit on the Relation between Biomedical Consequence of Stimulating the Acupoints of the Lung Meridian and Somatosensory Reflexes, Aiming to Treat Chronic Obstruction Pulmonary Diseases, *Traditional Chinese Medicine*, 10.12677/TCM.2020.92022, 09, 02, (145-176), (2020). [Crossref<sup>82</sup>](#)
- Manon te Dorsthorst, Michael van Balken, John Heesakkers, Tibial nerve stimulation in the treatment of overactive bladder syndrome, *Current Opinion in Urology*, 10.1097/MOU.0000000000000781, 30, 4, (513-518), (2020). [Crossref<sup>83</sup>](#)
- Peter I-Kung Wu, Lucy Chen, Integrative Medicine, *Spine Pain Care*, 10.1007/978-3-030-27447-4, (473-489), (2020). [Crossref<sup>84</sup>](#)
- I. Giralte Sampedro, G. Carvajal, A. García-Janeras, A. Fabà, M.B. Nishishinya Aquino, A severe case of Ramsay Hunt Syndrome treated with acupuncture and related techniques, *Complementary Therapies in Clinical Practice*, 10.1016/j.ctcp.2020.101119, (101119), (2020). [Crossref<sup>85</sup>](#)
- Eric Leskowitz, A Cartography of Energy Medicine: From Subtle Anatomy to Energy Physiology, *EXPLORE*, 10.1016/j.explore.2020.09.008, (2020). [Crossref<sup>86</sup>](#)
- Hantong Hu, Yongliang Jiang, Xiaoyu Li, Jiali Lou, Yajun Zhang, Xiaofen He, Junfan Fang, Yuanqun Wu, Xiaomei Shao, Jianqiao Fang, The microcirculatory characteristics of the heart  
<https://doi.org/10.1038/s41598-021-93470-8>  
<https://doi.org/10.1166/mex.2021.2027>  
<https://onlinelibrary.wiley.com/doi/10.1111/joa.13401>  
<https://onlinelibrary.wiley.com/doi/10.1111/joa.13400>  
<https://onlinelibrary.wiley.com/doi/10.1002/ar.24618>  
<https://doi.org/10.54461/JKMS.2021.5.1.8>  
<https://doi.org/10.1016/j.joim.2021.11.006>  
<https://doi.org/10.1016/j.explore.2021.11.010>  
<https://doi.org/10.51507/j.jams.2021.14.6.219>  
<https://doi.org/10.3390/healthcare9030257>  
<https://doi.org/10.3390/vetsci8080149>  
<https://doi.org/10.1007/s11191-021-00249-4>  
<https://doi.org/10.2147/JIR.S341581>  
<https://doi.org/10.12677/TCM.2020.92022>  
<https://doi.org/10.1097/MOU.0000000000000781>  
<https://doi.org/10.1007/978-3-030-27447-4>  
<https://doi.org/10.1016/j.ctcp.2020.101119>  
<https://doi.org/10.1016/j.explore.2020.09.008>

- and lung meridians, *Medicine*, 10.1097/MD.00000000000019594, 99, 14, (e19594), (2020). [Crossref<sup>87</sup>](#)
- Sheikh Faruque Elahee Bangladesh, Hui-juan Mao, Ling Zhao, Xue-yong Shen, Meridian system and mechanism of acupuncture action: A scientific evaluation 经络系统与针刺效应机制的科学评价, *World Journal of Acupuncture - Moxibustion*, 10.1016/j.wjam.2020.05.003, (2020). [Crossref<sup>88</sup>](#)
- Mário Gonçalves, Luis Carlos Matos, Leonel Duarte, Jorge Machado, Henry Johannes Greten, Giovanna Franconi, PROBLEMS OF SCIENTIFIC METHODOLOGY RELATED TO PLACEBO CONTROL IN QIGONG STUDIES: A SYSTEMATIC REVIEW, *Journal of Bodywork and Movement Therapies*, 10.1016/j.jbmt.2020.06.035, (2020). [Crossref<sup>89</sup>](#)
- Hans-Udo Richarz, Uwe Schütz, Werner Klingler, Das fasziale Bindegewebe – ein Medium für die Akupunktur? The fascial connective tissue—a medium for acupuncture?, *Deutsche Zeitschrift für Akupunktur*, 10.1007/s42212-019-00228-5, (2020). [Crossref<sup>90</sup>](#)
- Shi Yonghong, Wu Ruizhi, Zhang Yue, Bai Xuebing, Imran Tarique, Liang Chunhua, Yang Ping, Chen Qiusheng, Telocytes in Different Organs of Vertebrates: Potential Essence Cells of the Meridian in Chinese Traditional Medicine, *Microscopy and Microanalysis*, 10.1017/S1431927620001518, (1-14), (2020). [Crossref<sup>91</sup>](#)
- Jinglan Mu, Andrea D Furlan, Wai Yee Lam, Marcos Y Hsu, Zhipeng Ning, Lixing Lao, Acupuncture for chronic nonspecific low back pain, *Cochrane Database of Systematic Reviews*, 10.1002/14651858.CD013814, (2020). [Crossref<sup>92</sup>](#)
- Kimia Grace Ganjaei, Jeremiah W. Ray, Brandee Waite, Kevin J. Burnham, The Fascial System in Musculoskeletal Function and Myofascial Pain, *Current Physical Medicine and Rehabilitation Reports*, 10.1007/s40141-020-00302-3, (2020). [Crossref<sup>93</sup>](#)
- Christina L Ross, Energy Medicine: Current Status and Future Perspectives, *Global Advances in Health and Medicine*, 10.1177/2164956119831221, 8, (2164956119831222), (2019). [Crossref<sup>94</sup>](#)
- Phil Trabulsky, COMPLEMENTARY AND ALTERNATIVE MEDICINE, *Cancer*, 10.1002/9781119645214, (499-530), (2019). [Wiley Online Library<sup>95</sup>](#)
- Younyoung Chae, Yeonhee Ryu, Won-Mo Jung, An Analysis of Indications of Meridians in DongUiBoGam Using Data Mining, *Korean Journal of Acupuncture*, 10.14406/acu.2019.034, 36, 4, (292-299), (2019). [Crossref<sup>96</sup>](#)
- Wei-bo ZHANG, Xiao-jing SONG, Ze WANG, Guang-jun WANG, Shu-yong JIA, Yu-ying TIAN, Hong-yan LI, Longitudinal Directional Movement of Alcian Blue in Gephyrocharax Melanocheir Fish: Revealing Interstitial Flow and Related Structure ☆ 阿尔新蓝在黑裙鱼中的纵向定向运动:组织液流动与相关结构的揭示, *World Journal of Acupuncture - Moxibustion*, 10.1016/j.wjam.2019.05.008, (2019). [Crossref<sup>97</sup>](#)
- Nicholas Alexander Wise, Action at a distance: laser acupuncture and the brain, *Photobiomodulation in the Brain*, 10.1016/B978-0-12-815305-5.00036-1, (489-501), (2019). [Crossref<sup>98</sup>](#)
- Liangjun Xia, Qingyu Meng, Jin Xi, Qin Han, Jie Cheng, Jie Shen, Youbing Xia, Liyun Shi, The synergistic effect of electroacupuncture and bone mesenchymal stem cell transplantation on repairing thin endometrial injury in rats, *Stem Cell Research & Therapy*, 10.1186/s13287-019-1326-6, 10, 1, (2019). [Crossref<sup>99</sup>](#)
- Dha-Hyun Choi, Younyoung Chae, Minimisation of variations in locating an acupuncture point using a laser-device, *Integrative Medicine Research*, 10.1016/j.imr.2019.11.005, (2019). [Crossref<sup>100</sup>](#)
- Doohan Oh, Jong-hyun Kim, Youn-Sub Kim, Song-Yi Kim, Analysis of Tonification and Sedation Methods in the 『Yeongsochimgugyeong』, *Korean Journal of Acupuncture*, 10.14406/acu.2019.021, 36, 3, (171-180), (2019). [Crossref<sup>101</sup>](#)
- Aleksandar Zivaljevic, Bin Shi, Elisam S. Tam, Vahideh Toossi, Treatment of visceral pain associated with irritable bowel syndrome using acupuncture: Mechanism of action, *World Journal of Traditional Chinese Medicine*, 10.4103/wjtc.wjtc\_24\_19, 5, 4, (181), (2019). [Crossref<sup>102</sup>](#)
- Suchan Chang, O. Sang Kwon, Se Kyun Bang, Do-Hee Kim, Min Won Baek, Yeonhee Ryu, Jong Han Bae, Yu Fan, Soo Min Lee, Hyung Kyu Kim, Bong Hyo Lee, Chae Ha Yang, Hee Young Kim, Peripheral Sensory Nerve Tissue but Not Connective Tissue Is Involved in the Action of Acupuncture, *Frontiers in Neuroscience*, 10.3389/fnins.2019.00110, 13, (2019). [Crossref<sup>103</sup>](#)
- Junaid Wazir, Rahat Ullah, Shihong Li, Md Amir Hossain, Maladho Tanta Diallo, Farhan Ullah Khan, Awais Ullah Ihsan, Xiaohui Zhou, Efficacy of acupuncture in the treatment of chronic prostatitis-chronic pelvic pain syndrome: a review of the literature, *International Urology and Nephrology*, 10.1007/s11255-019-02267-2, (2019). [Crossref<sup>104</sup>](#)
- Noa Schwartz, Madhavi Latha S. Chalasani, Thomas M. Li, Zhonghui Feng, William D. Shipman, Theresa T. Lu, Lymphatic Function in Autoimmune Diseases, *Frontiers in Immunology*, 10.3389/fimmu.2019.00519, (2019). [Crossref<sup>105</sup>](#)
- Sarah Ely, Panos Barlas, Transcutaneous electrical acupoint stimulation for people with chronic musculoskeletal pain: an exploratory review, *Physical Therapy Reviews*, 10.1080/10833196.2019.1648728, (1-12), (2019). [Crossref<sup>106</sup>](#)
- Koh-Woon Kim, Sanhwa Hong, Hong Soo Kim, Taehun Kim, Jaeha Ahn, Hyun-Seo Song, Yu-Kang Kim, Ju-Young Oh, Tae-Yeon Hwang, Hyangsook Lee, Su-II In, Hi-Joon Park, Physiological impact of nanoporous acupuncture needles: Laser Doppler perfusion imaging in healthy volunteers, *PLOS ONE*, 10.1371/journal.pone.0226304, 14, 12, (e0226304), (2019). [Crossref<sup>107</sup>](#)
- Chang-zhen Gong, Wei Liu, Convergence of Medicines: West Meets East in Newly-Discovered Organs and Functions, *Chinese Journal of Integrative Medicine*, 10.1007/s11655-018-2570-9, 25, 5, (323-326), (2018). [Crossref<sup>108</sup>](#)
- Jeanne Adiwinata Pawitan, Various stem cells in acupuncture meridians and points and their putative roles, *Journal of Traditional and Complementary Medicine*, 10.1016/j.jtcm.2017.08.004, (2018). [Crossref<sup>109</sup>](#)
- Chungda Lee, How can mindfulness-led breathing of qigong/Tai Chi work on qi and the meridian network?, *Advances in Integrative Medicine*, 10.1016/j.aimed.2018.07.002, 5, 3, (122-127), (2018). [Crossref<sup>110</sup>](#)
- Patrick Roynard, Lauren Frank, Huisheng Xie, Margaret Fowler, Acupuncture for Small Animal Neurologic Disorders, *Veterinary Clinics of North America: Small Animal Practice*, 10.1016/j.cvsm.2017.08.003, 48, 1, (201-219), (2018). [Crossref<sup>111</sup>](#)
- Meng Huang, Xuezhi Wang, Beibei Xing, Hongwei Yang, Zheyang Sa, Di Zhang, Wei Yao, Na Yin, Ying Xia, Guanghong Ding, Critical roles of TRPV2 channels, histamine H1 and adenosine A1 receptors in the initiation of acupoint signals for acupuncture analgesia, *Scientific Reports*, 10.1038/s41598-018-24654-y, 8, 1, (2018). [Crossref<sup>112</sup>](#)
- Ruining Liang, Peishuang Li, Xuemei Peng, Ling Xu, Pei Fan, Jiahua Peng, Xu Zhou, Chunlin Xiao, Miao Jiang, Efficacy of acupuncture on pelvic pain in patients with endometriosis: study protocol for a randomized, single-blind, multi-center, placebo-controlled trial, *Trials*, 10.1186/s13063-018-2684-6, 19, 1, (2018). [Crossref<sup>113</sup>](#)
- Wei-bo Zhang, De-xian Jia, Hong-yan Li, Yu-long Wei, Huang Yan, Peng-na Zhao, Fei-fei Gu, Guang-jun Wang, Yan-ping Wang, Understanding Qi Running in the Meridians as Interstitial Fluid Flowing via Interstitial Space of Low Hydraulic Resistance, *Chinese Journal of Integrative Medicine*, 10.1007/s11655-017-2791-3, 24, 4, (304-307), (2018). [Crossref<sup>114</sup>](#)
- Conner E. Liddle, Richard E. Harris, Cellular Reorganization Plays a Vital Role in Acupuncture Analgesia, *Medical Acupuncture*, 10.1089/acu.2017.1258, 30, 1, (15-20), (2018). [Crossref<sup>115</sup>](#)
- 戴云 冯, Relationship among the Meridians, Sinew Channels and Integrative Five Fluid Circulation System, *Traditional Chinese Medicine*, 10.12677/TCM.2018.71013, 07, 01, (74-92), (2018). [Crossref<sup>116</sup>](#)
- David Feinstein, Energy Psychology: Efficacy, Speed, Mechanisms, *EXPLORE*, 10.1016/j.explore.2018.11.003, (2018). [Crossref<sup>117</sup>](#)
- Hiroe MOTOYAMA, Hirohisa ISOGAI, Yoshito MUKAINO, Relaxing Effect Achieved by Acupuncture Stimulation in Different Postures for University Students Living a Sedentary Lifestyle Sedentary Lifestyle を送る大学生を対象とした異なる姿勢への鍼刺激によるリラクゼーション効果, *Kampo Medicine*, 10.3937/kampomed.69.225, 69, 3, (225-238), (2018). [Crossref<sup>118</sup>](#)
- Alexander Waits, You-Ren Tang, Hao-Min Cheng, Chen-Jei Tai, Li-Yin Chien, Acupressure effect on sleep quality: A systematic review and meta-analysis, *Sleep Medicine Reviews*, 10.1016/j.smrv.2016.12.004, 37, (24-34), (2018). [Crossref<sup>119</sup>](#)
- Chenglin Liu, Qinghua Liu, Dongming Zhang, Wei Liu, Xiaohui Yan, Xinyi Zhang, Hiroyuki Oyanagi, Zhiyun Pan, Fengchun Hu, Shiqiang Wei, Insight into the biological effects of acupuncture points by X-ray absorption fine structure, *Analytical and Bioanalytical Chemistry*, 10.1007/s00216-018-1146-z, 410, 20, (4959-4965), (2018). [Crossref<sup>120</sup>](#)
- Eric Leskowitz, How Tapping into “Energy” Can Trigger a Paradigm Shift in Biomedicine, *The Journal of Alternative and Complementary Medicine*, 10.1089/acm.2018.0073, 24, 6, (525-527), (2018). [Crossref<sup>121</sup>](#)
- Johannes Fleckenstein, Robert Schleip, Cornelia Sachs, Mark Driscoll, Susan Shockett, Thomas Findley, Werner Klingler, Faszienforschung: Quo vadis? Fascia research: Quo vadis?, *Deutsche Zeitschrift für Akupunktur*, 10.1007/s42212-018-0037-8, 61, 2, (69-74), (2018). [Crossref<sup>122</sup>](#)
- FA Phan, A Srilestari, H Mihardja, MBH Marbun, Effects of acupuncture on uremic pruritus in patients undergoing hemodialysis, *Journal of Physics: Conference Series*, 10.1088/1742-6596/1073/6/062049, 1073, (062049), (2018). [Crossref<sup>123</sup>](#)
87. <https://doi.org/10.1097/MD.00000000000019594>
88. <https://doi.org/10.1016/j.wjam.2020.05.003>
89. <https://doi.org/10.1016/j.jbmt.2020.06.035>
90. <https://doi.org/10.1007/s42212-019-00228-5>
91. <https://doi.org/10.1017/S1431927620001518>
92. <https://doi.org/10.1002/14651858.CD013814>
93. <https://doi.org/10.1007/s40141-020-00302-3>
94. <https://doi.org/10.1177/2164956119831221>
95. <https://onlinelibrary.wiley.com/doi/10.1002/9781119645214>
96. <https://doi.org/10.14406/acu.2019.034>
97. <https://doi.org/10.1016/j.wjam.2019.05.008>
98. <https://doi.org/10.1016/B978-0-12-815305-5.00036-1>
99. <https://doi.org/10.1186/s13287-019-1326-6>
100. <https://doi.org/10.1016/j.imr.2019.11.005>
101. <https://doi.org/10.14406/acu.2019.021>
102. [https://doi.org/10.4103/wjtc.wjtc\\_24\\_19](https://doi.org/10.4103/wjtc.wjtc_24_19)
103. <https://doi.org/10.3389/fnins.2019.00110>
104. <https://doi.org/10.1007/s11255-019-02267-2>
105. <https://doi.org/10.3389/fimmu.2019.00519>
106. <https://doi.org/10.1080/10833196.2019.1648728>
107. <https://doi.org/10.1371/journal.pone.0226304>
108. <https://doi.org/10.1007/s11655-018-2570-9>
109. <https://doi.org/10.1016/j.jtcm.2017.08.004>
110. <https://doi.org/10.1016/j.aimed.2018.07.002>
111. <https://doi.org/10.1016/j.cvsm.2017.08.003>
112. <https://doi.org/10.1038/s41598-018-24654-y>
113. <https://doi.org/10.1186/s13063-018-2684-6>
114. <https://doi.org/10.1007/s11655-017-2791-3>
115. <https://doi.org/10.1089/acu.2017.1258>
116. <https://doi.org/10.12677/TCM.2018.71013>
117. <https://doi.org/10.1016/j.explore.2018.11.003>
118. <https://doi.org/10.3937/kampomed.69.225>
119. <https://doi.org/10.1016/j.smrv.2016.12.004>
120. <https://doi.org/10.1007/s00216-018-1146-z>
121. <https://doi.org/10.1089/acm.2018.0073>
122. <https://doi.org/10.1007/s42212-018-0037-8>
123. <https://doi.org/10.1088/1742-6596/1073/6/062049>

- Kwang-Sup Soh, Sistema circulatorio de Bonghan como una extensión de los meridianos de acupuntura, *Revista Internacional de Acupuntura*, 10.1016/j.acu.2018.02.001, 12, 1, (15-28), (2018). [Crossref<sup>124</sup>](#)
- Helene M. Langevin, Peter M. Wayne, What Is the Point? The Problem with Acupuncture Research That No One Wants to Talk About, *The Journal of Alternative and Complementary Medicine*, 10.1089/acm.2017.0366, 24, 3, (200-207), (2018). [Crossref<sup>125</sup>](#)
- Chun-Yi Lin, Tze-Taur Wei, Chen-Chen Wang, Wan-Chen Chen, Yu-Min Wang, Song-Yen Tsai, Acute Physiological and Psychological Effects of Qigong Exercise in Older Practitioners, *Evidence-Based Complementary and Alternative Medicine*, 10.1155/2018/4960978, 2018, (1-10), (2018). [Crossref<sup>126</sup>](#)
- Kanae Umemoto, Toshiyuki Saito, Munekazu Naito, Shogo Hayashi, Tomiko Yakura, Hanno Steinke, Takashi Nakano, Anatomical Relationship between B123 and the Posterior Ramus of the L2 Spinal Nerve, *Acupuncture in Medicine*, 10.1136/acupmed-2015-010847, 34, 2, (95-100), (2018). [Crossref<sup>127</sup>](#)
- Krista Lynne Paulson, Barbara L. Shay, Sympathetic Nervous System Responses to Acupuncture and Non-Penetrating Sham Acupuncture in Experimental Forearm Pain: A Single-Blind Randomised Descriptive Study, *Acupuncture in Medicine*, 10.1136/acupmed-2012-010223, 31, 2, (178-184), (2018). [Crossref<sup>128</sup>](#)
- Marc Amand, Florence Nguyen-Huu, Costantino Balestra, Acupuncture Effect on Thermal Tolerance and Electrical Pain Threshold: A Randomised Controlled Trial, *Acupuncture in Medicine*, 10.1136/aim.2010.002485, 29, 1, (47-50), (2018). [Crossref<sup>129</sup>](#)
- Michele Alem, Maria Saletto Costa Gurgel, Acupuncture in the Rehabilitation of Women after Breast Cancer Surgery – a Case Series, *Acupuncture in Medicine*, 10.1136/aim.26.2.86, 26, 2, (86-93), (2018). [Crossref<sup>130</sup>](#)
- Avijgan Majid, Rouh/Qi before and after production; basic concept of life, *International Journal of Complementary & Alternative Medicine*, 10.15406/ijcam.2018.11.00363, 11, 2, (2018). [Crossref<sup>131</sup>](#)
- Tiaw-Kee Lim, Yan Ma, Frederic Berger, Gerhard Litscher, Acupuncture and Neural Mechanism in the Management of Low Back Pain—An Update, *Medicines*, 10.3390/medicines5030063, 5, 3, (63), (2018). [Crossref<sup>132</sup>](#)
- Anna Esparham, Anne Herbert, Emily Pierzchalski, Catherine Tran, Jennifer Dilts, Madeline Boorigie, Tammie Wingert, Mark Connelly, Jennifer Bickel, Pediatric Headache Clinic Model: Implementation of Integrative Therapies in Practice, *Children*, 10.3390/children5060074, 5, 6, (74), (2018). [Crossref<sup>133</sup>](#)
- Elizabeth R. Magden, Chapter 13 Positive Reinforcement Training and Health Care, *Handbook of Primate Behavioral Management*, 10.1201/9781315120652, (201-216), (2017). [Crossref<sup>134</sup>](#)
- Faria Sanjana, Hans Chaudhry, Thomas Findley, Effect of MELT method on thoracolumbar connective tissue: The full study, *Journal of Bodywork and Movement Therapies*, 10.1016/j.jbmt.2016.05.010, 21, 1, (179-185), (2017). [Crossref<sup>135</sup>](#)
- Peter T. Dorsher, Neuroembryology of the Acupuncture Principal Meridians: Part 1. The Extremities, *Medical Acupuncture*, 10.1089/acu.2016.1210, 29, 1, (10-19), (2017). [Crossref<sup>136</sup>](#)
- Jordi Gascon-Garcia, Caridad Bagur-Calafat, Montserrat Girabent-Farrés, Ramon Baliu, Validation of the range of dry needling with the fascial winding technique in the carpal tunnel using ultrasound, *Journal of Bodywork and Movement Therapies*, 10.1016/j.jbmt.2017.10.013, (2017). [Crossref<sup>137</sup>](#)
- Ana Paula A. Ferreira, Luciana C. Póvoa, José F.C. Zanier, Arthur S. Ferreira, Locating the Seventh Cervical Spinous Process: Accuracy of the Thorax-Rib Static Method and the Effects of Clinical Data on Its Performance, *Journal of Manipulative and Physiological Therapeutics*, 10.1016/j.jmpt.2016.10.011, 40, 2, (98-105), (2017). [Crossref<sup>138</sup>](#)
- Arya Nielsen, Acupuncture for the Prevention of Tension-Type Headache (2016), *EXPLORE: The Journal of Science and Healing*, 10.1016/j.explore.2017.03.007, 13, 3, (228-231), (2017). [Crossref<sup>139</sup>](#)
- Fan Wang, Guang-wei Cui, Le Kuai, Jian-min Xu, Ting-ting Zhang, Huai-jin Cheng, Hong-sheng Dong, Gui-rong Dong, Role of Acupoint Area Collagen Fibers in Anti-Inflammation of Acupuncture Lifting and Thrusting Manipulation, *Evidence-Based Complementary and Alternative Medicine*, 10.1155/2017/2813437, 2017, (1-8), (2017). [Crossref<sup>140</sup>](#)
- Wei-Chia Chen, Hsiang-Ying Chen, Yu-Sheng Chen, Yong Tian, Lin I, Self-excited multi-scale skin vibrations probed by optical tracking micro-motions of tracers on arms, *Journal of Applied Physics*, 10.1063/1.4991499, 122, 2, (024701), (2017). [Crossref<sup>141</sup>](#)
- Fletcher Kovich, A Curious Oversight in Acupuncture Research, *Journal of Acupuncture and Meridian Studies*, 10.1016/j.jams.2017.10.004, 10, 6, (411-415), (2017). [Crossref<sup>142</sup>](#)
- David F. Drake, Anne M. Hudak, William Robbins, Integrative Medicine in Traumatic Brain Injury, *Physical Medicine and Rehabilitation Clinics of North America*, 10.1016/j.pmr.2016.12.011, 28, 2, (363-378), (2017). [Crossref<sup>143</sup>](#)
- Helene M. Langevin, Rosa N. Schnyer, Reconnecting the Body in Eastern and Western Medicine, *The Journal of Alternative and Complementary Medicine*, 10.1089/acm.2017.0028, 23, 4, (238-241), (2017). [Crossref<sup>144</sup>](#)
- Salvador Quiroz-González, Sergio Torres-Castillo, Rosa Estela López-Gómez, Ismael Jiménez Estrada, Acupuncture Points and Their Relationship with Multireceptive Fields of Old Neurons, *Journal of Acupuncture and Meridian Studies*, 10.1016/j.jams.2017.01.006, 10, 2, (81-89), (2017). [Crossref<sup>145</sup>](#)
- Sharon Jiyeon Jung, Haim Song, Yu Yeon Kim, Jungdae Kim, Sungchul Kim, Yoon-Kyu Song, Kwang-Sup Soh, Distribution of Mast Cells and Locations, Depths, and Sizes of the Putative Acupoints CV 8 and KI 16, *Evidence-Based Complementary and Alternative Medicine*, 10.1155/2017/2953278, 2017, (1-10), (2017). [Crossref<sup>146</sup>](#)
- Benjamin C.W. Chant, Jeanne Madison, Paul Coop, Gudrun Dieberg, Contact Tools in Japanese Acupuncture: An Ethnography of Acupuncture Practitioners in Japan, *Journal of Acupuncture and Meridian Studies*, 10.1016/j.jams.2017.08.006, 10, 5, (331-339), (2017). [Crossref<sup>147</sup>](#)
- Hugh MacPherson, Andrew Vickers, Martin Bland, David Torgerson, Mark Corbett, Eldon Spackman, Pedro Saramago, Beth Woods, Helen Weatherly, Mark Sculpher, Andrea Manca, Stewart Richmond, Ann Hopton, Janet Eldred, Ian Watt, Acupuncture for chronic pain and depression in primary care: a programme of research, *Programme Grants for Applied Research*, 10.3310/pgfar05030, 5, 3, (1-316), (2017). [Crossref<sup>148</sup>](#)
- Benjamin Kligler, Arya Nielsen, Corinne Kohrher, Tracy Schmid, Eve Waltermaurer, Elidania Perez, Woodson Merrell, Acupuncture Therapy in a Group Setting for Chronic Pain, *Pain Medicine*, 10.1093/pm/pnx134, (2017). [Crossref<sup>149</sup>](#)
- Alexander Macdonald, Acupuncture Main Channels or Meridians: Visible Surfaces, *International Journal of Complementary & Alternative Medicine*, 10.15406/ijcam.2017.07.00233, 7, 4, (2017). [Crossref<sup>150</sup>](#)
- Roshanak Ghods, Nasrin Sayfour, Mohammad Hossein Ayati, Anatomical Features of the Interscapular Area Where Wet Cupping Therapy Is Done and Its Possible Relation to Acupuncture Meridians, *Journal of Acupuncture and Meridian Studies*, 10.1016/j.jams.2016.06.004, 9, 6, (290-296), (2016). [Crossref<sup>151</sup>](#)
- Laura Quiles, Electra Peluffo, Meridianos tendinomusculares (Jing Jin) y tejido fascial, comparativa anatómica y funcional, *Revista Internacional de Acupuntura*, 10.1016/j.acu.2016.01.002, 10, 1, (20-24), (2016). [Crossref<sup>152</sup>](#)
- Tian Tian, Yanhong Sun, Huang Wu, Jian Pei, Jing Zhang, Yi Zhang, Lu Wang, Bin Li, Lihua Wang, Jiye Shi, Jun Hu, Chunhai Fan, Acupuncture promotes mTOR-independent autophagic clearance of aggregation-prone proteins in mouse brain, *Scientific Reports*, 10.1038/srep19714, 6, 1, (2016). [Crossref<sup>153</sup>](#)
- Eric Leskowitz, Integrative Medicine for PTSD and TBI: Two Innovative Approaches, *Medical Acupuncture*, 10.1089/acu.2016.1168, 28, 4, (181-183), (2016). [Crossref<sup>154</sup>](#)
- Sarah le Jeune, Kimberly Henneman, Kevin May, Acupuncture and Equine Rehabilitation, *Veterinary Clinics of North America: Equine Practice*, 10.1016/j.cveq.2015.12.004, 32, 1, (73-85), (2016). [Crossref<sup>155</sup>](#)
- Charlotte H. Y. Lau, Xinyin Wu, Vincent C. H. Chung, Xin Liu, Edwin P. Hui, Holger Cramer, Romy Lauche, Samuel Y. S. Wong, Alexander Y. L. Lau, Regina W. S. Sit, Eric T. C. Ziea, Bacon F. L. Ng, Justin C. Y. Wu, Acupuncture and Related Therapies for Symptom Management in Palliative Cancer Care, *Medicine*, 10.1097/MD.0000000000002901, 95, 9, (e2901), (2016). [Crossref<sup>156</sup>](#)
- Li Chen, Hai-Xiang Sun, You-Bing Xia, Liu-Cai Sui, Ji Zhou, Xuan Huang, Jing-Wei Zhou, Yi-Dan Shao, Tao Shen, Qin Sun, Yuan-Jiao Liang, Bing Yao, Electroacupuncture decreases the progression of ovarian hyperstimulation syndrome in a rat model, *Reproductive BioMedicine Online*, 10.1016/j.rbmo.2016.02.006, 32, 5, (538-544), (2016). [Crossref<sup>157</sup>](#)
- Suzanne B. Hanser, Suzanne B. Hanser, Holistic Healing, *Integrative Health through Music Therapy*, 10.1057/978-1-137-38477-5, (35-54), (2016). [Crossref<sup>158</sup>](#)
- Laurent Misery, Acupuncture, Pruritus, 10.1007/978-3-319-33142-3, (437-441), (2016). [Crossref<sup>159</sup>](#)
- Jing-Ke Guo, Ming-Ming Xu, Mei-Feng Zheng, Shu-Tao Liu, Jian-Wu Zhou, Li-Jing Ke, Tian-Bao Chen, Ping-Fan Rao, Topical Application of TAT-Superoxide Dismutase in Acupoints LI 20 on Allergic Rhinitis, *Evidence-Based Complementary and Alternative Medicine*, 10.1155/2016/3830273, 2016, (1-9), (2016). [Crossref<sup>160</sup>](#)
- James L. Oschman, Acupuncture, Acupressure, Shiatsu, and Related Therapies, *Energy Medicine*, 10.1016/B978-0-443-06729-7.00014-4, (221-239), (2016). [Crossref<sup>161</sup>](#)
124. <https://doi.org/10.1016/j.acu.2018.02.001>
125. <https://doi.org/10.1089/acm.2017.0366>
126. <https://doi.org/10.1155/2018/4960978>
127. <https://doi.org/10.1136/acupmed-2015-010847>
128. <https://doi.org/10.1136/acupmed-2012-010223>
129. <https://doi.org/10.1136/aim.2010.002485>
130. <https://doi.org/10.1136/aim.26.2.86>
131. <https://doi.org/10.15406/ijcam.2018.11.00363>
132. <https://doi.org/10.3390/medicines5030063>
133. <https://doi.org/10.3390/children5060074>
134. <https://doi.org/10.1201/9781315120652>
135. <https://doi.org/10.1016/j.jbmt.2016.05.010>
136. <https://doi.org/10.1089/acu.2016.1210>
137. <https://doi.org/10.1016/j.jbmt.2017.10.013>
138. <https://doi.org/10.1016/j.jmpt.2016.10.011>
139. <https://doi.org/10.1016/j.explore.2017.03.007>
140. <https://doi.org/10.1155/2017/2813437>
141. <https://doi.org/10.1063/1.4991499>
142. <https://doi.org/10.1016/j.jams.2017.10.004>
143. <https://doi.org/10.1016/j.pmr.2016.12.011>
144. <https://doi.org/10.1089/acm.2017.0028>
145. <https://doi.org/10.1016/j.jams.2017.01.006>
146. <https://doi.org/10.1155/2017/2953278>
147. <https://doi.org/10.1016/j.jams.2017.08.006>
148. <https://doi.org/10.3310/pgfar05030>
149. <https://doi.org/10.1093/pm/pnx134>
150. <https://doi.org/10.15406/ijcam.2017.07.00233>
151. <https://doi.org/10.1016/j.jams.2016.06.004>
152. <https://doi.org/10.1016/j.acu.2016.01.002>
153. <https://doi.org/10.1038/srep19714>
154. <https://doi.org/10.1089/acu.2016.1168>
155. <https://doi.org/10.1016/j.cveq.2015.12.004>
156. <https://doi.org/10.1097/MD.0000000000002901>
157. <https://doi.org/10.1016/j.rbmo.2016.02.006>
158. <https://doi.org/10.1057/978-1-137-38477-5>
159. <https://doi.org/10.1007/978-3-319-33142-3>
160. <https://doi.org/10.1155/2016/3830273>

- Motti Ratmansky, Adi Levy, Aviv Messinger, Alla Birg, Lilach Front, Iuly Treger, The Effects of Acupuncture on Cerebral Blood Flow in Post-Stroke Patients: A Randomized Controlled Trial, *The Journal of Alternative and Complementary Medicine*, 10.1089/acm.2015.0066, 22, 1, (33-37), (2016). [Crossref<sup>62</sup>](#)
- Marzio Vanzini, Michele Gallamini, Amblyopia: Can Laser Acupuncture be an Option?, *Journal of Acupuncture and Meridian Studies*, 10.1016/j.jams.2016.01.017, 9, 5, (267-274), (2016). [Crossref<sup>63</sup>](#)
- Bo M. Rowan†, J. Bryan Dixon, Complementary Medicine Practices for Muscular Injuries of the Posterior Leg, *Muscular Injuries in the Posterior Leg*, 10.1007/978-1-4899-7651-2, (153-168), (2016). [Crossref<sup>64</sup>](#)
- HyunSuk Jang, Joohwan Yoon, HyunJi Gil, Sharon Jiyeon Jung, Min-Suk Kim, Jin-Kyu Lee, Young-Jae Kim, Kwang-Sup Soh, Observation of a Flowing Duct in the Abdominal Wall by Using Nanoparticles, *PLOS ONE*, 10.1371/journal.pone.0150423, 11, 3, (e0150423), (2016). [Crossref<sup>65</sup>](#)
- Richard Cha, Detecting Intrinsic Movements through Needle Tips Pinned at Zusanli ST-36 Point - a New Method for Characterizing Structures for Acupuncture Treatments, *International Journal of Complementary & Alternative Medicine*, 10.15406/ijcam.2016.03.00100, 3, 6, (2016). [Crossref<sup>66</sup>](#)
- Raphael J. Hochstrasser, P. Christian Endler, Sabine D. Klein, Perception of Therapeutic Qi, a Nonmechanical, Nonpsychological Factor in Acupuncture That Originates from the Therapist, *Journal of Acupuncture and Meridian Studies*, 10.1016/j.jams.2014.11.009, 8, 4, (203-208), (2015). [Crossref<sup>67</sup>](#)
- Carla Stecco, Warren Hammer, Andry Vleeming, Raffaele De Caro, Fasciae of the Upper Limb, *Functional Atlas of the Human Fascial System*, 10.1016/B978-0-7020-4430-4.00007-5, (217-287), (2015). [Crossref<sup>68</sup>](#)
- Shu-Ming Wang, Acupuncture as a Treatment for Substance Abuse in Pediatric Patients, *Substance Abuse*, 10.1007/978-1-4939-1951-2, (349-357), (2015). [Crossref<sup>69</sup>](#)
- Mei-Ling Wu, Dong-Sheng Xu, Wan-Zhu Bai, Jing-Jing Cui, Hong-Ming Shu, Wei He, Xiao-Yu Wang, Hong Shi, Yang-Shuai Su, Ling Hu, Bing Zhu, Xiang-Hong Jing, Local cutaneous nerve terminal and mast cell responses to manual acupuncture in acupoint LI4 area of the rats, *Journal of Chemical Neuroanatomy*, 10.1016/j.jchemneu.2015.06.002, 68, (14-21), (2015). [Crossref<sup>70</sup>](#)
- Mark J. McDonald, Will the Primo Vascular System Finally Solve the Mystery of Acupuncture?, *Medical Acupuncture*, 10.1089/acu.2014.1075, 27, 1, (33-37), (2015). [Crossref<sup>71</sup>](#)
- Wei-Bo Zhang, Guang-Jun Wang, Kjell Fuxe, Classic and Modern Meridian Studies: A Review of Low Hydraulic Resistance Channels along Meridians and Their Relevance for Therapeutic Effects in Traditional Chinese Medicine, Evidence-Based Complementary and Alternative Medicine, 10.1155/2015/410979, 2015, (1-14), (2015). [Crossref<sup>72</sup>](#)
- Xiaqiu Wu, Jin Peng, Guoqin Li, Wei Zhang, Guangxia Liu, Baoyan Liu, Efficacy evaluation of summer acupoint application treatment on asthma patients: a two-year follow-up clinical study, *Journal of Traditional Chinese Medicine*, 10.1016/S0254-6272(15)30004-2, 35, 1, (21-27), (2015). [Crossref<sup>73</sup>](#)
- Won-Mo Jung, Taehyung Lee, In-Seon Lee, Sanghyun Kim, Hyunchul Jang, Song-Yi Kim, Hi-Joon Park, Younbyoung Chae, Spatial Patterns of the Indications of Acupoints Using Data Mining in Classic Medical Text: A Possible Visualization of the Meridian System, Evidence-Based Complementary and Alternative Medicine, 10.1155/2015/457071, 2015, (1-7), (2015). [Crossref<sup>74</sup>](#)
- Kwang-Sup Soh, Hypothesis on the Treatment of Gliomas with Acupuncture at the Primo Node Corresponding to Zusanli (ST 36), *Medical Acupuncture*, 10.1089/acu.2014.1089, 27, 3, (144-150), (2015). [Crossref<sup>75</sup>](#)
- Marco Gemma, Elisa Nicelli, Luigi Gioia, Elena Moizo, Luigi Beretta, Maria Rosa Calvi, Acupuncture accelerates recovery after general anesthesia: a prospective randomized controlled trial, *Journal of Integrative Medicine*, 10.1016/S2095-4964(15)60159-5, 13, 2, (99-104), (2015). [Crossref<sup>76</sup>](#)
- Michele Gallamini, Giovanni D'Angelo, Gabriele Belloni, Biolite: A Patented Ultra-Low-Level Laser-Therapy Device for Treating Musculoskeletal Pain and Associated Impairments, *Journal of Acupuncture and Meridian Studies*, 10.1016/j.jams.2015.02.001, 8, 4, (167-174), (2015). [Crossref<sup>77</sup>](#)
- Poney Chiang, What is the Point of Acupuncture?, *Medical Acupuncture*, 10.1089/acu.2015.1093, 27, 2, (67-80), (2015). [Crossref<sup>78</sup>](#)
- Richard F. Hobbs, Acupuncture—Biophysics or Metaphysics?, *Medical Acupuncture*, 10.1089/acu.2015.1097, 27, 2, (62-66), (2015). [Crossref<sup>79</sup>](#)
- Ali Khorsand, Jiang Zhu, Hamidreza Bahrami-Taghanaki, Sara Baghani, Liangxiao Ma, Shima Rezaei, Investigation of the electrical impedance of acupuncture points and non-acupuncture points before and after acupuncture, using a four-electrode device, *Acupuncture in Medicine*, 10.1136/acupmed-2014-010697, 33, 3, (230-236), (2015). [Crossref<sup>80</sup>](#)
- Fang Li, Tian He, Qian Xu, Li - Ting Lin, Hui Li, Yan Liu, Guang - Xia Shi, Cun - Zhi Liu, What is the Acupoint? A preliminary review of Acupoints, *Pain Medicine*, 10.1111/pme.12761, 16, 10, (1905-1915), (2015). [Wiley Online Library<sup>81</sup>](#)
- Song-Yi Kim, Sang-Woo Kim, Hi-Joon Park, Different Responses to Acupuncture in Electroencephalogram according to Stress Level: A Randomized, Placebo-Controlled, Cross-Over Trial, *Korean Journal of Acupuncture*, 10.14406/aku.2014.022, 31, 3, (136-145), (2014). [Crossref<sup>82</sup>](#)
- Heming Zhu, Acupoints Initiate the Healing Process, *Medical Acupuncture*, 10.1089/acu.2014.1057, 26, 5, (264-270), (2014). [Crossref<sup>83</sup>](#)
- G. Ding, Z. Wu, D. Zhang, Z. Sa, K. Cheng, Biophysical Bases of Acupuncture, *Comprehensive Biomedical Physics*, 10.1016/B978-0-444-53632-7.01018-2, (299-316), (2014). [Crossref<sup>84</sup>](#)
- Yuan-yuan Lin, Yin-ping Wang, Hao-yang Lu, Xiu-cai Guo, Xia Liu, Chuan-bin Wu, Yue-hong Xu, Plasma pharmacokinetics and lung distribution of tetrahydropalmatine after topical application of cold asthma recipe extract: Feishu (BL 13) versus Non-Feishu acupoint, *Journal of Ethnopharmacology*, 10.1016/j.jep.2014.03.009, 153, 2, (454-460), (2014). [Crossref<sup>85</sup>](#)
- Yiu Ming Wong, Electrical Property of Acupoints, *The Journal of Alternative and Complementary Medicine*, 10.1089/acm.2013.0169, 20, 2, (145-146), (2014). [Crossref<sup>86</sup>](#)
- Nadia Elisabeth Haddad, Oxana Palesh, Acupuncture in the Treatment of Cancer-Related Psychosocial Symptoms, *Integrative Cancer Therapies*, 10.1177/1534735413520181, 13, 5, (371-385), (2014). [Crossref<sup>87</sup>](#)
- Soo-Byeong Kim, Kyung-Yul Chung, Mi-Seon Jeon, Tae-Min Shin, Yong-Heum Lee, Body Composition Factor Comparisons of the Intracellular Fluid (ICW), Extracellular Fluid (ECW) and Cell Membrane at Acupuncture Points and Non-Acupuncture Points by Inducing Multiple Ionic Changes, *Korean Journal of Acupuncture*, 10.14406/aku.2014.005, 31, 2, (66-78), (2014). [Crossref<sup>88</sup>](#)
- Martha Liliana Beltrán Molano, Laura Bibiana Pinilla Bonilla, Eduardo Humberto Beltrán Dussan, Carlos Alberto Vásquez Londoño, Anatomic-Functional Correlation between Head Zones and Acupuncture Channels and Points: A Comparative Analysis from the Perspective of Neural Therapy, Evidence-Based Complementary and Alternative Medicine, 10.1155/2014/836392, 2014, (1-12), (2014). [Crossref<sup>89</sup>](#)
- Evan H. Kwong, Thomas W. Findley, Fascia—Current knowledge and future directions in physiatry: Narrative review, *Journal of Rehabilitation Research and Development*, 10.1682/JRRD.2013.10.0220, 51, 6, (875-884), (2014). [Crossref<sup>90</sup>](#)
- Kwokming James Cheng, Neurobiological Mechanisms of Acupuncture for Some Common Illnesses: A Clinician's Perspective, *Journal of Acupuncture and Meridian Studies*, 10.1016/j.jams.2013.07.008, 7, 3, (105-114), (2014). [Crossref<sup>91</sup>](#)
- Jing-Wen Yang, Qian-Qian Li, Fang Li, Qing-Nan Fu, Xiang-Hong Zeng, Cun-Zhi Liu, The Holistic Effects of Acupuncture Treatment, Evidence-Based Complementary and Alternative Medicine, 10.1155/2014/739708, 2014, (1-10), (2014). [Crossref<sup>92</sup>](#)
- Shu-Yih Wu, Wei-Hsin Chen, Ching-Liang Hsieh, Yi-Wen Lin, Abundant expression and functional participation of TRPV1 at Zusanli acupoint (ST36) in mice: mechanosensitive TRPV1 as an "acupuncture-responding channel", *BMC Complementary and Alternative Medicine*, 10.1186/1472-6882-14-96, 14, 1, (2014). [Crossref<sup>93</sup>](#)
- Morry Silberstein, Is acupuncture "stimulation" a misnomer? A case for using the term "blockade", *BMC Complementary and Alternative Medicine*, 10.1186/1472-6882-13-68, 13, 1, (2013). [Crossref<sup>94</sup>](#)
- In-Seon Lee, Soon-Ho Lee, Song-Yi Kim, Hyejung Lee, Hi-Joon Park, Younbyoung Chae, Visualization of the Meridian System Based on Biomedical Information about Acupuncture Treatment, Evidence-Based Complementary and Alternative Medicine, 10.1155/2013/872142, 2013, (1-5), (2013). [Crossref<sup>95</sup>](#)
- Helene M. Langevin, Part 1, Trigger Point Dry Needling, 10.1016/B978-0-7020-4601-8.10008-8, (29-33), (2013). [Crossref<sup>96</sup>](#)
- Byung-Cheon Lee, Walter J. Akers, Xianghong Jing, M. Isabel Miguel Perez, Yeonhee Ryu, Primo Vascular System: Past, Present, and Future, Evidence-Based Complementary and Alternative Medicine, 10.1155/2013/240168, 2013, (1-2), (2013). [Crossref<sup>97</sup>](#)
- Andrew Bannan, Acupuncture in physiotherapy, *Tidy's Physiotherapy*, 10.1016/B978-0-7020-4344-4.00018-3, (403-415), (2013). [Crossref<sup>98</sup>](#)
- Im Quah-Smith, Caroline Smith, John D. Crawford, Janice Russell, Laser acupuncture for

161. <https://doi.org/10.1016/B978-0-443-06729-7.00014-4>  
 162. <https://doi.org/10.1089/acm.2015.0066>  
 163. <https://doi.org/10.1016/j.jams.2016.01.017>  
 164. <https://doi.org/10.1007/978-1-4899-7651-2>  
 165. <https://doi.org/10.1371/journal.pone.0150423>  
 166. <https://doi.org/10.15406/ijcam.2016.03.00100>  
 167. <https://doi.org/10.1016/j.jams.2014.11.009>  
 168. <https://doi.org/10.1016/B978-0-7020-4430-4.00007-5>  
 169. <https://doi.org/10.1007/978-1-4939-1951-2>  
 170. <https://doi.org/10.1016/j.jchemneu.2015.06.002>  
 171. <https://doi.org/10.1089/acu.2014.1075>  
 172. <https://doi.org/10.1155/2015/410979>  
 173. [https://doi.org/10.1016/S0254-6272\(15\)30004-2](https://doi.org/10.1016/S0254-6272(15)30004-2)  
 174. <https://doi.org/10.1155/2015/457071>  
 175. <https://doi.org/10.1089/acu.2014.1089>  
 176. [https://doi.org/10.1016/S2095-4964\(15\)60159-5](https://doi.org/10.1016/S2095-4964(15)60159-5)  
 177. <https://doi.org/10.1016/j.jams.2015.02.001>  
 178. <https://doi.org/10.1089/acu.2015.1093>  
 179. <https://doi.org/10.1089/acu.2015.1097>

180. <https://doi.org/10.1136/acupmed-2014-010697>  
 181. <https://onlinelibrary.wiley.com/doi/10.1111/pme.12761>  
 182. <https://doi.org/10.14406/aku.2014.022>  
 183. <https://doi.org/10.1089/acu.2014.1057>  
 184. <https://doi.org/10.1016/B978-0-444-53632-7.01018-2>  
 185. <https://doi.org/10.1016/j.jep.2014.03.009>  
 186. <https://doi.org/10.1089/acm.2013.0169>  
 187. <https://doi.org/10.1177/1534735413520181>  
 188. <https://doi.org/10.14406/aku.2014.005>  
 189. <https://doi.org/10.1155/2014/836392>  
 190. <https://doi.org/10.1682/JRRD.2013.10.0220>  
 191. <https://doi.org/10.1016/j.jams.2013.07.008>  
 192. <https://doi.org/10.1155/2014/739708>  
 193. <https://doi.org/10.1186/1472-6882-14-96>  
 194. <https://doi.org/10.1186/1472-6882-13-68>  
 195. <https://doi.org/10.1155/2013/872142>  
 196. <https://doi.org/10.1016/B978-0-7020-4601-8.10008-8>  
 197. <https://doi.org/10.1155/2013/240168>  
 198. <https://doi.org/10.1016/B978-0-7020-4344-4.00018-3>

- depression: A randomised double blind controlled trial using low intensity laser intervention, *Journal of Affective Disorders*, 10.1016/j.jad.2012.11.058, 148, 2-3, (179-187), (2013). [Crossref<sup>199</sup>](#)
- C. Will Chen, Chen-Jei Tai, Cheuk-Sing Choy, Chau-Yun Hsu, Shoei-Loong Lin, Wing P. Chan, Han-Sun Chiang, Chang-An Chen, Ting-Kai Leung, Wave-Induced Flow in Meridians Demonstrated Using Photoluminescent Bioceramic Material on Acupuncture Points, *Evidence-Based Complementary and Alternative Medicine*, 10.1155/2013/739293, 2013, (1-11), (2013). [Crossref<sup>200</sup>](#)
- Raphael J. Hochstrasser, P. Christian Endler, Sabine D. Klein, Introduction of two novel devices for investigating the influence of non-mechanical components such as therapeutic qi in acupuncture, *Journal of Integrative Medicine*, 10.3736/jintegrated2013030, 11, 3, (168-174), (2013). [Crossref<sup>201</sup>](#)
- W. Evan Rivers, Felise Zollman, Reliability of Surface Acupuncture Point Location, *Medical Acupuncture*, 10.1089/acu.2012.0929, 25, 2, (134-140), (2013). [Crossref<sup>202</sup>](#)
- Stefano Marcelli, Gross Anatomy and Acupuncture: A Comparative Approach to Reappraise the Meridian System, *Medical Acupuncture*, 10.1089/acu.2012.0875, 25, 1, (5-22), (2013). [Crossref<sup>203</sup>](#)
- Jaung-Geng Lin, Pei-Chi Chou, Heng-Yi Chu, An Exploration of the Needling Depth in Acupuncture: The Safe Needling Depth and the Needling Depth of Clinical Efficacy, *Evidence-Based Complementary and Alternative Medicine*, 10.1155/2013/740508, 2013, (1-21), (2013). [Crossref<sup>204</sup>](#)
- DARCY A. UMPHRED, CAROL M. DAVIS, MARY LOU GALANTINO, Complementary and alternative therapies: beyond traditional approaches to intervention in neurological diseases and movement disorders, *Neurological Rehabilitation*, 10.1016/B978-0-323-07586-2.00048-0, (1173-1214), (2013). [Crossref<sup>205</sup>](#)
- Alessandra de Almeida Fagundes, Mariana César Ribeiro Reis, Maira Salles, Maria Graças Bastos Licurci, Immediate Effects of Acupuncture for Managing Myofascial Trigger-Point Pain: A Pilot Study, *Medical Acupuncture*, 10.1089/acu.2012.0902, 25, 1, (55-60), (2013). [Crossref<sup>206</sup>](#)
- Yi Zhuang, Jing-jing Xing, Juan Li, Bai-Yun Zeng, Fan-rong Liang, History of Acupuncture Research, *Neurobiology of Acupuncture*, 10.1016/B978-0-12-411545-3.00001-8, (1-23), (2013). [Crossref<sup>207</sup>](#)
- Arya Nielsen, Ted J. Kaptchuk, Sha syndrome and Gua sha, cao gio, coining, scraping, *Gua Sha*, 10.1016/B978-0-7020-3108-3.00005-4, (39-44), (2013). [Crossref<sup>208</sup>](#)
- Arya Nielsen, Ted J. Kaptchuk, Physiology of Gua sha, *Gua Sha*, 10.1016/B978-0-7020-3108-3.00003-0, (21-30), (2013). [Crossref<sup>209</sup>](#)
- Shirley P.C. Ngai, Alice Y.M. Jones, Changes in Skin Impedance and Heart Rate Variability with Application of Acu-TENS to BL 13 ( Feishu ) , *The Journal of Alternative and Complementary Medicine*, 10.1089/acm.2012.0097, 19, 6, (558-563), (2013). [Crossref<sup>210</sup>](#)
- Isabelle Nègre, Méthodes non médicamenteuses : compréhension actuelle des mécanismes d'action, Douleurs : Evaluation - Diagnostic - Traitement, 10.1016/j.douleur.2013.01.007, 14, 3, (111-118), (2013). [Crossref<sup>211</sup>](#)
- Guanghong Ding, Di Zhang, Meng Huang, Lina Wang, Wei Yao, Function of Collagen and Mast Cells in Acupuncture Points, *Current Research in Acupuncture*, 10.1007/978-1-4614-3357-6, (53-87), (2013). [Crossref<sup>212</sup>](#)
- Sung - Ho Lee, Geon - Ho Jahng, Il - Hwan Choe, Chi - Bong Choi, Dae - Hyun Kim, Hwi - Yool Kim, Neural Pathway Interference by Retained Acupuncture: A Functional MRI Study of a Dog Model of Parkinson's Disease, *CNS Neuroscience & Therapeutics*, 10.1111/ens.12108, 19, 8, (585-595), (2013). [Wiley Online Library<sup>213</sup>](#)
- Hee Young Kim, Sung Tae Koo, Jae Hyo Kim, Kyungeh An, Kyungsoon Chung, Jin Mo Chung, Electroacupuncture analgesia in rat ankle sprain pain model: neural mechanisms, *Neurological Research*, 10.1179/016164109X12537002793689, 32, sup1, (10-17), (2013). [Crossref<sup>214</sup>](#)
- ChangShik Yin, ByungKwan Seo, Hi-Joon Park, Miran Cho, WooSang Jung, Ryowon Choue, ChangHwan Kim, Hun-Kuk Park, Hyejung Lee, HyeongGyun Koh, Acupuncture, a promising adjunctive therapy for essential hypertension: a double-blind, randomized, controlled trial, *Neurological Research*, 10.1179/016164107X172220, 29, sup1, (98-103), (2013). [Crossref<sup>215</sup>](#)
- Gary Deng, Barrie Cassileth, Complementary or alternative medicine in cancer care—myths and realities, *Nature Reviews Clinical Oncology*, 10.1038/nrclinonc.2013.125, 10, 11, (656-664), (2013). [Crossref<sup>216</sup>](#)
- James L. Oschman, Fascia as a body-wide communication system, *Fascia: The Tensional Network of the Human Body*, 10.1016/B978-0-7020-3425-1.00049-0, (103-110), (2012). [Crossref<sup>217</sup>](#)
- David Feinstein, Acupoint Stimulation in Treating Psychological Disorders: Evidence of Efficacy, *Review of General Psychology*, 10.1037/a0028602, 16, 4, (364-380), (2012). [Crossref<sup>218</sup>](#)
- Jun J. Mao, Malini M. Khanna, Integrating Acupuncture with Western Medicine in Cancer Treatment, *Acupuncture and Moxibustion as an Evidence-based Therapy for Cancer*, 10.1007/978-94-007-4833-0\_14, (313-328), (2012). [Crossref<sup>219</sup>](#)
- Alex Benham, Mark I. Johnson, Characterization of Painful and Non-painful Acupuncture Needle Sensations During Bidirectional Rotation of a Single Needle Inserted 15–25 mm at Large Intestine 10, *Medical Acupuncture*, 10.1089/acu.2011.0861, 24, 3, (172-180), (2012). [Crossref<sup>220</sup>](#)
- Li-Ling Lin, Ya-Hui Wang, Chi-Yu Lai, Chan-Lao Chau, Guan-Chin Su, Chun-Yi Yang, Shu-Ying Lou, Su-Kai Chen, Kuan-Hao Hsu, Yen-Ling Lai, Wei-Ming Wu, Jian-Long Huang, Chih-Hsin Liao, Hsueh-Fen Juan, Systems Biology of Meridians, Acupoints, and Chinese Herbs in Disease, *Evidence-Based Complementary and Alternative Medicine*, 10.1155/2012/372670, 2012, (1-13), (2012). [Crossref<sup>221</sup>](#)
- Arya Nielsen, Gua sha, *Fascia: The Tensional Network of the Human Body*, 10.1016/B978-0-7020-3425-1.00009-X, (359-365), (2012). [Crossref<sup>222</sup>](#)
- Hugh MacPherson, Richard Hammerschlag, Acupuncture and the Emerging Evidence Base: Contrived Controversy and Rational Debate, *Journal of Acupuncture and Meridian Studies*, 10.1016/j.jams.2012.05.001, 5, 4, (141-147), (2012). [Crossref<sup>223</sup>](#)
- Yejin Ha, Misun Kim, Jiseon Nah, Minah Suh, Youngmi Lee, Measurements of Location-Dependent Nitric Oxide Levels on Skin Surface in relation to Acupuncture Point, *Evidence-Based Complementary and Alternative Medicine*, 10.1155/2012/781460, 2012, (1-7), (2012). [Crossref<sup>224</sup>](#)
- Elisabeth Hsu, "Feeling lighter": Why the patient's treatment evaluation matters to the health scientist, *Integrative Medicine Research*, 10.1016/j.imr.2012.10.003, 1, 1, (5-12), (2012). [Crossref<sup>225</sup>](#)
- Petra I. Bäuml, Michael Simang, Sybille Kramer, Dominik Irnich, Acupuncture Point Localization Varies Among Acupuncturists, *Forschende Komplementärmedizin / Research in Complementary Medicine*, 10.1159/000335825, 19, 1, (31-37), (2012). [Crossref<sup>226</sup>](#)
- Belinda Anderson, Arya Nielsen, Diane McKee, Anne Jeffres, Ben Kligler, Acupuncture and Heart Rate Variability: A Systems Level Approach to Understanding Mechanism, *EXPLORE: The Journal of Science and Healing*, 10.1016/j.explore.2011.12.002, 8, 2, (99-106), (2012). [Crossref<sup>227</sup>](#)
- Xiaoyu Wang, Hong Shi, Hongyan Shang, Yangshuai Su, Juanjuan Xin, Wei He, Xianghong Jing, Bing Zhu, Are Primo Vessels (PVs) on the Surface of Gastrointestine Involved in Regulation of Gastric Motility Induced by Stimulating Acupoints ST36 or CV12?, *Evidence-Based Complementary and Alternative Medicine*, 10.1155/2012/787683, 2012, (1-8), (2012). [Crossref<sup>228</sup>](#)
- Dominik Irnich, Johannes Fleckenstein, Acupuncture as a fascia-oriented therapy, *Fascia: The Tensional Network of the Human Body*, 10.1016/B978-0-7020-3425-1.00010-6, (349-357), (2012). [Crossref<sup>229</sup>](#)
- Byung-Cheon Lee, Zhendong Su, Baekkyoung Sung, Ki Woo Kim, Jin-Myung Cha, Jin-Kyu Lee, Byung-Joon Chang, Kwang-Sup Soh, Network of the Primo Vascular System in the Rat Hypodermis, *The Primo Vascular System*, 10.1007/978-1-4614-0601-3, (139-146), (2012). [Crossref<sup>230</sup>](#)
- Kyung-Hee Bae, Zhendong Su, Kwang-Sup Soh, Hee Min Kwon, Histological Comparison of Primo Nodes in Abdominal Membrane and Lymph Nodes of Rat, *The Primo Vascular System*, 10.1007/978-1-4614-0601-3, (127-131), (2012). [Crossref<sup>231</sup>](#)
- Yu Bai, Lin Yuan, Yong Huang, Chun-lei Wang, Jun Wang, Jin-peng Wu, Jing-xing Dai, Dong-fei Li, Chun Yang, Mei-chun Yu, Hui-ying Yang, Hui Tao, Ou Sha, David Tai Wai Yew, From the Anatomical Discovery of Meridians and Collaterals to Fascialogy Theory, *The Primo Vascular System*, 10.1007/978-1-4614-0601-3, (305-318), (2012). [Crossref<sup>232</sup>](#)
- Wei Yao, Yabei Li, Guanghong Ding, Interstitial Fluid Flow: The Mechanical Environment of Cells and Foundation of Meridians, *Evidence-Based Complementary and Alternative Medicine*, 10.1155/2012/853516, 2012, (1-9), (2012). [Crossref<sup>233</sup>](#)
- Jungdae Kim, Dae-In Kang, Kwang-Sup Soh, Sunghul Kim, Analysis on Postmortem Tissues at Acupuncture Points in the Image Datasets of Visible Human Project, *The Journal of Alternative and Complementary Medicine*, 10.1089/acm.2010.0850, 18, 2, (120-129), (2012). [Crossref<sup>234</sup>](#)
- Marcelo L Silva, Josie RT Silva, Wiliam A Prado, The antinociceptive effect of electroacupuncture at different depths of acupoints and under the needling surface, *Chinese Medicine*, 10.1186/1749-8546-7-3, 7, 1, (2012). [Crossref<sup>235</sup>](#)

199. <https://doi.org/10.1016/j.jad.2012.11.058>200. <https://doi.org/10.1155/2013/739293>201. <https://doi.org/10.3736/jintegrated2013030>202. <https://doi.org/10.1089/acu.2012.0929>203. <https://doi.org/10.1089/acu.2012.0875>204. <https://doi.org/10.1155/2013/740508>205. <https://doi.org/10.1016/B978-0-323-07586-2.00048-0>206. <https://doi.org/10.1089/acu.2012.0902>207. <https://doi.org/10.1016/B978-0-12-411545-3.00001-8>208. <https://doi.org/10.1016/B978-0-7020-3108-3.00005-4>209. <https://doi.org/10.1016/B978-0-7020-3108-3.00003-0>210. <https://doi.org/10.1089/acm.2012.0097>211. <https://doi.org/10.1016/j.douleur.2013.01.007>212. <https://doi.org/10.1007/978-1-4614-3357-6>213. <https://onlinelibrary.wiley.com/doi/10.1111/ens.12108>214. <https://doi.org/10.1179/016164109X12537002793689>215. <https://doi.org/10.1179/016164107X172220>216. <https://doi.org/10.1038/nrclinonc.2013.125>217. <https://doi.org/10.1016/B978-0-7020-3425-1.00049-0>218. <https://doi.org/10.1037/a0028602>219. [https://doi.org/10.1007/978-94-007-4833-0\\_14](https://doi.org/10.1007/978-94-007-4833-0_14)220. <https://doi.org/10.1089/acu.2011.0861>221. <https://doi.org/10.1155/2012/372670>222. <https://doi.org/10.1016/B978-0-7020-3425-1.00009-X>223. <https://doi.org/10.1016/j.jams.2012.05.001>224. <https://doi.org/10.1155/2012/781460>225. <https://doi.org/10.1016/j.imr.2012.10.003>226. <https://doi.org/10.1159/000335825>227. <https://doi.org/10.1016/j.explore.2011.12.002>228. <https://doi.org/10.1155/2012/787683>229. <https://doi.org/10.1016/B978-0-7020-3425-1.00010-6>230. <https://doi.org/10.1007/978-1-4614-0601-3>231. <https://doi.org/10.1007/978-1-4614-0601-3>232. <https://doi.org/10.1007/978-1-4614-0601-3>233. <https://doi.org/10.1155/2012/853516>234. <https://doi.org/10.1089/acm.2010.0850>235. <https://doi.org/10.1186/1749-8546-7-3>

- Hong-Qin Yang, Shu-Sen Xie, Song-Hao Liu, Hui Li, Zhou-Yi Guo, Differences in Optical Transport Properties between Human Meridian and Non-meridian, *The American Journal of Chinese Medicine*, 10.1142/S0192415X07005235, 35, 05, (743-752), (2012). [Crossref<sup>236</sup>](#)
- Kaung-Ti Yung, A Birdcage Model for the Chinese Meridian System Part VI: Meridians as the Primary Regulatory System, *The American Journal of Chinese Medicine*, 10.1142/S0192415X05003302, 33, 05, (759-766), (2012). [Crossref<sup>237</sup>](#)
- Letter to the Editor, *The American Journal of Chinese Medicine*, 10.1142/S0192415X05003119, 33, 03, (513-515), (2012). [Crossref<sup>238</sup>](#)
- A. Paraskeva, A. Melemini, G. Petropoulos, I. Siafaka, A. Fassoulaki, Needling of the Extra 1 Point Decreases BIS Values and Preoperative Anxiety, *The American Journal of Chinese Medicine*, 10.1142/S0192415X04002363, 32, 05, (789-794), (2012). [Crossref<sup>239</sup>](#)
- Francisco Abad-Alegria, Carlos Pomarón, About the Neurobiological Foundations of the De-Qi — Stimulus-Response Relation, *The American Journal of Chinese Medicine*, 10.1142/S0192415X04002375, 32, 05, (807-814), (2012). [Crossref<sup>240</sup>](#)
- Jesse Li-Ling, Human Phenome Based on Traditional Chinese Medicine — A Solution to Congenital Syndromology, *The American Journal of Chinese Medicine*, 10.1142/S0192415X03001594, 31, 06, (991-1000), (2012). [Crossref<sup>241</sup>](#)
- Lisa S. Lancaster, Robert M. Bowker, Acupuncture Points of the Horse's Distal Thoracic Limb: A Neuroanatomic Approach to the Transposition of Traditional Points, *Animals*, 10.3390/ani2030455, 2, 4, (455-471), (2012). [Crossref<sup>242</sup>](#)
- Houju Fu, Yuanqiao He, Ying Gao, Yicun Man, Wukun Liu, Hua Hao, Acupuncture on the Endometrial Morphology, the Serum Estradiol and Progesterone Levels, and the Expression of Endometrial Leukaemia-inhibitor Factor and Osteopontin in Rats, *Evidence-Based Complementary and Alternative Medicine*, 10.1155/2011/606514, 2011, (1-9), (2011). [Crossref<sup>243</sup>](#)
- Steven Finando, Donna Finando, Fascia and the mechanism of acupuncture, *Journal of Bodywork and Movement Therapies*, 10.1016/j.jbmt.2010.03.001, 15, 2, (168-176), (2011). [Crossref<sup>244</sup>](#)
- Hyung-Joo Moon, Yong-Keun Lee, The Relationship Between Dental Occlusion/Temporomandibular Joint Status and General Body Health: Part 2. Fascial Connection of TMJ with Other Parts of the Body, *The Journal of Alternative and Complementary Medicine*, 10.1089/acm.2010.0740, 17, 12, (1119-1124), (2011). [Crossref<sup>245</sup>](#)
- Yu Bai, Jun Wang, Jin-peng Wu, Jing-xing Dai, Ou Sha, David Tai Wai Yew, Lin Yuan, Qi-ni Liang, Review of Evidence Suggesting That the Fascia Network Could Be the Anatomical Basis for Acupoints and Meridians in the Human Body, *Evidence-Based Complementary and Alternative Medicine*, 10.1155/2011/260510, 2011, (1-6), (2011). [Crossref<sup>246</sup>](#)
- James L. Oschman, Foreword and Special Contribution: The Living Matrix, *Energy Medicine East and West*, 10.1016/B978-0-7020-3571-5.00032-9, (x-xix), (2011). [Crossref<sup>247</sup>](#)
- Therapie myofaszialer Schmerzsyndrome, Myofasziale Schmerzen und Triggerpunkte, 10.1016/B978-3-437-23095-0.10004-5, (51-91), (2011). [Crossref<sup>248</sup>](#)
- Xiangeng Zhang, Hui Zhang, Xiaoli Liang, Qin Liu, Miqu Wang, Gynecology and Gynecological Nursing Theories and Practices in Traditional Chinese Medicine: Review on the Ancient Literatures, *Chinese Medicine*, 10.4236/cm.2011.23014, 02, 03, (77-83), (2011). [Crossref<sup>249</sup>](#)
- Pei-Chi Chou, Heng-Yi Chu, Jaung-Geng Lin, Safe Needling Depth of Acupuncture Points, *The Journal of Alternative and Complementary Medicine*, 10.1089/acm.2010.0192, 17, 3, (199-206), (2011). [Crossref<sup>250</sup>](#)
- References and further reading, *Energy Medicine East and West*, 10.1016/B978-0-7020-3571-5.00037-8, (339-382), (2011). [Crossref<sup>251</sup>](#)
- Dongming Zhang, Xiaohui Yan, Xinyi Zhang, Chenglin Liu, Ruishan Dang, Tiqiao Xiao, Peiping Zhu, Synchrotron radiation phase-contrast X-ray CT imaging of acupuncture points, *Analytical and Bioanalytical Chemistry*, 10.1007/s00216-011-4913-7, 401, 3, (803-808), (2011). [Crossref<sup>252</sup>](#)
- Stéphane J - P. Egot - Lemaire, Marvin C. Ziskin, Dielectric properties of human skin at an acupuncture point in the 50–75 GHz frequency range: A pilot study, *Bioelectromagnetics*, 10.1002/bem.20650, 32, 5, (360-366), (2011). [Wiley Online Library<sup>253</sup>](#)
- Chi Eung Danforn Lim, Felix Wu Shun Wong, Warren Smith, Factors influencing the bio-impedance data in tissue segments along the three arm meridians: a pilot study, *TANG [HUMANITAS MEDICINE]*, 10.5667/tang.2011.0004, 1, 1, (7.1-7.9), (2011). [Crossref<sup>254</sup>](#)
- Luigi Baratto, Laura Calzà, Roberto Capra, Michele Gallamini, Luciana Giardino, Alessandro Giuliani, Luca Lorenzini, Silvano Traverso, Ultra-low-level laser therapy, *Lasers in Medical Science*, 10.1007/s10103-010-0837-2, 26, 1, (103-112), (2010). [Crossref<sup>255</sup>](#)
236. <https://doi.org/10.1142/S0192415X07005235>
237. <https://doi.org/10.1142/S0192415X05003302>
238. <https://doi.org/10.1142/S0192415X05003119>
239. <https://doi.org/10.1142/S0192415X04002363>
240. <https://doi.org/10.1142/S0192415X04002375>
241. <https://doi.org/10.1142/S0192415X03001594>
242. <https://doi.org/10.3390/ani2030455>
243. <https://doi.org/10.1155/2011/606514>
244. <https://doi.org/10.1016/j.jbmt.2010.03.001>
245. <https://doi.org/10.1089/acm.2010.0740>
246. <https://doi.org/10.1155/2011/260510>
247. <https://doi.org/10.1016/B978-0-7020-3571-5.00032-9>
248. <https://doi.org/10.1016/B978-3-437-23095-0.10004-5>
249. <https://doi.org/10.4236/cm.2011.23014>
250. <https://doi.org/10.1089/acm.2010.0192>
251. <https://doi.org/10.1016/B978-0-7020-3571-5.00037-8>
252. <https://doi.org/10.1007/s00216-011-4913-7>
253. <https://onlinelibrary.wiley.com/doi/10.1002/bem.20650>
254. <https://doi.org/10.5667/tang.2011.0004>
255. <https://doi.org/10.1007/s10103-010-0837-2>
- Yavuz Beyazit, Murat Kekilli, Fatma Beyazit, Sticking the pieces together: A unifying hypothesis for the acupuncture meridian pathways and extracellular signalling, *Medical Hypotheses*, 10.1016/j.mehy.2010.01.022, 74, 6, (1088), (2010). [Crossref<sup>256</sup>](#)
- Hugh Gemmill, Peter Miller, Relative effectiveness and adverse effects of cervical manipulation, mobilisation and the activator instrument in patients with sub-acute non-specific neck pain: results from a stopped randomised trial, *Chiropractic & Osteopathy*, 10.1186/1746-1340-18-20, 18, 1, (2010). [Crossref<sup>257</sup>](#)
- Peter T. Dorscher, Clinical Equivalence of Laser Needle to Metal Acupuncture Needle in Treating Musculoskeletal Pain: A Pilot Study, *Medical Acupuncture*, 10.1089/acu.2009.0724, 22, 1, (11-17), (2010). [Crossref<sup>258</sup>](#)
- Marco Antonio Helio da Silva, A Neurosegmental Perspective of the Classical Back Shu Points, *Medical Acupuncture*, 10.1089/acu.2010.0762, 22, 4, (257-264), (2010). [Crossref<sup>259</sup>](#)
- Laurent Misery, Laurence Potin-Richard, Itch and Acupuncture, *Pruritus*, 10.1007/978-1-84882-322-8, (335-338), (2010). [Crossref<sup>260</sup>](#)
- Guang Ying Huang, Cui Hong Zheng, Yun Xia Wu, Wei Wang, Involvement of connexin 43 in the acupuncture effect of improving rat blastocyst implantation, *Fertility and Sterility*, 10.1016/j.fertnstert.2009.09.036, 93, 5, (1715-1717), (2010). [Crossref<sup>261</sup>](#)
- Felix Wu Shun Wong, Chi Eung Danforn Lim, Warren Smith, A New Bioimpedance Research Device (BIRD) for Measuring the Electrical Impedance of Acupuncture Meridians, *The Journal of Alternative and Complementary Medicine*, 10.1089/acm.2009.0218, 16, 3, (257-264), (2010). [Crossref<sup>262</sup>](#)
- Jennifer A. M. Stone, Peter A. S. Johnstone, Mechanisms of Action for Acupuncture in the Oncology Setting, *Current Treatment Options in Oncology*, 10.1007/s11864-010-0128-y, 11, 3-4, (118-127), (2010). [Crossref<sup>263</sup>](#)
- Yu Bai, Lin Yuan, Kwang-Sup Soh, Byung-Cheon Lee, Yong Huang, Chun-lei Wang, Jun Wang, Jin-peng Wu, Jing-xing Dai, Janos Palhalmi, Ou Sha, David Tai Wai Yew, Possible Applications for Fascial Anatomy and Fasciology in Traditional Chinese Medicine, *Journal of Acupuncture and Meridian Studies*, 10.1016/S2005-2901(10)60023-4, 3, 2, (125-132), (2010). [Crossref<sup>264</sup>](#)
- Peter T. Dorscher, The Languages of Healing: Linked by a Common Thread, *The Journal of Alternative and Complementary Medicine*, 10.1089/acm.2009.0527, 16, 8, (907-913), (2010). [Crossref<sup>265</sup>](#)
- Fei Zhou, Dengkai Huang YingXia, Neuroanatomic Basis of Acupuncture Points, *Acupuncture Therapy for Neurological Diseases*, 10.1007/978-3-642-10857-0, (32-80), (2010). [Crossref<sup>266</sup>](#)
- Roeland van Wijk, Jan van der Greef, Eduard van Wijk, Human Ultraweak Photon Emission and the Yin Yang Concept of Chinese Medicine, *Journal of Acupuncture and Meridian Studies*, 10.1016/S2005-2901(10)60041-6, 3, 4, (221-231), (2010). [Crossref<sup>267</sup>](#)
- Pierre Boutouyrie, Robert Corvisier, Kim-Than Ong, Claire Vulser, Catherine Lassalle, Michel Azizi, Brigitte Laloux, Stéphane Laurent, Acute and chronic effects of acupuncture on radial artery: A randomized double blind study in migraine, *Artery Research*, 10.1016/j.artres.2009.12.003, 4, 1, (7-14), (2010). [Crossref<sup>268</sup>](#)
- Jun J. Mao, Rahul Kapur, Acupuncture in Primary Care, *Primary Care: Clinics in Office Practice*, 10.1016/j.pop.2009.09.010, 37, 1, (105-117), (2010). [Crossref<sup>269</sup>](#)
- Andrew C. Ahn, Min Park, Jessica R. Shaw, Claire A. McManus, Ted J. Kaptchuk, Helene M. Langevin, Electrical Impedance of Acupuncture Meridians: The Relevance of Subcutaneous Collagenous Bands, *PLoS ONE*, 10.1371/journal.pone.0011907, 5, 7, (e11907), (2010). [Crossref<sup>270</sup>](#)
- Kang Cheng, Chang Hua Zou, Information Models of Acupuncture Analgesia and Meridian Channels, *Information*, 10.3390/info1020153, 1, 2, (153-168), (2010). [Crossref<sup>271</sup>](#)
- Peter T. Dorscher, Myofascial Meridians as Anatomical Evidence of Acupuncture Channels, *Medical Acupuncture*, 10.1089/acu.2009.0631, 21, 2, (91-97), (2009). [Crossref<sup>272</sup>](#)
- Kwang-Sup Soh, Bonghan Circulatory System as an Extension of Acupuncture Meridians, *Journal of Acupuncture and Meridian Studies*, 10.1016/S2005-2901(09)60041-8, 2, 2, (93-106), (2009). [Crossref<sup>273</sup>](#)
- Peter T. Dorscher, Myofascial Referred-Pain Data Provide Physiologic Evidence of Acupuncture Meridians, *The Journal of Pain*, 10.1016/j.jpain.2008.12.010, 10, 7, (723-731), (2009). [Crossref<sup>274</sup>](#)
- Charles Shang, Prospective Tests on Biological Models of Acupuncture, *Evidence-Based Complementary and Alternative Medicine*, 10.1093/ecam/nem122, 6, 1, (31-39), (2009). [Crossref<sup>275</sup>](#)
256. <https://doi.org/10.1016/j.mehy.2010.01.022>
257. <https://doi.org/10.1186/1746-1340-18-20>
258. <https://doi.org/10.1089/acu.2009.0724>
259. <https://doi.org/10.1089/acu.2010.0762>
260. <https://doi.org/10.1007/978-1-84882-322-8>
261. <https://doi.org/10.1016/j.fertnstert.2009.09.036>
262. <https://doi.org/10.1089/acm.2009.0218>
263. <https://doi.org/10.1007/s11864-010-0128-y>
264. [https://doi.org/10.1016/S2005-2901\(10\)60023-4](https://doi.org/10.1016/S2005-2901(10)60023-4)
265. <https://doi.org/10.1089/acm.2009.0527>
266. <https://doi.org/10.1007/978-3-642-10857-0>
267. [https://doi.org/10.1016/S2005-2901\(10\)60041-6](https://doi.org/10.1016/S2005-2901(10)60041-6)
268. <https://doi.org/10.1016/j.artres.2009.12.003>
269. <https://doi.org/10.1016/j.pop.2009.09.010>
270. <https://doi.org/10.1371/journal.pone.0011907>
271. <https://doi.org/10.3390/info1020153>
272. <https://doi.org/10.1089/acu.2009.0631>
273. [https://doi.org/10.1016/S2005-2901\(09\)60041-8](https://doi.org/10.1016/S2005-2901(09)60041-8)
274. <https://doi.org/10.1016/j.jpain.2008.12.010>
275. <https://doi.org/10.1093/ecam/nem122>

- Antonio Stecco, Veronica Macchi, Carla Stecco, Andrea Porzionato, Julie Ann Day, Vincent Delmas, Raffaele De Caro, Anatomical study of myofascial continuity in the anterior region of the upper limb, *Journal of Bodywork and Movement Therapies*, 10.1016/j.jbmt.2007.04.009, 13, 1, (53-62), (2009). [Crossref<sup>276</sup>](#)
- Sang-Hyun Park, Jungdae Kim, Tae-Hoi Koo, Magneto-Acupuncture Stimuli Effects on Ultraweak Photon Emission from Hands of Healthy Persons, *Journal of Acupuncture and Meridian Studies*, 10.1016/S2005-2901(09)60014-5, 2, 1, (40-48), (2009). [Crossref<sup>277</sup>](#)
- James L. Oschman, Charge transfer in the living matrix, *Journal of Bodywork and Movement Therapies*, 10.1016/j.jbmt.2008.06.005, 13, 3, (215-228), (2009). [Crossref<sup>278</sup>](#)
- Hsiao-Neng Chen, Jaung-Geng Lin, Li-Chih Ying, Chen-Chai Huang, Chuan-Hsiung Lin, The Therapeutic Depth of Abdominal Acupuncture Points Approaches the Safe Depth in Overweight and in Older Children, *The Journal of Alternative and Complementary Medicine*, 10.1089/acm.2008.0582, 15, 9, (1033-1037), (2009). [Crossref<sup>279</sup>](#)
- Sallie Stoltz Denner, The Science of Energy Therapies and Contemplative Practice, *Holistic Nursing Practice*, 10.1097/HNP.0b013e3181bf3784, 23, 6, (315-334), (2009). [Crossref<sup>280</sup>](#)
- N. Ospina-Díaz, Introducción a la acupuntura. Fundamentos e interés para el médico de Atención Primaria, *SEMERGEN - Medicina de Familia*, 10.1016/S1138-3593(09)72675-9, 35, 8, (380-384), (2009). [Crossref<sup>281</sup>](#)
- Suzanne McDonough, Jongbae Park, Jing Yuan, Purepong Nithima, Daniel P. Kerr, Letters, *Spine*, 10.1097/BRS.0b013e31819d071c, 34, 7, (753), (2009). [Crossref<sup>282</sup>](#)
- Charles Shang, Has Basic Acupuncture Research Met the Gold Standard of Science?, *Medical Acupuncture*, 10.1089/acu.2009.715, 21, 3, (191-200), (2009). [Crossref<sup>283</sup>](#)
- Xiaohui Yan, Xinyi Zhang, Chenglin Liu, Ruishan Dang, Yuying Huang, Wei He, Guanghong Ding, Do acupuncture points exist?, *Physics in Medicine and Biology*, 10.1088/0031-9155/54/9/N01, 54, 9, (N143-N150), (2009). [Crossref<sup>284</sup>](#)
- Xiaojia Yu, Guanghong Ding, Hong Huang, Jun Lin, Wei Yao, Rui Zhan, Role of Collagen Fibers in Acupuncture Analgesia Therapy on Rats, *Connective Tissue Research*, 10.1080/03008200802471856, 50, 2, (110-120), (2009). [Crossref<sup>285</sup>](#)
- James J. Mao, Deborah W. Bruner, Carrie Stricker, John T. Farrar, Sharon X. Xie, Marjorie A. Bowman, Donna Pucci Xiaoyan Han, Angela DeMichele, Feasibility Trial of Electroacupuncture for Aromatase Inhibitor-Related Arthralgia in Breast Cancer Survivors, *Integrative Cancer Therapies*, 10.1177/1534735409332903, 8, 2, (123-129), (2009). [Crossref<sup>286</sup>](#)
- HongQin Yang, ShuSen Xie, Hui Li, YuHua Wang, On optics of human meridians, *Science in China Series G: Physics, Mechanics and Astronomy*, 10.1007/s11433-009-0080-7, 52, 4, (502-507), (2009). [Crossref<sup>287</sup>](#)
- Dietrich H.W. Groenemeyer, Lei Zhang, Sven Schirp, Jürgen Baier, Localization of Acupuncture Points BL25 and BL26 Using Computed Tomography, *The Journal of Alternative and Complementary Medicine*, 10.1089/acm.2007.7118-O, 15, 12, (1285-1291), (2009). [Crossref<sup>288</sup>](#)
- Mike Benjamin, The fascia of the limbs and back – a review, *Journal of Anatomy*, 10.1111/j.1469-7580.2008.01011.x, 214, 1, (1-18), (2008). [Wiley Online Library<sup>289</sup>](#)
- Jesse Li-Ling, Yiyang Wu, Congenital Syndromes Involving the Lungs: Pathogenetic Models Based on Chinese Medicine Theories, *The Journal of Alternative and Complementary Medicine*, 10.1089/acm.2008.0115, 14, 8, (1017-1025), (2008). [Crossref<sup>290</sup>](#)
- Byung-Cheon Lee, Tae-Jeong Nam, Hyeon-Min Johng, Eun-Sung Park, Ku-Youn Baik, Baek-Kyoung Sung, Kyung-Soon Soh, Yeo-Sung Yoon, Kwang-Sup Soh, Argrophilic Fibers of Intravascular Threadlike Structures in Rat, *Journal of Korean Institute of Herbal Acupuncture*, 10.3831/KPI.2008.11.3.005, 11, 3, (5-16), (2008). [Crossref<sup>291</sup>](#)
- Di Zhang, Guanghong Ding, Xueyong Shen, Wei Yao, Zhiying Zhang, Yuqing Zhang, Jun Lin, Quanbao Gu, Role of Mast Cells in Acupuncture Effect: A Pilot Study, *EXPLORE*, 10.1016/j.explore.2008.02.002, 4, 3, (170-177), (2008). [Crossref<sup>292</sup>](#)
- Stephen M. Sagar, Acupuncture as an Evidence-Based Option for Symptom Control in Cancer Patients, *Current Treatment Options in Oncology*, 10.1007/s11864-008-0063-3, 9, 2-3, (117-126), (2008). [Crossref<sup>293</sup>](#)
- M. Miguel-Pérez, J.C. Ortiz-Sagrístá, A. Pérez-Bellmunt, R. Ramos-Izquierdo, A. García-Fernández, Descripción anatómica de puntos de acupuntura en la extremidad inferior, *Revista Internacional de Acupuntura*, 10.1016/S1887-8369(08)70031-0, 2, 2, (126-131), (2008). [Crossref<sup>294</sup>](#)
- Marcus Bäcker, Paul Grossman, Jens Schneider, Andreas Michalsen, Nicola Knoblauch, Linda Tan, Corinna Niggemeyer, Klaus Linde, Dieter Melchart, Gustav J. Dobos, Acupuncture in Migraine, *The Clinical Journal of Pain*, 10.1097/AJP.0b013e318159f95e, 24, 2, (106-115), (2008). [Crossref<sup>295</sup>](#)
- Peter T. Dorsher, Optimal Localization of Acupuncture Points: Implications for Acupuncture Practice, Education, and Research, *Medical Acupuncture*, 10.1089/acu.2008.0621, 20, 3, (147-150), (2008). [Crossref<sup>296</sup>](#)
- Byung-Cheon Lee, Vyacheslav Ogay, Ki Woo Kim, Yuwon Lee, Jin-Kyu Lee, Kwang-Sup Soh, Acupuncture Muscle Channel in the Subcutaneous Layer of Rat Skin, *Journal of Acupuncture and Meridian Studies*, 10.1016/S2005-2901(09)60002-9, 1, 1, (13-19), (2008). [Crossref<sup>297</sup>](#)
- Agatha P. Colbert, Jinkook Yun, Adrian Larsen, Tracy Edinger, William L. Gregory, Tran Thong, Skin Impedance Measurements for Acupuncture Research: Development of a Continuous Recording System, Evidence-Based Complementary and Alternative Medicine, 10.1093/ecam/nem060, 5, 4, (443-450), (2008). [Crossref<sup>298</sup>](#)
- Hugh MacPherson, Richard Nahin, Charlotte Paterson, Claire M. Cassidy, George T. Lewith, Richard Hammerschlag, Developments in Acupuncture Research: Big-Picture Perspectives from the Leading Edge, *The Journal of Alternative and Complementary Medicine*, 10.1089/acm.2008.SAR-5, 14, 7, (883-887), (2008). [Crossref<sup>299</sup>](#)
- Vyacheslav Ogay, Min Su Kim, Hyo Jun Seok, Cheon Joo Choi, Kwang-Sup Soh, Catecholamine-storing Cells at Acupuncture Points of Rabbits, *Journal of Acupuncture and Meridian Studies*, 10.1016/S2005-2901(09)60027-3, 1, 2, (83-90), (2008). [Crossref<sup>300</sup>](#)
- J. Giebel, Mecanotransducción y transducción de señales a través del tejido conjuntivo, *Revista Internacional de Acupuntura*, 10.1016/S1887-8369(08)70003-6, 2, 1, (9-14), (2008). [Crossref<sup>301</sup>](#)
- Sheng-Hsiung Hsiao, Li-Jen Tsai, A Neurovascular Transmission Model for Acupuncture-induced Nitric Oxide, *Journal of Acupuncture and Meridian Studies*, 10.1016/S2005-2901(09)60006-6, 1, 1, (42-50), (2008). [Crossref<sup>302</sup>](#)
- Vitaly Napadow, Andrew Ahn, John Longhurst, Lixing Lao, Elisabet Stener-Victorin, Richard Harris, Helene M. Langevin, The Status and Future of Acupuncture Mechanism Research, *The Journal of Alternative and Complementary Medicine*, 10.1089/acm.2008.SAR-3, 14, 7, (861-869), (2008). [Crossref<sup>303</sup>](#)
- Hong-Yi Li, Jie-Fu Yang, Min Chen, Liang Xu, Wen-Chao Wang, Fang Wang, Jia-Bin Tong, Chuan-Yu Wang, Visualized Regional Hypodermic Migration Channels of Interstitial Fluid in Human Beings: Are These Ancient Meridians?, *The Journal of Alternative and Complementary Medicine*, 10.1089/acm.2007.0606, 14, 6, (621-628), (2008). [Crossref<sup>304</sup>](#)
- Rosa N. Schnyer, Stephen Birch, Hugh MacPherson, Acupuncture practice as the foundation for clinical evaluation, *Acupuncture Research*, 10.1016/B978-044310029-1.50013-9, (153-179), (2008). [Crossref<sup>305</sup>](#)
- Richard Hammerschlag, Hélène M. Langevin, Lixing Lao, George Lewith, Physiological dynamics of acupuncture: correlations and mechanisms, *Acupuncture Research*, 10.1016/B978-044310029-1.50014-0, (181-197), (2008). [Crossref<sup>306</sup>](#)
- Paul Orrock, Eric Blake, Leon Chaitow, Roger Newman Turner, Naturopathic Physical Medicine, *Naturopathic Physical Medicine*, 10.1016/B978-044310390-2.50009-2, (75-100), (2008). [Crossref<sup>307</sup>](#)
- Andrew C. Ahn, Agatha P. Colbert, Belinda J. Anderson, Ørjan G. Martinsen, Richard Hammerschlag, Steve Cina, Peter M. Wayne, Helene M. Langevin, Electrical properties of acupuncture points and meridians: A systematic review, *Bioelectromagnetics*, 10.1002/bem.20403, 29, 4, (245-256), (2008). [Wiley Online Library<sup>308</sup>](#)
- Margaret Julias, Lowell T. Edgar, Helen M. Buettner, David I. Shreiber, An in vitro assay of collagen fiber alignment by acupuncture needle rotation, *BioMedical Engineering Online*, 10.1186/1475-925X-7-19, 7, 1, (2008). [Crossref<sup>309</sup>](#)
- Kell N. Julliard, Claudia Citkovitz, Douglas McDaniel, Towards a Model for Planning Clinical Research in Oriental Medicine, *EXPLORE*, 10.1016/j.explore.2006.12.002, 3, 2, (118-128), (2007). [Crossref<sup>310</sup>](#)
- Arya Nielsen, Nicola T.M. Knoblauch, Gustav J. Dobos, Andreas Michalsen, Ted J. Kaptchuk, The Effect of Gua Sha Treatment on the Microcirculation of Surface Tissue: A Pilot Study in Healthy Subjects, *EXPLORE*, 10.1016/j.explore.2007.06.001, 3, 5, (456-466), (2007). [Crossref<sup>311</sup>](#)
- Roy Moncayo, Ansgar Rudisch, Markus Diemling, Christian Kremser, In-vivo visualisation of the anatomical structures related to the acupuncture points Dai mai and Shen mai by MRI: A single-case pilot study, *BMC Medical Imaging*, 10.1186/1471-2342-7-4, 7, 1, (2007). [Crossref<sup>312</sup>](#)
- J. Giebel, Mechanotransduktion und Signaltransduktion über das Bindegewebe – Mechanismen zur Erklärung des therapeutischen Effekts der Akupunktur?, *Deutsche Zeitschrift für Akupunktur*, 10.1078/0415-6412-00281, 50, 3, (6-10), (2007). [Crossref<sup>313</sup>](#)
276. <https://doi.org/10.1016/j.jbmt.2007.04.009>
277. [https://doi.org/10.1016/S2005-2901\(09\)60014-5](https://doi.org/10.1016/S2005-2901(09)60014-5)
278. <https://doi.org/10.1016/j.jbmt.2008.06.005>
279. <https://doi.org/10.1089/acm.2008.0582>
280. <https://doi.org/10.1097/HNP.0b013e3181bf3784>
281. [https://doi.org/10.1016/S1138-3593\(09\)72675-9](https://doi.org/10.1016/S1138-3593(09)72675-9)
282. <https://doi.org/10.1097/BRS.0b013e31819d071c>
283. <https://doi.org/10.1089/acu.2009.715>
284. <https://doi.org/10.1088/0031-9155/54/9/N01>
285. <https://doi.org/10.1080/03008200802471856>
286. <https://doi.org/10.1177/1534735409332903>
287. <https://doi.org/10.1007/s11433-009-0080-7>
288. <https://doi.org/10.1089/acm.2007.7118-O>
289. <https://onlinelibrary.wiley.com/doi/10.1111/j.1469-7580.2008.01011.x>
290. <https://doi.org/10.1089/acm.2008.0115>
291. <https://doi.org/10.3831/KPI.2008.11.3.005>
292. <https://doi.org/10.1016/j.explore.2008.02.002>
293. <https://doi.org/10.1007/s11864-008-0063-3>
294. [https://doi.org/10.1016/S1887-8369\(08\)70031-0](https://doi.org/10.1016/S1887-8369(08)70031-0)
295. <https://doi.org/10.1097/AJP.0b013e318159f95e>
296. <https://doi.org/10.1089/acu.2008.0621>
297. [https://doi.org/10.1016/S2005-2901\(09\)60002-9](https://doi.org/10.1016/S2005-2901(09)60002-9)
298. <https://doi.org/10.1093/ecam/nem060>
299. <https://doi.org/10.1089/acm.2008.SAR-5>
300. [https://doi.org/10.1016/S2005-2901\(09\)60027-3](https://doi.org/10.1016/S2005-2901(09)60027-3)
301. [https://doi.org/10.1016/S1887-8369\(08\)70003-6](https://doi.org/10.1016/S1887-8369(08)70003-6)
302. [https://doi.org/10.1016/S2005-2901\(09\)60006-6](https://doi.org/10.1016/S2005-2901(09)60006-6)
303. <https://doi.org/10.1089/acm.2008.SAR-3>
304. <https://doi.org/10.1089/acm.2007.0606>
305. <https://doi.org/10.1016/B978-044310029-1.50013-9>
306. <https://doi.org/10.1016/B978-044310029-1.50014-0>
307. <https://doi.org/10.1016/B978-044310390-2.50009-2>
308. <https://onlinelibrary.wiley.com/doi/10.1002/bem.20403>
309. <https://doi.org/10.1186/1475-925X-7-19>
310. <https://doi.org/10.1016/j.explore.2006.12.002>
311. <https://doi.org/10.1016/j.explore.2007.06.001>
312. <https://doi.org/10.1186/1471-2342-7-4>
313. <https://doi.org/10.1078/0415-6412-00281>

- Roy Moncayo, Ansgar Rudisch, Christian Kremser, Helga Moncayo, 3D-MRI rendering of the anatomical structures related to acupuncture points of the Dai mai, Yin qiao mai and Yang qiao mai meridians within the context of the WOMED concept of lateral tension: implications for musculoskeletal disease, *BMC Musculoskeletal Disorders*, 10.1186/1471-2474-8-33, 8, 1, (2007). [Crossref<sup>314</sup>](#)
- Helene M. Langevin, Nicole A. Bouffard, David L. Churchill, Gary J. Badger, Connective Tissue Fibroblast Response to Acupuncture: Dose-Dependent Effect of Bidirectional Needle Rotation, *The Journal of Alternative and Complementary Medicine*, 10.1089/acm.2007.6351.13, 3, (355-360), (2007). [Crossref<sup>315</sup>](#)
- Yong-Hui Han, Joon-Mo Yang, Min-Su Kim, Kwang-Sup Soh, Detection of the acupuncture points in Skin by differential path-length spectroscopy, *World Congress on Medical Physics and Biomedical Engineering 2006*, 10.1007/978-3-540-36841-0, (3572-3575), (2007). [Crossref<sup>316</sup>](#)
- Min-Su Kim, Vyacheslav Ogay, Yong-Hui Han, Hak-Soo Shin, Byung-Cheon Lee, Kwang-Sup Soh, Alcian Blue Staining Technique for Tracing the Governing Vessel (GV) Meridian in Rat, *World Congress on Medical Physics and Biomedical Engineering 2006*, 10.1007/978-3-540-36841-0, (3576-3579), (2007). [Crossref<sup>317</sup>](#)
- Miguel-Pérez Maribel, Ortiz-Sagrístá Joan Carles, Pérez-Bellmunt Albert, Buxeda Mónica, Cuni Laura, García-Fernández Alicia, Descripción anatómica de puntos de acupuntura en la extremidad superior, *Revista Internacional de Acupuntura*, 10.1016/S1887-8369(07)70217-X, 1, 2, (53-57), (2007). [Crossref<sup>318</sup>](#)
- Yury P. Limansky, Serge A. Gulyar, Ivan Z. Samosyuk, Scientific basis of acupuncture, *Kontakt*, 10.32725/kont.2007.060, 9, 2, (391-402), (2007). [Crossref<sup>319</sup>](#)
- Leon Chaitow, Fascia 2007 Congress, *Journal of Bodywork and Movement Therapies*, 10.1016/j.jbmt.2006.07.004, 10, 4, (249-250), (2006). [Crossref<sup>320</sup>](#)
- Helene M. Langevin, Connective tissue: A body-wide signaling network?, *Medical Hypotheses*, 10.1016/j.mehy.2005.12.032, 66, 6, (1074-1077), (2006). [Crossref<sup>321</sup>](#)
- Albert Y. Leung, Jun Park, Gery Schulteis, Jeng-Ren Duann, Tony Yaksh, The Electrophysiology of De Qi Sensations, *The Journal of Alternative and Complementary Medicine*, 10.1089/acm.2006.12.743, 12, 8, (743-750), (2006). [Crossref<sup>322</sup>](#)
- Acupuncture, Obstetrics & Gynecology, 10.1097/01.AOG.0000239498.38595.41, 108, 4, (1024-1026), (2006). [Crossref<sup>323</sup>](#)
- Jeanne L. Shea, Applying Evidence-Based Medicine to Traditional Chinese Medicine: Debate and Strategy, *The Journal of Alternative and Complementary Medicine*, 10.1089/acm.2006.12.255, 12, 3, (255-263), (2006). [Crossref<sup>324</sup>](#)
- Grigory V. Chernyak, Daniel I. Sessler, Perioperative Acupuncture and Related Techniques, *Anesthesiology*, 10.1097/00000542-200505000-00024, 102, 5, (1031-1049), (2005). [Crossref<sup>325</sup>](#)
- Grigory Chernyak, Papiya Sengupta, Rainer Lenhardt, Edwin Liem, Anthony G. Doufas, Daniel I. Sessler, Ozan Ak?a, The Timing of Acupuncture Stimulation Does Not Influence Anesthetic Requirement, *Anesthesia & Analgesia*, 10.1213/01.ANE.0000142114.72117.E0, 100, 2, (387-392), (2005). [Crossref<sup>326</sup>](#)
- Gabriela E. Garcia, Sheng-Xing Ma, Lili Feng, Acupuncture and Kidney Disease, *Advances in Chronic Kidney Disease*, 10.1016/j.ackd.2005.04.002, 12, 3, (282-291), (2005). [Crossref<sup>327</sup>](#)
- Andrew C Ahn, Junru Wu, Gary J Badger, Richard Hammerschlag, Helene M Langevin, Electrical impedance along connective tissue planes associated with acupuncture meridians, *BMC Complementary and Alternative Medicine*, 10.1186/1472-6882-5-10, 5, 1, (2005). [Crossref<sup>328</sup>](#)
- E.E. Konofagou, H.M. Langevin, Using ultrasound to understand acupuncture, *IEEE Engineering in Medicine and Biology Magazine*, 10.1109/EMEMB.2005.1411347, 24, 2, (41-46), (2005). [Crossref<sup>329</sup>](#)
- R. Schleich, W. Klingler, F. Lehmann-Horn, Active fascial contractility: Fascia may be able to contract in a smooth muscle-like manner and thereby influence musculoskeletal dynamics, *Medical Hypotheses*, 10.1016/j.mehy.2005.03.005, 65, 2, (273-277), (2005). [Crossref<sup>330</sup>](#)
- Paulo H. Hashimoto, The perineurial vessel: A possible candidate for the structural basis of the meridian (Jing - Luo) in Chinese medicine\*, *Anatomical Science International*, 10.1111/j.1447-073X.2005.00118.x, 80, 4, (177-180), (2005). [Wiley Online Library<sup>331</sup>](#)
- Dina Raitl, Intercellular communication, NO and the biology of Chinese medicine, *Cell Communication and Signaling*, 10.1186/1478-811X-3-8, 3, 1, (2005). [Crossref<sup>332</sup>](#)
- Ai-Hui Li, Jun-Ming Zhang, Yi-Kuan Xie, Human acupuncture points mapped in rats are associated with excitable muscle/skin-nerve complexes with enriched nerve endings, *Brain Research*, 10.1016/j.brainres.2004.04.009, 1012, 1-2, (154-159), (2004). [Crossref<sup>333</sup>](#)
314. <https://doi.org/10.1186/1471-2474-8-33>
315. <https://doi.org/10.1089/acm.2007.6351>
316. <https://doi.org/10.1007/978-3-540-36841-0>
317. <https://doi.org/10.1007/978-3-540-36841-0>
318. [https://doi.org/10.1016/S1887-8369\(07\)70217-X](https://doi.org/10.1016/S1887-8369(07)70217-X)
319. <https://doi.org/10.32725/kont.2007.060>
320. <https://doi.org/10.1016/j.jbmt.2006.07.004>
321. <https://doi.org/10.1016/j.mehy.2005.12.032>
322. <https://doi.org/10.1089/acm.2006.12.743>
323. <https://doi.org/10.1097/01.AOG.0000239498.38595.41>
324. <https://doi.org/10.1089/acm.2006.12.255>
325. <https://doi.org/10.1097/00000542-200505000-00024>
326. <https://doi.org/10.1213/01.ANE.0000142114.72117.E0>
327. <https://doi.org/10.1016/j.ackd.2005.04.002>
328. <https://doi.org/10.1186/1472-6882-5-10>
329. <https://doi.org/10.1109/EMEMB.2005.1411347>
330. <https://doi.org/10.1016/j.mehy.2005.03.005>
331. <https://onlinelibrary.wiley.com/doi/10.1111/j.1447-073X.2005.00118.x>
332. <https://doi.org/10.1186/1478-811X-3-8>
333. <https://doi.org/10.1016/j.brainres.2004.04.009>
- Kaung-Ti Yung, A Birdcage Model for the Chinese Meridian System Part II: The Meridian System as a Birdcage Resonator, *The American Journal of Chinese Medicine*, 10.1142/S0192415X04002582, 32, 06, (985-997), (2004). [Crossref<sup>334</sup>](#)
- J. P. Jones, Y. K. Bae, L. Wilson, C. S. So, D. D. Kidney, Ultrasonic Imaging and Characterization of Acupuncture Points in Classical Oriental Medicine, *Acoustical Imaging*, 10.1007/978-1-4020-2402-3\_66, (527-533), (2004). [Crossref<sup>335</sup>](#)
- Helene M. Langevin, Elisa E. Konofagou, Gary J. Badger, David L. Churchill, James R. Fox, Jonathan Ophir, Brian S. Garra, Tissue displacements during acupuncture using ultrasound elastography techniques, *Ultrasound in Medicine & Biology*, 10.1016/j.ultrasmedbio.2004.07.010, 30, 9, (1173-1183), (2004). [Crossref<sup>336</sup>](#)
- M. Bäcker, I.K. Gareus, N.T.M. Knoblauch, A. Michalsen, G.J. Dobos, Akupunktur in der Schmerztherapie – Hypothese zu adaptiven Prozessen, *Complementary Medicine Research*, 10.1159/000082815, 11, 6, (335-345), (2004). [Crossref<sup>337</sup>](#)
- Opher Caspi, Cari Stellhorn, Melinda Connor, Sham in CAM, *Evidence-Based Integrative Medicine*, 10.2165/01197065-200401040-00002, 1, 4, (233-240), (2004). [Crossref<sup>338</sup>](#)
- Bruce D. Curtis, J.J. Hurtak, Consciousness and Quantum Information Processing: Uncovering the Foundation for a Medicine of Light, *The Journal of Alternative and Complementary Medicine*, 10.1089/107555304322848931, 10, 1, (27-39), (2004). [Crossref<sup>339</sup>](#)
- E.E. Konofagou, G.J. Badger, B.S. Garra, H.M. Langevin, IEEE Symposium on Ultrasonics, 2003, 10.1109/ULTSYM.2003.1293138, (1288-1291), (2003). [Crossref<sup>340</sup>](#)
- Leon Chaitow, Judith DeLany, Neuromuscular Techniques in Orthopedics, *Techniques in Orthopaedics*, 10.1097/00013611-200303000-00013, 18, 1, (74-86), (2003). [Crossref<sup>341</sup>](#)
- LiteratureWatch, *Alternative and Complementary Therapies*, 10.1089/10762800360520811, 9, 1, (49-50), (2003). [Crossref<sup>342</sup>](#)
- Michael McCarthy, Palpatory literacy, Chinese therapeutic bodywork (Tui Na) and the remediation of head, neck and shoulder pain, *Journal of Bodywork and Movement Therapies*, 10.1016/S1360-8592(03)00044-5, 7, 4, (262-277), (2003). [Crossref<sup>343</sup>](#)
- Leon Chaitow, What binds us together?, *Journal of Bodywork and Movement Therapies*, 10.1016/S1360-8592(03)00020-2, 7, 2, (69-70), (2003). [Crossref<sup>344</sup>](#)
- Joshi, Narahari & Mbbs, Msc & Pa'ez, Ximena & Araque, MBBS. (2012). Electroacupuncture Effects on the Disintegration of Beta Amyloid Sheets: Its Application to Alzheimer's Disease. *Medical Acupuncture*. 24. 145. 10.1089/acu.2012.0873. [ResearchGate<sup>345</sup>](#)
- ## HRV, Ayurveda
- Ram Manohar, P., Sorokin, O., Chacko, J., & Nampoothiri, V. (2018). An exploratory clinical study to determine the utility of heart rate variability analysis in the assessment of dosha imbalance. *Journal of Ayurveda and integrative medicine*, 9(2), 126–130. [Crossref<sup>346</sup>](#)
- Travis F.T., Wallace R.K. Dosa brain-types: a neural model of individual differences. *J Ayurveda Integr Med*. 2015;6(4):280–285. [PMC<sup>347</sup>](#) - [PubMed<sup>348</sup>](#)
- Tyagi A., Cohen M. Yoga and heart rate variability: a comprehensive review of the literature. *Int J Yoga*. 2016;9(2):97–113. [PMC<sup>349</sup>](#) - [PubMed<sup>350</sup>](#)
- Masel E., Huber P., Engler T., Herbert Watzke H.H. Heart rate variability during treatment of breakthrough pain in patients with advanced cancer: a pilot study. *J Pain Res*. 2016 Dec;9:1215–1220. [PMC<sup>351</sup>](#) - [PubMed<sup>352</sup>](#)
- Kim E.-H., Park J.-H., Lee S.M., Gwak M.-S., Kim G.-S., Kim M.-H. Preoperative depressed mood and perioperative heart rate variability in patients with hepatic cancer. *J Clin Anesth*. 2016 Dec;35:332–338. [PubMed<sup>353</sup>](#)
- Koszewicz M., Michalak S., Bilinska M., Budrewicz S., Zaborowski M., Slotwinski K. Profile of autonomic dysfunctions in patients with primary brain tumor and possible autoimmunity. *Clin Neurol Neurosurg*. 2016 Dec;151:51–54. [PubMed<sup>354</sup>](#)
4. <https://doi.org/10.1142/S0192415X04002582>
335. [https://doi.org/10.1007/978-1-4020-2402-3\\_66](https://doi.org/10.1007/978-1-4020-2402-3_66)
336. <https://doi.org/10.1016/j.ultrasmedbio.2004.07.010>
337. <https://doi.org/10.1159/000082815>
338. <https://doi.org/10.2165/01197065-200401040-00002>
339. <https://doi.org/10.1089/107555304322848931>
340. <https://doi.org/10.1109/ULTSYM.2003.1293138>
341. <https://doi.org/10.1097/00013611-200303000-00013>
342. <https://doi.org/10.1089/10762800360520811>
343. [https://doi.org/10.1016/S1360-8592\(03\)00044-5](https://doi.org/10.1016/S1360-8592(03)00044-5)
344. [https://doi.org/10.1016/S1360-8592\(03\)00020-2](https://doi.org/10.1016/S1360-8592(03)00020-2)
345. [https://www.researchgate.net/publication/236897521\\_Electroacupuncture\\_Effects\\_on\\_the\\_Disintegration\\_of\\_Beta\\_Amyloid\\_Sheets\\_Its\\_Application\\_to\\_Alzheimer's\\_Disease](https://www.researchgate.net/publication/236897521_Electroacupuncture_Effects_on_the_Disintegration_of_Beta_Amyloid_Sheets_Its_Application_to_Alzheimer's_Disease)
346. <https://doi.org/10.1016/j.jaim.2017.06.008>
347. <http://www.ncbi.nlm.nih.gov/pmc/articles/pmc4719489/>
348. <https://pubmed.ncbi.nlm.nih.gov/26834428/>
349. <http://www.ncbi.nlm.nih.gov/pmc/articles/pmc4959333/>
350. <https://pubmed.ncbi.nlm.nih.gov/27512317/>
351. <http://www.ncbi.nlm.nih.gov/pmc/articles/pmc5161332/>
352. <https://pubmed.ncbi.nlm.nih.gov/28003771/>
353. <https://pubmed.ncbi.nlm.nih.gov/27871552/>
354. <https://pubmed.ncbi.nlm.nih.gov/27788421/>

- Rastogi, S., & Singh, R. H. (2021). Principle of Hot (Ushna) and Cold (Sheeta) and Its Clinical Application in Ayurvedic Medicine. *Advances in experimental medicine and biology*, 1343, 39–55. [Crossref<sup>255</sup>](#)
- Mills, P. J., Peterson, C. T., Wilson, K. L., Pung, M. A., Patel, S., Weiss, L., Kshirsagar, S. G., Tanzi, R. E., & Chopra, D. (2019). Relationships among classifications of ayurvedic medicine diagnostics for imbalances and western measures of psychological states: An exploratory study. *Journal of Ayurveda and integrative medicine*, 10(3), 198–202. [Crossref<sup>256</sup>](#)
- Pandey M.M., Rastogi S., Rawat A.K. Indian traditional ayurvedic system of medicine and nutritional supplementation. *Evid Based Complement Alternat Med*. 2013;2013:376327. - [PMC<sup>357</sup>](#) - [PubMed<sup>358</sup>](#)
- Chopra A., Doiphode V.V. Ayurvedic medicine. Core concept, therapeutic principles, and current relevance. *Med Clin North Am*. 2002;86(1):75–89. vii. - [PubMed<sup>259</sup>](#)
- Zhou X., Ma Z., Zhang L., Zhou S., Wang J., Wang B. Heart rate variability in the prediction of survival in patients with cancer: a systematic review and meta-analysis. *J Psychosom Res*. 2016 Oct;89:20–25. - [PubMed<sup>260</sup>](#)
- Taffe L., Stancil K., Bond V., Pemminati S., Gorantla V.R., Kadur K. Differentiation of overweight from normal weight young adults by postprandial heart rate variability and systolic blood pressure. *J Clin Diagnostic Res*. 2016 Aug;10(8):CC01–CC06. - [PMC<sup>361</sup>](#) - [PubMed<sup>262</sup>](#)
- Gupta J., Dube A., Singh V., Gupta R.C. Spectral analysis of heart rate variability in bronchial asthma patients. *Indian J Physiol Pharmacol*. 2012;56(4):330–336. - [PubMed<sup>263</sup>](#)
- Sorokin O.V., Subotyalov M.A. Material of the all-Russian scientific and practical conference with international presence, October 26–27, 2011 Kemerovo, Russia. 2011. Comparative medical research of VedaPulse hardware and software kit // Health maintaining activities in educational system: theory and practice; pp. 225–230.
- Kelkar P., Karamchandani S., Jinda S. Proceedings of conference on advance applications in physiological variability, BARC. 2010. Identifying tridasha for disease characterisation in morphology of an IPG pulse waveform.
- Singh Harupjit. Thapar University; Patiala: 2016. Relationship between three ayurvedic doshas and heart rate variability frequency bands: a pilot study.
- Deshpande H., Shivakumar, Kavita M.B., Tripathy T.B., Chaturvedi A. Healthcare and disease management in Ayurveda. *Altern Ther Health Med*. 2001;7(2):44–50. - [PubMed<sup>264</sup>](#)
- Anthony J.V., Joanne M.G. Understanding interobserver agreement: the kappa statistic. *Fam Med*. 2005 May;37(5):360–363. - [PubMed<sup>265</sup>](#)
- Telles S., Pathak S., Kumar A., Mishra P., Balkrishna A. Ayurvedic doshas as predictors of sleep quality. *Med Sci Monit*. 2015;21:1421–1427. - [PMC<sup>366</sup>](#) - [PubMed<sup>267</sup>](#)
- Bell C., Heidel R.E., Sunega J., Drisko J. Ancient wisdom. Can ayurvedic prakriti provide invaluable insights into integrative medicine? *Ayurveda J Health*. 2017;27:27–34.
- Cohen S., Kamarck T., Mermelstein R. A global measure of perceived stress. *J Health Soc Behav*. 1983;24(4):385–396. - [PubMed<sup>268</sup>](#)
- Travis F.T., Wallace R.K. Dosha brain-types: a neural model of individual differences. *J Ayurveda Integr Med*. 2015;6(4):280–285. - [PMC<sup>369</sup>](#) - [PubMed<sup>270</sup>](#)
- Dey S., Pahwa P. Prakriti and its associations with metabolism, chronic diseases, and genotypes: possibilities of new born screening and a lifetime of personalized prevention. *J Ayurveda Integr Med*. 2014;5(1):15–24. - [PMC<sup>371</sup>](#) - [PubMed<sup>272</sup>](#)
- Purvyva M.C., Meena M.S. A review on role of prakriti in aging. *Ayu*. 2011;32(1):20–24. - [PMC<sup>373</sup>](#) - [PubMed<sup>274</sup>](#)
- Pham, T., Lau, Z. J., Chen, S. H. A., & Makowski, D. (2021). Heart Rate Variability in Psychology: A Review of HRV Indices and an Analysis Tutorial. *Sensors (Basel, Switzerland)*, 21(12), 3998. [Crossref<sup>275</sup>](#)
- Lombardi F., Malliani A., Pagani M., Cerutti S. Heart Rate Variability and Its Sympatho-Vagal Modulation. *Cardiovasc Res*. 1996;32:208–216. doi: 10.1016/0008-6363(96)00116-2. - [DOI<sup>376</sup>](#) - [PubMed<sup>377</sup>](#)
- Mccrarty R., Shaffer F. Heart Rate Variability: New Perspectives on Physiological Mechanisms, Assessment of Self-regulatory Capacity, and Health Risk. *Glob. Adv. Heal. Med*. 2015;4:46–61. doi: 10.7453/gahmj.2014.073. - [DOI<sup>378</sup>](#) - [PMC<sup>379</sup>](#) - [PubMed<sup>380</sup>](#)
- Thayer J.F., Yamamoto S.S., Brosschot J.F. The relationship of autonomic imbalance, heart rate variability and cardiovascular disease risk factors. *Int. J. Cardiol*. 2010;141:122–131. doi: 10.1016/j.ijcard.2009.09.543. - [DOI<sup>381</sup>](#) - [PubMed<sup>382</sup>](#)
- Tiwari, R., Kumar, R., Malik, S., Raj, T., & Kumar, P. (2021). Analysis of Heart Rate Variability and Implication of Different Factors on Heart Rate Variability. *Current cardiology reviews*, 17(5), e160721189770. [Crossref<sup>383</sup>](#)
- Roy, S., Goswami, D. P., & Sengupta, A. (2020). Geometry of the Poincaré plot can segregate the two arms of autonomic nervous system - A hypothesis. *Medical hypotheses*, 138, 109574. [Crossref<sup>384</sup>](#)
- Gullett, N., Zajkowska, Z., Walsh, A., Harper, R., & Mondelli, V. (2023). Heart rate variability (HRV) as a way to understand associations between the autonomic nervous system (ANS) and affective states: A critical review of the literature. *International journal of psychophysiology : official journal of the International Organization of Psychophysiology*, 192, 35–42. [Crossref<sup>385</sup>](#)
- Zou L., Sasaki J.E., Wei G.X., Huang T., Yeung A.S., Neto O.B., Chen K.W., Hui S.S. Effects of Mind-Body Exercises (Tai Chi/Yoga) on Heart Rate Variability Parameters and Perceived Stress: A Systematic Review with Meta-Analysis of Randomized Controlled Trials. *J. Clin. Med*. 2018;7:404. doi: 10.3390/jcm7110404. - [DOI<sup>386</sup>](#) - [PMC<sup>387</sup>](#) - [PubMed<sup>388</sup>](#)
- Danylova T.V., Shmarhun V.M., Vertel A.V., Matyushko B.K., Bondarenko A.F., Kychkyruk T., Petersen J. Effects of the eastern mind-body practices on mental health during the COVID-19 pandemic: When east meets west. *Wiad. Lek*. 2021;74:2850–2855. doi: 10.36740/WLek202111130. - [DOI<sup>389</sup>](#) - [PubMed<sup>390</sup>](#)
- Feneberg A.C., Nater U.M. An Ecological Momentary Music Intervention for the Reduction of Acute Stress in Daily Life: A Mixed Methods Feasibility Study. *Front. Psychol*. 2022;13:927705. doi: 10.3389/fpsyg.2022.927705. - [DOI<sup>391</sup>](#) - [PMC<sup>392</sup>](#) - [PubMed<sup>393</sup>](#)
- Breit S., Kupferberg A., Rogler G., Hasler G. Vagus Nerve as Modulator of the Brain-Gut Axis in Psychiatric and Inflammatory Disorders. *Front. Psychiatry*. 2018;9:44. doi: 10.3389/fpsyg.2018.00044. - [DOI<sup>394</sup>](#) - [PMC<sup>395</sup>](#) - [PubMed<sup>396</sup>](#)
- Laborde S., Mosley E., Thayer J.F. Heart rate variability and cardiac vagal tone in psychophysiological research—recommendations for experiment planning, data analysis, and data reporting. *Front. Psychol*. 2017;8:213. doi: 10.3389/fpsyg.2017.00213. - [DOI<sup>397</sup>](#) - [PMC<sup>398</sup>](#) - [PubMed<sup>399</sup>](#)
- Chesky K.S., Michel D.E. The Music Vibration Table (MVT): Developing a Technology and Conceptual Model for Pain Relief. *Music Ther. Perspect*. 1991;9:32–38. doi: 10.1093/mtp/9.1.32. - [DOI<sup>400</sup>](#)
- Campbell E., Burger B., Ala-Ruona E. A Single-Case, Mixed Methods Study Exploring the Role of Music Listening in Vibroacoustic Treatment. *Voices World Forum Music Ther*. 2019;19:27. doi: 10.15845/voices.v19i2.2556. - [DOI<sup>401</sup>](#)
- Braun Janzen T., Al Shirawi M.I., Rotzinger S., Kennedy S.H., Bartel L. A Pilot Study Investigating the Effect of Music-Based Intervention on Depression and Anhedonia. *Front. Psychol*. 2019;10:1038. doi: 10.3389/fpsyg.2019.01038. - [DOI<sup>402</sup>](#) - [PMC<sup>403</sup>](#) - [PubMed<sup>404</sup>](#)
- Karkkainen M., Mitsui J. The Effects of Sound Based Vibration Treatment on the Human Mind and Body the Physioacoustic Method. *J. Int. Soc. Life Inf. Sci*. 2006;24:155–164. doi: 10.18936/islis.24.1.155. - [DOI<sup>405</sup>](#)
- Jirakittayakorn N., Wongsawat Y. Brain Responses to 40-Hz Binaural Beat and Effects on Emotion and Memory. *Int. J. Psychophysiol*. 2017;120:96–107. doi: 10.1016/j.ijpsycho.2017.07.010. - [DOI<sup>406</sup>](#) - [PubMed<sup>407</sup>](#)
- Fooks C., Niebuhr O. Assessing Vibroacoustic Sound Massage Through The Biosignal of Human Speech: Evidence of Improved Wellbeing; Proceedings of the IEEE International Conference on Acoustics, Speech and Signal Processing (ICASSP), Seoul, Republic of Korea. 14–19 April 2024; pp. 11401–11405.
- Gitler, A., Vanaecker, L., De Couck, M., De Leeuw, I., & Gidron, Y. (2022). Neuromodulation Applied to Diseases: The Case of HRV Biofeedback. *Journal of clinical medicine*, 11(19), 5927. [Crossref<sup>408</sup>](#)
- Zhu, J., Ji, L., & Liu, C. (2019). Heart rate variability monitoring for emotion and disorders of emotion. *Physiological measurement*, 40(6), 064004. [Crossref<sup>409</sup>](#)
- Nunan, D., Sandercock, G. R., & Brodie, D. A. (2010). A quantitative systematic review of normal values for short-term heart rate variability in healthy adults. *Pacing and clinical electrophysiology : PACE*, 33(11), 1407–1417. [Crossref<sup>410</sup>](#)
355. [https://doi.org/10.1007/978-3-030-80983-6\\_4](https://doi.org/10.1007/978-3-030-80983-6_4)
356. <https://doi.org/10.1016/j.jaim.2018.02.001>
357. <http://www.ncbi.nlm.nih.gov/pmc/articles/pmc3705899/>
358. <https://pubmed.ncbi.nlm.nih.gov/23864888/>
359. <https://pubmed.ncbi.nlm.nih.gov/11795092/>
360. <https://pubmed.ncbi.nlm.nih.gov/27663106/>
361. <http://www.ncbi.nlm.nih.gov/pmc/articles/pmc5028518/>
362. <https://pubmed.ncbi.nlm.nih.gov/27656434/>
363. <https://pubmed.ncbi.nlm.nih.gov/23781652/>
364. <https://pubmed.ncbi.nlm.nih.gov/11253416/>
365. <https://pubmed.ncbi.nlm.nih.gov/15883903/>
366. <http://www.ncbi.nlm.nih.gov/pmc/articles/pmc4448595/>
367. <https://pubmed.ncbi.nlm.nih.gov/25982247/>
368. <https://pubmed.ncbi.nlm.nih.gov/6668417/>
369. <http://www.ncbi.nlm.nih.gov/pmc/articles/pmc4719489/>
370. <https://pubmed.ncbi.nlm.nih.gov/26834428/>
371. <http://www.ncbi.nlm.nih.gov/pmc/articles/pmc4012357/>
372. <https://pubmed.ncbi.nlm.nih.gov/24812471/>
373. <http://www.ncbi.nlm.nih.gov/pmc/articles/pmc3215411/>
374. <https://pubmed.ncbi.nlm.nih.gov/22131753/>
375. <https://doi.org/10.3390/s21123998>
376. [https://doi.org/10.1016/0008-6363\(96\)00116-2](https://doi.org/10.1016/0008-6363(96)00116-2)
377. <https://pubmed.ncbi.nlm.nih.gov/8796106/>
378. <https://doi.org/10.7453/gahmj.2014.073>
379. <http://www.ncbi.nlm.nih.gov/pmc/articles/pmc4311559/>
380. <https://pubmed.ncbi.nlm.nih.gov/25694852/>
381. <https://doi.org/10.1016/j.ijcard.2009.09.543>
382. <https://pubmed.ncbi.nlm.nih.gov/19910061/>
383. <https://doi.org/10.2174/1573403X1699201231203854>
384. <https://doi.org/10.1016/j.mehy.2020.109574>
385. <https://doi.org/10.1016/j.ijpsycho.2023.08.001>
386. <https://doi.org/10.3390/jcm7110404>
387. <http://www.ncbi.nlm.nih.gov/pmc/articles/pmc6262541/>
388. <https://pubmed.ncbi.nlm.nih.gov/30384420/>
389. <https://doi.org/10.36740/wlek202111130>
390. <https://pubmed.ncbi.nlm.nih.gov/35023505/>
391. <https://doi.org/10.3389/fpsyg.2022.927705>
392. <https://www.ncbi.nlm.nih.gov/pmc/articles/pmc9558284/>
393. <https://pubmed.ncbi.nlm.nih.gov/36248548/>
394. <https://doi.org/10.3389/fpsyg.2018.00044>
395. <http://www.ncbi.nlm.nih.gov/pmc/articles/pmc5859128/>
396. <https://pubmed.ncbi.nlm.nih.gov/29593576/>
397. <https://doi.org/10.3389/fpsyg.2017.00213>
398. <http://www.ncbi.nlm.nih.gov/pmc/articles/pmc5316555/>
399. <https://pubmed.ncbi.nlm.nih.gov/28265249/>
400. <https://doi.org/10.1093/mtp/9.1.32>
401. <https://doi.org/10.15845/voices.v19i2.2556>
402. <https://doi.org/10.3389/fpsyg.2019.01038>
403. <http://www.ncbi.nlm.nih.gov/pmc/articles/pmc6517496/>
404. <https://pubmed.ncbi.nlm.nih.gov/31133945/>
405. <https://doi.org/10.18936/islis.24.1.155>
406. <https://doi.org/10.1016/j.ijpsycho.2017.07.010>
407. <https://pubmed.ncbi.nlm.nih.gov/28739482/>
408. <https://doi.org/10.3390/jcm11195927>
409. <https://doi.org/10.1088/1361-6579/ab1887>
410. <https://doi.org/10.1111/j.1540-8159.2010.02841.x>

- Qu, X., Wu, Y., Liu, J., & Cui, L. (2020). HRV-Spark: Computing Heart Rate Variability Measures Using Apache Spark. *Proceedings. IEEE International Conference on Bioinformatics and Biomedicine*, 2020, 10.1109/bibm49941.2020.9313361. [Crossref<sup>411</sup>](#)
- Rahul, L. R., Sarkar, R., Sengupta, A., Chandra, B. S., & Jana, S. (2023). Novel AI-based HRV analysis (NAIHA) in healthcare automation and related applications. *Journal of electrocardiology*, 79, 112–121. [Crossref<sup>412</sup>](#)
- Taoum, A., Bisiaux, A., Tilquin, F., Le Guillou, Y., & Carrault, G. (2022). Validity of Ultra-Short-Term HRV Analysis Using PPG-A Preliminary Study. *Sensors (Basel, Switzerland)*, 22 (20), 7995. [Crossref<sup>413</sup>](#)
- Ortega, E., Bryan, C. Y. X., & Christine, N. S. C. (2024). The Pulse of Singapore: Short-Term HRV Norms. *Applied psychophysiology and biofeedback*, 49 (1), 55–61. [Crossref<sup>414</sup>](#)
- Vondrasek, J. D., Riemann, B. L., Grosicki, G. J., & Flatt, A. A. (2023). Validity and Efficacy of the Elite HRV Smartphone Application during Slow-Paced Breathing. *Sensors (Basel, Switzerland)*, 23 (23), 9496. [Crossref<sup>415</sup>](#)
- Malik M., Bigger J.T., Camm A.J., Kleiger R.E., Malliani A., Moss A.J., Schwartz P.J. Heart rate variability: Standards of measurement, physiological interpretation, and clinical use. *Eur. Heart J.* 1996;17:354–381. doi: 10.1093/oxfordjournals.eurheartj.a014868. - [DOI<sup>416</sup>](#) - [PubMed<sup>417</sup>](#)
- Shaffer F., McCraty R., Zerr C.L. A healthy heart is not a metronome: An integrative review of the heart's anatomy and heart rate variability. *Front. Psychol.* 2014;5:1040. doi: 10.3389/fpsyg.2014.01040. - [DOI<sup>418</sup>](#) - [PMC<sup>419</sup>](#) - [PubMed<sup>420</sup>](#)
- Grosicki G.J., Culver M.N., McMillan N.K., Cross B.L., Montoye A.H.K., Riemann B.L., Flatt A.A. Self-recorded heart rate variability profiles are associated with health and lifestyle markers in young adults. *Clin. Auton. Res.* 2022;32:507–518. doi: 10.1007/s10286-022-00884-z. - [DOI<sup>421</sup>](#) - [PubMed<sup>422</sup>](#)
- Natarajan A., Pantelopoulou A., Emir-Farinas H., Natarajan P. Heart rate variability with photoplethysmography in 8 million individuals: A cross-sectional study. *Lancet Digit. Health.* 2020;2:e650–e657. doi: 10.1016/S2589-7500(20)30246-6. - [DOI<sup>423</sup>](#) - [PubMed<sup>424</sup>](#)
- Talbert, L. D., Kaelberer, Z., Gleave, E., Driggs, A., Driggs, A. S., Steffen, P. R., Baldwin, S. A., & Larson, M. J. (2023). A systematic review of heart rate variability (HRV) biofeedback treatment following traumatic brain injury (TBI). *Brain injury*, 37 (7), 635–642. [Crossref<sup>425</sup>](#)
- Jeyhani, V., Mahdiani, S., Peltokangas, M., & Vehkaoja, A. (2015). Comparison of HRV parameters derived from photoplethysmography and electrocardiography signals. *Annual International Conference of the IEEE Engineering in Medicine and Biology Society. IEEE Engineering in Medicine and Biology Society. Annual International Conference*, 2015, 5952–5955. [Crossref<sup>426</sup>](#)
- Brennan, M., Palaniswami, M., & Kamen, P. (2002). Poincaré plot interpretation using a physiological model of HRV based on a network of oscillators. *American journal of physiology: Heart and circulatory physiology*, 283 (5), H1873–H1886. [Crossref<sup>427</sup>](#)
- Ken Umetani MD A B C, Donald H Singer MD, FACC A B, Rollin McCraty MS C, Mike Atkinson C, Twenty-Four Hour Time Domain Heart Rate Variability and Heart Rate: Relations to Age and Gender Over Nine Decades. [DOI<sup>428</sup>](#), [ScienceDirect<sup>429</sup>](#)
- ## Sinn/kropp
- Borghesi, F., Cremascoli, R., Chirico, A., Bianchi, L., Di Moia, A., Priano, L., Piedimonte, A., Mauro, A., & Cipresso, P. (2024). Mind and body connection in expert meditators: a computational study based on central and peripheral nervous system. *BMC complementary medicine and therapies*, 24 (1), 117. [Crossref<sup>430</sup>](#)
- Brandmeyer T, Delorme A, Wabbeh H. The neuroscience of meditation: classification of phenomenology, correlates, and mechanisms. *Prog Brain Res.* 2019;1(244):1–29. [PubMed<sup>431</sup>](#)
- Travis F, Shear J. Focused attention, open monitoring and automatic self-transcending: categories to organize meditations from Vedic, Buddhist Chinese Traditions. *Conscious Cogn.* 2010;19(4):1110–1118. doi: 10.1016/j.concog.2010.01.007. - [DOI<sup>432</sup>](#) - [PubMed<sup>433</sup>](#)
- Liberman N, Trope Y. The psychology of transcending the here and now. *Science* 2008;322(5905):1201–5. doi: 10.1126/science.1161958. - [DOI<sup>434</sup>](#) - [PMC<sup>435</sup>](#) - [PubMed<sup>436</sup>](#)
411. <https://doi.org/10.1109/bibm49941.2020.9313361>
412. <https://doi.org/10.1016/j.jelecard.2023.03.013>
413. <https://doi.org/10.3390/s2207995>
414. <https://doi.org/10.1007/s10484-023-09603-4>
415. <https://doi.org/10.3390/s23239496>
416. <https://doi.org/10.1093/oxfordjournals.eurheartj.a014868>
417. <https://pubmed.ncbi.nlm.nih.gov/8737210/>
418. <https://doi.org/10.3389/fpsyg.2014.01040>
419. <http://www.ncbi.nlm.nih.gov/pmc/articles/pmc4179748/>
420. <https://pubmed.ncbi.nlm.nih.gov/25324790/>
421. <https://doi.org/10.1007/s10286-022-00884-z>
422. <https://pubmed.ncbi.nlm.nih.gov/35999422/>
423. [https://doi.org/10.1016/s2589-7500\(20\)30246-6](https://doi.org/10.1016/s2589-7500(20)30246-6)
424. <https://pubmed.ncbi.nlm.nih.gov/33328029/>
425. <https://doi.org/10.1080/02699052.2023.2208880>
426. <https://doi.org/10.1109/EMBC.2015.7319747>
427. <https://doi.org/10.1152/ajpheart.00405.2000>
428. [https://doi.org/10.1016/S0735-1097\(97\)00554-8](https://doi.org/10.1016/S0735-1097(97)00554-8)
429. <https://www.sciencedirect.com/science/article/pii/S0735109797005548>
430. <https://doi.org/10.1186/s12906-024-04413-5>
431. <https://pubmed.ncbi.nlm.nih.gov/30732832/>
432. <https://doi.org/10.1016/j.concog.2010.01.007>
433. <https://pubmed.ncbi.nlm.nih.gov/20167507/>
434. <https://doi.org/10.1126/science.1161958>
435. <http://www.ncbi.nlm.nih.gov/pmc/articles/pmc2643344/>
- Ahani A, Wabbeh H, Nezamfar H, Miller M, Erdogmus D, Oken B. Quantitative change of EEG and respiration signals during mindfulness meditation. *J Neuroeng Rehabil.* 2014;11(1):1. doi: 10.1186/1743-0003-11-87. - [DOI<sup>437</sup>](#) - [PMC<sup>438</sup>](#) - [PubMed<sup>439</sup>](#)
- Ahani A, Wabbeh H, Miller M, Nezamfar H, Erdogmus D, Oken B. Change in physiological signals during mindfulness meditation. *Int IEEE EMBS Conf Neural Eng.* 2013;1378–81. - [PMC<sup>440</sup>](#) - [PubMed<sup>441</sup>](#)
- Stapleton P, Dispenza J, McGill S, Sabot D, Peach M, Raynor D. Large effects of brief meditation intervention on EEG spectra in meditation novices. *IBRO Rep.* 2020;1(9):290–301. doi: 10.1016/j.ibror.2020.10.006. - [DOI<sup>442</sup>](#) - [PMC<sup>443</sup>](#) - [PubMed<sup>444</sup>](#)
- Travis F, Haaga DAF, Hagelin J, Tanner M, Nidich S, Gaylord-King C, et al. Effects of Transcendental Meditation practice on brain functioning and stress reactivity in college students. *Int J Psychophysiol.* 2009;71(2):170–176. doi: 10.1016/j.ijpsycho.2008.09.007. - [DOI<sup>445</sup>](#) - [PubMed<sup>446</sup>](#)
- Phongsuphap S, Pongsupap Y, Chandanamatha P, Lursinsap C. Changes in heart rate variability during concentration meditation. *Int J Cardiol.* 2008;130(3):481–484. doi: 10.1016/j.ijcard.2007.06.103. - [DOI<sup>447</sup>](#) - [PubMed<sup>448</sup>](#)
- Nesvold A, Fagerland MW, Davanger S, Ellingsen Ø, Solberg EE, Holen A, et al. Increased heart rate variability during nondirective meditation. *Eur J Prev Cardiol.* 2012;19(4):773–80. doi: 10.1177/1741826711414625. - [DOI<sup>449</sup>](#) - [PubMed<sup>450</sup>](#)
- Léonard A, Clément S, Kuo CD, Manto M. Changes in heart rate variability during heartfulness meditation: a power spectral analysis including the residual spectrum. *Front Cardiovasc Med.* 2019;14(6):62. doi: 10.3389/fcvm.2019.00062. - [DOI<sup>451</sup>](#) - [PMC<sup>452</sup>](#) - [PubMed<sup>453</sup>](#)
- Pasquini HA, Tanaka GK, Basile LFH, Velasques B, Lozano MD, Ribeiro P. Electrophysiological correlates of long-term Soto Zen meditation. *Biomed Res Int.* 2015;2015:598496. doi: 10.1155/2015/598496. - [DOI<sup>454</sup>](#) - [PMC<sup>455</sup>](#) - [PubMed<sup>456</sup>](#)
- Cipresso P, Serino S, Borghesi F, Tartarisco G, Riva G, Pioggia G, et al. Continuous measurement of stress levels in naturalistic settings using heart rate variability: an experience-sampling study driving a machine learning approach. *Acta IMEKO.* 2021;10(4):239. doi: 10.21014/acta\_imeko.v10i4.1183. - [DOI<sup>457</sup>](#)
- Berntson GG, Thomas Bigger J, Eckberg DL, Grossman P, Kaufmann PG, Malik M, et al. Heart rate variability: origins, methods, and interpretive caveats. *Psychophysiology.* 1997;34(6):623–648. doi: 10.1111/j.1469-8986.1997.tb02140.x. - [DOI<sup>458</sup>](#) - [PubMed<sup>459</sup>](#)
- Acharya UR, Joseph KP, Kannathal N, Lim CM, Suri JS. Heart rate variability: a review. *Med Biol Eng Comput.* 2006;44(12):1031–1051. doi: 10.1007/s11517-006-0119-0. - [DOI<sup>460</sup>](#) - [PubMed<sup>461</sup>](#)
- Fell J, Axmacher N, Haupt S. From alpha to gamma: Electrophysiological correlates of meditation-related states of consciousness. *Med Hypotheses.* 2010;75(2):218–224. doi: 10.1016/j.mehy.2010.02.025. - [DOI<sup>462</sup>](#) - [PubMed<sup>463</sup>](#)
- Rodriguez-Larios J, Faber P, Achermann P, Tei S, Alaerts K. From thoughtless awareness to effortful cognition: alpha - theta cross-frequency dynamics in experienced meditators during meditation, rest and arithmetic. *Sci Rep.* 2020;10(1):1–11. doi: 10.1038/s41598-020-62392-2. - [DOI<sup>464</sup>](#) - [PMC<sup>465</sup>](#) - [PubMed<sup>466</sup>](#)
- Cahn BR, Delorme A, Polich J. Occipital gamma activation during Vipassana meditation. *Cogn Process.* 2010;11(1):39–56. doi: 10.1007/s10339-009-0352-1. - [DOI<sup>467</sup>](#) - [PMC<sup>468</sup>](#) - [PubMed<sup>469</sup>](#)
- Borghesi F, Chirico A, Pedrolì E, Cipriani GE, Canessa N, Amanzio M, et al. Exploring Biomarkers of mental flexibility in healthy aging: a computational psychometric study. *Sensors (Basel)* 2023;23(15):6983. doi: 10.3390/s23156983. - [DOI<sup>470</sup>](#) - [PMC<sup>471</sup>](#) - [PubMed<sup>472</sup>](#)
- Fang, S., & Zhang, W. (2024). Heart-Brain Axis: A Narrative Review of the Interaction between Depression and Arrhythmia. *Biomedicines*, 12 (8), 1719. [Crossref<sup>473</sup>](#)
- Gullett N, Zajkowska Z., Walsh A., Harper R., Mondelli V. Heart rate variability (HRV) as a way to understand associations between the autonomic nervous system (ANS) and affective states: A critical review of the literature. *Int. J. Psychophysiol.* 2023;192:35–42. doi: 10.1016/j.ijpsycho.2023.03.007. - [DOI<sup>474</sup>](#) - [PMC<sup>475</sup>](#) - [PubMed<sup>476</sup>](#)
436. <https://pubmed.ncbi.nlm.nih.gov/19023074/>
437. <https://doi.org/10.1186/1743-0003-11-87>
438. <http://www.ncbi.nlm.nih.gov/pmc/articles/pmc4060143/>
439. <https://pubmed.ncbi.nlm.nih.gov/24939519/>
440. <http://www.ncbi.nlm.nih.gov/pmc/articles/pmc3988787/>
441. <https://pubmed.ncbi.nlm.nih.gov/24748422/>
442. <https://doi.org/10.1016/j.ibror.2020.10.006>
443. <http://www.ncbi.nlm.nih.gov/pmc/articles/pmc7649620/>
444. <https://pubmed.ncbi.nlm.nih.gov/33204893/>
445. <https://doi.org/10.1016/j.ijpsycho.2008.09.007>
446. <https://pubmed.ncbi.nlm.nih.gov/18854202/>
447. <https://doi.org/10.1016/j.ijcard.2007.06.103>
448. <https://pubmed.ncbi.nlm.nih.gov/17764770/>
449. <https://doi.org/10.1177/1741826711414625>
450. <https://pubmed.ncbi.nlm.nih.gov/21693507/>
451. <https://doi.org/10.3389/fcvm.2019.00062>
452. <http://www.ncbi.nlm.nih.gov/pmc/articles/pmc6527777/>
453. <https://pubmed.ncbi.nlm.nih.gov/31139634/>
454. <https://doi.org/10.1155/2015/598496>
455. <http://www.ncbi.nlm.nih.gov/pmc/articles/pmc4302970/>
456. <https://pubmed.ncbi.nlm.nih.gov/25632397/>
457. [https://doi.org/10.21014/acta\\_imeko.v10i4.1183](https://doi.org/10.21014/acta_imeko.v10i4.1183)
458. <https://doi.org/10.1111/j.1469-8986.1997.tb02140.x>
459. <https://pubmed.ncbi.nlm.nih.gov/9401419/>
460. <https://doi.org/10.1007/s11517-006-0119-0>
461. <https://pubmed.ncbi.nlm.nih.gov/17111118/>
462. <https://doi.org/10.1016/j.mehy.2010.02.025>
463. <https://pubmed.ncbi.nlm.nih.gov/20227193/>
464. <https://doi.org/10.1038/s41598-020-62392-2>
465. <http://www.ncbi.nlm.nih.gov/pmc/articles/pmc7096392/>
466. <https://pubmed.ncbi.nlm.nih.gov/32214173/>
467. <https://doi.org/10.1007/s10339-009-0352-1>
468. <http://www.ncbi.nlm.nih.gov/pmc/articles/pmc2812711/>
469. <https://pubmed.ncbi.nlm.nih.gov/20013298/>
470. <https://doi.org/10.3390/s23156983>
471. <http://www.ncbi.nlm.nih.gov/pmc/articles/pmc10422551/>
472. <https://pubmed.ncbi.nlm.nih.gov/37571766/>
473. <https://doi.org/10.3390/biomedicines12081719>

- j.ijpsycho.2023.08.001. - DOI<sup>474</sup> - PubMed<sup>475</sup>
- Bassett D. A literature review of heart rate variability in depressive and bipolar disorders. *Aust. New Zealand J. Psychiatry*. 2015;50:511–519. doi: 10.1177/0004867415622689. - DOI<sup>476</sup> - PubMed<sup>477</sup>
- Zhu J., Ji L., Liu C. Heart rate variability monitoring for emotion and disorders of emotion. *Physiol. Meas.* 2019;40:064004. doi: 10.1088/1361-6579/ab1887. - DOI<sup>478</sup> - PubMed<sup>479</sup>
- Chalmers J.A., Quintana D.S., Abbott M.J., Kemp A.H. Anxiety Disorders are Associated with Reduced Heart Rate Variability: A Meta-Analysis. *Front. Psychiatry*. 2014;5:80. doi: 10.3389/fpsy.2014.00080. - DOI<sup>480</sup> - PMC<sup>481</sup> - PubMed<sup>482</sup>
- Chang H.A., Chang C.C., Chen C.L., Kuo T.B., Lu R.B., Huang S.Y. Major depression is associated with cardiac autonomic dysregulation. *Acta Neuropsychiatr.* 2012;24:318–327. doi: 10.1111/j.1601-5215.2011.00647.x. - DOI<sup>483</sup> - PubMed<sup>484</sup>
- Burke J.H., Goldberger J.J., Ehlert F.A., Kruse J.T., Parker M.A., Kadish A.H. Gender differences in heart rate before and after autonomic blockade: Evidence against an intrinsic gender effect. *Am. J. Med.* 1996;100:537–543. doi: 10.1016/S0002-9343(96)00018-6. - DOI<sup>485</sup> - PubMed<sup>486</sup>
- Kittnar O. Sex Related Differences in Electrocardiography. *Physiol. Res.* 2023;72:S127–S135. doi: 10.33549/physiolres.934952. - DOI<sup>487</sup> - PMC<sup>488</sup> - PubMed<sup>489</sup>
- Kotov R., Gamez W., Schmidt F., Watson D. Linking “big” personality traits to anxiety, depressive, and substance use disorders: A meta-analysis. *Psychol. Bull.* 2010;136:768–821. doi: 10.1037/a0020327. - DOI<sup>490</sup> - PubMed<sup>491</sup>
- Godin P.J., Buchman T.G. Uncoupling of biological oscillators: A complementary hypothesis concerning the pathogenesis of multiple organ dysfunction syndrome. *Crit. Care Med.* 1996;24:1107–1116. doi: 10.1097/00003246-199607000-00008. - DOI<sup>492</sup> - PubMed<sup>493</sup>
- Wang, L., Hao, J., & Zhou, T. H. (2023). ECG Multi-Emotion Recognition Based on Heart Rate Variability Signal Features Mining. *Sensors (Basel, Switzerland)*, 23 (20), 8636. [Crossref<sup>494</sup>](#)
- Cai Y., Li X., Li J. Emotion Recognition Using Different Sensors, Emotion Models, Methods and Datasets: A Comprehensive Review. *Sensors*. 2023;23:2455. doi: 10.3390/s23052455. - DOI<sup>495</sup> - PMC<sup>496</sup> - PubMed<sup>497</sup>
- Xiefeng C., Wang, Y., Dai, S., Zhao, P., & Liu, Q. (2019). Heart sound signals can be used for emotion recognition. *Scientific reports*, 9 (1), 6486. [Crossref<sup>498</sup>](#)
- Hasnul, M. A., Ab Aziz, N. A., & Abd Aziz, A. (2023). Augmenting ECG Data with Multiple Filters for a Better Emotion Recognition System. *Arabian journal for science and engineering*, 1–22. Advance online publication. [Crossref<sup>499</sup>](#)
- Hasnul, M. A., Aziz, N. A. A., Alelyani, S., Mohana, M., & Aziz, A. A. (2021). Electrocardiogram-Based Emotion Recognition Systems and Their Applications in Healthcare-A Review. *Sensors (Basel, Switzerland)*, 21 (15), 5015. [Crossref<sup>500</sup>](#)
- Li, Y., Tan, R., Lin, T., Liu, Q., Wang, C. D., & Chen, M. (2024). ER-GET: Emotion Recognition Based on Global ECG Trajectory. *IEEE journal of biomedical and health informatics*, 28 (9), 5201–5213. [Crossref<sup>501</sup>](#)
- Woods, R. A., & Hill, P. B. (2022). Myers Brigg. In *StatPearls*. StatPearls Publishing. [PubMed<sup>502</sup>](#)
- Wallick, M. M., & Cambre, K. M. (1999). Personality types in academic medicine. *The Journal of the Louisiana State Medical Society : official organ of the Louisiana State Medical Society*, 151 (7), 378–383. [PubMed<sup>503</sup>](#)
- Tobacyk, J. J., Livingston, M. M., & Robbins, J. E. (2008). Relationships between Myers-Briggs type indicator measure of psychological type and neo measure of big five personality factors in Polish University students: a preliminary cross-cultural comparison. *Psychological reports*, 103 (2), 588–590. [Crossref<sup>504</sup>](#)
- Eicke, F. J., Blake, G., & Replogle, W. (1993). A comparative view of the Myers-Briggs type indicator. *Family medicine*, 25 (3), 186–190. [PubMed<sup>505</sup>](#)
- Ranganathan VK, Siemionow V, Liu JZ, Sahgal V, Yue GH. From mental power to muscle power—gaining strength by using the mind. *Neuropsychologia*. 2004;42(7):944-56. doi: 10.1016/j.neuropsychologia.2003.11.018. PMID: 14998709. [PubMed<sup>506</sup>](#)

## Electromagnetism

- Blank, Martin; Goodman, Reba . (2011). DNA is a fractal antenna in electromagnetic fields. *International Journal of Radiation Biology*, 87(4), 409–415. [Crossref<sup>507</sup>](#)
- Cantero, M.d.R., Villa Etchegoyen, C., Perez, P.L. et al. Bundles of Brain Microtubules Generate Electrical Oscillations. *Sci Rep* 8, 11899 (2018). [Crossref<sup>508</sup>](#)
- Gutierrez, B.C., Cantiello, H.F. & Cantero, M. The electrical properties of isolated microtubules. *Sci Rep* 13, 10165 (2023). [Crossref<sup>509</sup>](#)
- Meijer, Dirk. (2018). Processes of Science and Art Modeled as a Holoflux of Information Using Toroidal Geometry. *Open Journal of Philosophy*. 8. 365-400. [10.4236/ojpp.2018.84026<sup>510</sup>](#)
- Kuman, Maria. (2018). Our Weak Nonlinear Electromagnetic Field (Nemf) that Rules Everything in the Body is Emotionally Sensitive. *Journal of Complementary Medicine & Alternative Healthcare*. 8. [10.19080/JCMAH.2018.08.55573<sup>511</sup>](#)
- Leonova-Gariaeva, & Gariaev, Peter & Friedman, Mark & Leonova-Gariaeva, Ekaterina. (2011). Principles of Linguistic-Wave Genetics. *DNA Decipher Journal*. 1. [ResearchGate<sup>512</sup>](#)
- GuangJun Zhang and Michael Levin (2025) Bioelectricity is a universal multifaced signaling cue in living organisms. [10.1091/mbc.E23-08-0312<sup>513</sup>](#)
- Angelo Esposito, Rafael Krichevsky, and Alberto Nicolis (2019) Gravitational Mass Carried by Sound Waves [Crossref<sup>514</sup>](#)
500. [https://doi.org/10.3390/s21155015](#)
501. [https://doi.org/10.1109/JBHI.2024.3403188](#)
502. [https://pubmed.ncbi.nlm.nih.gov/32119483/](#)
503. [https://pubmed.ncbi.nlm.nih.gov/10474985/](#)
504. [https://doi.org/10.2466/pr0.103.2.588-590](#)
505. [https://pubmed.ncbi.nlm.nih.gov/8458560/](#)
506. [https://pubmed.ncbi.nlm.nih.gov/14998709/](#)
507. [https://doi.org/10.3109/09553002.2011.538130](#)
508. [https://doi.org/10.1038/s41598-018-30453-2](#)
509. [https://doi.org/10.1038/s41598-023-36801-1](#)
510. [https://www.researchgate.net/publication/326972894](#)
511. [https://www.researchgate.net/publication/330217977](#)
512. [https://www.researchgate.net/publication/228926241](#)
513. [https://www.molbiolcell.org/doi/full/10.1091/mbc.E23-08-0312](#)
514. [https://doi.org/10.1103/PhysRevLett.122.084501](#)

# Addendum 3.

## Bibliografi

1. **"Prology: oppfyll ditt livsprosjekt - Bok 1: sykdom, helbredelse, transmutasjon: ressursenes vei"** av Christine Degoy  
En innovativ guide som gjenutforsker helse og velvære gjennom en systemisk tilnærming, som gjør det mulig for deg å redefinere din eksistens og få tilgang til en dypere forståelse av ditt livsprosjekt. Denne boken gir deg verktøyene du trenger for å dyrke indre kommunikasjon, transformere din oppfatning av virkeligheten og fullt ut inkarnere din raison d'être.
2. **"Prology: gjenoppdag meningen med livet - Bok 2: Livsprosjektet i kroppen: forstå, läs opp, transmuter"** av Christine Degoy  
Dyk ned i prologisk organavkodning for å oppdage hvordan hver del av kroppen din reflekterer dypere dimensjoner av din eksistens. Denne boken utforsker sammenhenger mellom dine livserfaringer og din fysiske helse, og tilbyr nøkler til forståelse, opplåsing og transmutering av energiske blokkeringer. Ved å fokusere på indre ressurser og skjulte potensialer, inviterer denne boken deg til å omfavne ditt livsprosjekt gjennom en helhetlig visjon, som gjør det mulig for deg å harmonisere kropp og sinn for et fullt ut tilfredsstillende liv.
3. **"The Body Electric: Elektromagnetisme og livets grunnlag"** av Robert Becker og Gary Selden  
Denne banebrytende boken utforsker den menneskelige kroppens elektromagnetiske felt og dens dype implikasjoner for helbredelse, energistrom og helse. Beckers forskning på bioelektrisitet gir essensielle innsikter for å forstå vitenskapen bak kroppens energisystemer.
4. **"The Spark in the Machine: Hvordan vitenskapen om akupunktur forklarer mysteriene i vestlig medisin"** av Dr. Daniel Keown  
Dr. Keowns arbeid bygger bro over gapet mellom vestlig medisinsk vitenskap og den eldgamle praksisen med akupunktur, og tilbyr en omfattende forklaring på hvordan energi flyter gjennom kroppen og hvordan den kan utnyttes for helbredelse.
5. **"Energi medisin: Den vitenskapelige basen"** av James L. Oschman  
Denne boken tilbyr en grundig utforskning av vitenskapen bak energimedisin, og presenterer bevis på hvordan elektromagnetiske felt, meridianer og andre energisystemer påvirker helse. Oschman trekker fra fysikk og biologi for å forklare kroppens energisystemer på en måte som komplementerer både konvensjonelle og alternative helbredelsesmetoder.
6. **"Vibrasjonsmedisin: Den #1 håndboken for subtile energiterapier"** av Richard Gerber  
Gerbers klassiske tekst er en essensiell ressurs for å forstå feltet av subtile energimedisin. Den gir en detaljert oversikt over energifelter, chakraer, og hvordan vibrasjonsbehandlinger fungerer for å helbrede kropp og sinn.
7. **"Cross Currents: Faren ved elektropollusjon, løftet om elektromedisin"** av Robert O. Becker  
Beckers oppfølging til *The Body Electric*, denne boken undersøker helseimplikasjonene av moderne elektrisk teknologi, samtidig som den utforsker hvordan elektromagnetisk terapi kan hjelpe i helbredelse.
8. **"Biology of Belief: Frigjøring av kraften i bevissthet, materie og mirakler"** av Bruce H. Lipton  
Denne boken dykker ned i krysningspunktet mellom biologi og tro, og viser hvordan sinnet påvirker kroppen på cellulært nivå. Lipton forklarer hvordan energifelter og bevissthet påvirker biologiske prosesser.
9. **"The Field: Jakten på universets hemmelige kraft"** av Lynne McTaggart  
McTaggart utforsker banebrytende vitenskap om nullpunktfeltet, et universelt energifelt som forbinder all materie. Denne boken gir innsikter i livets energiske natur og hvordan vi kan utnytte denne energien for helbredelse.
10. **"Healing Is Voltage: Håndboken"** av Jerry Tennant  
Dr. Tennant forklarer hvordan spenning i kroppen, spesielt på cellulært nivå, er avgjørende for helse. Han gir en omfattende oversikt over hvordan opprettholdelse av riktig elektrisk potensial er grunnleggende for helbredelse og velvære.

## Moderne Åndelighet

11. **"My Big TOE (Teorien om Alt)"** av Thomas Campbell  
En omfattende trilogi som utforsker virkelighetens natur, bevissthet og forbindelsen mellom det fysiske og metafysiske. Campbell, en fysiker og bevissthetsforsker, blander vitenskap og åndelighet for å presentere en modell av eksistens som støtter meditasjon, endrede bevissthetstilstander og forståelsen av energi i universet.
12. **"The Mind Illuminated: En Komplet Meditasjonsguide som Integrerer Buddhisme og Hjernevitenskap for Større Bevissthet"** av John Yates (Culadasa)  
Culadasas guide er en grundig, trinn-for-trinn forklaring av meditasjonspraksis forankret i både gamle buddhistiske læresetninger og moderne nevrovitenskap. Den bygger bro over gapet mellom tradisjonelle meditasjonsteknikker og moderne vitenskapelig forståelse av hjernen.
13. **"Altered Traits: Vitenskapen Avslører Hvordan Meditasjon Forandrer Ditt Sinn, Hjerne og Kropp"** av Daniel Goleman og Richard J. Davidson  
Denne boken dykker inn i den vitenskapelige forskningen rundt meditasjon, og utforsker dens dype effekter på hjernen og kroppen. Goleman og Davidson trekker fra tiår med forskning for å forklare hvordan meditasjon fører til varige psykologiske og fysiologiske endringer.
14. **"Waking Up: En Guide til Åndelighet Uten Religion"** av Sam Harris  
Sam Harris, en nevrovitenskapsmann og filosof, presenterer en rasjonell tilnærming til åndelighet og meditasjon, forankret i både vitenskap og personlig erfaring. Boken hans fokuserer spesielt på hvordan meditasjon kan føre til dype endringer i oppfatning og forståelse av bevissthet, uten behov for religiøse rammer.
15. **"The Power of Now: En Guide til Åndelig Opplysning"** av Eckhart Tolle  
Tolles mye leste bok understreker viktigheten av bevissthet og det å være til stede i øyeblikket. Hans lære gir praktiske innsikter om hvordan man kan leve mer fullt og bevisst, noe som samsvarer med de energiske og mentale aspektene av velvære som diskuteres i *Sing the Body Electric*.
16. **"Real Magic: Gammel Visdom, Moderne Vitenskap, og en Guide til Universets Hemmelige Kraft"** av Dean Radin  
Radin, en ledende forsker innen parapsykologi, utforsker den vitenskapelige bevisene for fenomener som telepati, forutsigelse og psykokinese, og trekker forbindelser mellom bevissthet, energi og den bredere strukturen av virkelighet. Denne boken gir et grunnlag for å forstå andre virkeligheter utover det fysiske.
17. **"The Physics of Consciousness: Kvantebevissthet og Livets Mening"** av Evan Harris Walker  
Denne boken dykker ned i kvantefysikk og dens forhold til bevissthet. Walker utforsker observatørens rolle i kvantemekanikk og presenterer en teori om at bevissthet er grunnleggende for universet, noe som bidrar til en bredere forståelse av energi og eksistens.
18. **"The Secret Doctrine"** av H.P. Blavatsky  
Denne grunnleggende teksten i teosofi utforsker universets natur, bevissthet og åndelig utvikling.
19. **"The Perennial Philosophy"** av Aldous Huxley  
Huxley undersøker de felles trådene av åndelighet på tvers av ulike religioner, og fremhever universelle sannheter.
20. **"Human Destiny"** av Pierre Lecomte du Notuy  
Denne boken utforsker skjæringspunktet mellom vitenskap, filosofi og religion, og argumenterer for ideen om at menneskelig evolusjon er guidet av et guddommelig formål. Den diskuterer det åndelige potensialet til menneskeheden og de moralske ansvarene som følger med menneskelig bevissthet.

21. **"The Road to Reason"** av Pierre Lecomte du Noüy  
I dette filosofiske verket diskuterer Lecomte du Noüy viktigheten av fornuft og vitenskapelig tenkning i forståelsen av universet. Han dykker også inn i hvordan vitenskapelig fremgang bør integreres med moralsk og åndelig utvikling.

## Digital signal processing

22. **"Forståelse av Digital Signalbehandling"** av Richard G. Lyons  
Denne boken gir en klar og tilgjengelig introduksjon til digital signalbehandling (DSP), og gjør komplekse konsepter forståelige selv for nybegynnere. Den dekker emner som filtrering, Fourier-analyse og samplingteori på en praktisk og lettfattelig måte, ideell for de som er interessert i grunnleggende signalbehandling for audioanalyse.
23. **"Forskerens og Ingeniørens Guide til Digital Signalbehandling"** av Steven W. Smith  
En populær, lettest bok som introduserer DSP-konsepter med praktiske eksempler og applikasjoner. Det er en gratis online ressurs som forklarer hvordan signalbehandling fungerer med trinn-for-trinn guider og virkelige eksempler, noe som gjør den svært tilgjengelig for nybegynnere, spesielt de som er interessert i audio- og musikksignalanalyse.
24. **"Digital Lydsignalbehandling"** av Udo Zölzer  
Denne boken introduserer prinsippene og anvendelsene av digital lydsignalbehandling, med fokus på områder som digitale filtre, lydeffekter og tids-frekvensanalyse. Selv om materialet er teknisk, presenteres det på en måte som er tilgjengelig for lesere med grunnleggende kunnskap om DSP.
25. **"En Introduksjon til Analyse av Lydinnehold: Applikasjoner i Signalbehandling og Musikkformatikk"** av Alexander Lerch  
Denne teksten er spesielt nyttig for de som er interessert i audio- og musikksignalbehandling. Den introduserer teknikker for å analysere lydinnehold som musikalsk struktur, rytme og harmoni ved hjelp av signalbehandlingsalgoritmer. Boken er praktisk og tilgjengelig for både studenter og fagfolk.
26. **"Utforming av Lyd Effekt Plug-Ins i C : Med Teori for Digital Lydsignalbehandling"** av Will Pirkle  
For de som ønsker å dykke inn i anvendelsessiden av lydsignalbehandling, er denne boken en brukervennlig introduksjon til koding og design av lydeffekter ved hjelp av C-programmering. Den er ideell for nybegynnere som ønsker å forstå hvordan DSP kan brukes til å lage sanntids lydeffekter.

## Jung og det ubevisste

27. **"Sammenhenger, Drømmer, Refleksjoner"** av Carl G. Jung  
Et semi-autobiografisk verk, denne boken dekker Jungs liv og sentrale ideer, inkludert hans utvikling av konsepter som det kollektive ubevisste, arketypene og skyggen. Den gir personlige innsikter i hans psykologiske teorier.
28. **"Arketypene og det kollektive ubevisste"** av Carl G. Jung  
Denne boken er en sentral tekst i jungiansk psykologi, hvor han skisserer sine teorier om det ubevisste sinn, særlig det kollektive ubevisste og dets arketypiske bilder. Det er grunnleggende lesning for å forstå Jungs ideer om personlighet og psyken.
29. **"Psykologiske typer"** av Carl G. Jung  
I dette verket introduserer Jung sin teori om psykologiske typer, som senere påvirket utviklingen av Myers-Briggs Type Indicator (MBTI). Han diskuterer dikotomien mellom introversjon og ekstroversjon samt andre psykologiske funksjoner som former personligheten.
30. **"Mennesket og hans symboler"** av Carl G. Jung  
Skrevet som en tilgjengelig introduksjon til jungiansk tenkning, dykker denne boken inn i bruken av symboler i drømmer og kunst som representasjoner av ubevisste prosesser. Den er designet for et bredere publikum og tilbyr innsikter i den menneskelige psyken.
31. **"Det uoppdagede selv"** av Carl G. Jung  
Jung utforsker konflikten mellom individets behov for personlig utvikling og presset fra det moderne samfunnet. Den understreker viktigheten av selvbevissthet i navigering av de ubevisste og skyggeaspektene av personligheten.
32. **"Eie din egen skygge: Forstå den mørke siden av psyken"** av Robert A. Johnson  
En praktisk guide til å forstå Jungs konsept om skyggen, denne boken forklarer hvordan man kan gjenkjenne og integrere skygge-selvet for psykologisk balanse og personlig vekst.
33. **"Jungs kart over sjelen: En introduksjon"** av Murray Stein  
Denne boken gir en introduksjon til Jungs teorier om personlighet, inkludert hans ideer om skyggen, det ubevisste og individuasjon. Det er en god ressurs for de som er nye til jungiansk psykologi.

34. **"Gaver som skiller: Forståelse av personlighetstype"** av Isabel Briggs Myers med Peter B. Myers  
Denne boken forklarer MBTI-systemet for personlighetstyper, som er basert på Jungs psykologiske typer. Den gir innsikt i hvordan forskjellige personlighetstyper samhandler og hvordan de påvirker personlig og profesjonelt liv.

## Helbredelse med lyder

35. **"Den helbredende kraften av lyd: Gjenoppretting fra livstruende sykdom ved hjelp av lyd, stemme og musikk"** av Mitchell L. Gaynor  
Denne boken undersøker bruken av lydterapi for helbredelse, med fokus på hvordan vibrasjoner og frekvenser kan brukes til å støtte gjenoppretting fra sykdom. Gaynor, en onkolog, kombinerer medisinske innsikter med lydhealing-praksiser.
36. **"Stemming av det menneskelige biofeltet: Helbredelse med vibrasjonslydterapi"** av Eileen Day McKusick  
McKusick utforsker biofeltanatomi og diskuterer hvordan lyd, frekvens og vibrasjon påvirker det menneskelige energifeltet. Boken inkluderer informasjon om hvordan stemmerør og andre lydverktøy kan fremme helbredelse.
37. **"Helbredende lyder: Kraften av harmonikk"** av Jonathan Goldman  
Denne boken forklarer konseptet med å bruke lyd og harmonikk for å helbrede kropp og sinn. Den inkluderer praktiske teknikker for lydhealing, som vokaltoning og arbeid med overtoner.
38. **"Lydmedisin: Hvordan bruke den gamle vitenskapen om lyd for å helbrede kroppen og sinnet"** av Kulreet Chaudhary  
Denne boken kombinerer gammel Ayurvedisk medisin med moderne lydterapi-praksiser. Chaudhary forklarer hvordan lydfrekvenser og vibrasjoner kan brukes til helbredelse og velvære, fra mantras til moderne lydteknologier.

## Bevissthet, Energi og Virkelighet

39. **"Den Fjerde Fasene av Vann: Utover Fast, Væske og Damp"** av Gerald Pollack  
Pollack presenterer banebrytende forskning på egenskapene til vann og dens implikasjoner for biologi og energimedisin.
40. **"LSD og Universets Sinn"** av Christopher Bache  
Bache utforsker skjæringspunktet mellom psykedelika, bevissthet og virkelighetens natur gjennom personlige erfaringer og vitenskapelige innsikter.
41. **"Bevissthet Utenfor Livet: Vitenskapen om Nær-Døden Opplevelsen"** av Pim van Lommel  
Van Lommel gir en omfattende undersøkelse av nær-døden erfaringer, deres implikasjoner for bevissthet, og kontinuiteten av selvet utover fysisk eksistens.
42. **"Mannen som ikke trodde på Mirakler"** av Didier Van Cauwelaert  
Denne romanen vever sammen temaer av bevissthet og kvantefysikk, og utforsker virkelighetens natur og tro gjennom en gripende fortelling.
43. **"Sunn med hensikt: impulser for selvheling"** av Folker Meissner  
Meissner undersøker de vitenskapelige prinsippene som ligger til grunn for energimedisin, og tilbyr innsikter i dens terapeutiske potensial og mekanismer.
44. **"Koblet: Fremveksten av Global Bevissthet"** av Roger Nelson  
Nelson undersøker sammenhengen mellom menneskelig bevissthet og implikasjonene for forståelsen av kollektive opplevelser og global bevissthet.
45. **"Morfo-gen vann - Helse - Informasjon og bevissthetsfelt"** av Marc Henry  
Henry diskuterer betydningen av vann i biologiske systemer og dens rolle som et medium for energioverføring og bevissthet.
46. **"Liv Etter Liv"** av Raymond Moody  
Moody's banebrytende arbeid introduserer konseptet nær-døden erfaringer og presenterer tallrike casestudier som fremhever felles elementer rapportert av de som har hatt slike opplevelser.
47. **"Omfavn av Lyset"** av Betty J. Eadie  
Denne memoaren forteller om Eadies nær-døden erfaring, og deler hennes innsikter og de dype åndelige åpenbaringene hun møtte under sin reise.
48. **"Bevis for Himmelen: En Neurokirurgs Reise inn i Livet Etter Døden"** av Eben Alexander  
Alexander, en neurokirurg, deler sin egen nær-døden erfaring og tilbyr en gripende beretning som utfordrer konvensjonelle vitenskapelige syn på bevissthet og livet etter døden.
49. **"Døende for å være Meg: Min Reise fra Kreft, til Nær Død, til Ekte Helbredelse"** av Anita Moorjani  
Moorjani deler sin transformative nær-døden erfaring under sin kamp med kreft og de kraftige leksjonene om selvaksept og helbredelse hun lærte.
50. **"Reiser Ut av Kroppen"** av Robert A. Monroe  
Denne klassiske boken dokumenterer Monroes personlige erfaringer med reiser utenfor kroppen og utforsker mulighetene for menneskelig bevissthet utover den fysiske kroppen. Den anses for å være en av de grunnleggende tekstene innen bevissthetsstudier.
51. **"Fjerne Reiser"** av Robert A. Monroe  
Denne oppfølgeren til "Reiser Ut av Kroppen" dykker dypere inn i Monroes reiser utover den fysiske planen, hvor han utforsker forskjellige dimensjoner av eksistens og utvider sin forståelse av bevissthet.

52. **"Ultimate Reise"** av Robert A. Monroe  
I denne siste boken i trilogien deler Monroe innsikter fra sine erfaringer i endrede bevissthetstilstander, med fokus på temaer som livet etter døden, eksistensens natur og menneskets formål.
53. **"Kosmisk Bevissthet"** av Richard M. Bucke  
Bucke beskriver sin egen opplevelse av kosmisk bevissthet og utforsker dens implikasjoner for åndelig utvikling.
54. **"En Yaqui Målestokk for Kunnskap"** av Carlos Castaneda  
Denne boken dykker inn i sjamanistiske praksiser og virkelighetens natur gjennom Castanedas læretid med en Yaqui-sjaman.
64. **"Veien til Selvtransformasjon"** av Eva Pierrakos  
Forfattet av John Pierrakos' kone, Eva Pierrakos, er denne boken essensiell for å forstå de spirituelle og energetiske grunnlagene for Kjerneenergetikk. Den presenterer en samling av lærdommer fra Pathwork Guide, som hadde sterk innflytelse på Pierrakos' eget terapeutiske arbeid.
65. **"Min Stemmes Vil Følge Deg: Læringshistoriene til Milton H. Erickson"** av Milton H. Erickson, redigert av Sidney Rosen  
Denne boken er en samling av Ericksons terapeutiske historier og læringshistorier. Den fremhever hans indirekte teknikker og bruk av metafor for å legge til rette for dyp psykologisk forandring, og tilbyr innsikter i hvordan Erickson subtilt guidet sine pasienter mot helbredelse.

## Bioetikk og Medisin

55. **"Bioetikk: Prinsipper, Problemer og Saker"** av Lewis Vaughn  
Vaughn presenterer nøkkel etiske prinsipper og problemer i medisinsk praksis, og gir casestudier for virkelige anvendelser.

## Bevissthetsstudier

56. **"Bevissthet og Universet: Kvantefysikk, Evolusjon, Hjerne & Sinn"** av Sir Roger Penrose og Stuart Hameroff  
Denne samlingen av essays utforsker de kvanteopprinnelige aspektene ved bevissthet, og kombinerer innsikter fra fysikk, nevrovitenskap og filosofi for å undersøke hvordan kvanteprosesser i hjernen kan forklare bevisst opplevelse.
57. **"Bevissthet Forklart"** av Daniel Dennett  
Dennett presenterer en omfattende teori om bevissthet, argumenterer mot tradisjonelle synspunkter og gir innsikt i hvordan sinnet fungerer.
58. **"Å Våkne: En Guide til Spiritualitet Uten Religion"** av Sam Harris  
Harris diskuterer bevissthet, meditasjon og naturen av spiritualitet, og fremmer en sekulær tilnærming til å forstå sinnet.

## Kvantfysikk og Metafysikk

59. **"Kvantet og Lotusblomsten: En Reise til Grensene hvor Vitenskap og Buddhism Møtes"** av Matthieu Ricard og Trinh Xuan Thuan  
Denne boken utforsker paralleller mellom kvantefysikk og buddhistisk filosofi, og diskuterer innsikter fra begge felt.
60. **"Det Holografiske Univers"** av Michael Talbot  
Talbot presenterer ideen om at universet fungerer som et hologram, som smelter sammen innsikter fra kvantefysikk med metafysiske implikasjoner.

## Psykologi og Psykoterapi

61. **"Mannens Søken etter Mening"** av Viktor E. Frankl  
Frankl utforsker den psykologiske reisen for å finne mening selv i de mest alvorlige omstendighetene, og integrerer eksistensiell filosofi og psykologi.
62. **"Kroppen Husker: Hjerne, Sinn og Kropp i Helbredelsen av Traumer"** av Bessel van der Kolk  
Denne boken diskuterer virkningen av traumer på kropp og sinn, og fremhever innovative tilnæringer til helbredelse.
63. **"Kjerneenergetikk"** av John C. Pierrakos  
Denne boken skisserer Pierrakos' tilnærming til Kjerneenergetikk, en kroppsentrert terapeutisk modalitet. Han dykker inn i hvordan blokkering av energi i kroppen kan føre til emosjonell og psykologisk helbredelse, og integrerer spiritualitet med psykoterapi.

## Systemteori og Systemtenkning

67. **"Generell Systemteori: Grunnlag, Utvikling, Anvendelser"** av Ludwig von Bertalanffy  
En klassiker innen systemtenkning, Bertalanffys arbeid introduserer grunnprinsippene for Generell Systemteori, som ble en grunnleggende søyle for tverrfaglig studie på tvers av vitenskapene. Hans ideer har vært innflytelsesrike i alt fra biologi til samfunnsvitenskap.
68. **"Steg til en Økologi av Sinn"** av Gregory Bateson  
En sentral skikkelse i Palo Alto-gruppen, Batesons samling av essays dekker emner som kommunikasjon, psykologi og økologi. Hans arbeid la grunnlaget for systemtenkning i menneskelig kommunikasjon og interaksjoner.
69. **"Sinn og Natur: En Nødvendig Enhet"** av Gregory Bateson  
En annen viktig tekst fra Bateson, som utforsker hvordan sinnet og miljøet er sammenkoblet. Hans ideer er grunnleggende for å forstå systemteori i forhold til menneskelig interaksjon, læring og økologi.
70. **"Den Sosiale Konstruksjonen av Virkelighet: En Avhandling i Kunnskapssosiologi"** av Peter L. Berger og Thomas Luckmann  
Denne boken knytter seg til systemtenkning gjennom sin utforskning av hvordan sosiale systemer og virkeligheter konstrueres og opprettholdes.
71. **"Livets Systemiske Perspektiv: En Enhetlig Visjon"** av Fritjof Capra og Pier Luigi Luisi  
Capra, en sentral figur innen systemtenkning, presenterer en moderne og integrert forståelse av levende systemer. Denne boken knytter systemteori til biologi, økologi og bevissthet.
72. **"Endring: Prinsipper for Problemdannelse og Problemløsning"** av Paul Watzlawick, John Weakland, og Richard Fisch  
Et annet viktig verk fra Palo Alto-gruppen, det utforsker hvordan endring skjer i menneskelige systemer, spesielt familier og organisasjoner, gjennom et systemisk perspektiv.
73. **"Kunnskapens Tre: De Biologiske Røttene av Menneskelig Forståelse"** av Humberto R. Maturana og Francisco J. Varela  
Denne boken knytter sammen biologi, kognisjon og systemtenkning, med fokus på autopoiesis (selvskapende systemer), et sentralt konsept for å forstå levende systemer.
74. **"Kybernetikk, eller Kontroll og Kommunikasjon i Dyret og Maskinen"** av Norbert Wiener  
Denne grunnleggende teksten om kybernetikk utforsker hvordan kommunikasjons- og kontrollprosesser fungerer i både maskiner og levende vesener.
75. **"Den Femte Disiplin: Kunsten & Praksisen til Den Lærende Organisasjonen"** av Peter M. Senge  
Senges arbeid anvender systemtenkning på organisasjonsutvikling. Det anses som en viktig tekst innen både næringsliv og utdanning, med fokus på hvordan komplekse organisasjoner kan struktureres for læring og tilpasning.